



BioCoherence Manual

Version 2025-03-20

Allmän innehållsförteckning

INLEDNING

1. En kort historia om BioCoherence.....	3
2. Bygga broar.....	5

3. ANVÄNDA BIOCOHERENCE

3.1. Modulöversikt.....	14
<i>En detaljerad innehållsförteckning kan hittas i början av detta kapitel.</i>	
3.2. Detaljerad manual för varje modul.....	36
<i>Ett detaljerat innehåll kan hittas i början av detta kapitel.</i>	

4. TILLÄGG

4.1. Vanliga frågor.....	82
4.2. Medicinska studier och litteratur.....	86
4.3. Bibliografi.....	98

En kort historia om BioCoherence

Det är sommar 2024 och den första offentliga versionen av BioCoherence är på väg att lanseras. Hur kom vi hit, med denna programvara ur mitt huvud, som hittills har över 1400 proprietära biomarkörer, 40 skärmar, skanningsanalys av ett elektrokardiogram och tester med levande biofeedback, samt en balanseringsmodul?

Låt oss se tillbaka på två konvergerande vägar.

Vår första kontakt med energibedömnings- och behandlingsapparater daterar sig till 2011. Christine och jag var gifta och hade 3 barn. Det året, vår andra dotter Isis, som fortfarande var glutenintolerant vid det tillfället, skulle börja i högstadiet. Medan vi ännu bodde i Sournia, en liten by i Pyrenéerna (i södra Frankrike), letade vi efter en lösning så att hon kunde få luncher i skolan. Jag ska spara er detaljerna, men när vi kom till specialisten, sa han att den enda lösningen var en koloskopi. Och att det ändå inte skulle kunna bota henne. Så vi började leta efter en annan lösning. En vän pekade oss i riktningen av en konstig kille som jobbade i en liten by, och denna konstiga kille gjorde en komplett kontroll och reharmonisering i ett endaste möte; inte bara hade han identifierat alla problem på en halv timme, utan hon blev botad en månad senare.

Christine och jag såg på varandra och insåg att det var något fel på medicinen. Varför kunde inte sjukhuset erbjuda oss denna lösning? Varför var den uppenbarligen så konfidentiell? Men framför allt, vad var detta för något?

I slutet av 2011, grundade vi en ideell förening med denna utövare för att försöka studera och validera dessa metoder, sedan ett vårdcenter, och sedan ett andra. Vi kom äntligen i kontakt med tillverkaren av denna anordning för att distribuera den i Frankrike, i slutet av 2012. Vi träffade andra, och slutade med att etablera en solid distribution, ett nätverk av utövare, och en skola.

But för mig, en vetenskapsman, ingenjör, programvarudesigner, musiker, författare och framför allt tvångsmässig skapare, kunde jag inte stanna vid en kommersiell eller administrativ roll. Jag hade redan startat flera företag, för vilka jag alltid hade programmerat hela datasystemet. Faktum är, jag började skapa programvara när jag var ungefär 10, och sålde min första när jag var 15. Jag studerade sedan vetenskap och gick till ljudteknisk skola, innan jag startade en webbyrå med Christine år 1996, och sedan flera start-ups. Återkommande till de vårdanordningar vi distribuerar, som designer, var jag ivrig att bidra till denna innovativa impuls i designen av dessa kontroll- och vårdssystem, som jag har erfaret mycket av och förstår väl.

Den första vägen, då, är vetenskap, IT och affärer, och deras tillämpningar inom hälso- och sjukvård.

Men detta är inte den enda vägen som har lett till BioCoherence idag.

Den andra vägen är meditation.

När jag var 11 eller 12 år gammal, hade jag en passion för magik "eller snarare, tricksande. Jag kunde tillbringa hela dagen i parisiska magibutiker, träffa alla kunder (showbusinessprofessionella). "Kom ihåg, jag skapade, gjorde och sålde ett trick till en butik, jag beräknar att jag var 13 år gammal "Och det är där jag träffade Pierre, en magikpro som jobbade över hela världen. Vi blev stora vänner. Och Pierre hade gjort "ut ur kroppen", eller "astralresor", sedan han var barn, vilket fascinerade mig. Jag hade aldrig hört talas om det. Han gav mig några böcker om ämnet och talade om det som något helt naturligt för honom, men vi förlorade kontakten efter ett tag.

Sedan dess, verkar det naturligt för mig att det existerade en mycket större värld bortom ytans slöja. Men hur kunde jag i Paris, i en hyper-materialistisk ålder, i en familj som inte visste något om det, fördjupa mig i denna fråga?

Allteftersom åren gick, förblev det ett privilegierat och fascinerande ämne för diskussion, en källa till nyfikenhet, men inte mer. Vi försökte meditation som tonåringar och sedan som vuxna, utan mycket framgång. Sedan började livet ta form i nuet, med alla dess krav.

Tillbaka till 2011, ett avgörande år, en konvergens av vägar. När Isis började sin återhämtning, blev vi remitterade till en familjeläkare i Perpignan. Han ser saker på ett annat sätt. Visst, låt's go. Jag pratar med honom om allt och inget, och ämnet meditation kommer upp igen; jag berättar för honom att jag hade försökt gå ut ur min kropp utan mycket framgång. Han svarar att han känner till en teknik baserad på ljud med olika frekvenser i öronen, utan att veta mycket mer om det. Men ljud talar till mig" och jag sökte och upptäckte binaurala slår. Och från och med då, accelererade framstegen, som hittills hade varit så tröga. Inom några månader, expanderade universum, både inåt och utåt. Sedan det avgörande året, har allt blivit omorganiserat runt oss.

Jag började en serie intervjuer för ett filmprojekt, *In Reality*¹. Jag träffade och filmade omkring fyrtio fascinerande människor. Jag slutade med att starta ett franskt förlag för att översätta deras böcker, och har publicerat ett tiotal verk hittills.

Christine, för sin del och till sin stora förvåning, blev clairvoyant. Det är en bra sak. Åh, och min dotter är också det. Som en duktig forskare gör jag ändå några valideringsprotokoll. Allt ser väldigt verkligt ut, okej, låt oss erkänna det. Det året, efter 7 år av kvasi-autarkiskt familjeliv i bergen (vi hade lämnat Paris 2004 för att bygga det hus som Christine hade designat själva), kom Disneyland

1. <https://inreality.video>

med kraft. Och världen blir mycket bredare. Huset fylls med varelser, var och en mer fantastisk än den förra. Galet, men anekdot efter anekdot blir det omöjligt att inte tro på denna nya verklighet.

Dessa är de två vägar som möts; å ena sidan, energiutvärdering och helande apparater och programvara, med sina fantastiska möjligheter men olika begränsningar och frustrationer; å andra sidan, meditation, inre personlig utveckling, utvidgningen av världens gränser, och den enorma makten av att ta makt över sig själv och medvetenhet om sitt eget ansvar.

Så, 2017, drev jag en första allians av de två, och startade ett meditationsapp-projekt, avsett som en plattform för skapare; för komplicerat, aldrig färdigt. 2018 skapade jag en app för att generera binaurala beats och andra ljud för att följa med meditationer; för komplicerat, aldrig färdigt. Jag börjar se ett återkommande mönster. Det här är inte min första för komplicerat, aldrig färdigt applikation. Okej, låt oss skriva om hela grejen och förenkla den: Ah, seger! 2021 kommer vi att presentera vår skola med sin första, mindre komplicerade och - hurra! - färdiga app: 33, guideade meditationer, baserade på Christines första 2 böcker.

En detalj återstår: Jag vill erbjuda mer. Jag vill få ett pålitligt mätssystem för att välja och, varför inte, anpassa meditationer. En detalj, som jag sa, som till slut tog mig 3 år. 2022 kan jag presentera vår årliga Masterclass med ett första verktyg baserat på mätning av ett elektrokardiogram. 2023, efter mer än ett års arbete, pryddes gränssnittet med ett antal visualiseringar och nya skärmar skapades. Ytterligare 6 månaders forskning och vi kommer, i april 2024, med en programvara som törstar efter interaktioner...

För att komma till denna första version, valde jag drastiskt (och smärtsamt, som du kan föreställa dig) de idéer som skulle implementeras. Men, under de nästan 40 år jag har skapat, har jag till slut insett att det inte finns något syfte med att skapa för skapandets skull; du måste skapa för att dela. Och för att göra detta var jag tvungen att spendera mycket mer tid än jag hade trott för att göra denna programvara lätt att förstå. Jag har lyckats göra det, även om jag fortfarande är frustrerad av allt som inte finns ännu. Du kan lita på mig för att fortsätta inkorporera och dela idéer och verktyg, och jag kommer att se till att de alltid är vackra, lätta och intuitiva för dig.

Médéric Degoy, designer av BioCoherence-programvaran.

Bygga broar

BioCoherence har utformats kring ett antal nyckelbegrepp. Det är viktigt att ha en allmän uppfattning om dem, eftersom de styr den underliggande logiken.

Vårt jobb är att bygga broar mellan domäner som ofta inte är sammankopplade. Bland dessa kan nämnas: cybernetik; systemteori; energi, entropi och negentropi; emergens; heuristik; synkronicitet; ergodicitet; resursteori; kaskadteori; embryogenes; prologiteori; resonansprincipen; koherensprincipen; skalvågor; tidskristaller; förhållandet kropp-sinne; förhållandet materia-energi-information; fysisk entropi och informationsentropi; det omedvetna och arketyper.

Om inget annat anges är citaten hämtade från Wikipedia.

Kybernetik

"Den allmänna vetenskapen om reglering och kommunikation i naturliga och artificiella system."

"Cybernetik är studiet av informationsmekanismer i komplexa system. Konturerna av detta forskningsområde kretsar kring nyckelbegreppet återkoppling, eller *teleologisk mekanism*. Deras mål var att ge en enhetlig bild av de framväxande områdena (mellan 1942 och 1953) automatisk styrning, elektronik och matematisk informationsteori, som en "hel teori om styrning och kommunikation, både i djur och maskiner".

Cybernetiken, som formaliserades av Norbert Wiener, är ursprunget till bland annat de systemiska terapierna i Palo Alto-skolan och de biologiska teorierna om självorganisation."

Intressanta anteckningar:

- "År 1894 gjorde Ludwig Boltzmann kopplingen mellan entropi och information och konstaterade att entropi är kopplad till information som vi inte har tillgång till."
- "Fysiologin försåg honom också med många element. Till exempel principen om homeostas, som lyftes fram av Claude Bernard."
- "Kybernetiken är också en fortsättning på fenomenologin, eftersom den auskulterar fenomenen för att förstå deras autonomi och särart, framför allt genom formen, och sedan går vidare till en annan typ av analys: modellering, mekanik%u2026"
- "Återkoppling lyfts fram i denna ansats, eftersom den är avgörande för att utforma en självreglerande logik. På så sätt uppstår återkopplingsloopar, cirkulära mekanismer som belyser system."
- termen "emergens" kommer snart att användas för att beteckna inte bara nya former, utan också nya egenskaper och processer som uppstår under den spontana omorganiseringen av ett system. Denna typ av fenomen innebär ibland, mer än en omorganisering av systemet, en organisation på en högre grad av komplexitet."
- "I andra ordningens cybernetik inkluderar observatören sig själv i det observerade systemet

Cybernetiken ligger till grund för ekologi, psykoanalys, informationsvetenskap, systemik, kognitionsvetenskap, artificiell intelligens, internet%u2026

Tillämpning i biokoherens

I hela programvaran på alla nivåer, från de djupaste (själva datorns existens, operativsystemet och Internet) till de högsta (systemisk logik, analys på nivå 1, 2 och 3 och uppkomsten av nya egenskaper, sammankopplingen av alla element, beräkningar av länkar och resonanser).

Principen om återkoppling är central i programvaran, särskilt i biofeedback-mätningar.

Intressant nog fokuserar cybernetiken på de restriktioner och begränsningar som ett system har. Detta ger en indikation på möjliga val. Men principen om ekvifinalitet innebär att det är möjligt att nå ett mål via många olika vägar.

Systemteori

"Systemteori är ett sätt att definiera, studera eller förklara alla typer av företeelser, som framför allt går ut på att betrakta företeelsen som ett system: en komplex uppsättning interaktioner, ofta mellan delsystem, som alla ingår i ett större system. Det skiljer sig från traditionella synsätt, som fokuserar på att bryta ner ett system i delar utan att ta hänsyn till hur helheten, dvs. det övergripande systemet, fungerar och verkar.

Systemtänkande gynnar ett globalt, makroskopiskt, holistiskt eller syntetiskt synsätt; det observerar och studerar ett system ur olika perspektiv och på olika organisationsnivåer; och framför allt tar det hänsyn till de olika interaktioner som finns mellan systemets delar.

Systemiken växte gradvis fram i mitten av 1900-talet och byggdes upp i opposition mot den cartesianska analytiska traditionen och andra former av reduktionism, som tenderade att dela upp helheten i oberoende delar och visade sina begränsningar när det gällde att förstå verkligheten."

Intressanta anteckningar:

- "Det viktigaste begreppet här är utan tvekan reglering, som definieras genom begreppet återkopplingslinga" "Interaktion (eller interrelation) syftar på idén om icke-linjär kausalitet. Detta begrepp är viktigt för att förstå samevolution och symbios inom biologin. En särskild form av interaktion är retroaktion (eller återkoppling), vars studier är centrala för cybernetikens arbete."
- "Totalitet. Om ett system först och främst består av en uppsättning element kan det inte reduceras till detta. Som man brukar säga är helheten mer än summan av dess delar
- "Organisation är det centrala begreppet för att förstå vad ett system är. Organisation är arrangemanget av en helhet i enlighet med uppdelningen av dess element i hierarkiska nivåer. Beroende på graden av organisation kommer en helhet inte att ha samma egenskaper. Vi kommer därmed fram till tanken att en **helhets egenskaper beror mindre på arten och antalet element som den innehåller än på de relationer som etableras mellan dem:**"Ett öppet system är ett system som genom sitt utbyte av materia, energi och information uppvisar förmåga till självorganisering
- I egenskap av öppna system kan levande varelser skapa negentropislingor (dvs. minska entropin och skapa en högre ordning).
- När det gäller det "dynamiska systemet" är den första tanken som kännetecknar detta område att det bakom den uppenbara ordningen finns en ordning som är mer komplex än den synliga ordningen. Den andra idén är att denna ordning uppstår genom självorganisering och uppkomsten av nya egenskaper som tidigare saknats."

Tillämpning inom biokoherens

- framhävande av länkar mellan element som är lika viktiga, om inte viktigare, än utvärderingen av elementen i sig.

Emergens

"Emergens är ett filosofiskt begrepp som grovt kan sammanfattas med ordspråket: "helheten är mer än summan av delarna". Det står i motsättning till såväl reduktionism som dualistiska doktriner (dualism eller vitalism).

En egenskap kan betecknas som "emergent" om den "följer" av mer grundläggande egenskaper, samtidigt som den är "ny" eller "irreducibel" i förhållande till dessa. John Stuart Mill konstaterar således att vattnets egenskaper inte kan reduceras till väte eller syre."

Intressanta punkter:

- "Ibland talar vi om "synkron emergens" i samband med relationer mellan mikro- och makronivåerna i ett system. I det här fallet innebär emergens en konceptuell irreducibilitet: emergenta egenskaper och lagar är systemiska egenskaper hos komplexa system som styrs av lagar som inte kan reduceras till dem som kvalificerar relationerna mellan komponenter i mindre skala."

Tillämpning i biokoherens

- framväxandets logik: analysen genomförs i flera steg, där varje steg avslöjar egenskaper på högre nivå som inte existerar på lägre nivå. I det sista steget hittas resurser.

Energi

"Energi är ett begrepp som är relaterat till handling, kraft och varaktighet: för att genomföra en handling krävs att en viss kraft upprätthålls under en tillräckligt lång tid för att övervinna den tröghet och det motstånd som motverkar förändringen."

Tillämpning inom biokoherens

Energin hos en biomarkör mäts på olika sätt beroende på typen av biomarkör; placerad i en minimi-/maximiskala som är specifik för varje biomarkör blir den blommas vertikala axel.

Entropi

Det här är ett begrepp som är både tydligt och komplext, men framför allt en term som förklarar helt olika saker inom olika områden.

- För fysiker är entropi omrörning, oordning.
- För informationsteorin är entropi ett mått på den möjliga råmängden av olika typer av information.
- För datavetenskapen är det ungefär omfattningen av möjlig information, storleken på rymden.

Vi kan sammanfatta begreppet entropi som att det står i proportion till oordningen i ett system; dess motsats, negentropi, står därför i proportion till graden av ordning i ett system.

Tillämpning inom biokoherens

Vi mäter variationen på olika nivåer av biomarkörer för att härleda en agitationsfaktor, som kommer att utgöra blommans horisontella axel.

Resursteori

Resursteorin, som utvecklats av Christine Degoy, utgår från att det i varje levande system finns perfekt fungerande delar som ger näring åt andra delar. I en systemlogik är detta resursdelar, som är aktivt kopplade till andra behövande delsystem.

Christine har identifierat resurser på alla nivåer: organiska, psykologiska, energimässiga och icke-fysiska (dvs. som består av materia som interagerar med det övergripande systemet, men som inte omfattas av samma fysiska lagar som vanlig materia).

Tillämpning i biokoherens

Resursidentifiering, som är det framväxande elementet på högsta nivå, gör det möjligt för oss att bygga en sammanhängande plan för de prioriteringar som ska göras och använda dem för att optimera det övergripande systemet.

Kaskadteori

Kaskadteorin är en del av en systemisk logik och följer i spåren av Paul Schmidts princip om att söka efter de ursprungliga orsakerna till sjukdomar, som senare utvecklades av Philippe Matza. Den postulerar att ett lidande organ eller system är en del av en kedja av orsakssamband och energimässiga samband, och att denna kedja måste spåras för att behandlingen ska bli effektiv.

Tillämpning i BioCoherence

Genom att identifiera länkar och sammanhängande system gör BioCoherence det möjligt för oss att rekonstruera fullständiga orsakskedjor och agera vid källan till störningar. Men vi utvidgar begreppet orsakskedjor till flera kedjor och till det faktum att ett system vars delar är i samklang kommer att behöva ingripa samtidigt på alla nivåer för att på ett hållbart sätt återbalansera sina delar.

Embryogenesen

"Under embryonalbildningen organiseras cellerna i olika cellager: det yttre lagret kallas ektoderm, medan det inre lagret kallas endoderm. Det mellanliggande lagret bildar en vävnad som kallas mesoderm. Hos däggdjur har varje lager olika uppgifter: endodermet producerar matsmältningskanalen och dess tillhörande körtlar (bukspottkörteln); mesodermet producerar muskler, skelett och blodkärl;

ektodermet producerar epidermis och nervsystemet"

Tillämpning i biokoherens

Vi postulerar att dessa element förblir sammanlänkade i den vuxna organismen genom särskilda resonanser, och vi tar hänsyn till 8 korpusar som utvecklats av Christine Degoy och som består av element som är sammanlänkade genom sitt embryonala ursprung. Dessa relationer integreras sedan i en tolkning av resultaten.

Teorin om Prologie

Utdrag ur *Prologie, rediscovering the meaning of life*, av Christine Degoy:

"Det är ett enhetligt förhållningssätt till både vård och uppfyllelse. Den är integrativ och tvärgående till sin natur och kan beskrivas som systemisk, inriktad på resonansen mellan alla komponenter i personen, eftersom så många tillgängliga resurser bringas i synergi."

Prologie erbjuder ett fullständigt paradigmskifte, där kroppen integreras som en kraftfull hävstång för tillfredsställelse, även mitt i sjukdomstiden. Dess starka principer bygger på livsprojektet i kombination med systemteorin, vilket illustreras av följande tes: **"Varje människa är ett system med ett projekt, och allt som utgör det är utformat för att uppnå detta mål."**

Prologien gör det möjligt för oss att kartlägga människokroppen i termer av personligt projektstöd och att upptäcka en tidsmässig organisation av successiva intervall i mognadens tillväxt och bemästrandet av det egna livet.

Kartläggning på embryologisk grund i kombination med den mänskliga naturens tre pelare - vilja, kärlek och visdom - ger upphov till en ny förståelse av sjukdomar. Den prologiska avkodningen ser nämligen sjukdom som en omvandling av systemet, inte som ett misslyckande. När en människas materia-energi-informationssystem behöver förbättras för att fortsätta framåt, tar hon vara på varje evolutionär möjlighet att modifiera och utveckla färdigheter och beteenden, behov och önskningar samt visioner om livet och världen omkring henne.

Varje organ spelar en roll i uppfyllandet av individens livsprojekt och uppdaterar sig självt med varierande grad av diskretion, beroende på omfattningen av den omvandling som krävs för att utvecklas.

Målet med ett prologiskt förhållningssätt är att återställa balans, energi och komfort, samtidigt som man respekterar sitt livsprojekt, för att uppnå holistisk tillfredsställelse.

Tillämpning i BioCoherence

Programvaran möjliggör en fullständig bedömning och identifiering av de frågor och omvandlingar som pågår i resonans med livsprojektet. Detta är en positiv läsning baserad på syfte och energifrigörelse, i motsats till biologisk avkodning, som baseras på konflikt och hinder.

Principen för resonans

"Resonans är ett fenomen som innebär att vissa fysiska system (elektriska, mekaniska etc.) är känsliga för vissa frekvenser. Ett resonanssystem kan ackumulera energi om den tillförs i periodisk form och i närheten av en frekvens som kallas "resonansfrekvensen"."

Tillämpning inom bio-koherens

Under ljudmeditationer kommer ljud eller sekvenser av ljud som sänds ut med vissa frekvenser att ge energi till vissa organiska eller mentala strukturer.

Principen om koherens

"Inom fysiken är koherens en uppsättning korrelationsegenskaper hos ett vågsystem. Vi kan tala om koherens mellan två vågor, mellan värdena för samma våg vid två olika tidpunkter (temporal koherens) eller mellan värdena för samma våg på två olika platser (spatial koherens). Exempel på koherenta strålar: laserljus"

Binaurala beats

"Ett binauralt beat är ett skenbart ljud som uppfattas i hjärnan som ett resultat av en specifik fysisk stimulans. Denna effekt upptäcktes 1839 av Heinrich Wilhelm Dove.

Hjärnan producerar ett fenomen som uppfattas som lågfrekventa pulser av ljudvolym, när två ljud med något olika frekvenser presenteras oberoende av varandra i var och en av försökspersonens öron. Om skillnaden mellan de två frekvenserna är 4 hertz kommer försökspersonen att höra 4 slag per sekund."

Tillämpning inom biokoherens

Under ljudmeditationer integreras specifika binaurala beats i enlighet med de prioriteringar som ska göras. Dessa tränar hjärnan på särskilda frekvenser i alfa-, beta-, gamma- eller thetaområdet.

Vågor i skala

Marc Henry förklarar att "det finns en femte dimension av skalan, oberoende av de tre rumsliga dimensionerna och den temporala dimensionen. Denna nya dimension gör det möjligt att bestämma i vilken skala det observerade eller uppmätta spatio-temporala fenomenet verkar. Men om det finns en ny dimension måste det också finnas vågor som kan fortplanta sig i den. Dessa är naturligtvis våra skalvågor. Deras roll är att säkerställa samstämmighet mellan de olika skalorna för beskrivning och manifestation av samma fysiska objekt. Dessa skalvågor förekommer inte i akademiska avhandlingar om kvantfysik eller relativistisk fysik. De är dock mycket välbekanta för oss. Allt vi behöver göra är att acceptera frågan om hur en individ kan känna igen de olika delar som utgör honom. Tack vare skalvågorna kan samma individ känna sin enhetlighet, oavsett vilken skala han använder för att beskriva sig själv".

Skalvågor teoretiserades av Joël Sternheimer, som använde dem i praktiken med Proteodies.

Temporala kristaller

"En temporal kristall är en periodisk struktur i tid och rum. Idén om en sådan struktur föreslogs av Frank Wilczek 2012. Enligt honom är det möjligt att tänka sig en struktur som består av en grupp partiklar som rör sig och periodiskt återgår till sitt ursprungliga tillstånd, vilket skulle bilda en "temporal kristall". Uttrycket är myntat utifrån vad som observeras i en "klassisk" kristall, vars atomstruktur visar ett upprepande mönster i olika riktningar i rummet. I en temporal kristall upprepas däremot mönstret periodiskt i tiden, som i en oscillator. Endast en yttre periodisk excitation kan få en temporär kristall att uppstå och **absorbera energi**."

Tillämpning inom biokoherens

När länkarna mellan olika element har identifierats kan återkommande mönster identifieras. Tanken är att dessa mönster (som kan vara en följd av tankar, rörelser, smärtor, olika funktionsstörningar) bildar strukturer som ständigt absorberar energi från det allmänna systemet för att vidmakthålla sin rörelse. Mjukvarans algoritmer kan hitta specifika nodalpunkter för att bryta upprepningen.

Relationen mellan kropp och själ

"Begreppet förekomst introducerades inom sinnesfilosofin på 1960-talet av Donald Davidson, för att förena de till synes motsägelsefulla idéerna om systematiskt beroende och irreducibilitet mellan kropp och själ. När en egenskap av typ B (t.ex. mental) uppstår på en egenskap av typ A (t.ex. fysisk), är varje förändring av typ B likvärdig med en förändring av typ A. När det finns en förekomst kan det således inte finnas en skillnad av ett slag utan en skillnad av ett annat slag på en annan beskrivningsnivå. Det finns därför ett samvariations samband mellan dessa två nivåer."

"Enligt Simon Blackburn saknar den samtida fysiska naturuppfattningen kvalitativa egenskaper som färg, smärta och allt annat som utgör den kvalitativa aspekten av vår upplevelse av världen."

"Vissa panpsykistiska filosofer, som Galen Strawson, hävdar utifrån detta perspektiv att alla fysiska objekt i själva verket är mentala egenskaper som är analoga med egenskaperna i den levda erfarenheten."

Relationen materia-energi-information-betydelse; fysisk, energimässig, informations- och betydelseentropi

För att återgå till "den kvalitativa aspekten av vår upplevelse av världen", låt oss ta en titt på materia:

- materia består av både vågor och partiklar. Den kan beskrivas som materiell (partiklar) eller energetisk (vågor). I verkligheten talar vi om självständiga stationära vågor som skapar sitt eget magnetfält, som en gitarrsträng som viks in i sig själv. På så sätt skapar de

1. <https://marchenry.org/2014/09/15/ondes-dechelle/>

- energi, som lagras eller cirkulerar. Den kan utbytas, men är inte i sig själv varken negativ eller positiv: den representerar bara ett utbyte av energipotential i den ena eller andra riktningen. Däremot bär den %u2026
- "information, som är kodad på "energi eller materia, och representerar symbolerna för ...
- mening, vilket i slutändan är det enda som betyder något för oss som medvetna varelser.

Detta sätter begreppet "entropi" i perspektiv igen. På materienivå är entropi agitation eller energipotential. På informationsnivå är entropi den möjliga mängden information som kan överföras på mediet (energi eller materia). Men på den ultimata betydelsenivån är entropi den mängd betydelsefull information som faktiskt kan överföras.

Ett exempel: tänk dig en knapp som utlöser en atombomb. På informationsnivån räcker det med en enda bit information för att utlösa bomben. På materie- och energinivå är effekten gigantisk men lokaliserad. Och när det gäller betydelsen beror det på målet: en stad (enorm effekt i tid och rum) eller en testtunnel (effekt begränsad till resultatet av experimentet)? På så sätt kan entropimängderna vara radikalt olika på dessa olika nivåer, för samma åtgärd.

Synkroniciteter

"Ibland tror vi att universum sänder oss tecken när till synes otroliga sammanträffanden inträffar. Men för Jung är detta synkronicitet, som vi skulle kunna definiera som samtidigheten av olika händelser som är kopplade till en mening som inte är slumpens. Med andra ord kan denna unika vetenskap sammanfattas som det tidsmässiga sammanträffandet av en serie händelser (två eller fler) som, även om de är sammankopplade, inte har något orsakssamband. Det finns dock en innehållsmässig koppling

"När vi talar om synkronicitet syftar vi enligt Jung på en förening av inre och yttre händelser. Den individ som upplever dessa händelser finner således mening i deras förening. Jung etablerade synkronicitet eller l'occurrence som ett sökande efter igenkännbara mönster."

Tillämpning inom biokoherens

Mönsterigenkänning är en integrerad del av vårt sätt att förstå världen. Synkroniciteter förstås som uppkomsten av mening genom konfrontationen av a priori orelaterade händelser. Det är denna koppling genom mening, genom betydelse, som får fram informationens innebörd. Detta framväxande förhållande belyses genom beräkningen av länkar mellan biomarkörer. I yttersta fall visar sammanhängande system på motsvarigheten till synkroniciteter, dvs. uppkomsten av mening på högre nivå.

Allmän semantik

"Allmän semantik är en icke-aristotelisk form av tänkande för alla, som ursprungligen utvecklades av Alfred Korzybski.

Den allmänna semantiken strävar efter att utvidga ramen för den klassiska semantiken (studiet av ordförrådstermernas betydelse och de förändringar den kan genomgå). Korzybskis mål var att conceptualisera en logik som också motsvarade den vetenskapliga utvecklingsnivån på hans tid och som gjorde det möjligt för oss att lösa mänskliga problem på ett mer effektivt sätt än med de tidigare logikerna från Aristoteles och Descartes och från den aristoteliska och newtonska fysiken. Dessa logiker, som conceptualiserades från antiken till 1600-talet, ansåg Korzybski inte längre vara effektiva för att beskriva och hantera de problem som var specifika för upptäckterna under hans århundrade. Korzybski tillämpade den inom psykiatri, Henri Laborit inom biologin (teorin om handlingsinhibition) och aggressologin (studiet av levande organismers reaktioner under aggressionsförhållanden).

I Science and Sanity förklarar Korzybski att han ser en överensstämmelse mellan denna icke-aristoteliska logik och två vetenskapliga revolutioner under 1900-talet, kvantfysiken och relativitetsteori¹. Han påpekar att den förra omkullkastar de vanliga förnuftskategorierna, medan den senare introducerar "icke-newtonsk" fysik och "icke-euklidisk"² geometri. I likhet med den senare ska "nej" i icke-aristotelisk inte förstås som en negation, utan som en generalisering och ett övervinnande av aristotelisk logik, samtidigt som den senare inkluderas, och ordet "allmän" förstås i samma mening som allmän relativitetsteori³. I analogi med kvantfysiken hävdar Korzybski att observatören är en integrerad del av representationen av verkligheten och att detta måste beaktas i den allmänna semantiken".

Tillämpning inom biokoherens

Allt har en mening. Detta är den ultimata abstraktionsnivån för kedjan materia-energi-information-betydelse. Det är detta som de algoritmer som utvecklats för BioCoherence försöker belysa.

Heuristik

"Heuristik är "konsten att uppfinna, att göra upptäckter" genom att lösa problem baserade på ofullständig kunskap. Denna typ av analys leder till godtagbara lösningar på en begränsad tid. Dessa kan avvika från den optimala lösningen. För Daniel Kahneman är det ett förfarande som hjälper till att hitta adekvata, om än ofta ofullkomliga, svar på svåra frågor."

Tillämpning inom biokoherens

Heuristik är "disciplinen att hitta regler". Även här handlar det om att känna igen mönster, och genom att lyfta fram länkar kan vi titta på den allmänna organisationen snarare än det specifika tillståndet för ett enskilt element i systemet.

Ergodicitet

"Ergodicitet föreligger om flera olika och separata statistiska analyser av samma ämne ger ett tillräckligt jämförbart resultat. Teorin har genomgått många utvecklingar i nära anslutning till teorin om dynamiska system och kaosteori".

Tillämpning inom biokoherens

Mönsterigenkänning är en integrerad del av analysen, som förstärks av de senaste framstegen inom djupinlärning och neurala nätverk.

Irreducibilitet i beräkningen

"Beräkningsmässig irreducibilitet är en av de huvudidéer som Stephen Wolfram för fram i sin bok *A New Kind of Science* (2002).

Många fysiska system är så komplexa att de inte kan mätas på ett effektivt sätt. Även de enklaste programmen uppvisar en mängd olika beteenden. Följaktligen kan ingen modell förutsäga exakt vad som kommer att hända i ett visst fysiskt system innan ett experiment utförs, med hjälp av endast initiala förhållanden. På grund av detta problem med irreducibilitet i datavetenskapens formella språk kallar Wolfram denna oförmåga att "korta ner" ett system (eller "program"), eller att beskriva dess beteende på ett enkelt sätt, för "computational irreducibility". Denna idé visar att det finns fall där teorins förutsägelser i praktiken är omöjliga. Wolfram hävdar att många fenomen normalt är irreducibla i beräkningshänseende.

Beräkningsmässig irreducibilitet förklarar de observerade begränsningarna i den befintliga mainstreamvetenskapen. I fall där det inte går att reducera fenomenet med hjälp av beräkningar kan endast observation och experiment användas."

Tillämpning inom biokoherens

Det här konceptet förklarar till exempel varför livet utvecklas som det gör. Låt oss säga att vi lever i en simulering, som om vi vore karaktärer i ett videospel: varför ska vi bry oss om alla de upplevelser vi har? Varför inte hoppa direkt till slutsatsen? För enligt denna princip är det omöjligt att hoppa till slutsatsen: vi är tvungna att gå igenom alla steg i händelsen för att få veta dess epilög. Man måste "spela spelet", för ingen kan säga hur det kommer att sluta utan att ha spelat det i sin helhet.

Enligt min mening förklarar detta de flesta av de komplexa frågor som väcks av mystik och existentiella frågor. Låt oss säga att metempsykos (reinkarnation) är sant. Varför då karma? Helt enkelt för att det är viktigt att beräkna alla möjliga alternativ, och det bästa systemet för att beräkna dessa alternativ är ett som är medvetet om alternativen. Ur denna synvinkel är karma inte ett verktyg för hämnd, utan för tvärgående kunskap om de möjliga konsekvenserna, omöjliga att förutsäga, av en given händelse. Livet presenterar oss sedan för liknande situationer, men ur en annan synvinkel, och det är upp till oss att medvetet gå igenom stegen och observera resultaten. I den här visionen finns det inget öde eller någon oundviklig händelse; den enda verkligheten är de beslut vi fattar inför de händelser vi ställs inför, men resultatet är omöjligt att förutse förrän vi har fattat våra beslut. I själva verket ligger våra liv helt i våra egna händer.

Det omedvetna, det kollektivt omedvetna och arketyper

"Arketyper är ett analytiskt psykologiskt begrepp som utvecklades av den schweiziske psykiatern Carl Gustav Jung (1875-1961), som definierar det som den mänskliga tendensen att använda samma "a priori givna representationsform" som innehåller ett universellt tema som strukturerar psyket, gemensamt för alla kulturer men representerat i olika symboliska former.

För den jungianska psykologin är arketyperna en grundläggande psykisk process i mänskliga kulturer, eftersom de uttrycker de elementära mönster för beteende och representation som har uppstått ur mänsklig erfarenhet genom historien, i samband med ett annat jungianskt begrepp, det kollektivt omedvetna."

På tal om det omedvetna, här är en lista över uppfinningar och upptäckter som författarna påstod sig ha haft en morgon, efter en dröm:

- Descartes hävdade att tre separata drömmar som han hade den 10 november 1619 avslöjade för honom grunderna för en ny filosofi, den vetenskapliga metoden. Okej, så den vetenskapliga metoden i sig kommer från "en dröm".
- E. Howe sägs ha drömt fram nålen till den moderna symaskinen med låsstygn.
- Forskaren F.A. Kekulé upptäckte den till synes omöjliga kemiska strukturen hos bensen (C₆H₆) när han drömde om en grupp ormar som svalde sina svansar.
- Niels Bohr tilldelades Nobelpriset i fysik 1922 för sin upptäckt av atomens struktur. Han minns att elektroner som kretsade kring kärnan, likt solsystemet, uppenbarade sig för honom i en dröm.
- Den ryske kemisten Dmitri Mendelejev var utmattad efter att i tre dagar ha försökt klassificera de 56 grundämnena när han bestämde sig för att sova. "I min dröm såg jag ett bord där alla grundämnen föll på plats som de skulle. När jag vaknade skrev jag genast ner det på ett papper", skrev Mendelejev i sin dagbok. "Det var bara på ett ställe som det senare visade sig nödvändigt med en korrigering."
- Den indiske matematikern Srinivasa Ramanujan, känd för sina betydande bidrag till talteori, analys och andra områden inom den rena matematiken, hävdade att den hinduiska gudinnan Namagiri Thayar gav honom matematiska insikter i hans drömmar: "Plötsligt började en hand skriva på skärmen. Jag blev mycket uppmärksam. Denna hand skrev ett antal elliptiska integraler. De fastnade i mitt huvud. Så snart jag vaknade skrev jag ner dem
- Ett fält med kor inspirerade Albert Einstein till relativitetsteorin. I sin dröm berättade Einstein för en bonde att korna var omgivna av ett elstängsel, men bonden såg något annat. Einstein vaknade upp och insåg att samma händelse kunde variera från olika perspektiv, och relativitetsteorin började ta form.
- Om Charles Darwin står i rampljuset när det gäller evolutionsteorin, så är vetenskapsmannen Alfred Russel Wallace inte att förakta. Under en åtta år lång expedition till det som idag är Indonesien samlade och studerade Wallace tusentals djurprover. År 1855 drog Wallace slutsatsen att levande varelser utvecklas, men han förstod inte hur förrän 1858, då en feberdröm gav honom uppenbarelse: djur utvecklas genom att anpassa sig till sin miljö.
- Före Otto Loewis arbete var frågan om neurotransmission i huvudsak var kemisk eller elektrisk. Natten före påskdagen hade Loewi drömt fram den perfekta försökssuppställningen: två kammare med bultande hjärtan - den ena med nerverna intakta, den andra utan. Kammarna skulle fyllas med en lösning och vara förbundna med ett rör. Försöksledaren stimulerar det första hjärtat elektriskt, vilket får det att slå långsammare. Om neurotransmissionen i huvudsak är elektrisk finns det ingen anledning för det andra hjärtat att sakta ner. Men om neurotransmissionen är kemisk skulle kemikalier teoretiskt sett kunna flyta ner i röret och även sakta ner det andra hjärtat i den andra kammaren. Loewi noterar denna idé, men kan inte tyda sin egen handstil när han vaknar på morgonen. Följande natt kommer drömmen tillbaka till honom. I samarbete med Henry Dale använde Loewi denna experimentella anordning för att demonstrera kemisk neurotransmission och vann Nobelpriset 1936.
- James Watson, som tillsammans med Francis Crick upptäckte dubbelhelixstrukturen i DNA - livets byggstenar - drömde tydligen om en spiraltrappa, vilket gav honom idén om hur DNA kunde konstrueras. Enligt andra källor drömde han om två sammanflätade ormar vars huvuden befann sig i motsatta ändar.
- Det finns otaliga sånger, böcker, videospel och filmer vars idéer blev tydliga för författaren en morgon.

Det rationella sinnet (vars rationalitet, låt oss inte glömma, härstammar från en dröm) kan dra flera slutsatser av detta:

1. Drömmar gör det möjligt för uppfinnaren att syntetisera sina tankar på ett annat sätt än sinnet. Slutsats: det finns en annan tankeprocess inom oss, en som livnär sig på allt vi redan har inom oss, och som uttrycks i arketyper. Det omedvetna kan ge oss intressant information.
2. Drömmar är en port till en annan dimension av kunskap. Slutsats: drömmar är ett språk som ger oss information som hittills varit otillgänglig, kanske från andra verkligheter eller andra medvetna varelser.

Dessa två möjligheter utesluter inte varandra. Men oavsett om drömmen är en dörr till vårt inre eller en dörr till en annan verklighet, kan man i båda fallen dra en slutsats: drömmarnas språk, det omedvetnas arketyper, är en värdefull källa till information och utveckling för våra medvetna problem.

Vår personliga erfarenhet, efter mer än 10 års meditation, är att meditation gör det möjligt för det omedvetna att kommunicera bättre med det medvetna. Meditation tränar det medvetna sinnet att bättre lyssna till den "lilla rösten" som annars bara uttrycker sig i drömmarnas djup. Vi har sett kraften i att ge mer utrymme åt det omedvetna. Dessa två aspekter samverkar för bättre problemlösning, eftersom de har tillgång till mycket olika kunskapsområden.

Min andra personliga slutsats är att den interna kommunikationen måste tränas som en muskel. Christines första visioner var mycket suddiga och osäkra, men efter år av träning har hon utvecklat ett nytt "sinne" som är lika påtagligt som de vanliga 5 sinnena. Oavsett förklaringen till varifrån denna information kommer, så har den bevisats tusen gånger om att vara lika verklig som den från de andra sinnena. Men utan träning är det mycket svårt att skilja illusion från verklighet. Det tar oss trots allt årtal att bemästra och lita på våra 5 fysiska sinnen; dessa 5 sinnen översätter helt enkelt stimuli som återspeglar en verklighet från omvärlden till ett mönster i våra nervceller. Vad vi har förstått är att det också finns "subtila" sinnen som också översätter konkreta yttre realiteter, och som måste tränas.

Tillämpning inom bio-koherens

Guidade meditationer använder sig av olika arketyper för att få det omedvetna och medvetna att samverka vid problemlösning och inre självutveckling.

Sann koherens i hjärtat

Dan Winter definierar äkta hjärtkoherens genom att en toppkaskad uppträder i analysens "harmonidel" (dvs. en 2:a ordningens FFT). En FFT eller Fourier-transform används för att extrahera frekvenser från en signal. En 2:a ordningens FFT extraherar de musikaliskt harmoniska frekvenserna. Denna matematiska operation gör det möjligt för oss att upptäcka att en klar majoritet av de frekvenser som finns i ett elektrokardiogram är harmoniska med varandra; han kallar detta "sann hjärtkoherens".

Denna topp i "harmoni"-delen kan återfinnas vid flera frekvenser, och man har identifierat frekvensband i denna topp som motsvarar grundläggande känslor vid inspelningstillfället.

Fraktalitet, kompression och faskonjugering

"ett oändligt antal tillstånd är maximalt komprimerat när förhållandet mellan frekvenserna är en potens av det gyllene snittet." ([gsjournal²](#))

Kompression definieras här som den maximala addition av frekvenser (som alltså har konstruktiva - konjugerade - faser mellan sig), som erhålls om frekvenserna är multiplar av d'or-talet mellan dem.

Fraktalitet avser det faktum att liknande strukturer kan hittas i olika skalor.

Elfie-mätningar

Dan Winter har återigen teoretiserat en fundamental ekvation för optimal energi "implosion"; denna ekvation förutsäger många av de resonansfrekvenser som finns i universum. Jag har döpt motsvarande storhet till "Elfie" som en hyllning, dels till alverna (och i synnerhet till alvisk arkitektur), dels till själva ekvationen: $n \text{ Elfie} = L_P \times \Phi^{in}$, dvs Planck-längden (den minsta mätbara längden i universum) multiplicerad n gånger med gyllene snittet.

På så sätt är Elfieskalan inte bara proportionell mot antalet Elfies, utan innehåller också värden som anges för hela Elfies. Dessa heltalsvärden omfattar många kända storheter, t.ex. längd, tid och frekvens. Se [Elfie.link³](#) för mer information.

2. <https://www.gsjournal.net/Science-Journals/Research-Papers-Quantum-Theory/Particle-Physics/Download/4543>

3. <https://elfie.link>

3.1.

Modulöversikt

- BioCoherence **Scan** är ett komplett analysmodul från ett rått elektrokardiogram till flera dussin kartor, diagram och tydliga sätt att beräkna och tolka biomarkörer.
- BioCoherence **Test** är ett öppet sätt att bedöma objektlistor från den levande utvecklingen av pulsen (biofeedback).
- BioCoherence **Balance** möjliggör att identifiera resurser och välja prioriteringar, och skapa PDF-rapporter och anpassade meditationer baserat på det.

Contenido

1. Scan: biomarkörer och teknisk analys.....	17
1.1. Tidsgrafmodul	17
1.2. Biomarkör modul.....	17
2. Scan: organ kartor.....	19
2.1. Anmärkningsvärda orsaker: energi.....	19
2.2. Anmärkningsvärda orsaker: entropi	20
2.3. Anmärkningsvärda system: koherens.....	20
2.4. Hjärna	20
2.5. Kardiovaskulära systemet.....	21
2.6. Mag-tarmkanalen.....	21
2.7. Membraner.....	21
2.8. Kotor.....	22
2.9. Nervsystem.....	22
2.10. Tänder.....	22
2.11. Rörelseapparat	23
2.12. Respiratoriska systemet.....	23
2.13. Kvinnliga genitalier	23
2.14. Manliga genitalier.....	24
3. Scan: TCM meridianer, punkter och recept.....	25
3.1. Blåsa meridian med länkar	25
3.2. Meridianer efter energi, med vanliga relaterade problem	25
3.3. TCM Punkter	26
3.4. TCM Recept, av koherens	26
4. Scanna: Energimodulerna	27
4.1. Ayurveda: Doshor och sub-doshor.....	27
4.2. Energi grafer: chakran, plan, klocka och momentum.....	27
4.3. Energidiagram: mikrovärlden.....	27
5. Scan: Mindmodulen.....	29
5.1. skugga modul.....	29
5.2. Skugga: drivningar	29
5.3. Ande-modulen	30
6. Balansmodulerna	31
6.1. Resurser	31
6.2. Prioriteringar.....	31
6.3. PDF-rapport	32
6.4. Balans: den anpassade meditationen	32
7. Testmodulerna.....	33
7.1. En testlista efter en liveutvärdering	33
7.2. En test lista.....	33
7.3. Testlistor	33
7.4. test: biofeedback live utvärdering.....	34
7.5. tester: redigera	34
8. Förstå modulerna.....	35

1. Scan: biomarkörer och teknisk analys

Att arbeta med ECG-pulsen, biomarkörer och spektra.

BioCoherence bygger sina biomarkörer exklusivt genom matematiska operationer på den råa inspelnings-ECG pulsen.

- I denna modul kan du få åtkomst till den råa inspelningen, deaktivera slag om det fanns mätfel (appen deaktiverar automatiskt slag baserat på en automatisk kvalitetsdetekteringsalgoritm) och arbeta med temporala händelser.
- Du kan också se information från första, andra och tredje ordning om biomarkörer, och bläddra genom dem efter kategori (det finns mer än 1400 biomarkörer...).

1.1. Tidsgrafmodul

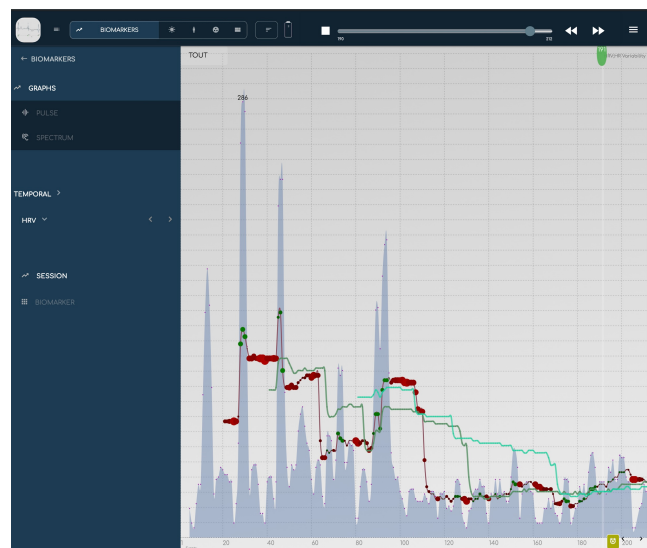
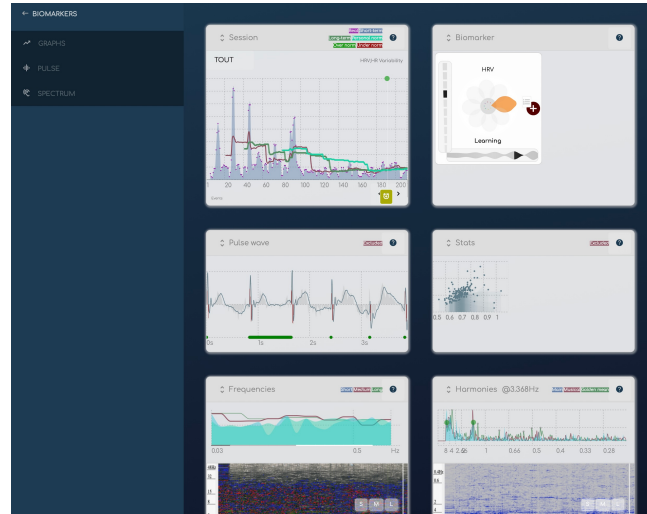
Se hur en biomarkör utvecklas över tid och sessioner.

BioCoherence fungerar med biomarkörer på ett mycket dynamiskt sätt, bedömer deras utveckling över flera tidsramar och jämför dem över tidsramar.

- På denna graf visas varje biomarkör på slagnivå, jämfört med de kortfristiga, medelfristiga och långfristiga glidande medelvärden.
- Du kan flytta inuti inspelningen med den övre rullningen (tryck på Play knappen för att visa den; tryck på Stop knappen för att jämföra över sessioner). Du kan också klicka i grafen för att flytta den aktuella markeringen.
- Du kan ändra zoomen med den övre-vänstra områdesväljaren.
- Du kan arbeta med händelser i detta modul: händelserna visas längst ner i grafen. För att skapa eller redigera en händelse, klicka på knappen längst ner i grafen.

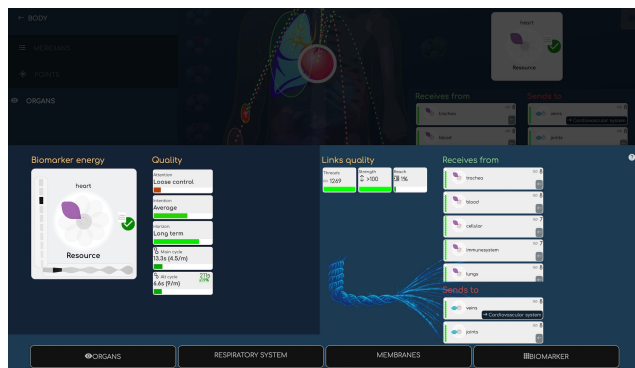
1.2. Biomarkör modul

En djup dykning i en biomarkörs bredd informations.



Varje biomarkör är bara ett klick bort från Biomarkörpanelen, som visar på ett kompakt och bekvämt sätt allt som finns att veta om dess dynamik.

- Den huvudsakliga informationen är biomarkören **blomma**, som möjliggör en omedelbar bedömning av dess huvudkvalitet. Blomman är en sammanställning av dess huvudenergi och dess huvudentropi (eller agitation). Det finns 9 olika blad, och varje blad åtföljs av ett enkelt ord för att förstå dess huvudkvalitet.
- Den dynamiska kvaliteten visas i den 2:a kolumnen. **Uppmärksamhet, avsikt och horisont** är information om dess långsiktiga dynamik.
- Den huvudsakliga cykeln och alt cykel visas också i denna kolumn. Detta är den huvudsakliga andningen för biomarkören. Cykeln visas i varaktighet (sekunder) och period (per minut). Om cykeln matchar ett integer Elfie värde¹, som indikerar en resonans med bra energiekollaps, är länken till Elfie-tabellen markerad.
- **länkar** panelen visar relationer med andra biomarkörer (här, andra organ). Länkernas kvalitet är en sammanställning av de huvudsakliga rep (trådar är ett antal av alla länkar, styrka på deras soliditet, och Reach indikerar hur många biomarkörer i familjen är kopplade till denna en). Mottar från, och skickar till, listar de andra biomarkörerna. Ett klick på den öppnar deras informationssida.
- På botten, Maps och Graph knapparna möjliggör ett direkt åtkomst till de relevanta sidorna.



1. <https://elfie.link>

2. Scan: organ kartor

Dussintals exklusiva, vackert ritade kroppskartor har designats för BioCoherence så att navigering och länkar blir lätta att se och förstå.

Med nära 500 biomarkörer dedikerade till organsystem, organ eller organdelar, kände vi att vi måste kartlägga allt för att få det att ge mening.

- A dussin vackert utformade kartor för en allmän översikt eller zoomas in på Tänder, Kotor, Nerver, Hjärna...
- En av de centrala funktionerna i BioCoherence är den 3:e ordningens information **Länkar mellan biomarkörer**. Varje karta lyfter vackert fram länkarna mellan organen på kartan, eller länkar med ett klick till organen på andra kartor.
- De visuella länkarna och de två kolumnerna möjliggör omedelbar bedömning av de energetiska relationerna med andra organ (tar emot från, eller skickar till)
- Väljaren till vänster listar alla organ på den här kartan, tillsammans med deras biomarkör utvärdering.



Öppna modulen

Genom att klicka på "Kropp" och sedan "organ", öppnas modulen med en allmän översikt över kroppen, inklusive ett urval av de viktigaste biomarkörerna: huvudorgan, huvudhormoner, huvuddelar av lokomotorsystemet, blod, celler.

Om du klickar på ett organ, eller väljer det från menyn, är det omgivet av en vit halo, och de huvudlänkar som finns med de andra organen på den här skärmen visas (de är inringade i rött om de mottar energi från det valda organet, och i grönt om de skickar energi till det).

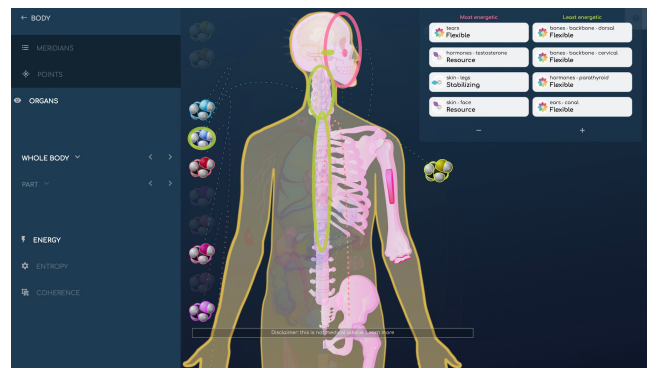
Om länkar finns med organ som är detaljerade på andra kroppskartor, identifieras de genom namnet på den kartan på en svart bakgrund; ett klick på det öppnar den detaljerade kartan.

2.1. Anmärkningsvärda orsaker: energi

Omedelbart lyfter fram de mest och minst energifulla delarna

Varje kroppskarta har ett Energi, Entropi och Koherens undermenyn, nedan kartmenyn och delmenyn.

- **Energii** modulen visar de minst och mest energifulla elementen i denna karta, tillsammans med deras relationslänkar. Du kan ändra antalet element genom att klicka på + och - knapparna under listan, och klicka på valfri biomarkör för att visa dess information.

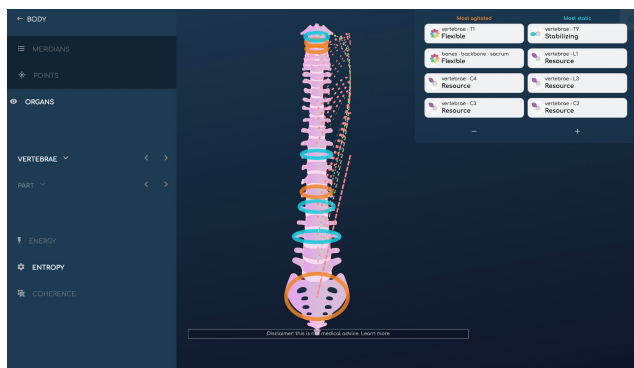


2.2. Anmärkningsvärda orsaker: entropi

Omedelbart framhäver de mest agiterade och de mest statistiska delarna

Varje kroppskarta har en Energi, Entropi och Koherens undermeny, nedan kartmenyn och delmenyn.

- **Entropi** modulen visar de mest agiterade och mest statisk elementen på denna karta, tillsammans med deras relationer. Du kan ändra antalet element genom att klicka på + och - knapparna under listan, och klicka på någon biomarkör för att visa dess information.



2.3. Anmärkningsvärda system: koherens

Omedelbart framhäver de system som resonerar tillsammans mest.

Varje kroppskarta har ett Energi, Entropi och Koherens undermeny, nedan till karta meny och delar meny.

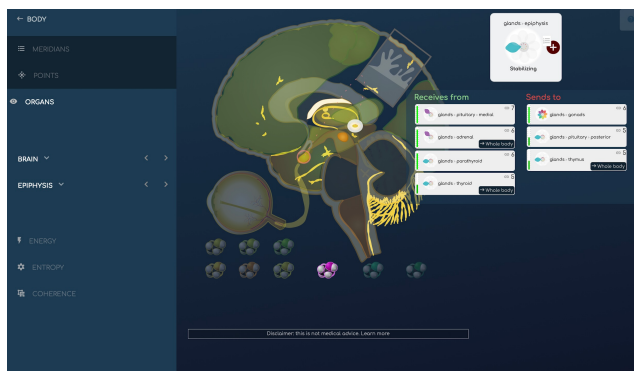
- **Koherens** modulen visar de system som är mest i fas tillsammans, som resonerar tillsammans, tillsammans med deras relationslänkar. Du kan klicka på valfri biomarkör för att visa dess information.



2.4. Hjärna

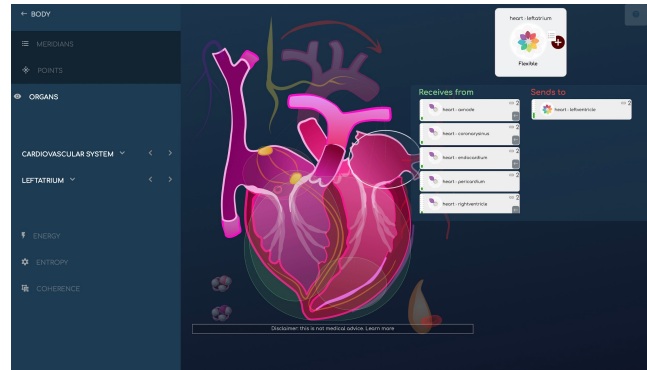
Länkarna mellan hjärnans komponenter och de hormoner som är kopplade till dem är grafiskt framhävda här; det är också möjligt att visa de mest anmärkningsvärda ur ett energimässigt perspektiv, de mer eller mindre upprörda, och de som är i koherens.

Vi har också lagt till ögonen och deras komponenter till denna karta.



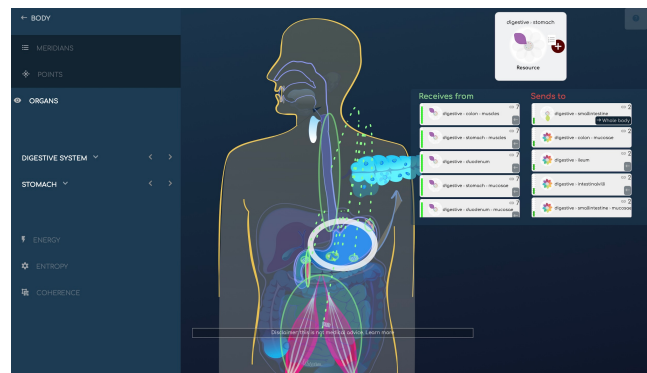
2.5. Kardiovaskulära systemet

Länkarna mellan elementen i det kardiovaskulära systemet framhävs grafiskt här; det är också möjligt att visa de mest anmärkningsvärda ur ett energetiskt perspektiv, de mest eller minst agiterade, och de som är i koherens. Den anatomiska tavlan av det kardiovaskulära systemet inkluderar hjärtat och alla dess detaljer, blodsystemet (vener, artärer... inklusive cirkulation och sympatisk kontroll av blodtrycket), blod (plasma, hemoglobin) och hormoner (adrenalin och noradrenalin).



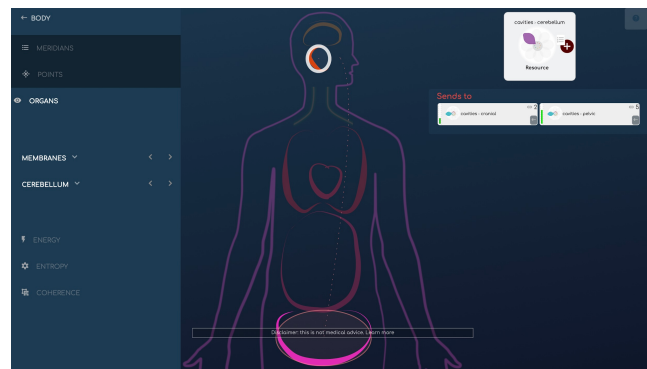
2.6. Mag-tarmkanalen

Länkarna mellan elementen i matsmältningssystemet, från mun till anus, är grafiskt framhävda här; det är också möjligt att visa de mest anmärkningsvärda ur ett energetiskt perspektiv, de mest eller minst agiterade, och de som är i koherens.



2.7. Membraner

Den anatomi layoutet av membranerna är lite ovanligt; vi ville lyfta fram resonanslänkarna mellan de här stora håligheterna. De är faktiskt en viktig del av den övergripande balansen från ett holistiskt perspektiv, vilket vanligtvis lite tas i beaktande. De ger en semi-global läsningsnivå och är också viktiga från ett prologiskt tolkningsperspektiv.



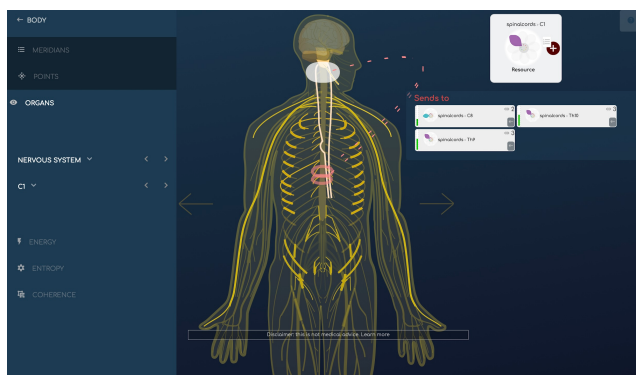
2.8. Kotor

Länkarna mellan ryggkotorna framhävs grafiskt här; det är också möjligt att visa de som är mest anmärkningsvärda ur ett energiskt perspektiv, de som är mer eller mindre agiterade, och de som är koherenta.



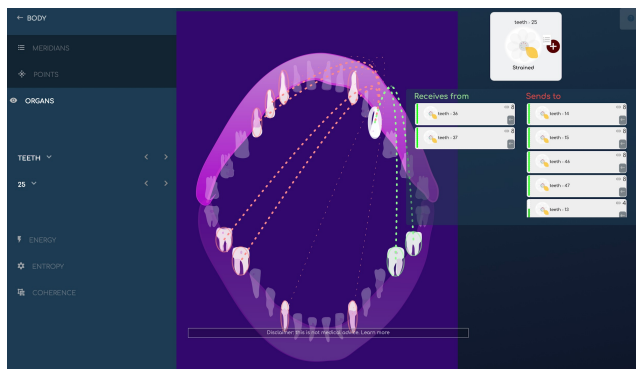
2.9. Nervsystem

Länkarna mellan elementen i nervsystemet framhävs grafiskt här; det är också möjligt att visa de mest anmärkningsvärda ur ett energetiskt perspektiv, de mer eller mindre oroliga, och de som är i koherens. Nervsystemet inkluderar hjärnan och detaljer om hjärnan, nerverna och detaljer om vissa nerver, samt nerverna kopplade till ryggmärgen.



2.10. Tänder

Länkarna mellan tänder och tandkött framhävs grafiskt här; det är också möjligt att visa de mest energiskt betydelsefulla tänderna, de som är mer eller mindre agiterade, och de som är i koherens.



2.11. Rörelseapparat

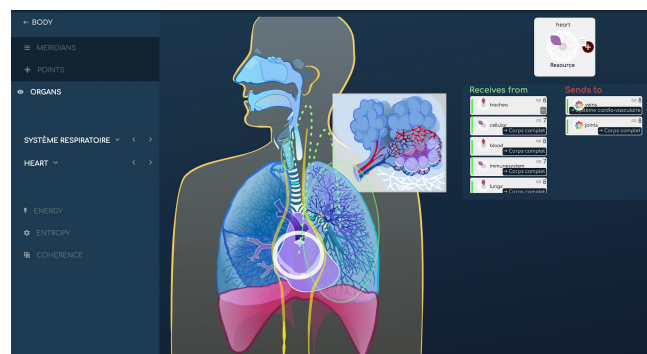
Länkarna mellan elementen i muskel- och skelettsystemet (ben, muskler, men också hormoner och vissa organ) framhävs grafiskt här; det är också möjligt att visa det mest anmärkningsvärda ur ett energetiskt perspektiv, de mest eller minst agiterade, och de som är i koherens

Valen som görs på varje anatomisk platta är utformade för att lyfta fram relevanta relationer mellan elementen. På den här skärmen, förutom delar av ryggraden, benmärg, skelett, brosk, muskler, fascia och kalciummetabolism, har vi lagt till intressanta hormoner och organ som bisköldkörtel, hdh eller noradrenalin, hår, hud och tänder.



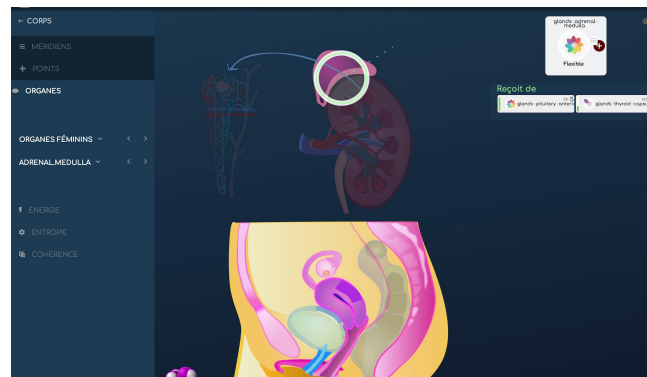
2.12. Respiratoriska systemet

Länkarna mellan elementen i andningssystemet framhävs grafiskt här; det är också möjligt att visa de mest anmärkningsvärda ur ett energiskt perspektiv, de mer eller mindre agiterade, och de som är i koherens. På denna skärm hittar vi också de frontala bihålorna, hörselgångarna och hjärtat.



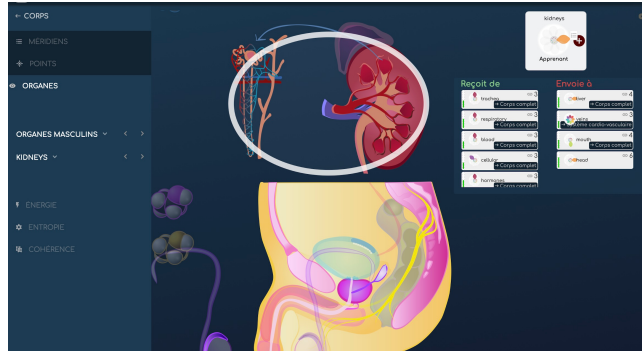
2.13. Kvinnliga genitalier

Länkarna mellan elementen i den kvinnliga genitalia och relaterade organ (njurar, urinblåsa, korsben, binjuror och relaterade hormoner såsom pregnenolon...) är grafiskt framhävda här; det är också möjligt att visa de mest anmärkningsvärda ur ett energetiskt perspektiv, de som är mer eller mindre agiterade, och de som är i koherens.



2.14. Manliga genitalier

Länkarna mellan elementen av manliga genitalier och relaterade organ (njurar, urinblåsa, korsben, binjurar och relaterade hormoner såsom testosteron, dhea, hgh...) är grafiskt framhävd här; det är också möjligt att visa det mest anmärkningsvärda ur ett energimässigt perspektiv, de mer eller mindre agiterade, och de i koherens.



3. Scan: TCM meridianer, punkter och recept

Meridianer, akupunkturpunkter, TCM recept

Mästare av den energetiska utvärderingen sedan 5000 år, är den Traditionella Kinesiska Medicinen omfattande använd och dramatiskt utvidgad i BioCoherence.

- **Meridianer** visas i 12 eller 20 delar. De huvudsakliga energikanalerna i kroppen, grafen visar deras kopplingar och kartan, deras vägar.
- **Akupunkturpunkter** är dynamiskt animerade på kartan. Mer än 350 punkter beräknas av vår exklusiva algoritm.
- **Recept** är traditionella sätt att hantera energetiska problem, den TCM vägen. Vi har dramatiskt utvidgat detta princip för att beräkna energins, entropins och koherensens värden för hundratals recept för att utvärdera deras nytta i den aktuella utvärderingen, och därigenom indikerar deras möjliga behov - en form av utvärdering som kan hjälpa till att diagnostisera problem.

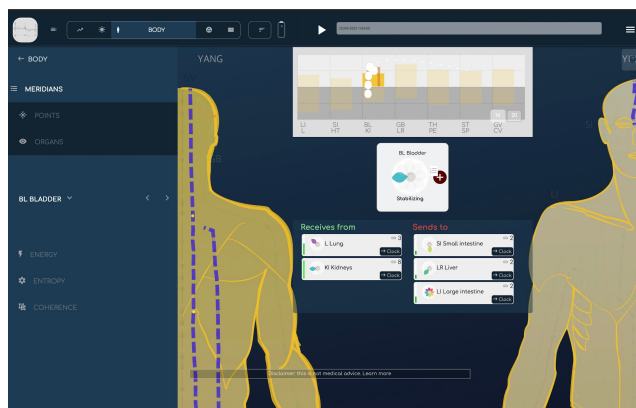


3.1. Blåsa meridian med länkar

Klicka på en meridian för att få information.

När du klickar på en meridian, kommer grafen att visa dess relationer med andra meridianer, biomarkören kommer att visa dess huvudkvalitet, och länkarna till andra meridianer (tar emot från, eller skickar till) kommer att visas.

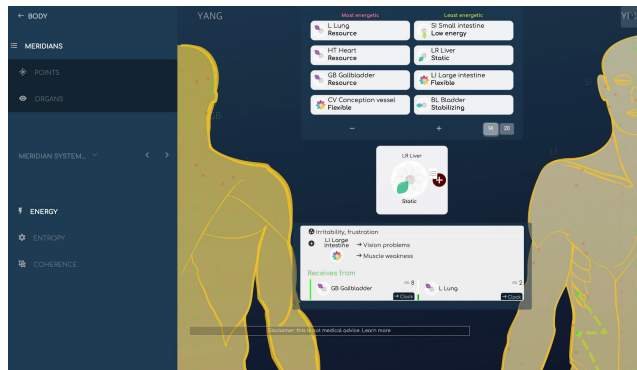
3.2. Meridianer efter energi, med vanliga relaterade problem



Identifiera de energetiska bästa och sämsta, med ett klick

Energimenyn visar direkt de mest energiska och minst energiska meridianerna, vilket kan hjälpa till att identifiera problem.

- När du klickar på en meridian visas ytterligare slutsatser som är relaterade till det aktuella energiska tillståndet för meridianen, och de möjliga tillstånden när de associeras med andra meridianers tillstånd, enligt TCM-kunskap.

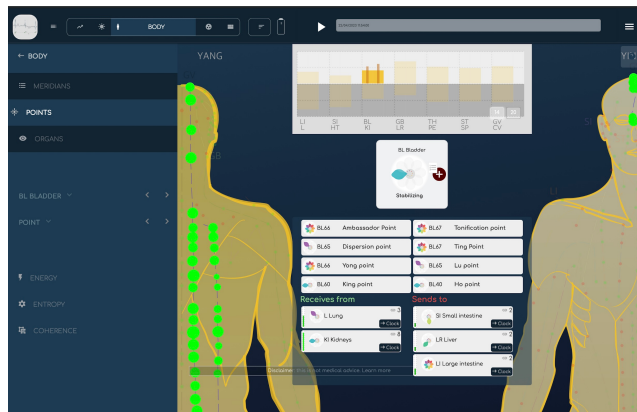


3.3. TCM Punkter

Mer än 350 punkter beräknas

Modulen **Points** visar TCM akupunkturpunkter.

- Klicka på en meridian för att visa alla punkter i denna meridian, tillsammans med traditionell information om viktiga punkter i meridianen.
- Klicka på en punkt för att se dess biomarkör.

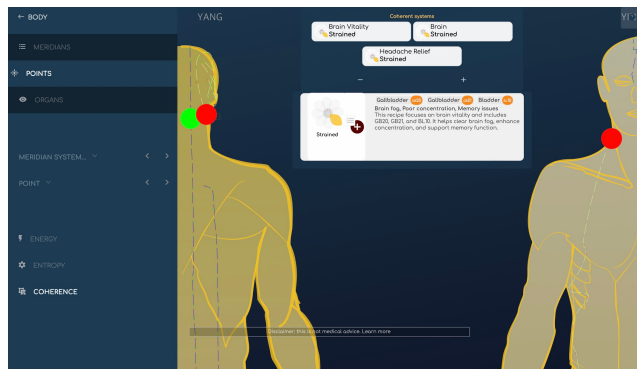


3.4. TCM Recept, av koherens

Koherens är ett sätt att se recept som är helt i fas.

Vi återkonstruerade akupunkturrecepten för att göra det till ett bedömningsverktyg.

- Genom att klicka på **Koherens**, recept vars punkter är helt i fas tillsammans (det betyder, dess punkter resonerar tillsammans och rör sig tillsammans som en enda punkt) visas. Klicka på ett recept för att se punkterna på kartan och få vägledning. När det läggs till prioriteringar, kommer receptet att användas i Balansdelen för att hjälpa till att återbalansera dess effekter.



4. Scanna: Energimodulerna

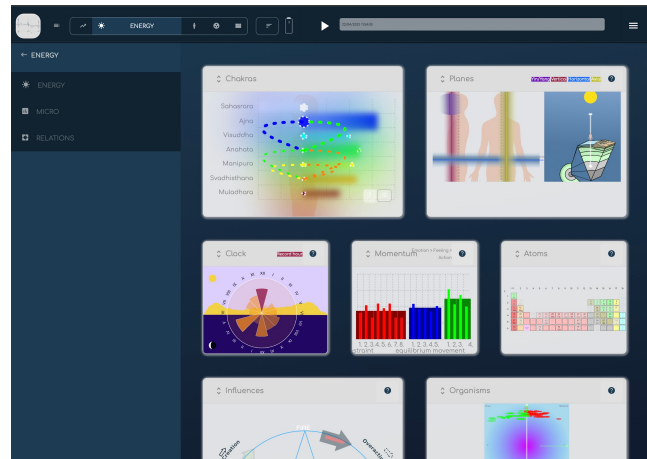
Allt du behöver för att bedöma på den energetiska nivån

Dessa diagram möjliggör att se information som chakran, klocka, plan, momentum, atomer, inflytanden och organismer.

4.1. Ayurveda: Doshor och sub-doshor

Den Ayurvediska utvärderingen av kroppens energi.

Ayurvediska utövare vet hur man arbetar med den energetiska konstitutionen i kroppen. De tre huvudkonstitutionerna är Vata, Pitta och Kapha, vardera med 5 sub-doshor. I en BioCoherence analys, kan du se varje dosha och sub-dosha röra sig när du flyttar tidsmarkören, eftersom alla dessa system är dynamiska. Sättet de rör sig är en del av vår bedömning.

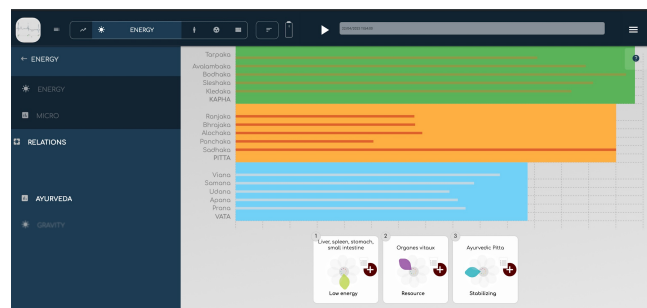


4.2. Energi grafer: chakran, plan, klocka och momentum

De huvudsakliga energetiska motorerna i kroppen

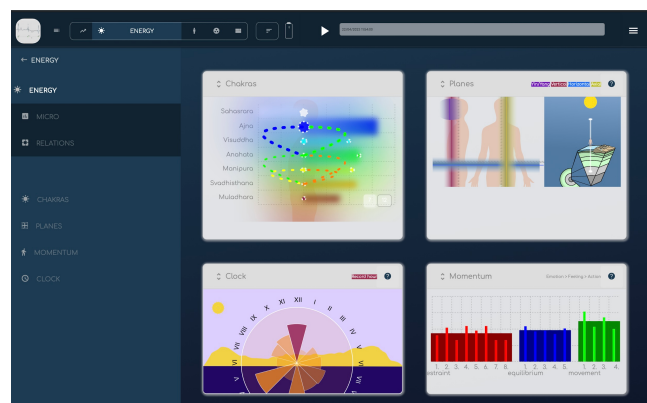
Dessa 4 diagram möjliggör en korrekt energetisk utvärdering av de huvudsakliga funktionerna i kroppen.

- **Chakras** kan visa de 7 eller 12 chakrarna, deras globala aura, och relationerna mellan dem.
- **Planer** belyser de huvudsakliga energetiska jämvikterna i kroppen: de horisontella, vertikala och axiala planen visas, tillsammans med kopplingen till det djupa jordfältet och det himmelska fältet.
- **Klocka** visar relationen mellan meridianerna och deras huvudsakliga funktions timmar, tillsammans med inspelnings tiden, för att utvärdera den korrekta tidsjusteringen.
- **Momentum** är ett diagram vi skapade för att visa de 3 huvudsakliga trögheterna och deras komponenter: de som håller tillbaka, de som jämnar ut och de som hjälper till för rörelse.



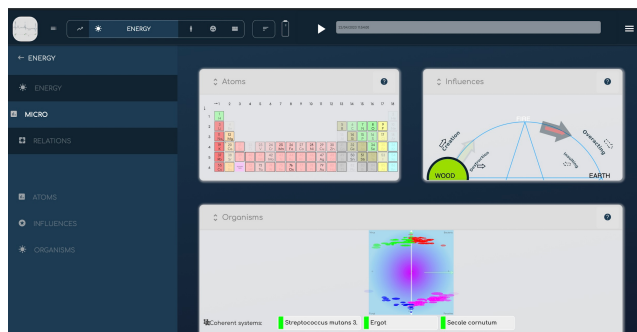
4.3. Energidiagram: mikrovärlden

Mycket liten, men mycket användbar



Dessa 3 diagram visar de mikroelement som kan påverka det globala systemet.

- **Atomer** visar det periodiska systemet och resonanserna mellan elementen.
- **Påverkan** är TCM 5 elementsstjärnan, med deras respektive konstruktiva eller destruktiva påverkan beräknad och markeras genom pilar.
- **Organismer** är utvärderingen av 200 externa organismer (virus, bakterier, svampar och parasiter) och deras respektive kopplingar.

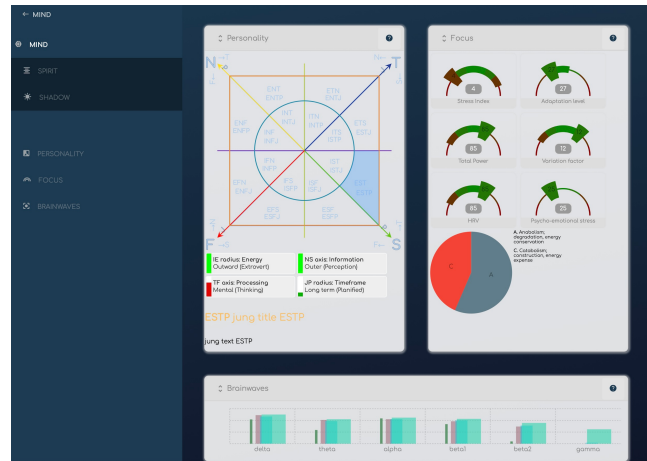


5. Scan: Mindmodulen

Sinnet, Anden och Skuggan är fokus för denna modul.

Med mer än 300 biomarkörer dedikerade till saker som händer i våra tankegångar, syftar Mind modulen till att organisera deras avläsningar på ett bekvämt sätt.

- **Mind** hanterar personlighet, fokus och hjärnvågor.
- **Personlighet** återskapar Jungs personlighetstyp (senare populäriserad som Myers Briggs eller MBTI). För denna skärm har vi skapat en unik, ny logisk visualisering baserad på 4 axlar vi upptäckte i personlighetsbedömningen.
- **Fokus** samlar traditionella HRV akademiska indikatorer såväl som en byggande/förstörande balansvisualiserares.
- **Hjärnvågor?** Ja, vår sensor kan läsa upp till 64Hz den hela kroppens elektricitet, inte bara hjärtats. Vi har designat en algoritm för att extrahera de specifika informationerna från hjärnvågorna för att få en känsla av de mest aktiva fokuslägena i sinnet.



5.1. skugga modul

Känslor, sår och drifter

Skuggan, eller det undermedvetna, är en integrerad del av vårt beteende.

- **Känslor** extraheras från de huvudsakliga rytmerna av EKG.
- **Sår** relaterar till TCM-påverkan. De 5 såren (eller 8 sår som det ursprungligen var designat) har haft en populär användning i 30 år. I BioCoherence utökar vi deras betydelse genom att lägga till deras respektive konstruktiva eller destruktiva relationer.
- **Drivkrafter** är ett helt nytt sätt att organisera känslor på ett meningsfullt sätt.

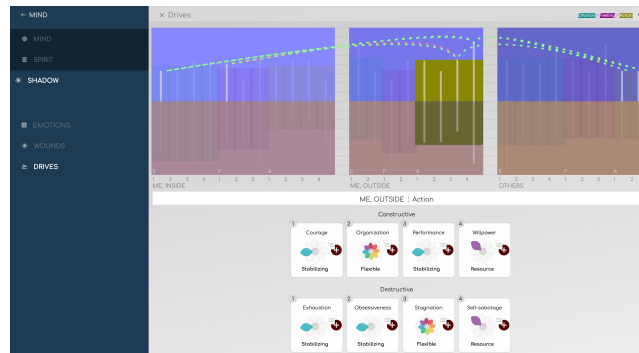


5.2. Skugga: drivningar

Ett nytt sätt att organisera känslor.

Drives är ett helt nytt sätt att organisera känslor på ett meningsfullt sätt i 28 grupper av motpolar, prydligt ordnade i 3 huvudgrupper (JAG Inuti, JAG Utanför och ANDRA), varje bestående av 3 undergrupper (Känsla, Handling).

- **JAG Inuti** behandlar de känslor som berör min inre funktion.
- **JAG Utanför** behandlar de känslor som relaterar min inre verksamhet till vad som händer runt mig.
- **ANDRA** behandlar de känslor som relaterar till andra människor runt mig.
- **Känsla** är roten till deras ursprung.
- **Känsla** är hur jag tolkade dem.
- **Handling** är vad jag gör med dem.



Genom att använda meditationstekniker såsom den observerande sinnet, kan man bättre förstå artikulationen och konsekvenserna av uppkommande känslor.

Resonanslänkarna mellan känslor, som visas när du klickar på grafen, kan också hjälpa till att förstå vad som händer.

5.3. Ande-modulen

Musik och skala justering

Ande är den delen av oss som överskrider rum och tid.

- **Musik** är en avläsning av de huvudsakliga frekvenserna i EKG kopplad med mycket musikteori. Skala och huvudackord beräknas på kort sikt (en taktslag), medellång sikt (2 taktslag), lång sikt (3 taktslag) och mycket lång sikt (4 taktslag). Dessa används sedan när man bygger den anpassade meditationen, för att ta dig musikaliskt från där du är till där du kan gå.
- **Justering** baseras på Dan Winters ekvation och [Elfie heltal värden](#)².
- in Justering, **Fokuserad koherens** är, som Dan säger, den "Riktiga Hjärnkoherensen": den beräknar mängden fokus genom cepstrum (2:a ordningens FFT) eller, i enkla termer, beräknar hur mycket de globala frekvenserna som finns i EKG är **musikaliskt** i överensstämmelse och i fas tillsammans.
- in Justering, **Riktig Hjärnkoherens** beräknar samma men för frekvenser som är multiplar av det gyllene snittet mellan dem.
- in Justering, **Inbäddad implosion %** visar den delen av frekvenserna som är nära heltal Elfie värden, vilket indikerar mängden energi som för närvarande är inbäddad i den bästa energikollapsykeln.



2. <https://elfie.link>

6. Balansmodulerna

Prioriteringar, resurser, rapporter och guidad meditation.

Balance är en samling verktyg för att hjälpa dig uppnå maximal kvalitet.

- **Prioriteringar** är vad som behöver uppmärksamhet nu.
- **Resurser** är vad du kan pålitligt bygga på.
- **Rapport** är ett PDF-dokument för alla viktiga delar av analysen.
- **Balance** är genereringen av guidade meditationer, frekvenser, binaurala beats och återvärderingar, alla optimerade i real-tid via biofeedback.

6.1. Resurser

Kraften av resurser: de är redan dina och de är redan tillgängliga för att hjälpa

Resurser är de huvudsakliga pelarna, de huvudsakliga energidrivarna för denna inspelning. Balansmodulen bygger främst på resurser för att välja relevanta frekvenser, binaurala slag och ljudguidande röster för att bygga upp energi innan man börjar jobba med prioriteringar.

- Resurser identifieras automatiskt men kan ändras om det behövs. För att ändra en resurs, klicka på den och välj en annan av de viktigaste resurserna för denna kategori.

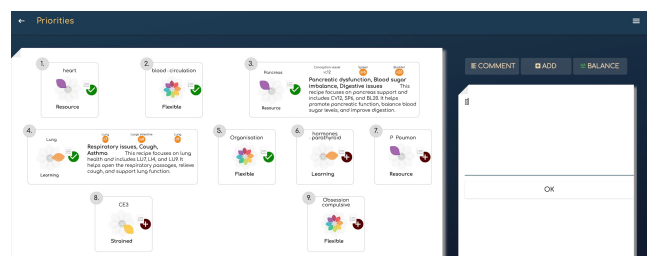
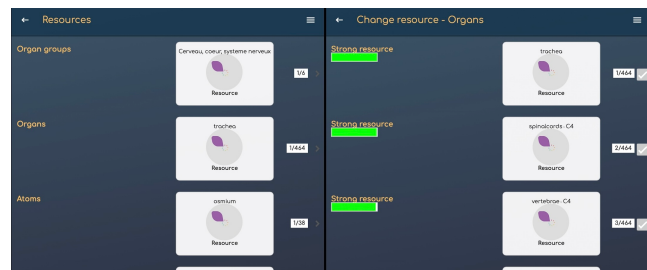


6.2. Prioriteringar

Vad behöver uppmärksamhet.

Prioriteringar är biomarkörer som behöver uppmärksamhet. De beräknas automatiskt efter en inspelning, men det är helt upp till användaren att lägga till eller ta bort prioriteringar.

- Prioriteringar kan läggas till eller tas bort från vilken biomarkörblomma som helst, på vilken sida som helst, eller i Prioriteringsmodulen. Klicka bara på + knappen!
- Under prioriteringar, **Kommentar** knappen tillåter användaren att lägga till valfri text.



- **Lägg till** knappen visar en lista över relevanta ytterligare prioriteringar att välja från, om det är nödvändigt, från Organ, Akupunkturmeridianer, Meridianpunkter, TCM Recept, Chakras, Drifter, Momentum...

6.3. PDF-rapport

1-klick export av alla viktiga informationer som en PDF

PDF-rapporten kan skrivas ut, sparas eller skickas med ett klick. Den innehåller:

- Kundinformation
- Inspelningsinformation
- Anteckningar
- Delar och sessioner
- Resurser och prioriteringar
- Huvudmeridianer (energi, entropi, koherens)
- Huvudorgan (energi, entropi, koherens)
- Huvud MTC-recept (energi, entropi, koherens)

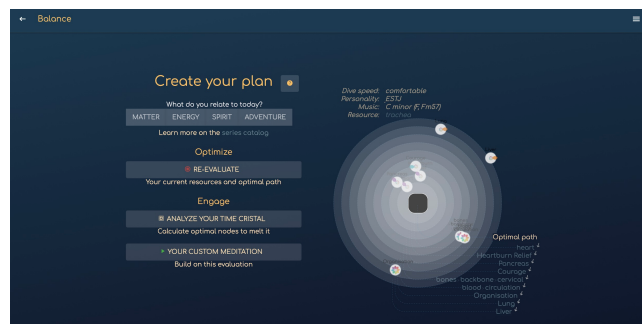
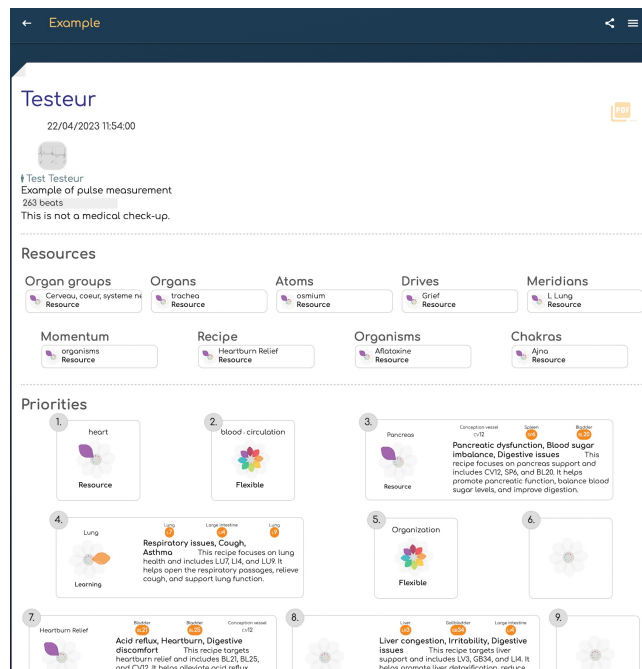
Det kan anpassas av Pro.

6.4. Balans: den anpassade meditationen

Nu är det dags att agera.

Balans är en hel modul för att skapa anpassade meditationer.

- Användaren kan välja en stil han relaterar till, vilket kommer att välja kort från olika guiderade meditationsserier.
- Det är rådligt att omvärdera varje dag, innan en ny meditation: alla biomarkörer kommer att utvecklas och meditationen kommer att beräknas om därefter.
- De huvudsakliga parametrarna (dykningshastighet, personlighet, musik, resurser) beräknas utifrån de huvudsakliga funktionerna hos de beräknade biomarkörerna. Musiken genereras från den aktuella melodin och ackorden från användaren, till det önskade tillståndet, i en harmonisk progression.
- Prioriteringarna visas som planeter som kretsar kring användaren, längre och längre bort eftersom det är så meditationen kommer att närma sig dem, längre och längre in i djup rymd.
- Ett ytterligare verktyg är **tidskristallmältaren** som kommer att beräknas kring heltaliga tids-Elfie-värden och påminna användaren vid rätta tillfällen om besluten och det arbete som pågår. Tänk på det som mikro-meditationer, 5 till 30 sekunder för sig själv vid specifika tidsnoder. Målet är att lösa upp tidskristallen av vanor och omprogrammera hela systemet på 21 dagar.

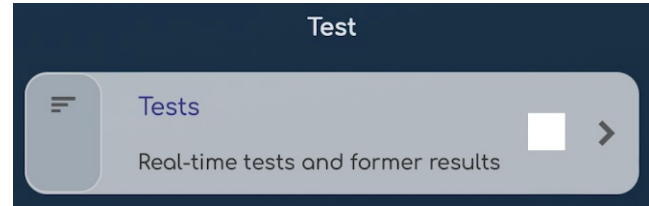


7. Testmodulerna

Använda biofeedback för att få real-tidsbedömning av vilken information som helst

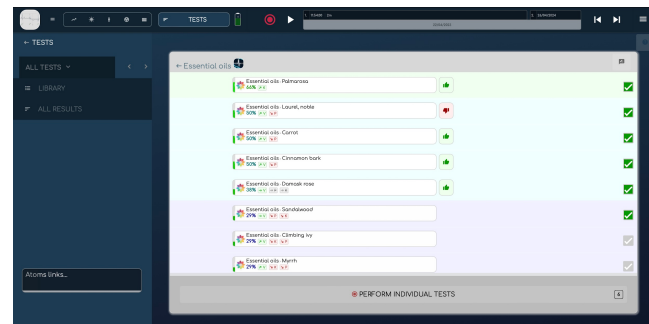
Tester är ett unikt sätt att bedöma alla slag av information.

- Genom att använda biofeedback i real-tid, är tester individuella bedömningar av kompatibilitet.
- Tester består av listor över element. Varje element kan förberäknas från en skanning, och testas live mot kroppens reaktion på dess information.



7.1. En testlista efter en liveutvärdering

Efter den levande utvärderingen, kan du se de 2 informationen visade på listan: den automatiska förutvärderingen (om någon), baserat på biomarkörens behov och den angivna effekten av varje listelement; och biofeedbacksvaret, ett tummen upp eller ner, baserat på den somatiska svaret från organismen under testet.

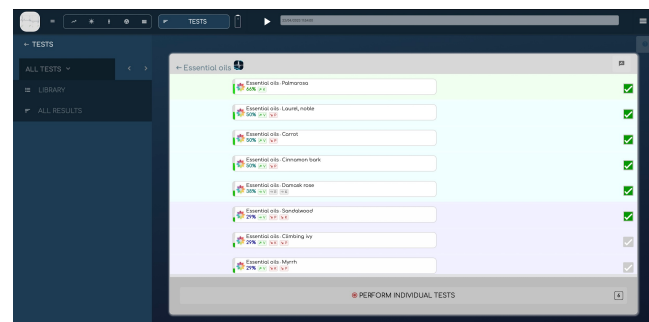


7.2. En test lista

Ett test består av en lista över element som ska utvärderas och ordnas.

7.3. Testlistor

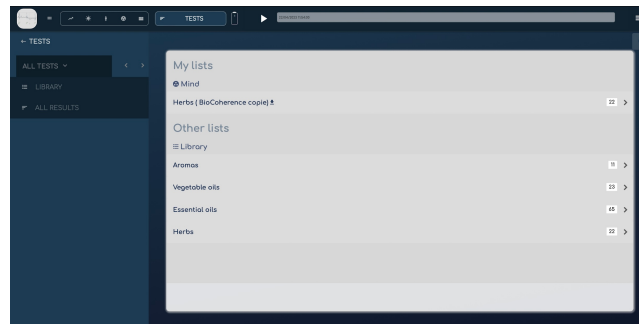
Söka, redigera, dela och välja tester



Tester är en öppen plattform där skapare kan skapa och dela sina listor. Du kan söka efter nyckelord, skapare eller testtyp, duplicera befintliga tester för att bygga dina egna, och visa alla testade resultat för den aktuella rapporten med ett klick.

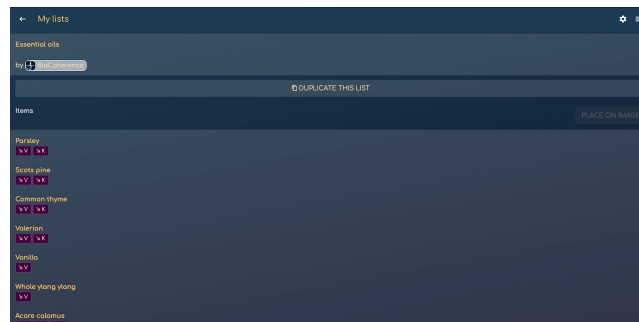
7.4. test: biofeedback live utvärdering

När testet startas skickas information till användaren och det somatiska svaret utvärderas.



7.5. tester: redigera

Alla pro kan skapa tester för sig själv eller för att dela senare. För varje element i testlistan, kan man specificera åtgärden på biomarkörer för automatisk utvärdering, eller lägga till någon typ av information för biofeedback utvärdering.



8. Förstå modulerna

Scanresultat visas under denna modul.

Kontrollera de olika Scan-kapitlen för att få mer information.

Understand	
 Biomarkers	9 >
 Evolution charts, events, pulse wave	
 Energy 	10 >
 Chakras, planes, clock, influences, atoms, doshas...	
 Body 	13 >
 Organs, meridians, points	
 Mind 	14 >
 Psychology, mind, spirit, shadow, conscioussness	
 Progress	>
Evolution and events	

3.2.

Detaljerad guide

Denna handbok täcker alla aspekter av applikationen, och varje kapitel illustreras med skärmdumpar och videor för att hjälpa dig att förstå hur du bäst använder den.

För att få åtkomst till videorna och forumet per kapitel, gå till biocoherence.net/tutorials

Contenido

9. Introduktion	39
9.1. Översikt av programvarugränssnittet.....	39
9.2. Öppna en rapport	40
9.3. Inspelning med Sensor.....	41
9.4. Kundhantering	42
9.5. Fler-delarsrapport	43
10. Förstå: Biomarkörer.....	44
10.1. Biomarkörer i detalj.....	44
10.2. Pulsåtgredigering och verifiering (råinspelning).....	46
10.3. Övervakning av biomarkörförändringar under kursen av sessioner.....	47
10.4. Frekvens och Harmonisk Analys.....	47
10.5. den kausala kedjan.....	48
10.6. Förekomst.....	51
10.7. Polygraph.....	51
11. Förstå: Energi.....	52
11.1. Atomer.....	52
11.2. Ayurvedisk Energi Bedömning.....	52
11.3. Chakra Visualisering.....	53
11.4. Påverkan.....	53
11.5. Momentum.....	54
12. Förstå: Kropp.....	56
12.1. TCM meridianer.....	56
12.2. Organ kartor.....	57
12.3. Akupunkturpunkter.....	58
13. Förstå: Sinne.....	60
13.1. Justering.....	60
13.2. Hjärnvågor.....	60
13.3. Drivkrafter.....	61
13.4. Känslor.....	63
13.5. Fokus.....	63
13.6. Musik.....	64
13.7. De 2016 personlighetstyperna.....	65
13.8. De 5 sår.....	66
14. Test.....	68
14.1. Testlistor.....	68
15. AI i BioCoherence.....	71
15.1. AI Hjälpare.....	71
16. Balans.....	74
16.1. Prioriteringar.....	74
16.2. Resurser.....	75
16.3. PDF rapport.....	76
16.4. Balans: Meditationer, ljud och verktyg.....	77
16.5. Harmonisk Ökning.....	80

9. Introduktion

Allmän presentation av denna guide

I denna introduktion, kommer vi att titta på hur man öppnar en befintlig rapport, importerar ett EKG från Hälsa, eller skapar en ny rapport genom att spela in med Sensor. Vi kommer också att titta på applikationens initiala koncept.

9.1. Översikt av programvarugränssnittet

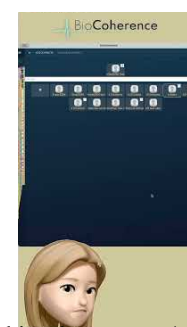
Gränssnitt på dator, surfplatta eller smartphone; forum, kontextkänslig manualåtkomst och kontextkänsliga hjälpfrågor.

När du öppnar en rapport efter inspelning, finns det flera gränssnittselement för att hjälpa dig att navigera och analysera data effektivt.

Överst i gränssnittet finns en meny som ger åtkomst till de olika delarna av rapporten. En navigeringsrad möjliggör att flytta runt inom inspelningen. Huvudmenyn är indelad i flera avsnitt. För att återgå till sammanfattningen, klicka bara på den tillhandahållna knappen.

Huvudavsnitten inkluderar :

- **Scanningsanalys:** Detta avsnitt visar olika skärmar, såsom kropp, energi, biomarkör teknisk analys, sinnesanalys, och progressioner genom inspelningarna.
- **Tester:** För närvarande har detta avsnitt bara ett post, men fler alternativ kommer att läggas till. Det inkluderar listtester, frekvenstester och live-tester.
- **Sensoranslutningar:** Genom att klicka på batteriikonen, kan du initiera en Bluetooth-anslutning till sensorerna och starta en inspelning direkt.



biocoherence.net/n82.92

Navigering i inspelningen kan vara över skärmens övre del på en dator eller i den nedre delen på en telefon, beroende på skärmstorlek. Du kan navigera mellan avsnitt såsom före session, efter session, och se alla åtgärder som utförts för en specifik klient. Gränssnittet möjliggör även navigering slå-för-slag för detaljerad analys i realtid.

Rapportsparande inkluderar kundinformation, rapportsrubrik, och möjligheten att spara rapporten i molnet. Detta möjliggör åtkomst från flera enheter och säkra data bortom den lokala datorn. Du kan också ändra klienten om en inspelning har startats på fel profil.

Huvudmenyn över gränssnittet erbjuder flera alternativ:

- Återgå till startsidan
- Redigera testlistor
- Kontakthantering
- Modifiering av kontaktinformation och konto
- Ändra prenumeration
- Uppdatera applikationsdata
- Använda Elfie beräknaren

Nyheter och ett hjälpfrågealternativ är åtkomliga från alla sidor. Vid tekniska problem, kan du ange "Åsikter och förslag", ställa en fråga, eller skicka en supportbegäran med en skärmdump.

Hjälpfrågor, forum och onlinehandböcker

Applikationen erbjuder även kontextkänslig hjälp och integrerade videor för varje punkt. När du ser frågetecknet (?), öppnas en liten hjälptext. Denna text kan ge dig åtkomst till en video och manualens sida direkt. Det ger också åtkomst till ett samarbetsforum. Om du inte har ett specifikt problem men skulle vilja kommentera vid detta tillfälle, eller om du behöver klarhet mellan praktiker, kan du öppna detta samarbetsforum genom att klicka på frågetecknen. Du kan sedan ställa frågor eller besvara andra användares frågor där.

Använda "Åsikter och förslag" funktionen för att begära hjälp

Funktionen "Meddelanden och förslag" är åtkomlig från vilken sida som helst i ditt gränssnitt och möjliggör dig att begära hjälp vid tekniska problem. Såhär använder du den effektivt:

1. Öppna menyn i övre högra hörnet och gå till menyn "Meddelanden och förslag".
2. Skriv din fråga eller beskriv ditt problem i den textlåda som tillhandahålls.
3. Systemet söker i kunskapsbasen efter ett svar på din fråga.
4. Om ett svar hittas, kommer det att visas direkt på skärmen.
5. Om inget svar hittas, kan du skicka en supportbegäran.

För att skicka en supportbegäran, har du två alternativ:

- **Ta en skärmdump:** Detta hjälper dig att bättre förstå vad som händer på din skärm. När du tagit skärmdumpen, kan du använda verktygen överst för att annotera bilden. Till exempel, kan du omringa problemområdet och lägga till en förklarande pratbubbla.
- **Skriv ett ärende:** Du kan också enkelt skriva en beskrivning av ditt problem utan att ta en skärmdump.

När du har annoterat skärmdumpen eller skrivit din beskrivning :

- Klicka på "Validera".
- Lägg till lite text om nödvändigt för att klargöra din initiala sökning.
- Skicka meddelandet.

Din begäran kommer sedan att konverteras till ett ärende med all nödvändig information så att supportteamet kan hjälpa dig så bra som möjligt. Använd alltid menyn "Åsikter och förslag" när du har specifika frågor eller problem att lösa.

Följ upp dina begärningar

Ännu i menyn "Åsikter och förslag", öppnar en tredje knapp "Följ dina ärenden" alla dina aktuella begärningar, så att du kan lägga till information eller se våra svar.

Återgå till startsidan

När du återvänder till startsidan, visas den senaste öppna rapporten för snabb åtkomst. Gränssnittet inkluderar viktiga avsnitt för scanningsanalys, live-tester, scanningsslut, och möjligheten att dela resultat.

Gränssnittet är utformat för att erbjuda flytande navigering och omfattande verktyg för att analysera och dela inspelningar.

9.2. Öppna en rapport

Upptäck appen

Inledning

Välkommen till detta kapitel som är dedikerat till BioCoherence-applikationen, tillgänglig på smartphone och dator. Denna applikation låter dig spåra och analysera olika biomarkörer för en bättre balans mellan sinne och kropp.

Startsida

När du öppnar applikationen befinner du dig på startsidan. Du har två val: börja en ny mätning eller öppna en exempelrapport. Vi rekommenderar att du börjar med att öppna exempelrapporten för att bli bekant med gränssnittet. Denna startsida innehåller också en meny som erbjuder en mängd information, vilket vi kommer att beskriva i detalj i följande avsnitt.



biocoherence.net/n82.2

Exempelrapport

När du har öppnat exempelrapporten kommer du att märka att beräkningen börjar omedelbart. Detta tar dig till huvudmenyn, som är indelad i följande sektioner:

- Balans: Prioriteringar, Resurser
- Rapporter: PDF-rapport, Guidad meditation
- Detaljerad analys: Biomarkörer, Energi, Kropp, Sinne, Utveckling

Datorapplikation

Datorapplikationen erbjuder en liknande upplevelse som den på en smartphone, med mer utrymme för att navigera. Menyerna och sektionerna är identiska, men visningen är optimerad för större skärmar.

Navigering

Oavsett om du använder en smartphone eller en dator finns det ett navigeringsområde tillgängligt högst upp eller längst ner på skärmen. Detta gör att du kan flytta från en sektion till en annan, särskilt för att jämföra inspelningar före och efter träning, eller för att spåra daglig utveckling över en viss period. För att gå tillbaka eller framåt i inspelningen, tryck helt enkelt på "spela" och navigera genom inspelningen.

Biomarköranalys

När du väljer sektionen "Biomarkörer" kan du granska data som pulsvåg. Denna analys kan variera beroende på markörtyper och inspelningstid. På datorn finns ytterligare flikar som "Tester" och "Utveckling" tillgängliga, vilket erbjuder en detaljerad vy av biomarkörernas utveckling under sessionerna.

Slutsats

Detta kapitel har gett en allmän översikt över BioCoherence-applikationen. För en djupare förståelse av varje skärm och funktion, bjuder vi in dig att konsultera de komplementära videoerna.

9.3. Inspelning med Sensor

Flera metoder finns tillgängliga för att göra en ren EKG-registrering med BioCoherence. Du kan börja från startsidan genom att initiera en ny registrering och klicka på "spela in". Ett annat alternativ är att börja från "framskridande" sidan eller genom att klicka på batteriikonen uppe på skärmen. Dessa åtgärder kommer automatiskt att ansluta applikationen till Bluetooth-sensorn och påbörja registreringen.

Under registrering, visas en animation för att illustrera de förväntade resultaten. Men denna animation uppdateras inte i realtid med mätningarna. Data kommer att beräknas vid slutet av registreringen. Animationen hjälper dig att spendera den tid som behövs för att få en bra registrering, idealiskt minst två minuter.

Tre skjutreglage uppe på skärmen, märkt "energi", "aktivitet" och "länk", fylls progressivt. Dessa reglage måste vara helt fyllda för att säkerställa att informationen som samlas in är tillräcklig för att beräkna alla nödvändiga variabler. När dessa reglage når 100%, anses registreringen vara tillräcklig.

För att säkerställa registreringskvalitet, placera en tumme på varje sensor. Om signalen inte är av god kvalitet, använd elektroddgel eller fukta dina fingrar lite. Signalens kvalitet utvärderas automatiskt. Till exempel, om du tar bort ett finger, stoppar registreringen omedelbart. Om du sätter tillbaka fingret, återanslutning tar ungefär en sekund, men du kan behöva recalibrera.

Om du inte tillämpa tillräckligt tryck, flytta eller göra plötsliga rörelser, ändras skärmen till en röd bakgrund, vilket indikerar att data inte tas i beaktande. Enheten kommer att vänta på recalibrering, indikerad av återkomsten av de gröna prickarna och frånvaron av den röda bakgrunden, innan registreringen av data av god kvalitet återupptas.

När reglagen är 100% fulla, klicka på "Stoppa". Applikationen kommer sedan att beräkna alla data, och du kommer att kunna konsultera de olika huvudkapitlen i skanningsregistreringen.



biocoherence.net/n82.13

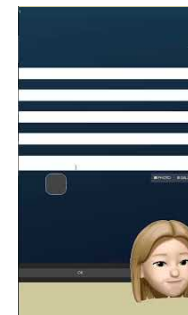
9.4. Kundhantering

Översikt

BioCoherence Pro möjliggör nätverkande med ett obegränsat antal kunder, där varje kund kan kopplas via sin egen applikation. Detta kapitel kommer att vägleda dig genom stegen för att hantera och dela information med dina kunder.

Kundval

På alla sidor där du behöver välj en kund finns en knapp tillgänglig i övre högerhörnet för att göra detta val. För att hitta en kund, skriv enkelt hans namn i sökrutan. Systemet kommer att visa de motsvarande kunderna och antalet poster tillgängliga för varje.



biocoherence.net/n82.15

Registreringshantering

När du har valt en kund, ser du de tillgängliga registreringarna för den kunden. Registreringar kan identifieras med olika piktogram:

- En piktogram indikerar att registreringen är lagrad på den lokala datorn.
- En annan piktogram indikerar att registreringen är i molnet.
- En tredje piktogram indikerar att kunden har tillgång till denna registrering.

Delning av rapporter

När du öppnar en rapport, kan du välja om du vill dela åtkomst med kunden. På hemsidan, finns en knapp som möjliggör dig att ändra kundens information, såsom kön, e-post och ett foto. Denna information är avgörande för visualiseringar specifika för sexuella organ och chakran.

Skicka inbjudningar

För att skicka en inbjudan till en kund, ange deras e-postadress och klicka på "Skicka e-post". Du kan också dela inbjudningslänken eller text via SMS, WhatsApp eller någon annan applikation tillgänglig på din enhet. Meddelandet kan skickas på engelska eller franska, genom att ändra språket med flaggan.

Genom att använda dessa funktioner, kan du enkelt hantera och dela information med dina kunder på BioCoherence Pro, samtidigt som du säkerställer effektiv och säker kommunikation.

Användar-och klienthantering i BioCoherence, i detalj

BioCoherence appen erbjuder omfattande användar-och klienthanteringsfunktioner, som möjliggör användare att hantera sina egna profiler och de för deras klienter. Detta avsnitt detaljerar de funktionaliteter som är tillgängliga för att hantera användare och klienter inom appen, inklusive att skapa nya kontakter, växla mellan användare, och hantera användardata.

Curren Användarvisning

- **Användarvisning:** Den aktuella användaren visas i toppen av hem-ytan av appens gränssnitt. Detta kan vara du (den primära användaren) eller någon klient eller kontakt.
- **Integritetsegenskap:** Användare kan suddigera alla namn och bilder genom att klicka på ikonerna för suddig effekt, vilket säkerställer integritet när andra kan titta på skärmen.

Användaranalys

- **Visa analys:** Genom att klicka på "Öppna analys" eller "Se alla analyser" kommer analysresultat kopplade till den aktuella användaren endast att visas.
- **Växla användare:** För att växla användare, klicka på ikonerna med de två pilarna för att få åtkomst till användarkatalogen. Den primära användaren är alltid listad överst i denna lista.

Användarkatalog

- **Åtkomst till användarkatalog:** Klicka på ikonerna med två pilar för att öppna användarkatalogen.
- **Söka användare:** Använd söksymbolen (förstoringsglas) längst ner på sidan för att filtrera användare genom att ange nyckelord.
- **Skapa nya kontakter:** Åtkomst till kontaktlistan via menyn och klicka på "Skapa ny kontakt" för att lägga till en ny användare. Ange kön för korrekt skärmdisplay. Lägg till deras e-post om du vill bjuda in dem eller dela en rapport, eller ge dem åtkomst till rapporten i deras app.

Kontaktledning

- **Redigera kontakter:** Redigera aktuell kontaktinformation, inklusive namn, e-post, och kön. Könsvalet påverkar skärmdisplayen, särskilt för könsspecifika analyser.
- **E-postintegrering:** Att lägga till en e-post möjliggör direkt skickande av PDF-rapporter och skapar ett konto på servern för användaren.
- **Ytterligare information:** Valfria fält inkluderar födelsedatum, vikt och personliga anteckningar. Födelsedatum används inte för närvarande i beräkningar men kommer att användas för framtida funktioner som jämförelse av biologisk ålder.

Användarfiler hantering

- **Filsparande:** Analyser sparas i användarfiler. Se till att analyser sparas under rätt användare för att undvika förvirring. Du kan ändra användaren vid detta tillfälle om det var ett misstag, som att börja en registrering under en annan användare.
- **Molnupload:** Analyser kan laddas upp till molnet för delning. Detta är nödvändigt för att dela åtkomst med klienter.

Delning och inbjudning av användare

- **Inbjudning av användare:** Skicka inbjudningar till användare via e-post eller text, vilket möjliggör för dem att få åtkomst till sina rapporter och använda appen.
- **Delning av rapporter:** Dela PDF-rapporter med klienter. Rapporter kan anpassas genom att välja vilka avsnitt som ska inkluderas.

Enhetens kompatibilitet och uppdateringar

- **Enhetens kompatibilitet:** Appen är kompatibel med olika plattformar, med uppdateringar som regelbundet släpps för att förbättra funktionaliteten.
- **Uppdatera appen:** Användare bör regelbundet kontrollera efter uppdateringar för att säkerställa att de har de senaste funktionerna och fixarna.

Ytterligare funktioner

- **Multi-View analys:** Jämför flera variabler över registreringar i real-tid

9.5. Fler-delarsrapport

För att granska detaljerna i en rapport, börja med att öppna den aktuella rapporten. Klicka på dess namn för att öppna den, vilket kommer att visa de olika elementen den innehåller. Överst på skärmen på en dator, eller längst ner på en telefon, visas de olika avsnitten i rapporten. Som standard är hela posten synlig, men du kan välja att visa endast det första eller andra avsnittet, till exempel.

Avsnittets detaljer kan åtkommas via "Progression" fliken, som också finns i mitten av startsidans gränssnitt. Denna flik visar utvecklingen av de olika variablerna under inspelningarna. Till exempel, kan du se inspelningar med 5 minuters mellanrum, 4 minuter 30, eller inspelningar av olika längder, såsom 40 sekunder och 20 sekunder.

Det är också möjligt att lägga till kommentarer till dessa inspelningar. Denna funktion gör det möjligt att dokumentera början och slutet av sessioner, eller att annotera specifika åtgärder för att observera utvecklingen av markörer under en session.

De olika inspelningarna är direkt åtkomliga, vilket ger dig möjlighet att jämföra statusen för biomarkörer, avsnitt för avsnitt, och observera förändringar i momentum, chakras, etc. Dessa funktioner erbjuder en detaljerad, jämförande vy av de olika avsnitten i rapporten.



biocoherence.net/n82.6

10. Förstå: Biomarkörer

Pulsvågs teknisk analys

Dessa skärmar möjliggör teknisk analys av pulsvågen, såsom utvinning av frekvenser och harmonier, redigering av inspelningen, direkt analys av vågen, biomarkör utvecklingsgraf...

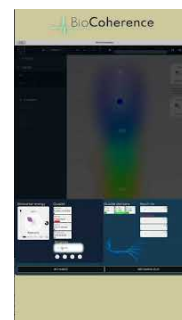
10.1. Biomarkörer i detalj

Introduktion

I det här kapitlet kommer vi att utforska detaljerna kring biomarkörer i ett användargränssnitt. Låt oss ta exemplet med chakran för att illustrera hur de fungerar och hur den relevanta informationen visas.

Åtkomst till Chakran

När en sida som är dedikerad till chakran nås visas de olika chakran. Genom att klicka på ett specifikt chakra dyker de associerade biomarkörerna upp på höger sida av skärmen.



biocoherence.net/n82.8

Energi och Agitation

Det första nyckelelementet är energi, en resurs som utvärderas enligt dess energinivå och agitation. På vänster sida av skärmen visualiseras energin, medan agitationen visas längst ner. Båda aspekterna representeras av 9 olika kronblad, som beskriver tillståndet av energi och agitation:

Ytterligare information

Annat information visas också:

- Uppmärksamhetsnivå
- Avsiktsnivå
- Tidsram (kort, medium eller långsiktig)
- Elements huvudecykel

Utveckling och Genomsnitt

Det är möjligt att följa utvecklingen av biomarkörer under en session, uppdelad i fyra delar. Till exempel kan du observera en variation i energi, med faser av uppgång och nedgång, vilket gör att du kan utvärdera det övergripande genomsnittet.

Prioriteringar

Varje biomarkörsida erbjuder över 1 400 olika biomarkörer. En knapp gör att du automatiskt kan lägga till en biomarkör till prioriteterna. Genom att klicka på "lägg till prioritet" markeras detta objekt för vidare behandling, såsom meditationer eller reharmoniseringsfrekvenser. Processen att lägga till och ta bort är bara ett enkelt klick bort.

Länk kvalitet

Länkar mellan element av samma familj (t.ex. chakran) indikeras:

- Nummer av fibrer (länkar)
- Resonanspunkter
- Procentandel av diffusion (t.ex. 33% av länkade chakran)

Direkt Åtkomst Knappar

- Direkt åtkomst till chakrat
- Direkt åtkomst till hela skärmanalys av biomarkörerna

Hjälp och Information

En frågetecken är tillgängligt på varje sida, vilket ger ytterligare information om kronbladen och betydelseerna av de olika resonanserna och regleringarna.

I korthet möjliggör detta gränssnitt detaljerad, personlig hantering av biomarkörer, vilket underlättar analys och optimering av chakran och andra relaterade element.

Biomarkör energi och agitation information

Energi

Den vertikala skalan på vänster sida visar biomarkörens genomsnittliga energi. Ett lågt värde (längst ner) indikerar en låg energi biomarkör. Ett högt värde (längst upp) indikerar en hög energi biomarkör. För vissa biomarkörer (t.ex. akupunkturpunkter, känslor...) kan energin vara negativ eller positiv, vilket indikerar en påverkan på det övergripande tillståndet. I detta fall indikeras den låga energin i mitten av skalan.

Agitation

Den horisontella skalan längst ner visar biomarkörens genomsnittliga agitation. Ett lågt värde (till vänster) indikerar en mest statisk biomarkör. Ett högt värde indikerar en mest agiterad biomarkör.

Biomarkör kronblad

De 8 kronbladen (plus den öppna blomman, alla 8 kronblad i balans) indikerar den huvudsakliga energin/agitationzonen för biomarkören.

Statisk

Låg energi, låg agitation. Detta är den lägsta möjliga aktiviteten för en biomarkör. Den är vanligtvis kopplad till kroniska, långvariga tillstånd.

Låg energi

Låg energi, normal agitation. Denna biomarkör har en låg, men funktionell aktivitet.

Stressad

Låg energi, hög agitation. Detta är ett tecken på stress.

Stabiliserande

Normal energi, låg agitation. Denna biomarkör är en stabil pelare.

Flexibel

Normal energi, normal agitation. Den öppna blomman indikerar ett optimalt funktionellt tillstånd.

Lärande

Normal energi, hög agitation. Detta indikerar en lärandeprocess, vanligtvis som reaktion på viss extern information.

Resurs

Hög energi, låg agitation. Detta är en kännetecken för huvudresurser.

Adaptation

Hög energi, normal agitation. Detta indikerar en anpassningsprocess, vanligtvis som reaktion på något externt stimuli.

Destabilisering

Hög energi, hög agitation. Detta indikerar en akut, svår att lösa situation.

Biomarkör regleringsinformation

Detta är en icke-linjär analys av biomarkören.

Uppmärksamhet

Indikerar styrkan av hanteringen av biomarkören.

Avsikt

ett lägre värde indikerar spridning (närvaro av många samtidiga biomarkörsregleringar). Ett högre värde indikerar fokus (en starkt närvarande biomarkörs huvudreglering). Ett negativt värde indikerar kaos (det finns inga tydliga regleringar). Ett övervärde indikerar hypervigilans (en för stark reglering).

Horisont

ett lägre värde indikerar kortsiktig agitation (mer kortsiktig hantering i biomarkörsregleringen än långsiktig). Ett högre värde indikerar långsiktig avslappning (mer långsiktig hantering i biomarkörsregleringen än kortsiktig).

Biomarkör resonansinformation

Detta är en icke-linjär analys av resonanserna mellan biomarkörer i samma grupp.

Trådar

Indikerar det totala antalet resonanser med andra biomarkörer i gruppen (trådräkning av huvudrep).

Strength

Indikerar den totala styrkan av länkarna med andra biomarkörer i gruppen (bredden av huvudrep).

Reich

Indikerar andelen av andra markörer i samma kategori som denna biomarkör har länkar med (separation av huvudrep i individuella rep).

Ressurser

Ressurser är starka länkar med andra biomarkörer. En resurs indikerar en energiutbyte mellan 2 system. Den huvudsakliga riktningen av energiutbytet indikeras (mottar från, eller skickar till). Resurser ordnas först efter de mest kraftfulla resurserna den mottar från, eller de mest behövande resurserna den skickar till.

10.2. Pulsvågredigering och verifiering (råinspelning)

I den här sektionen kommer vi att titta på hur man redigerar pulsvågen vid eventuella inspelningsproblem och hur man kontrollerar den råa vågen. För att börja, gå till avsnittet "biomarkör" och välj "pulsvåg". Du kommer då att kunna se vågformen för varje hjärtslag, punkt för punkt. Denna visualisering slag för slag är användbar för att jämföra och observera utvecklingen av varje våg.

Förutom den genomsnittliga vågen, som vi är vana vid att se, är det viktigt att notera att den verkliga vågformen ofta är mycket mer skakig runt detta genomsnitt. Om ett problem uppstår under inspelningen, till exempel om en del av vågen inte upptäcks, inaktiverar programvaran automatiskt denna sektion. Du kan dock återaktivera denna sektion om du beslutar att den bör beaktas.

För att göra detta, klicka helt enkelt på den motsvarande sektionen. Du kan också aktivera eller inaktivera individuella slag med ett enda klick. Inaktiverade slag kommer inte längre att beaktas i beräkningen av blommor eller i grafen.

Slutligen hittar du en uppsättning tekniska statistik nedanför pulsvågen, såsom RR-intervall, PR-intervall, QRS-intervall och så vidare. Dessa data kan ge värdefull information för vidare analys.



biocoherence.net/n82.9

10.3. Övervakning av biomarkörförändringar under kursen av sessioner

För att analysera utvecklingen av en biomarkör över tid, börja med att åtkomma fliken "Biomarkör" och öppna "Session", därefter "Dynamik". Du'll se den fullständiga utvecklingen av biomarkören över tid.

I uppspelningsläge, kan du flytta markören punkt för punkt för att observera olika delar av utvecklingen. I botten av skärmen, markerar indikerar separationerna mellan varje del av sessionen. Du kan justera zoomen för en mer precis analys, och navigera mellan de olika delarna av sessionen, oavsett andra, tredje, etc.

Händelser används för att notera viktiga aspekter av din praktik och visas också i sammanfattningen av de olika delarna. Utvecklingsgrafiken är indelad i flera segment: mycket kortvarig (blå bakgrund för omedelbar utveckling), medellång, lång och mycket lång tid. Den mycket långa tiden ger ett genomsnitt över en längre period, som kräver omkring 90 slag för att beräkna.



biocoherence.net/n82.16

Analys av relationen mellan den mycket kortvariga och medellånga är avgörande. Ibland, är den mycket kortvariga kurvan ovan eller under den medellånga kurvan. När kurvan är under, är den markerad i rött, och när den är ovan, är den markerad i grönt. Dessa indikationer ger viktig information för att bedöma omedelbara trender under testning.

Slutligen, en syntes av informationen är tillgänglig i form av en "blomma" som indikerar energins och agitationens nivåer. Denna sammanfattning kan också analyseras del för del för att observera utvecklingen över de olika sektionerna.

10.4. Frekvens och Harmonisk Analys

Tack vare en matematisk operation som kallas FFT, transformeras vågen till frekvenser, och dessa frekvenser analyseras för att hitta deras harmoniska.

I detta kapitel, kommer vi att titta på de frekvenser och harmonier som beräknas från vågformen. Vi förblir i biomarkörsrymden, d.v.s. i den tekniska listan.

För att börja, öppna frekvenserna. Du'll se en visning mellan 0 och 60 Hz. Överst i denna visning, hittar du de lägsta frekvenserna, d.v.s. de mycket låga frekvenser under 0.03 Hz, de låga frekvenserna, och de höga frekvenserna runt 0.4 Hz. Dessa frekvensområden innehåller generellt mycket intressant information.

Vi tittar först på frekvensområdet 0-3 Hz, men det's också möjligt att hitta information om de andra frekvensbanden.

Nästa, gå vidare till Harmoniska avsnittet. Detta avsnitt utför en beräkning på frekvenserna för att bestämma vilka som är de starkaste. Informationen som fås här är också relevant för de olika biomarkörerna. Denna tekniska analys möjliggör för dig att skanna inspelningen och identifiera de dominerande frekvenserna. Det är svårt att skilja relevant information med det nakna ögat på dessa visningar, men det är en av grunderna för vad applikationen använder för att beräkna biomarkörer...



biocoherence.net/n82.7

FFT (Fast Fourier Transform) är en algoritm som beräknar Fouriertransformen snabbt och effektivt. Den används i stor utsträckning inom signalbehandling, spektraanalys och datakompression. Fouriertransformen är ett matematisk verktyg som dekomponerar en funktion eller signal till en summa av sinusvågor med olika frekvenser. Den transformerar en signal från tidsdomen till frekvensdomen.

10.5. den kausala kedjan

Causal Chain-funktionen i BioCoherence ger ett omfattande sätt att analysera sambanden mellan olika biomarkörer, vilket gör det möjligt för användare att identifiera grundorsakerna till obalanser och bestämma de mest effektiva interventionerna. Till skillnad från tidigare metoder som endast visade relationer inom samma kategori (t.ex. organ kopplade till andra organ), utvidgar Causal Chain denna analys för att inkludera alla biomarker-kategorier, såsom meridianer, chakran, atomer, patogener och mer. Denna funktion gör det möjligt för användare att:

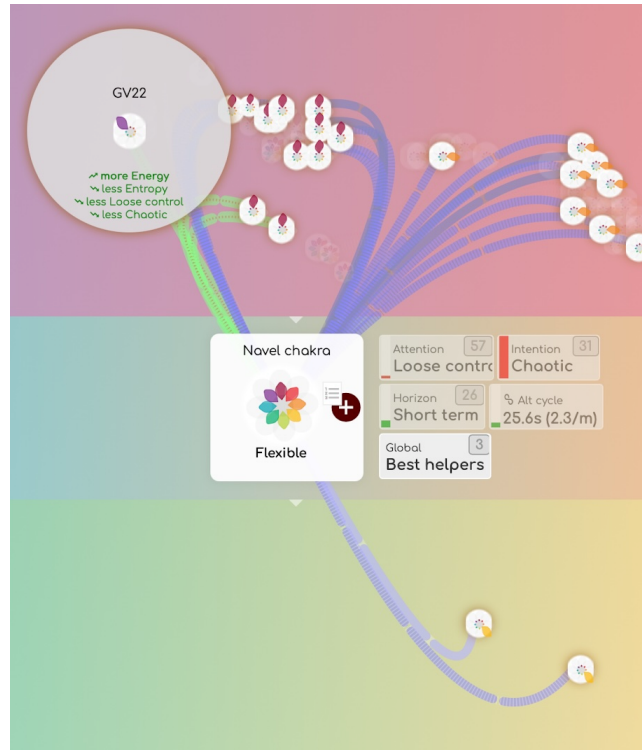
- Identifiera de underliggande orsakerna till obalanser.
- Bestämma vilka biomarkörer som är i resonans med varandra.
- Hitta de bästa hjälparna för att återställa balansen.
- Skapa en anpassad prioritetslista för harmonisering.

Åtkomst till Causal Chain

För att få åtkomst till Causal Chain:

1. Öppna en analys och navigera till avsnittet Biomarkörer.
2. Välj en biomarkör av intresse (t.ex. ett organ, meridian eller drivkraft).
3. Klicka på Causal Chain-undermenyn under Relationsmenyn.

Detta kommer att öppna ett nytt gränssnitt som visar alla biomarkörer som är i resonans med den valda biomarkören.



Förstå Causal Chain-gränssnittet

Causal Chain-gränssnittet presenterar en nätverkskarta över sammankopplade biomarkörer. Nyckelelement inkluderar:

1. Central Biomarkör

- Den biomarkör du valde placeras i mitten av kartan.
- Alla andra biomarkörer som resonera med den visas runt omkring.
- Du kan klicka på vilken biomarkör som helst runt omkring för att placera den i centrum och räkna om kring den.

2. Resonanta Biomarkörer

- Endast biomarkörer som för närvarande är i resonans med den centrala biomarkören visas.
- Dessa kategoriseras i olika grupper, såsom organ, meridianer, chakran, atomer, patogener och mer. Grupperna visas längst ner på skärmen. Klicka på ett gruppnamn för att visa de relaterade biomarkörerna. Varje grupp kan visa ett eller två nummer:
 - alltid, antalet relaterade biomarkörer i denna grupp
 - endast om det finns, i en vit cirkel: antalet stora länkar (bästa hjälpare) i denna grupp.

3. Relationsstyrka

Varje koppling mellan biomarkörer är färgkodad:

- Stora länkar (vita, gröna eller blå): Bästa hjälpare, med den starkaste resonansen och mest kapabel att hjälpa (bästa förbättringar i energi, agitation och kvalitet)

- Grön: Positiv påverkan på den centrala biomarkören (t.ex. öka energi, minska entropi).
- Blå: Den centrala biomarkören skickar energi mot den.
- Fina länkar indikerar specifika relationer relaterade till uppmärksamhet, avsikt och horisont. Legendens längst upp visar deras betydelse.

4. Energikartläggning och Entropi

- Biomarkörerna är placerade på en grafisk karta baserad på energinivåer (låga till höga) och agitation (entropi) (låga till höga), på samma sätt som bladen är organiserade på blomman.
- Detta gör det möjligt för användare att visuellt bedöma vilka biomarkörer som bidrar till stabilitet eller obalans.

5. Filtrering och Bästa Hjälpare

Användare kan filtrera de visade biomarkörerna baserat på specifika egenskaper:

- Ökar uppmärksamhet
- Ökar avsikt
- Ökar horisont
- Stämmer överens med huvudcykler
- Bästa hjälpare (biomarkörer som ger den mest fördelaktiga påverkan)

6. Navigation och Historia

- Klicka på vilken biomarkör som helst för att centrera den i analysen, vilket gör att användare kan utforska dess egen orsaks kedja.
- En historikpanel spårar utforskningsvägen, vilket gör att användare kan återvända till tidigare biomarkörer.
- Användare kan navigera tillbaka till den ursprungliga biomarkören eller utforska djupare i relaterade biomarkörer.

Detaljerad guide: använda Causal Chain för analys

Steg 1: Identifiera Grundorsaken

- Börja med en biomarkör som visas i Prioritetslistan.
- Öppna Causal Chain för att se vilka biomarkörer som påverkar den.

Steg 2: Hitta de Bästa Hjälparna

- Använd filtret Bästa Hjälpare för att identifiera biomarkörer som kan påverka den centrala biomarkören positivt.
- Sök efter gröna kopplingar, eftersom dessa indikerar de starkaste fördelaktiga relationerna mot den.
- Blå kopplingar kan indikera andra element som hjälps av denna biomarkör och tar energi från den, vilket avslöjar orsaks länkar som kan förklara nuvarande tillstånd.

Steg 3: Bygg en Anpassad Prioritetslista

- Klicka på en biomarkör och lägg till den i Prioritetslistan.
- Fortsätt att utforska relaterade biomarkörer och lägga till relevanta i listan.
- Detta säkerställer att harmoniseringsprocessen tar itu med inte bara symtomet utan också de underliggande orsakerna.

Steg 4: Tillämpa Resultaten

- Använd funktionen Harmonic Boost för att spela de valda frekvenserna.
- Om tillämpligt, integrera TCM-punkter, organ, meridianer eller atomer i harmoniseringsprocessen.
- Förbättra Harmonic Boost genom att lägga till valda protokoll ovanpå varje biomarkör.
- Övervaka framsteg över flera sessioner för att spåra förbättringar.

Exempel på användningsfall

Scenario: Åtgärda Lungobalans

1. Välj Lungan från Prioritetslistan.
2. Öppna Causal Chain för att se relaterade biomarkörer.
3. Identifiera bästa hjälpare: till exempel, Organ: Mage, Lever - Meridianer: Njure, Blåsa - Atomer: Tantal, Osmium - Drivkrafter: Brist på förtroende, Överkänslighet
4. Lägg till de mest relevanta biomarkörerna i Prioritetslistan.
5. Spela harmoniseringsfrekvenserna (Harmonic Boost) och program (Personal Guide), och spåra framsteg över tid.

Fördelar med Causal Chain

- Helhetlig analys: Ger en komplett bild av samband mellan olika biomarkörer.
- Personlig anpassning: Skräddarsyr harmonisering efter individens unika energitillstånd och tillåter att börja från ett särskilt symptom av klagomål och hitta de relevanta orsaks kedjeobjekten.
- Djupare insikter: Hjälper praktiker och användare att förstå de underliggande orsakerna till obalanser.
- Effektiv prioritering: Fokuserar på de mest påverkningsfulla biomarkörerna för snabbare resultat.

Causal Chain är ett kraftfullt verktyg i BioCoherence som förbättrar förmågan att analysera och åtgärda obalanser på en djupare nivå. Genom att kartlägga relationerna mellan biomarkörer och identifiera de bästa hjälparna kan användare skapa mycket effektiva Harmonic Boost och Personal Guide-program skräddarsydda efter deras specifika behov.

10.6. Förekomst

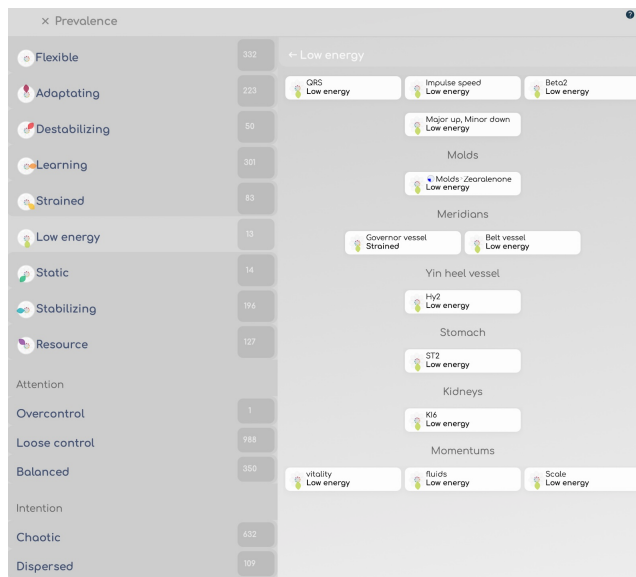
Denna skärm möjliggör att se alla biomarkörer i ett specifikt tillstånd vid ett öga:

- efter bladets tillstånd (flexibelt, anpassande, låg energi, resurs...)
- efter kvalitet (uppmärksamhet, avsikt, horisont)

Huvudsidan visar antalet biomarkörer i varje tillstånd; klicka på det för att lista de relaterade biomarkörerna.

Du kan filtrera biomarkörskategorierna med väljaren i menyn. Till exempel, kan du visa endast organprevalenser, eller punkter i ett specifikt meridian, eller drivkrafter (känslor).

Prevalens kan vara användbart för att få en snabb översikt vid ett öga, och för att se utvecklingen över flera omvärderingar i en journal.



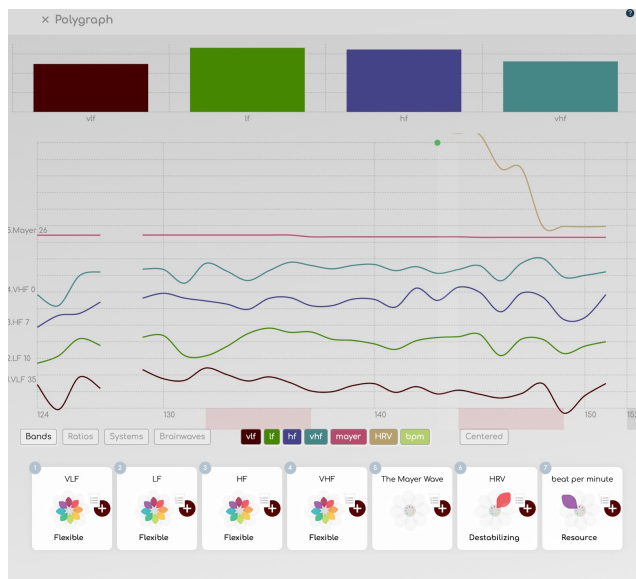
10.7. Polygraph

Denna skärm använder främst akademiska biomarkörer. Det ger ett bekvämt sätt att se vid en glans t.ex. VHF, HF, LF och VLF proportioner, och en linjediagram över upp till 7 viktiga kurvor.

Denna kan användas i real tid under inspelning, eftersom alla skärmar (bara växla skärm under en inspelning). Alla dessa markörer kommer från den akademiska forskningen om EKG. Du kan visa upp till 7 band av ditt val, i parallell eller centrerat på samma linje.

- I **Band** läget, de 7 linjerna är: Bpm, HRV, Mayer vågor, VHF, HF, LF och VLF.
- I **Relationer** läget, de 7 linjerna är: SDNN (Total kraft), SI (Stress index), IC (Index för centralisering), LF/HF (Kraft, vago-sympatetisk interaktion), LF/VLF (Avslappning), VLF/HF (Stress) och VLF HF (Global aktivitet).
- I **System** läget: CNS, Ortho, Symp, Para, IRSA, Immunitet, HRV.
- I **Brändalar**: Delta, Theta, Alpha, Beta, Beta1, Beta2, Gamma.

Klicka på en kategori under diagrammet för att visa dessa objekt; klicka på de färgade legenderna för att visa eller dölja dem. Klicka på Centrerat för att visa alla på samma baseline. Klicka på blomman under diagrammet för att få tillgång till de fullständiga biomarkördetaljerna.



Om du gör forskning med detta diagram, kan det vara grunden för nya insikter eller nya biomarkörer. Dessutom, kom ihåg att du kan analysera vilken biomarkör som helst i dess tidslinje och med händelser på biomarkör Dynamik skärmen.

11. Förstå: Energi

Energiskärmarna har grafik om den biologiska klockan, chakran, impulser, atomer, influenser, ayurveda, mikroorganismer...

11.1. Atomer

Periodiska systemet över grundämnena

På Atomsidan kan du åtkomma till det periodiska systemet för grundämnena för att få information om de olika atomerna. Genom att klicka på en atom i detta tabell kan du se de bindningar den kan ha med andra atomer, dvs. de vanliga resonanserna. Denna information är också synlig längst ner på skärmen, men att se den direkt på tabellen är mer intuitivt.

För närvarande ger applikationen en allmän bedömning av resonanser för varje atom. En framtida version skulle kunna möjliggöra återuppbyggnad av resonanser för hela molekyler, baserat på bindningarna mellan olika atomer. Denna funktion skulle kunna vara särskilt användbar som en del av en kontroll du utför, för att se överskott eller brister i vissa ämnen, eller för att se, tack vare multi-delade inspelningar som kan jämföras, om ett ämne stabiliserar efter tillämpningen av en produkt eller terapi.



biocoherence.net/n82.114

11.2. Ayurvedisk Energi Bedömning

Doshor och sub-doshor

Ayurveda är ett traditionellt medicinsystem som är skilt från traditionell kinesisk medicin, även om det finns vissa likheter, särskilt motsvarigheten till 12 meridianer i form av 15 sub-doshor. Dessa sub-doshor är grupperade i tre huvudsakliga påverkningar: Kapha, Pitta och Vata.

De 3 Doshorna enligt Ayurveda

1. Vata

- **Description:** Kopplad till luft och eter, Vata styr rörelse i kroppen, inklusive blodcirkulation, respiration och nervimpulser.

2. Pitta

- **Description:** Bestående av eld och vatten, Pitta kontrollerar digestion, metabolism och energiproduktion.

3. Kapha

- **Description:** Bestående av jord och vatten, Kapha ansvarar för kroppens struktur, stabilitet och ledsmörjning.



biocoherence.net/n82.98

De 15 Sub-Doshorna

Sub-doshor av Vata

1. Prana Vata

- **Function:** Styr andning och sinne.

2. **Udana Vata**
 - **Function:** Styr tala och uttryck.
3. **Samana Vata**
 - **Function:** Reglerar digestion och assimilation av mat.
4. **Vyana Vata**
 - **Function:** Övervakar cirkulation och rörelse av kroppsvätskor.
5. **Apana Vata**
 - **Function:** Reglerar avfall utskiljning.

Pitta sub-doshor

6. **Pachaka Pitta**
 - **Function:** Kontrollerar mat digestion i mage och tarmar.
7. **Ranjaka Pitta**
 - **Function:** Ansvarig för blodformation.
8. **Sadhaka Pitta**
 - **Function:** Påverkar känslor och mentala funktioner.
9. **Alochaka Pitta**
 - **Function:** Påverkar syn och visuell perception.
10. **Bhrajaka Pitta**
 - **Function:** Reglerar hudens hälsa.

Kapha sub-doshor

11. **Kledaka Kapha**
 - **Function:** Slemar och skyddar magsäckens väggar.
12. **Avalambaka Kapha**
 - **Function:** Stöder hjärtat och lungorna.
13. **Bodhaka Kapha**
 - **Function:** Reglerar mun och salivfunktioner.
14. **Tarpaka Kapha**
 - **Function:** Slemar hjärnan och nervsystemet.
15. **Shleshaka Kapha**
 - **Function:** Slemar leder.

11.3. Chakra Visualisering

I detta kapitel, kommer vi att utforska fliken Energi, börja med avsnittet Chakras. Detta avsnitt möjliggör att du kan visa och interagera med information om chakran i detalj.

För att börja, kan du välja att visa chakran genom att klicka på den dedikerade knappen. Du kan visa antingen 7 eller 12 chakran genom att klicka på den lilla "12" knappen längst ner på skärmen.

När chakran är visade, kan du välja ett specifikt chakra genom att klicka på det. Denna åtgärd ger dig tillgång till all information angående det chakrat, inklusive energikopplingar och associerade akupunkturpunkter. Akupunkturpunkterna anger chakrats ingångs- och utgångspunkter, och visas på skärmen i varierande storlekar enligt deras energinivå.

Dessutom visas chakraauran också, och dess presentation varierar enligt den allmänna energin hos det valda chakrat. På detta sätt, kan du få en noggrann visuell representation av energistatus hos varje chakra.



biocoherence.net/n82.14

11.4. Påverkan

De 5 elementen : Trä, Eld, Jord, Metall, Vatten

En annan viktig energikoncept är det om influenser. Denna skärm, kallad "influenser", visualiserar relationerna mellan de fem elementen, som bedöms av Traditionell Kinesisk Medicinsk (TKM). Dessa relationer kan vara av skapande, förstörelse, angrepp eller översvämmning.

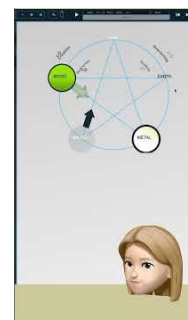
Till exempel, kan trä inverka på metall genom att utöva tryck på den, medan vatten kan tynga ner eld. Å andra sidan, hjälper trä till att skapa eld. Dessa relationer härleds enligt TKM regler och meridianutvärdering.

De 5 elementen av Traditionell Kinesisk Medicinsk (TKM) är :

1. **Trä**: kopplad till levern och gallblåsan.
2. **eld**: kopplad till hjärtat och tunntarmen.
3. **jord**: kopplad till mjälten och magen.
4. **metall**: kopplad till lungorna och tjocktarmen.
5. **vattnet**: kopplad till njurarna och blåsan.

De huvudsakliga relationerna mellan dessa element är :

- **Skapande cykel (Sheng)**: Trä > Eld > Jord > Metall > Vatten > Trä.
- **Kontrollcykel (Ke)**: Trä > Jord > Vatten > Eld > Metall > Trä.



biocoherence.net/n82.116

11.5. Momentum

begränsningar, balanser och rörelser

I denna sektion, kommer vi att titta på momentum i sammanhang med energihantering. För att komma åt denna funktion, gå till "Energi" menyn och klicka på "Rörelser". Här upptäcker du några tjuugo tillgängliga momentum, klassificerade i tre huvudkategorier: begränsningar, balanser och rörelser.

Momentumsprincipen

1. Begärningar

Begärningar är element som sätter bromsar på rörelse. Dessa inkluderar :

- Geopatisk stress (klicka på något element i grafen för mer information).
- Geopatisk strålning.
- Geopatisk vatten: vattenådror, förkastningar, etc. som inducerar underjordiska elektriska strömmar.
- Skadliga energier.
- Främmande metaller.
- Patogener.
- Miasmer.
- Toxiner.

2. Balanser

Balanser sektionen täcker de aspekter som hjälper till att upprätthålla stabilitet. Den inkluderar :

- Emosionell balans.
- Energibalans.
- Sömnkvalitet.
- Terräng (övergripande kroppsbalance).
- Vertikal balans.



biocoherence.net/n82.97

3. Rörelser

Rörelse omfattar de faktorer som ger dig dynamik. De huvudsakliga elementen är :

- Kroppar.
- Vitalitet.
- Blood pressure.
- Fluids.

Du kan också observera allmän rörelse och jämföra den enligt de olika stadierna och sektionerna av din inspelning.

En intressant punkt att notera är relationen mellan dessa element. Till exempel, här, är kropparna kopplade till emotionell balans, och blodtrycket mottar och skickar information till olika platser, vilket kan ge värdefulla insikter i den övergripande kvaliteten av analysen

Genom att kombinera denna information, kan du bättre förstå och hantera de olika aspekterna av din energi och drivkraft.

12. Förstå: Kropp

Användning av navigerings- och utvärderingsmetoder i kroppsvisningarna

Kroppsskärmarna inkluderar 3 huvudtyper av analyser: TCM-meridianer, akupunkturpunkter med tillhörande TCM-recept och organ.

12.1. TCM meridianer

14 eller 20 meridianer, länkar och relaterade symptom

Avsnittet "Kropp" i applikationen erbjuder tre huvudblad med information: meridianer, akupunkturpunkter och organ. Detta kapitel kommer att fokusera på att navigera och utvärdera meridianerna.

1. Meridianvisning:

- Applikationen låter dig välja mellan 14 eller 20 meridianer.
- I 20 meridianer läge, visas extraordinära meridianer utöver standardmeridianerna.
- I 14 meridianer läge, visas de huvudsakliga 12, utöver de två kärlen: regulatorn och konceptionen.

2. Navigering och visualisering:

- Du kan klicka på toppen av skärmen för att visa en meridians väg och dess huvudkaraktäristika.
- Klicka på blomikonen för att få upp ytterligare information.
- Klicka för att navigera mellan meridianer, visualisera kopplingarna mellan dem.
- Evolutionen av meridianerna kan följas under de olika delarna av sessionen.
- Använd menyn till vänster eller på toppen för att navigera på din telefon.

3. Meridianutvärdering:

- Klicka på listan över meridianer för att visa deras utvärdering.
- Submenyn erbjuder tre kriterier: energi, entropi och koherens.
- Logiken för dessa kriterier tillämpas på alla Kärnsidor.

4. Utvärderingskriterier:

- **Energi**
 - Visar i två kolumner: de mest energiskt aktiva meridianerna och de minst energiskt aktiva.
 - Möjlighet att visa fler eller färre meridianer per klick.
 - Ytterligare information baserad på nuvarande energistat och symptom från Traditionell Kinesisk Medicin (TKM).
 - Korsreferensinformation med andra meridianer för mer exakta detaljer.
- **Entropi**
 - Visar de mest upprörda och statisk meridianerna.
 - Erbjuder möjliga symptom kopplade till varje tillstånd.
- **Koherens**
 - Visar meridianer som resonerar tillsammans.
 - Meridianer i koherens utgör ett system som resonerar i samma rytm.

5. Användning av information:

- Energientropikoherenslogiken används för att klassificera de huvudsakliga elementen i en bedömning.

Genom att följa dessa instruktioner, kommer du att kunna navigera applikationen effektivt och använda utvärderingskriterierna för att få detaljerad information om meridianerna, deras energistatus, entropi och koherens.



biocoherence.net/n82.96

Om meridianer i TKM:

Inom Traditionell Kinesisk Medicin (TKM), är meridianer energikanaler genom vilka Qi (livsenergi) flyter. Det finns 12 huvudmeridianer, och 8 extraordinära meridianer, inklusive 2 regulatoriska meridianer. Dessa beskrivs nedan:

12 Huvudmeridianer :

1. **Lunga (LU):** Reglerar andning och immunsystemet.
2. **Large Tarm (LI):** Elimineras fast avfall och reglerar tarmfunktioner.
3. **STomach (ST):** Smälter mat och absorberar näringsämnen.
4. **Splene/Pankreas (SP):** Omvandling och transport av näringsämnen, energistöd.
5. **hjärta (HT):** Styr blod och blodkärl, kontrollerar sinne.
6. **Små Tarm (SI):** Separation av rena och orena ämnen, absorbering av näringsämnen.
7. **Blära (BL):** Elimineras vätskeavfall, reglerar kroppsvätskor.
8. **Njure (KI):** Lagrar livsviktig essens, reglerar vatten, kontrollerar ben och öron.
9. **Mästare av Hjärtat (PC):** Skyddar hjärtat, reglerar känslor och blodcirkulation.
10. **Tre Värmare (TE eller SJ):** Reglerar de tre värmarna (övre, mitt och lägre), kontrollerar cirkulationen av energi och vätskor.
11. **Gallblåsa (GB):** Lagrar och utsöndrar galla, hjälper till med beslutsfattande.
12. **Lever (LV):** Lagrar blod, reglerar Qi flöde, stöder sensor och muskler.

8 Extraordinära Meridianer :

1. **Konceptionens kärl (Ren Mai):** Reglerar Yin meridianer, kontrollerar fortplantning.
2. **Governor kärl (Du Mai):** Reglerar Yang meridianer, kontrollerar centrala nervsystemet.
3. **Penetrerande kärl (Chong Mai):** Reglerar blod och huvudmeridianens energi.
4. **Bälte kärl (Dai Mai):** Omgärdar vertikala meridianer, reglerar sexuella organ och buk.
5. **Yin Junction Vessel (Yin Qiao Mai):** Reglerar Yin-Yang balans, kontrollerar sömn och vakenhet.
6. **Yang Junction Vessel (Yang Qiao Mai):** Reglerar Yin-Yang balans, påverkar lemrörelser.
7. **Yin Link Vessel (Yin Wei Mai):** reglerar Yin meridianer, påverkar känslor.
8. **Yang Link Vessel (Yang Wei Mai):** Reglerar Yang meridianer, påverkar kroppens försvar.

2 Reglerande meridianer :

1. **Konceptionens kärl (Ren Mai):** Redan nämnd bland de extraordinära meridianerna.
2. **Governor kärl (Du Mai)**

12.2. Organ kartor

Mer än 10 detaljerade organdiagram och länkar

I denna sektion, kommer vi att utforska funktionen hos organen i vår kroppsvärderingsapplikation. När du går till organens kategori, kommer du först att presenteras med en fullständig kroppvisualisering. Du kan gå in i den allmänna bedömningen genom att klicka på ett specifikt organ för att se dess förhållande till andra delar av kroppen. Till exempel, är markerade organ de som är av intresse. Genom att klicka på hjärtat, kommer du att se dess kopplingar med olika organ, och dessa förhållanden är även synliga på kartan.

Du kan enkelt navigera genom att klicka på specifika system som till exempel andningssystemet för att se dess kopplingar, inklusive med neurotransmittorer, tungan, munnen och olika vävnader. Att klicka på munnen zoomer in på mag-tarmkanalen, modifierar kartan för att visa förhållandena mellan munnen och andra aspekter av mag-tarmkanalen.



biocoherence.net/n82.95

Du kan också välja olika kartor, som till exempel hjärnkartan. Denna karta kommer att visa dig de olika delarna av hjärnan, med en fullständig utvärdering i listform. Om du vill lokalisera en specifik del, kommer kartan att visa den för dig. Till exempel, om du klickar på epifysen, kommer du att se dess position och de körtlar den tar emot och skickar signaler från. Varje element, som serotonin eller prolaktin, kan utforskas för att se dess kopplingar eller bristen på kopplingar med andra hormoner.

Avsnittet om organen erbjuder också alternativ för att se energi, entropi och koherens, vilka varierar beroende på den använda skärmen. På den fullständiga kroppsskärmen, visas dessa parametrar för de element som anses mest relevanta, vilket indikerar deras energiresurser eller nivå av agitation. Till exempel, genom att undersöka tänder eller kotor, kan du identifiera vilka som är de mest energifulla eller agiterade, vilket erbjuder värdefull information för en fullständig kontroll.

Slutligen, som en påminnelse, när du identifierar ett relevant objekt, kan du lägga det till prioritetlistan genom att klicka på den dedikerade ikonen. Detta möjliggör att de kan inkluderas i balanseringsvalet för följande harmonisering.

12.3. Akupunkturpunkter

Utvärdera över 350 akupunkturpunkter och relevansen av hundratals TCM-recept

Utforskning av punkter och meridianer

När du utforskar kroppen i programvaran, har du åtkomst till meridianer, punkter och organ. Genom att klicka på en specifik meridian, ändras visningen för att visa detaljer om punkterna på varje meridian, snarare än hela meridianerna. Denna funktion möjliggör en precis utvärdering av varje punkt.

Punktval och information

Du kan klicka på varje punkt för att få detaljerad information om just den punkten. Det är också möjligt att välja en meridian och se statusen för varje av dess punkter. Genom att växla meridianer, kan du se de olika punkterna och deras platser på en karta, vilket är särskilt användbart för effektiv navigering.



biocoherence.net/n82.94

Navigera och spåra meridianer

Du kan navigera meridianer genom att klicka på meridiantiteln i väljaren överst på skärmen. Du kan också se utvecklingen av punkter under sessionernas gång. Denna funktion är ovärderlig för att spåra utvecklingen av specifika punkter över tid.

Meridian-specifik information

När du väljer en meridian, får du åtkomst till annan information än den som finns i meridiantabben. Här finns de åtta huvudpunkterna, såsom ambassadörspunkten, spridning, flöde och flod, som är väsentliga inom Traditionell Kinesisk Medicinska (TCM). Information om meridianens energikällor och kopplingar är också tillgänglig.

Visar punkter på kartan

Genom att klicka på en punkt visas dess exakta plats på kartan. Menyn till vänster erbjuder alternativ såsom energi, entropi och koherens. Genom att välja energi, visar visningen de mest energiska och minst energiska punkterna i lila och gult, respektive.

TCM Receptlogik

Applikationen använder en TCM receptlogik, som kombinerar flera punkter för att korrigera ett symptom. Till exempel, om vissa punkter resonerar tillsammans och är för svaga eller för starka, kan detta indikera en obalans. TCM recept, utvecklade under tusentals år, tillämpas för att behandla specifika symptom som sur uppstötning. I denna applikation, har vi tillämpat en inverterad logik. Vi antog att om vissa punkter resonerade tillsammans och hade energinivåer som var för låga eller för höga, kunde detta ge oss värdefulla insikter. Till exempel, mycket energiska eller väldigt lågenergiska punkter, eller punkter som är för oroliga eller för statiska, kan signalera en obalans i det koherenta systemet som vanligtvis används för att behandla

tillstånd som sur uppstötning eller pyrosis. Ta fallet där tre specifika punkter på en individ är väldigt statiska. Detta kan indikera att receptet eller behandlingen kopplad till dessa punkter är behovet för den personen. Denna metod kan ge dig ytterligare idéer för diagnos.

Användning av recept

Recept kan tillämpas genom akupunktur eller genom att använda ljud eller elektriska frekvenser under balanseringsfasen. Koherenta system, där punkter resonerar tillsammans, är särskilt relevanta för noggrann diagnos. Synkroniseringen av punkter sugererar en ökad relevans av TCM behandlingar för den person som analyseras.

Slutsats

Denna kapitel har detaljerat användningen av punkter och meridianer i TCM programvara, och förklarat hur man navigerar, väljer och tolkar information för noggrann diagnos och effektiv behandling.

13. Förstå: Sinne

Sinnet, andan och skuggan

Dessa skärmar är dedikerade till de mentala, andliga och omedvetna delarna av analysen. De inkluderar personlighet, musikalisk harmoni, känslor, justering, sår och motorer.

13.1. Justering

Justering och Koherens i Elfie Våg Hantering

Justering är en viktig komponent i sinnet, särskilt när man hanterar Elfie-vågor. Justering manifesterar sig i olika skalor av dessa vågor, och att förstå dem kan underlättas genom användning av visualiseringsverktyg. Till exempel, kan hjärtats koherens representeras visuellt, vilket erbjuder ett perspektiv på en individs energi-tillstånd.

I gränssnittet, tre reglage längst ner tillåter att parametrar kan visualiseras, medan längst upp visas en visualisering av implosionsspiralen. Elfie-vågskalan, som illustreras av värdena 205, 206 och 214, indikerar den aktuella skalnivån. För detaljerad information om ett specifikt värde, såsom 214 Elfie, klicka bara för att få detaljer om dess egenskaper och konsekvenser.

Visualiseringen av spiralen möjliggör att följas energi vägen genom olika skalor. Genom att röra sig ner i spiralen och observera värdena vid varje nivå, är det möjligt att förstå hur energi utvecklas över tid. Detta är särskilt relevant i utökade inspelningar, där utvecklingen vid olika skalor kan studeras.

En avgörande aspekt av den här analysen är målinriktad koherens, särskilt hjärtats koherens, som mäter i vilken utsträckning en individs energi är synchroniserad med elfie-värden. Dessa värden betraktas som de mest kompatibla för energiöverföring på alla skalor. Reglage spelar en viktig roll i att justera dessa parametrar för att uppnå optimala koherenser.

I slutsats, justering och koherens i Elfie-vågshantering är komplexa men grundläggande begrepp för att förstå energi vid olika skalor. Visualiseringsverktyg och reglage erbjuder ovärderlig hjälp i att navigera och optimera dessa parametrar, vilket bidrar till bättre energihantering och överföring.

Mer information på <https://elfie.link> eller i menyn "Elfie" i programvaran.



biocoherence.net/n82.103

13.2. Hjärnvågor

Analys av allmän hjärnvågsaktivitet

I det här avsnittet kommer vi att titta på den sista fliken i "Mental"-gränssnittet, som rör hjärnvågor. Denna funktion är fortfarande i den experimentella fasen. Det är djärvt att säga att vi kan läsa hjärnvågor i ett EKG, så det gör att du kan undersöka analyspektren i EKG:t som motsvarar de olika hjärnvågorna och observera deras utveckling över tid. Trots allt mäter vår enhet hela kroppens elektriska aktivitet, men hjärnvågor ligger på en 100 gånger mindre kraftfull nivå än EKG, så det är fortfarande en experimentell algoritm.

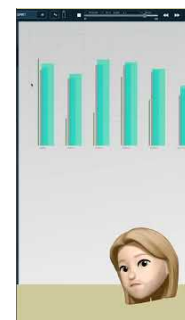
Visningen av hjärnvågor är dynamisk. När du är i uppspelningsläge kommer du att märka en multibandvisning. Logiken bakom denna visning är att ju bredare bandet är, desto längre tidsperiod representerar det. Omvänt indikerar ett smalare band en kortare tidsperiod.

Här är en förklaring av de olika banden:

- Det kortaste bandet motsvarar mycket kortvariga mätningar, mätta på nivån av ett hjärtslag eller ett par hjärtslag.
- Allt eftersom banden blir bredare representerar de allt längre tidsperioder.

Det är viktigt att notera att kortvariga element rör sig mycket snabbt, medan långvariga element visar långsammare variationer.

När du klickar på ett band visas en utvärdering längst ner på skärmen med en representation av blomman du känner till. Du kan använda denna bedömning för att lägga till objekt direkt till din prioriteringslista, vilket gör det enklare att spåra och analysera dina hjärnvågor.



biocoherence.net/n82.105

För att ta reda på mer

Hjärnvågor delas in i flera kategorier, som var och en är kopplad till olika mentala tillstånd och nivåer av vaksamhet:

1. Delta-vågor (0,5-4 Hz): Förknippade med djup sömn och regenerering.
2. Theta-vågor (4-8 Hz): Förknippade med djup avslappning, meditation och den lätta sömnfasen.
3. Alpha-vågor (8-12 Hz): Korrelerade med ett tillstånd av lugn avslappning och vaknande meditation.
4. Beta-vågor (12-30 Hz): Kopplade till koncentration, vaksamhet och kognitiv aktivitet.
5. Gamma-vågor (30-100 Hz): Förknippade med höga kognitiva processer, såsom lärande och minne.

Dessa vågor fluktuerar enligt individens aktiviteter och mentala tillstånd.

13.3. Drivkrafter

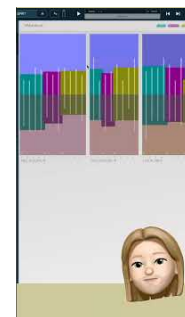
51 emotioner, känslor och handlingar ansikte-mot-ansikte, i 3 huvudgrupper och 3 undergrupper för varje.

Att förstå motorerna i sinnet och det omedvetna sinnet

Finalelementet i sinnet och den omedvetna delen av scanningen berör motorerna. Drivkrafterna består av ungefär sextio känslor, som kan vara antingen konstruktiva eller destruktiva. Dessa känslor är klassificerade i tre kategorier: den inre själv, den yttre själv och andra.

1. Kategorier av känslor:

- Inre själv: Inkluderar alla känslor relaterade till vår inre värld.
- Yttre själv: Inkluderar alla känslor relaterade till vår yttre värld.
- Andra: Inkluderar alla känslor relaterade till våra interaktioner med andra.



biocoherence.net/n82.104

2. Struktur av känslor:

- Varje kategori av känslor är uppdelad i tre underavdelningar: känsla, känsla och handling.
- **Känsla:** Grunden för all förverkligande, den genererar sedan en känsla.
- **Känsla:** Härstammar från känsla och leder till handling.
- **Handling:** Slutresultatet av känsla-känsla processen.

3. Horisonell organisation:

- Känslor är också klassificerade horisontellt: överst finns konstruktiva känslor och nederst, destruktiva känslor.
- Till exempel är depression motsatt att släppa tag, hälsolägre motsatt meditativt tillstånd, hjärtesorg motsatt nöje, och själv-sabotage motsatt tillfredsställelse.

4. Interkonnektiviteten:

- Känslor kan vara interkonnektade på olika ställen. Till exempel, lugnhet är motsatt tvångsmässig besatthet, reflektion motsatt hårdhet, och så vidare.

5. Anpassning:

- Det's möjligt att välja specifika känslor att arbeta på. Till exempel, om organisationen är i ett låg-energi tillstånd, kan du besluta att stärka det.
- Du kan lägga till specifika punkter, som den hög-energi beslutet, till din personliga arbetslista.

Sammanfattningsvis, att förstå och organisera dessa emotionella drivkrafter möjliggör bättre hantering av våra känslor och handlingar, vilket underlättar mer balanserad och medveten personlig utveckling.

För att ta reda på mer

Känslor och känslor är interna respons på externa och interna stimuli.

- Den inre själv omfattar självmedvetenhet, personliga tankar och känslor.
- Den yttre själv berör bilden vi projicerar till andra och de beteenden vi visar i samhället.
- Den andra själv berör sättet vi reagerar på allt det yttre världen presenterar för oss.

Interaktioner med andra inverkar på dessa två dimensioner genom emotionella utbyten och sociala feedback. Känslor såsom glädje, sorg, ilska och rädsla formar våra upplevelser och handlingar, som i sin tur inverkar på vår uppfattning av oss själva och andra. En bättre förståelse av dessa dynamik kan förbättra emotionell intelligens och interpersonella relationer.

Här är en detaljerad beskrivning av varje känsla:

1. **Agilitet:** Förmågan att snabbt och effektivt anpassa sig till förändringar.
2. **Hälsolägre:** Överdriven oro om ens egen hälsa eller den hos andra.
3. **Benevolens:** Attityd av vänlighet och medkänsla mot andra.
4. **Hjärtesorg:** Djup känsla av sorg och emotionell smärta efter en förlust eller besvikelse.
5. **Lugn:** Ett tillstånd av tranquillitet och inre salighet.
6. **Karismatisk:** Förmågan att attrahera, fångla och påverka andra.
7. **Koncentration:** Förmågan att bibehålla uppmärksamhet på en specifik uppgift eller mål.
8. **Confidence:** En känsla av säkerhet och trygghet i ens egna förmågor eller de hos andra.
9. **Övervägande:** Omtanke och respekt för känslorna och behoven hos andra.
10. **Mod:** Förmågan att konfrontera rädsla, smärta, fara eller osäkerhet.
11. **Decision:** Förmågan att göra val med fasthet och beslutsamhet.
12. **Depression:** Ett långvarigt tillstånd av sorg, förtvivlan och förlust av intresse för livet.
13. **Willpower:** Beslutsamhet att följa mål trots hinder.
14. **Eufori:** Intensiv känsla av lycka och spänning.
15. **Retorik:** Förmågan att uttrycka sig klart och effektivt.
16. **Emotionell instabilitet:** Överdriven och oförutsägbar variabilitet av känslor.
17. **Empati:** Förmågan att förstå och dela känslorna hos andra.
18. **Erratisk humör:** Frequent och oförutsägbara förändringar i humör.
19. **Uttröttning:** Känsla av extrem trötthet, både fysisk och emotionell.
20. **Sorg:** Intensiv emotionell smärta, vanligtvis på grund av förlust.
21. **Ärlighet:** Kvaliteten av att vara öppen och ärlig.
22. **hopp:** Positiv förväntan på en bättre framtid.
23. **Desperation:** Total förlust av hopp och själv

13.4. Känslor

sorg, säkerhet, kärlek, sanning, fred, välbefinnande och tillfredsställelse

Kapitel om det omedvetna är indelat i tre huvudområden: känslor, sår och motorer. Vi börjar med känslor.

På den här sidan kan du utvärdera sju huvudsakliga känslor: sorg, säkerhet, kärlek, sanning, fred, välbefinnande och tillfredsställelse. Du kan också följa deras utveckling. Genom att klicka på staplarna kan du visualisera biomarkören i sin blomform, vilket visar dess interna dynamik och länkarna mellan dessa känslor. Här representerar grafen återigen värderingen vid olika horisonter, där de bredaste staplarna är de för lång sikt, och de tunnaste staplarna är de för kort sikt.

Denna analys är tekniskt sett mycket annorlunda, och baserad på olika data, än den som finns i Drives. Det är därför intressant att jämföra dem.

Dessa huvudkänslor är beroende av den andra ordningens harmoniska analys och den allmänna djupa hjärtrytmen. De kan beskrivas enligt följande:

1. **Sorg:** En känsla av nöd eller melankoli orsakad av förlust, misslyckande eller besvikelse. Den manifesterar sig ofta som gråt, brist på energi och tillbakadragande.
2. **Säkerhet:** En känsla av skydd och avsaknad av fara. Den ger förtroende och lugn, vilket gör att vi känner oss trygga från fysiska eller emotionella hot.
3. **Kärlek:** Djup känsla av tillgivenhet och anknytning till en person, ett djur eller en aktivitet. Den översätts till ömma gester, positiva tankar och en önskan om närhet.
4. **Sanning:** En känsla av uppriktighet och äkthet. Sanning ger klarhet och transparens till relationer och situationer, vilket undviker förvirring och bedrägeri.
5. **Peace:** Ett tillstånd av lugn och inre harmoni. Fred manifesterar sig i avsaknad av konflikt, stress och ångest, vilket främjar avslappning och allmänt välbefinnande.
6. **Välbefinnande:** En allmän känsla av hälsa, komfort och fysisk och mental tillfredsställelse. Det omfattar aspekter som hälsa, känslomässig balans och personlig uppfyllelse.
7. **Tillfredsställelse:** Känsla av belåtenhet och nöje som resulterar från uppfyllandet av önskningar, behov eller mål. Det ger en känsla av uppfyllelse och prestation.



biocoherence.net/n82.115

13.5. Fokus

Stressindex, HRV...

I denna sektion, kommer vi att utforska Focus-skärmen, som ger en rik mängd information som är avgörande för avancerad elektrokardiogramanalys. Denna information används vanligtvis i akademiska och forskningssammanhang, och inkluderar olika vetenskapliga markörer.

1. **Stressindex:** Detta index utvecklades av den ryska forskaren Bevski. Det mäter kroppens stressnivåer med hjälp av specifika parametrar.
2. **Anpassningsnivå:** Ett annat index som utvecklades i Ryssland, det bedömer kroppens förmåga att anpassa sig till olika stimuli och förhållanden.
3. **Total kraft, variationsfaktor och hjärtvariabilitet:** Dessa markörer är väl kända inom kardiologin och används för att mäta olika aspekter av hjärtats funktion och stressrespons.



biocoherence.net/n82.100

4. Psyko-emotionell stress: Denna indikator bedömer den emotionella och psykologiska påverkan på hjärtats system.

De data som tillhandahålls av Focus-skärmen kan visas som markörer för snabb visualisering. Alternativt, kan de presenteras i form av anteckningar, blommor och kvalitet, vilket möjliggör en mer detaljerad analys.

Fokus-skärmen inkluderar också information om kvaliteten av uppmärksamhet, avsikt och horisontkontroller. Dessa indikatorer ger ytterligare information om användarens mentala och emotionella tillstånd.

En intressant aspekt av denna skärm är förhållandet mellan uppbyggnad (katabolism) och förstöring (anabolism). Katabolism representerar energiförbrukning, medan anabolism motsvarar energibesparing. Detta förhållande är dynamiskt och kan variera under inspelningen, vilket återspeglar den allmänna respirationen hos levande system. Vänligen kom ihåg att vi är ett systemiskt väsen och förstöring är en del av den generella rörelsen av kompression-expansion, förstöring-återuppbyggnad, separation återförening, komplexifiering-förenkling. Ett friskt komplex organism bör konstant oscillera mellan dessa tillstånd.

Det är avgörande att observera dessa dynamiska variationer, eftersom de indikerar utvecklingen av förhållandet mellan uppbyggnad och förstöring. Tillägget av denna evolutionära faktor ger en bättre förståelse för respirationen hos biologiska system.

Finalt, presenterar Focus-skärmen två blommor, som representerar anabolism och katabolism, för att ge visuell information om dessa processer. Dessa data kan analyseras sektion för sektion eller över hela inspelningen, vilket ger en fullständig översikt över användarens fysiologiska och psykologiska tillstånd.

13.6. Musik

Musikalisk analys och justering

I denna sektion, kommer vi att titta på den andra delen av konceptet sinne, som inkluderar sinne, anda och det omedvetna. Vi'll koncentrera oss huvudsakligen på sinne, och i synnerhet på elementen av musik och justering.

Musik i inspelningar

När vi analyserar sinne, börjar vi med att identifiera de musikaliska elementen som finns i inspelningen. Målet är att hitta relevanta musikaliska överensstämmelser. Du har två alternativ: visualisera alla musikaliska elementen eller spela dem tillbaka för att observera deras utveckling över tid.

Tunna stänger representerar kortvariga element, medan bredare stänger indikerar långvariga element. En annan intressant metrik är den generella nivån av musikalisk harmoni i inspelningen. Efter ungefär ett hundra taktslag, kan vi börja identifiera specifika kort-, medellång-, lång- och mycket långvariga musikaliska ackord.

Musikalisk justering och anpassning

Musikalisk justering innebär att justera skalor och ackordtyper för att passa meditationsmålen. Till exempel, om de närvarande ackorden är moll 7 ackord och vi önskar att gå över till dur ackord, kommer denna övergång att göras gradvis under meditationen. På liknande sätt, om vi're siktat på en viss frekvens som inte är närvarande, kommer vi att bygga musik som gradvis utvecklas mot den målfrekvensen.

Idén är att ta deltagarna i deras nuvarande musikaliska tillstånd och leda dem in i ett djupare tillstånd av meditation genom att använda de melodier som finns i deras kroppar. Denna metod underlättar inträde i meditation genom att direkt tala deltagarnas musikaliska språk.

Kortfattat, musikalisk analys och justering möjliggör personaliseringen av guidad meditation, vilket gör upplevelsen mer tillgänglig och effektiv för varje individ.



biocoherence.net/n82.102

13.7. De 2016 personlighetstyperna

Jungs typer, även kända som MBTI eller Myers-Briggs, i en helt ny karta

Bedömning av personlighet enligt Jungs typer

I denna sektion, kommer vi att utforska fliken "Ande" för att få en allmän översikt över personlighet enligt Jungs typer. Personlighet analyseras genom fyra huvudaxlar.

Personlighetsaxlar

Jungs typer beräknas med hjälp av fyra axlar, som vi för första gången har placerat på ett logiskt diagram:

1. NS (Sensation/Intuition): Denna axel bestämmer hur en person bearbetar information.
2. FT (Tanke/Känsla): Denna axel utvärderar hur en person bearbetar information, med fokus på sinne eller tankar.
3. IE (Introversion/Extraversion): Denna axel mäter energi, och anger om en person är utåtriktad (extraversion).
4. JP (Bedömning/Uppfattning): Denna axel är kopplad till temporal rymd, och anger om en person är kortfristig inriktad (spontanitet).

Varje axel är indelad i segment, vilket möjliggör detaljerad utvärdering. Till exempel, på IE-axeln, kan en person bedömas som utåtriktad eller inåtvänd.

Jungtyper och utvärdering

Jungtyper, såsom ENTP, ENTJ, ESTJ, ESTP, etc., bestäms enligt position på dessa fyra axlar. Till exempel, kan en bedömning avslöja en dominant ESTJ typ.

Personlighetstypers dynamik

Till skillnad från en statisk frågeformulärbedömning, denna metod möjliggör oss att observera en persons omedvetna, dynamiska svar. När vi navigerar mellan axlarna, kan vi se att bedömningarna rör sig, vilket indikerar att personlighetstyperna är dynamiska. Detta betyder att individen kan oscillera mellan olika intelligande typer beroende på situationen.

Denna icke-statiska metod för Jungs typer öppnar upp intressanta perspektiv på förståelsen av beteenden och personligheter.

Personlighetstyper i detalj

Jungs personlighetstyper baseras på fyra huvudpsykologiska funktioner: tanke, känsla, sensation och intuition, kombinerat med attityderna av extraversion och introversion. Detta resulterar i åtta personlighetstyper:

1. Extraverted tänkande: Logisk, objektiv, faktabaserad.
2. Introverted tänkande: Reflekterande, analytisk, självständig.
3. Extraverted känsla: Sociable, varm, sociala värden-orienterad.
4. Introverted känsla: Tillbakadragen, djup, styrd av egna värderingar.
5. Extraverted känsla: Praktisk, realistisk, konkret-orienterad.
6. Introverted känsla: Konstnärlig, känslig, inriktad på subjektiv upplevelse.
7. Extraverted intuition: Innovativ, möjlighetsorienterad, framtidsinriktad.
8. Introverted intuition: Visionär, introspektiv, insiktsdriven.

Här's en kort beskrivning av de 16 Myers-Briggs Type Indicator (MBTI) personlighetstyperna:

1. ISTJ (Inspektör) - Tillförlitlig, organiserad, realistisk och praktisk.
2. ISFJ (Beskyddare) - Engagerad, omtänksam, lojal och detaljerad.
3. INFJ (Rådgivare) - Idealistisk, empatisk, perceptiv och inspirerande.



biocoherence.net/n82.101

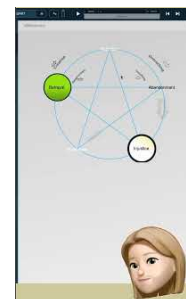
4. INTJ (Arkitekt) - Strategisk, självständig, analytisk och bestämd.
5. ISTP (Artisan) - Praktisk, observant, anpassningsbar och logisk.
6. ISFP (Konstnär) - Känslig, tillbakadragen, spontan och harmonisk.
7. INFP (Idealist) - Kreativ, passionerad, altruistisk och introspektiv.
8. INTP (Logiker) - Innovativ, nyfiken, objektiv och självständig.
9. ESTP (Entreprenör) - Energetisk, direkt, pragmatisk och sociabel.
10. ESFP (Tolk) - Entusiastisk, spontan, varm, och underhållande.
11. ENFP (Inspiratör) - Fantaserande, sociabel, energisk och visionär.
12. ENTP (Innovatör) - Genial, energisk, resursfull och intellektuell.
13. ESTJ (Övervakare) - Organiserande, praktisk, realistisk och avgörande.
14. ESFJ (Konsul) - Vänlig, samvetsgrann, samarbetsvillig och sociabel.
15. ENFJ (Lärare) - Karismatisk, altruistisk, empatisk och motiverande.
16. ENTJ (Befälhavare) - Visionär, bestämd, strategisk och effektiv.

13.8. De 5 sår

Övergivande, avvisande, förnedring, förräderi, orättvisa

Det mänskliga omedvetna påverkas stort av psykiska sår. Bland dessa, finns fem huvudsår: avvisande, övergivenhet, förräderi, förnedring och orättvisa. Dessa fem sår härstammar från en ursprunglig modell av åtta sår. De interagerar på ett liknande sätt som de fem elementen i traditionell kinesisk medicin, vilket skapar ett komplext nätverk av ömsesidiga påverkan.

Att förstå vilka sår som för närvarande är aktiva inom oss kan erbjuda värdefulla insikter. Genom att observera hur avvisande, förräderi eller orättvisa när varandra kan vi få dynamiska insikter i vårt psykiska tillstånd. Denna förståelse kan vara en nyckel till större självkännedom och självförbättring.



biocoherence.net/n82.113

Ursprung till de 5 såren

John Pierrakos, psykoterapeut och medgrundare till Institutet för Bioenergetisk Analys år 1956, tog upp Wilhelm Reichs arbete om existentiella sår (eller narcissistiska sår) och definierade åtta: övergivenhet, avvisande, förnedring, förräderi, orättvisa, intrång, maktlöshet, osäkerhet.

Lise Bourbeau anpassade senare och förenklade teorin till fem känslomässiga sår som hindrar oss från att vara oss själva. Enligt henne är dessa sår i grunden till många känslomässiga problem och dysfunktionella beteenden. De härstammar från barndomen, ofta mellan födelsen och sju års ålder, men fortsätter att påverka våra vuxna liv om de lämnas obehandlade.

1. Såret av avvisande: Detta sår bildas vanligtvis mycket tidigt, ibland även före födelsen, och är ofta kopplat till en känsla av att inte vara önskad. Personer med detta sår känner sig ovärdiga av kärlek och undviker situationer där de kan bli avvisade. De har svårt att hävda sig och ta sin plats.
2. Övergivenhetsår: Detta uppstår när ett barn känner sig övergivet eller utan stöd från närstående. Personer påverkade av detta sår har en intensiv rädsla för ensamhet, och söker konstant uppmärksamhet och godkännande från andra. De kan bli känslomässigt beroende.
3. Förnedringssåret: Detta utvecklas när ett barn känner sig förminskad eller kritiserad av föräldrar eller älskade för sitt beteende eller sina handlingar. Individier med detta sår har tendens att känna skam och sakna värdighet. De kan också förnedra sig själva för att förhindra andra från att göra det.
4. Såret av förräderi: Detta sår uppstår när ett barn känner sig förrått av någon som han eller hon litade på, ofta en förälder som inte håller löften. Personer med detta sår har svårt att lita på andra och söker att kontrollera allt. De kan bli svartsjuka eller besittande.
5. Orättvisesår: Detta bildas när ett barn känner sig orättvist behandlad, ofta av översittande eller kritiskt inställda föräldrar. Personer påverkade av detta sår strävar efter perfektion, och kan bli styva och intoleranta. De har ofta svårt att uttrycka sina känslor.

Lise Bourbeau förklarar att dessa sår påverkar vårt beteende och det sätt vi uppfattar världen. För att läka är det väsentligt att erkänna dessa sår, förstå deras ursprung och arbeta med att övervinna dem.

14. Test

Denna modul är dedikerad till live biofeedback-testning och utvärdering av testlistor från befintliga inspelningar.

Testmodulen möjliggör för dig att utföra alla typer av live-test, vars resultat utvärderas enligt den omedelbara variationen av vissa biomarkörer; och att förutvärdera vilken lista som helst av tester enligt värdena av vissa biomarkörer i den aktuella Scannen

Lista för förutvärdering

Du kan skapa nya listor eller använda befintliga listor skapade av andra användare. När du öppnar en lista kommer alla dess objekt att prioriteras i förhållande till den för närvarande öppna rapporten. Du kan sedan kryssa för vilka av dessa du vill testa live

Live-testning

När objekt har valts möjliggör live-testning för dig att visa dem för kunden och mäta biofeedbacksvaret från hans system med hjälp av Sensorn. Resultatet klassificeras i 3 möjliga svar: stärker systemet; försvagar systemet; eller neutralt
Det finns också ett oändligt öppet testalternativ, som låter dig testa vilken terapeutisk metod som helst direkt på klienten eller på dig själv, och mäta resultatet live med hjälp av biofeedback.

14.1. Testlistor

Testa med listor i BioCoherence

Hantera och redigera listor i din applikation

När du arbetar med listor, har du sökfunktioner med nyckelord tillgängliga vid dina fingrar. Även om antalet listor för närvarande är begränsat, är det utformat för att expandera till hundratals eller till och med tusentals listor. Detta möjliggör för dig att redigera och hantera dina egna tester.

Testredigeringsläge

1. Åtkomst till redigeringsläge: Om du är på ett test som tillhör dig, kommer en liten penna att visa sig bredvid testet. Klicka på den för att gå in i redigeringsläge.
2. Redigera objekt: När du väl är i redigeringsläge, kan du klicka på varje objekt för att modifiera texten och de kopplade åtgärderna. Till exempel, kan du definiera åtgärder för kategorier som Ayurveda, organ, Vata, Vita, etc.
3. Definiera åtgärder: Klicka på kategorier som VPK för att specificera effekter, som att öka eller minska vissa element (t.ex. aminosyror, blåsa, blod, hjärna, ögon).



biocoherence.net/n82.112

Automatisk utvärdering

Automatisk bedömning baseras på överensstämmelsen mellan användarnas elementnivåer och de åtgärder som definieras i tester. Detta möjliggör att rangordna objekten i listan enligt de förväntade resultaten.

Ytterligare verktyg

1. Addera och importera: Du kan lägga till nya verktyg eller importera en lista genom att klistra in objekt rad för rad.
2. Ta bort lista: Ett alternativ finns för att ta bort en lista helt.
3. 2D logik karta: Snart kommer du kunna placera objekt på en tvådimensionell bild, vilket gör det lättare att visualisera och organisera tester.

Allmänna listegenskaper

Överst i gränssnittet, kan du ändra de allmänna egenskaperna:

- Listkategori
- Visibilitet (offentlig eller privat)
- Åtkomst (gratis eller betald)

Betalade listor kan göras offentliga så att andra användare kan få åtkomst till dem mot en avgift, antingen vid ett tillfälle eller via en månatlig prenumeration. Detta möjliggör för dig att dela din kunskap och bli betald för den.

Hantera ickeägda listor

Om du arbetar med en lista som du inte äger, kan du duplicera den. Duplicering möjliggör för dig att skapa en redigerbar kopia där du kan ändra titel, beskrivning och åtgärder.

Åtkomst till listor

Från den allmänna menyn, som kan åtkommas på den högra sidan av skärmen, kan du navigera till "Mina listor" för att redigera dina befintliga listor eller skapa nya. Denna funktion är tillgänglig från alla skärmar, inklusive startsidan.

Genom att följa dessa instruktioner, kommer du att kunna hantera dina listor och tester effektivare, samtidigt som du drar nytta av de olika redigerings- och organisationsalternativen som erbjuds av applikationen.

Introduktion till listbaserade tester

Listbaserade tester i BioCoherence är ett helt öppet system, som tillåter användare att välja existerande listor, skapa nya listor, eller duplicera befintliga listor för att dela med andra användare.

Vad är en lista?

En testlista är en samling av poster, till exempel aromatiska örter eller essentiella oljor. När en lista öppnas i en rapport med en tillgänglig post, utvärderas och prioriteras varje post. Procentandelar indikerar kompatibiliteten för posterna med posten, som varierar från 0% till 100%.

Färgkoder

- Grön: Mycket relevant, hög kompatibilitet (t.ex. 85%)
- Olika färger: Olika grader av kompatibilitet (t.ex. 40% för en mellanliggande serie)
- Violet: Låg kompatibilitet (20-30%)
- Grå: Neutral eller nära-noll kompatibilitet (omkring 0%)
- Röd: Inkompatibilitet eller negativ respons

Live-test

Efter en förhandsbedömning, består den andra delen av ett live-test. Här är stegen att följas:

1. Välj objekt: Välj de objekt som ska testas individuellt.
2. Anslut till sensor: Anslut sensorn för kalibrering.
3. Kör tester: Tester körs ett i taget, där visuell, ljud- eller annan information skickas till den person som testas.
4. Observation: Personen måste se eller höra den information som testas för att få en noggrann bedömning.
5. Evaluering: Systemet klassificerar kroppens respons enligt den information som presenterats.

Resultatvisning

Vid slutet av testet, visas resultaten återigen och klassificeras som följer:

- Successfullt test: Bra kroppssvar
- Genomsnittligt test: Blandat svar
- Oklart test: Negativt eller inkonsekvent svar

Betydelsen av presenterad information

Det är avgörande att presentera så mycket information som möjligt om de element som testas (t.ex. foton, detaljer om de system som de essentiella oljorna påverkar) för att få ett intuitivt och mätbart svar från kroppen via biofeedbacksystemet.

Integration av resultat i rapporten

Testresultat visas i rapporten, som visar endast objekt med bra eller genomsnittliga respons, och exkluderar de som avvisas. Rapporten inkluderar :

- **Kompatibilitetsprocent: Beräkning baserad på initial skanning**
- **Underbevisad kroppssvar: Mätt när information presenteras**

15. AI i BioCoherence

BioCoherence använder den senaste spetskompetensen inom artificiell intelligens (AI) teknologier för att underlätta förståelse, användning och analys på ett smidigt och fullt integrerat sätt.

- AI Hjälpare har förmåga att förklara, analysera, testa och agera på prioriteringar. Mer än 30 specialiserade assistenter kan ta emot biomarkörvärden och öppna en enkel chatt med användaren eller Pro.
- För Pro, är skapandet av listobjekt accelererat tack vare hjälp med att skapa meditationsdelar, automatisk identifiering av åtgärder, produkt ingredienser sökningar....
- BioCoherence integrerar tusentals exklusiva algoritmer kopplade till BioFeedback och biomarkörer, vissa av dem har erhållits med hjälp av djupinlärning och artificiell intelligens.

15.1. AI Hjälpare

En av de mest spännande utvecklingarna i BioCoherence är introduktionen av AI Helpers. Dessa AI-drivna assistenter är utformade för att hjälpa användare att navigera i den stora mängden information inom appen, vilket gör det lättare att förstå och använda data från deras biofeedback scanningar.

AIs hjälpare i BioCoherence är utformade för att förbättra användarupplevelsen genom att ge anpassad vägledning, förklaringar och programskapande baserat på användardata. Dessa AI-moduler minskar inlärningskurvan för nya användare och erbjuder proffs ett sätt att strömlinjeforma kundinteraktioner. AI Helpers kan fungera i två olika lägen beroende på sammanhanget för deras användning:

1. **Utan en inspelning:** Användare kan prata med AI för att skapa ett grundläggande program baserat på deras behov. Från Startsidan: Användare kan interagera med AI för allmän vägledning utan att koppla till specifika biomarkörer.
2. **Med en öppen inspelning:** AI Helpers analyserar användarens biomarkörer och ger insikter eller rekommendationer baserat på de inspelningsdata.



Viktiga funktioner

AIs hjälpare fungerar som en virtuell klinik, med specialiserade assistenter som agerar som sjuksköterskor och supportpersonal för både allmänna användare och professionella utövare. Dessa AI-assistenter kan:

- Läsa och tolka biomarkörer från dina scanningar och scanningarna från dina kunder.
- Visa specifika biomarkörer och tolka dess värden.
- Spela harmoniska boostar för att hjälpa till att balansera din energi.
- Modifiera dina prioriteringar baserat på din hälsodata och diskussionen.
- Addera element till din harmoniska boostlista för personlig läkning.
- Be om och analysera nya tester i real-tid.
- Ge förklaringar och råd för olika biomarkörer och testresultat.
- Redirektera kunder till professionella konsultationer när det behövs.

Detta betyder att användare kan interagera med AI för att få djupare insikter i sin hälsa, ställa frågor om sina resultat, och även få rekommendationer för handlingsbara insikter, meditation, örtmediciner och mer:

- **Anpassad hjälp:** Varje AI Helper specialiserar sig på ett specifikt område, som naturopati, traditionell kinesisk medicin (TCM), etiska oljor eller meditation. Det finns för närvarande mer än 25 AI Helpers. De får ett kuraterat delmängd av biomarkörer som är relevanta för deras expertis, särskilt utformade prompts, specifik kunskap och träning, specifika listor och listobjekt, specifik ytterligare information och specifika förmågor.

- **Basprogramskapande:** Användare kan skapa personliga program genom att diskutera deras behov med AI. Dessa program sparas i "Basprogram" avsnittet och kan startas omedelbart.
- **Språkstöd:** AI Helpers stödjer flera språk, vilket möjliggör för användare att interagera på sitt modersmål. Systemet är utformat för att hantera flerspråkiga frågor effektivt.
- **Customizable Access:** Professionella kan kontrollera vilka AI Helpers som är tillgängliga för deras kunder och vilken data de kan acce. Dessa inställningar garanterar att AI verkar inom de gränser som sätts av den professionella.

AI:s är utformade för att erkänna sina begränsningar, och säkra att användare uppmuntras att söka professionell vägledning när det är nödvändigt.

AI Helpers för proffs

För utövare, AI Helpers tjänar som intelligenta assistenter som kan:

- Hjälpa till att förklara komplexa biomarkörer för kunder.
- Föreslå ytterligare tester baserat på kunddata.
- Rekommendera meditationstekniker eller örtmediciner.
- Underlätta förklaringsprocessen genom att ge valda AI Helpers till kunden med förmågor att förklara men inte modifiera Pro's beslut.

När en Pro arbetar med en kunds post, får AI Helper kunddata och fungerar som Pro's assistent.

Åtkomst till AI Helpers

AI Helpers kan åtkommas från:

- **Startsidan:** För allmän vägledning eller basprogramskapande.
- **En öppen inspelning:** För att analysera och förklara specifika biomarkörer, för att ge detaljerade insikter i analysen.

AI Helper användningsfall

Skapa ett grundläggande program:

- Navigera till AI Helpers sektionen från startsidan.
- Välj en AI Helper (t.ex., Sömncoach, Meditationsguide).
- Engagera dig i ett samtal för att beskriva dina behov (t.ex., "Jag känner mig stressad och behöver hjälp att slappna av").
- AI kommer att generera ett anpassat grundprogram och spara det i ditt "Basprogram" avsnitt.

Förklara biomarkörer:

- Öppna en inspelning och navigera till AI Helpers sektionen, under "Slutsatser".
- Välj en AI Helper som är relevant för de biomarkörer du vill utforska (t.ex., TCM utövare för meridianer).
- AI kommer att ge detaljerade förklaringar och rekommendationer baserat på dina biomarkörer beräknade i inspelningen.

Exempel: Anpassad te eller etiska oljeblandningar. Använd Herbalist eller Essential Oil Expert AI Helper. AI kommer att analysera de relevanta biomarkörerna och föreslå en anpassad te blandning eller etisk olje recept.

AI Helper begränsningar

- AI Helpers kan inte modifiera inspelningar eller analysresultat. De är utformade för att förklara och ge vägledning baserat på befintlig data.
- Det initiala setet av biomarkörer som tillhandahålls till varje AI Helper är begränsat till deras expertisområde. Men AI kan begära ytterligare biomarkörer under samtalet om det behövs.

Avancerade funktioner

Sammanfattning och Rapportintegrering:

- Vid slutet av ett samtal genererar AI Helper en sammanfattning av diskussionen.
- Professionella kan välja att inkludera denna sammanfattning i kundens PDF-rapport för framtida referens.

Feedback och betyg:

- Efter varje interaktion kan användare betygsätta AI Helper's användbarhet och framgång i att adressera deras fråga. Denna feedback hjälper till att förbättra AI's prestanda.

Customizable AI åtkomst för kunder:

- **Professionella kan aktivera eller inaktivera specifika AI Helpers för deras kunder.**
- **De kan också kontrollera huruvida kunder har åtkomst till funktioner som den personliga guiden, harmoniska boostar eller den fullständiga rapporten.**

Tekniska anteckningar

- **AI Helper Datahantering: Varje AI Helper får mellan 5% och 10%%**

16. Balans

Resurser och prioriteringar; rapportering, meditationsgenerering och frekvenser.

Dessa skärmar möjliggör självidentifiering och modifiering av resurser och prioriteringar, generering av en PDF-rapport, och skapande av omfördelningsverktyg såsom styrda meditationer, specifika frekvenser...

16.1. Prioriteringar

Definiera de nyckelelementen som ska behandlas efter analys

Balanssektionen behandlar åtgärder som ska vidtas när analysen är slutförd och målen är klara, eller när enheten litas på för att bestämma krav automatiskt.

Prioriteringar

Definition och Syfte: Prioriteringar är de elementen som identifieras av appen som behöver uppmärksamhet eller intervention. Dessa är de områden där användarens hälsa kan kompromissas och kräver stöd från de identifierade resurserna (se nästa kapitel om resurser).

Urvalsprocess: Appen väljer automatiskt prioriteringar baserat på en algoritm som utvärderar olika biomarkörer. Användare kan utforska ytterligare potentiella prioriteringar inom varje kategori och lägga till dem vid behov, antingen genom att klicka på "utforska" för att få en förvalning av intressanta biomarkörer, eller genom att bläddra genom alla skärmar och välja intressanta prioriteringar.

Kategorier: Likt resurser, prioriteringar är kategoriserade i olika grupper, inklusive organ, känslor, och energetiska punkter. Användare kan utforska dessa kategorier för att identifiera ytterligare områden att fokusera på.

Anpassning: Användare kan lägga till eller ta bort prioriteringar från listan, vilket möjliggör ett skräddarsytt tillvägagångssätt för deras hälsoväg. Det rekommenderas att hålla antalet prioriteringar hanterbart (15-20) för att behålla fokus och effektivitet.



biocoherence.net/n82.107

Kör omräkningar för att optimera systemet.

För att starta om prioritets-och resursberäkningar, klicka på den lämpliga ikonen i övre höger hörn av startskärmen. Börja med att identifiera resurserna, vilket möjliggör att systemet automatiskt kan återidentifiera alla nödvändiga resurser. Därefter, identifiera prioriteringar genom att klicka på den motsvarande alternativet, vilket automatiskt lägger till de prioriteringar som identifierats av systemet. Du kan också klicka på "lägga till" och "auto identifiera prioriteringar" i Prioriteringar skärmen; det kommer bara att lägga till nya prioriteringar till din aktuella val, inte ta bort dem.

Waveformanalys är ett avgörande steg i logisk utveckling. Du kan räkna om biomarkörer, kopplingar, prioriteringar och identifiera resurser enligt dina behov. Om du stöttar på problem med att få tillgång till en fullständig rapport, kan du alltid beräkna om den.

Visa och ändra prioriteringar

I prioriteringssektionen, visar systemet allt som identifierats som relevant. Du kan ändra dessa prioriteringar genom att ta bort dem eller lägga till nya. För att lägga till en prioritet, klicka på "Lägg till" och välj de intressanta objekten från de olika kategorierna som erbjuds, såsom organ, meridianpunkter eller TCM (Traditionell Kinesisk Medicins) recept.

Du kan också städa upp listan över prioriteringar genom att ta bort de som inte längre krävs. Prioritetsredigering använder det samma gränssnittet på alla systemets sidor, men här grupperas alla prioriteringar som du har definierat.

Slutligen, kan du lägga till kommentarer till prioriteringarna. Dessa kommentarer kommer att integreras i den slutgiltiga rapporten, vilket ger ytterligare kontext för varje identifierad prioritet.

Du kan lägga till eller ta bort prioritetsobjekt från vilken sida som helst, genom att klicka på ikonen till höger om den relevanta blomman. Om den här ikonen är grön, är biomarkören närvarande i prioriteringarna; om den är röd, är den inte.

16.2. Resurser

Pilarerna för att solidt harmonisera

Före vi utforskar resurser, kommer Christine Degoy att dela några insikter om sin forskning, eftersom detta är ett nyckelfokus:

"Vi har utvecklat en kultur--ett nytt tankesätt--för att engagera oss i problematiska system. Tio år av terapiarbete och forskning med kunder avslöjade initialt för mig en koherens inom varje varelse. Denna naturliga resonans är avgörande eftersom den hjälper till att utforska det fullständiga spektrumet av problem. Det's det enklaste sättet att etablera djupgående inre kopplingar, som främjar en positiv smittsamhet som enhances koherens i systemet. Denna metod ger individer kraft att läka och växa inombords, med respekt för kroppens naturliga ordning. Vi kallar detta 'resursernas väg', en öppen dörr till möjligheter.

Resurser är de mest koherenta och kraftfulla delarna av vår varelse, liknande en superkraft vi've utvecklat under våra liv. Konceptet livslångt resurser kommer såsmåningom att vara en del av våra livsuppdrag modul. Även ett enda organ, meridian, akupunkturpunkt, chakra, emotion, etc. kan vara en kraftfull resurs, som bidrar till en lycklig smittsamhet som justerar vårt liv och kropp. " -- Christine Degoy



biocoherence.net/n82.108

Efter att ha tittat på prioriteringar - de avgörande elementen som måste hanteras för en person vid vilken tidpunkt som helst - kommer vi att gå vidare till resurser. Resurser, representerade av en liten biljettikon med en stjärna, är de "stjärnor" element i kroppen. De är de som översvämmas av energi, är extremt stabila och som kroppen kan lita på för att distribuera energi till prioriteringar under hela läkningsprocessen.

I appen, har vi utvecklat en sofistikerad algoritm för att beräkna en resurs poäng för varje biomarkör. Denna poäng identifierar de mest energetiska och stabila elementen, och lyfter fram prioriteringar för förbättring. Den tar hänsyn till olika faktorer, som ett elements stabilitet, energi, och koppling, vilket resulterar i den resurs sidan du ser nu.

En detaljerad förståelse av resurserna och prioriteringarna inom BioCoherence appen erbjuder användare en tydlig väg för att utnyttja sina inneboende styrkor och hantera områden av behov för förbättrad hälsa och välbefinnande.

Resurser identifieras automatiskt efter en inspelning, tack vare en algoritm som utvecklats för att ta hänsyn till alla tillgängliga element. Det är dock möjligt att modifiera dessa resurser manuellt om det behövs. Till exempel, när du går till organ sektionen, om neurotransmittorer identifieras som den huvudsakliga resursen, är det möjligt att klicka på dem för att se ett urval av andra starka resurser.

De tillgängliga resurserna från denna familj rankas sedan i omvänd ordning av betydelse, från den starkaste till den svagaste. Om du föredrar att arbeta med en annan resurs, till exempel tungan istället för neurotransmittorer, eller luftstrupen, eller cellkärnorna i neuroner, klicka bara på den önskade resursen för att välja den. För att bättre förstå vad varje resurs motsvarar, kan du klicka på blomikonen för att se kopplingarna och göra ett mer informerat val.

Resurser kommer sedan att användas i de olika stegen av reharmonisering.

En kort presentation av Resurser

Vår metod introducerar ett paradigmskifte för att hantera problematiska system. Initialt upptäckte genom terapeutiska metoder, denna metod betonar koherensen inom en individ. Denna naturliga resonans mellan terapi och personlig koherens tjänar som en grund för att hantera bredare frågor. Metoden främjar inre kopplingar, som leder till en 'lycklig smittsamhet' som förbättrar personlig läkning och empowerment utan externa protokoll. Denna metodik, benämnd 'resursernas väg', respekterar komplexa system och främjar synergi.

Resurser identifieras som de mest koherenta och kraftfulla aspekterna av kroppen, liknande inneboende superkrafter. För att vidare utveckla förståelsen av ens personliga resa, kommande uppdateringar kommer att inkludera livsuppdrag, vilket är en förlängning av Christines forskning.

A specifikt organ, till exempel, kan vara en betydande resurs, potentiellt sprida kraft och koherens genom hela kroppen. Applikationen använder en avancerad algoritm för att beräkna en resurs poäng för varje biomarkör, identifierar optimala resurser och prioriteringar. Algoritmen utvärderar energi, stabilitet, och koppling, med hänsyn till styrkan eller svagheten hos dessa kopplingar, vilket resulterar i en omfattande resurs sida.

Resurser och Prioriteringar i BioCoherence

Översikt

BioCoherence appen ger en omfattande analys av användarens fysiologiska och energetiska tillstånd genom en detaljerad scanning. Vid slutandet av den initiala scanningen, presenteras användare med två avgörande komponenter: Resurser och Prioriteringar. Dessa element är avgörande för att tolka scanningsresultaten och vägleda användaren mot optimal hälsa och välbefinnande.

Resurser

Definition och Syfte: Resurser i BioCoherence appen refererar till de mest koherenta, stabila, och energetiskt potenta elementen inom användarens kropp. Dessa element identifieras som användarens inneboende styrkor eller "superkrafter" som kan utnyttjas för att stötta läkning och balans.

Beräkning: Appen använder en sofistikerad algoritm för att bestämma resurs poängen för varje biomarkör. Denna poäng tar hänsyn till faktorer såsom energiskap, stabilitet, och koppling till andra element. De högst poängsatta elementen identifieras som resurser.

Kategorier: Resurser kategoriseras i tio grupper, inklusive:

- Organ Grupper (t.ex. Ayurveda-baserade grupper)
- Individuella Organ
- Atomer
- Meridianer
- Moment (dynamiska tillstånd)
- Driftskrafter (känslor)
- Organismer (symbiotiska eller parasitiska)

16.3. PDF rapport

Generera, exportera PDF, skriv ut och dela resultat

Kapitel: Generera och hantera rapporter med Balance

Den tredje nyckelfunktionen i Balance är generering av rapporter. Denna funktion låter dig skapa en PDF fil som innehåller all information som bevarats under användning av applikationen.

PDF rapportsinnehåll

Den genererade PDF rapporten inkluderar:

- Projektsektioner och varaktighet
- Skrivna kommentarer
- Identifierade resurser
- Prioriteringar definierade
- Mest energifyllda eller minst energifyllda organ
- Mest eller minst upprörda organ
- Organ i koherens
- Meridianer
- Traditionella kinesiska medicinska (TCM) recept
- osv.

Rapportanpassning

Du kan lägga till eller ta bort sektioner från rapporten. För att göra detta, gå till sektionstyperna och använd de verktyg som finns för att anpassa rapporten efter dina behov.

Rapportdelning och spara

PDF rapporten kan dela direkt via flera kanaler:

- Direkt delning: Använd delningsrutan för att skicka rapporten via WhatsApp, SMS eller messenger.
- Spara: Klicka på "PDF Fil" för att spara rapporten. På en dator, kan du spara den direkt till din hårddisk. På en telefon eller platta (iPad), kommer den att sparas i dina filer.
- skriva ut: Klicka på "Skriv ut" för att skriva ut rapporten. På en dator, kommer detta att öppna skrivdialogrutan. På en telefon, kommandot för att skriva ut kommer att visa sig om en kompatibel skrivare finns tillgänglig på ditt nätverk.

PDF rapporten bevarar all information som anges, inklusive eventuella kommentarer som lades till i de olika sektionerna. Denna funktion säkra att all viktig data är centraliserad och enkelt tillgänglig för framtida användning.

16.4. Balans: Meditationer, ljud och verktyg

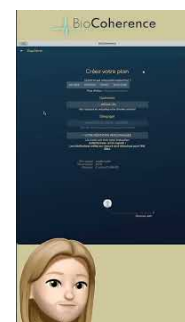
guidad meditationer, frekvensgenerering, och tidskristall lösning. I detta skede, förbereds denna modul och kommer att utvecklas under de kommande månaderna.

Balansering med personligt guidad meditation

"Balansering" sektionen är en avgörande del av vår metod, dedikerad till skapandet av guidad meditationer eller ljudfiler som integrerar de frekvenser som krävs för varje individ. Principen är baserad på ett progressivt tillvägagångssätt, jämförbart med att skala en lök: de problem som ligger närmast oss är de lättaste att hantera, medan de som ligger längre borta kräver mer djupgående behandling. Denna process genomförs steg för steg, följande en idealisk väg definierad för att passera genom de olika prioritetselementen i en specifik ordning.



biocoherence.net/n82.109



biocoherence.net/n82.110

Meditationsparametrar

1. **Meditationshastighet:** Beroende på de parametrar som upptäckts under inspelningen, bestäms hastigheten vid vilken en person går in i meditation.
2. **Personlighetstyp:** Denna faktor påverkar konstrueringen av meditationen.
3. **Musik:** Ackord och en allmän skala identifieras för att börja på personens nivå.

Resursval

Resurser är designade för att utnyttja de kraftfullaste objekten i varje kategori. Relevanta resurser anropas varje dag för att hantera dagens prioriteringar.

Prioritetsval

För varje typ av valda prioriteringar ingår en serie av meditationer. Dessa serier inkluderar olika typer av guidad meditation anpassad till olika profiler. Applikationen bestämmer sedan de mest lämpliga guidad meditationer att börja med, följt av en andra del baserad på frekvenser eller röster som genereras enligt de prioriteringar som ska hanteras och de resurser som ska utnyttjas.

Inspelning och uppföljning

När en personlig vägledning har designats, kan den sparas på användarens konto. Om den görs av en Pro, kan användare sedan installera Biocoherence applikationen, ange sin e-postadress och få åtkomst till sin personliga meditation. Det är också möjligt att regelbundet utvärdera innan varje meditationssession via appen. Återbedömningen uppmanar dig att registrera sensorn och ansluta den för en ny utvärdering.

Framstegsövervakning

Framsteg visas i form av kurvor som motsvarar varje prioritet, vilket gör det möjligt att visualisera framsteg och punkter som fortfarande måste hanteras. Andra spårningsmetoder är också tillgängliga, som inledande och uppföljningsenkäter.

Plan och varaktighet

När planen har dragits upp och den personliga meditationen skapats, är den tillgänglig på användarens profil. Användaren kan bjudas in att installera applikationen via e-post för att starta den guidad meditationen direkt. En komplett balanseringssession planeras att vara i tre veckor.

En detaljerad guide: Använda Harmonic Boost och Personal Guide i BioCoherence

Harmonic Boost och Personal guide är två nyckelfunktioner i BioCoherence appen som möjliggör för användare att engagera sig med sina personliga frekvensprogram. Dessa verktyg hjälper användare att integrera bioaktiva frekvenser i sin dagliga rutin, som stöder deras energetiska och fysiologiska balans. Denna sektion ger en detaljerad guide om hur man använder dessa funktioner effektivt, inklusive bästa praxis för olika scenarier.

1. Harmonic Boost

Vad är Harmonic Boost?

Harmonic Boost är ett frekvensbaserat verktyg som spelar alla valda prioriteter samtidigt. Det är designat för att ge en omfattande, holistisk energetisk harmonisering på kort tid.

Hur man använder Harmonic Boost

- **Åtkomst till Harmonic Boost:**
 - Navigera till din aktiva inspelning (den finns i mitten av din startskärm), eller välj en inspelning i din lista.
 - Klicka på Harmonic Boost för att börja spela frekvenserna.
- **Spela Harmonic Boost:**
 - Harmonic Boost spelar alla valda prioriteter på en gång. Du kan också filtrera efter energi, kropp och sinne; program med hög prioritet; program med protokoll; etc. Filtrera program om du önskar bara en energetisk booster, till exempel, eller om du är i ett humör att hantera dina djupare problem genom att filtrera endast program med protokoll.
 - Det kan spelas i bakgrunden medan du utför dagliga aktiviteter. Volymen kan vara väldigt låg.
 - Det rekommenderas att använda hörlurar eller externa högtalare för bättre resonans. Du kan till och med använda in-ear hörlurar i din ficka som levererar ett litet elektromagnetiskt fält till din kropp med de inkluderade bioaktiva frekvenserna. På så sätt behöver du inte lyssna på frekvenserna: ditt energetiska fält, kropp och sinnet kommer att registrera dem elektromagnetiskt.
- **Exportera Harmonic Boost:**
 - Användare kan exportera Harmonic Boost som en MP3-fil för offline-användning.
 - På Mac, iPhone, iPad och Android, kan filen sparas eller dela direkt via SMS, AirDrop, WhatsApp, eller e-post.
 - På Windows, måste filen sparas manuellt och sedan dela.
- **Bästa praxis:**
 - **Daglig användning:** Spela Harmonic Boost en eller två gånger per dag.
 - **Passiv lyssning:** Det kan spelas på en låg volym i bakgrunden.
 - **Fokuserade sessioner:** För djupare effekter, lyssna i en tyst miljö med minimala distraktioner.

2. Personal Guide

Vad är Personal Guide?

Personal Guide är en guidad meditation som integrerar personligt anpassade frekvenser med röstvägledning. Det hjälper användare att fokusera på deras energetiska och fysiologiska balans genom strukturerad visualisering och avslappningstekniker. Målet med denna vägledning är att integrera fokuserad helande medvetenhet i ditt dagliga liv.

Hur man använder Personal Guide

- **Åtkomst till Personal Guide:**
 - Öppna BioCoherence appen.
 - Navigera till din aktiva inspelning (den finns i mitten av din startskärm), eller välj en inspelning i din lista.
 - Klicka på Personal Guide för att starta sessionen.
- **Anpassa Personal Guide:**
 - **Duration:** Justera den önskade sessionens längd med gl

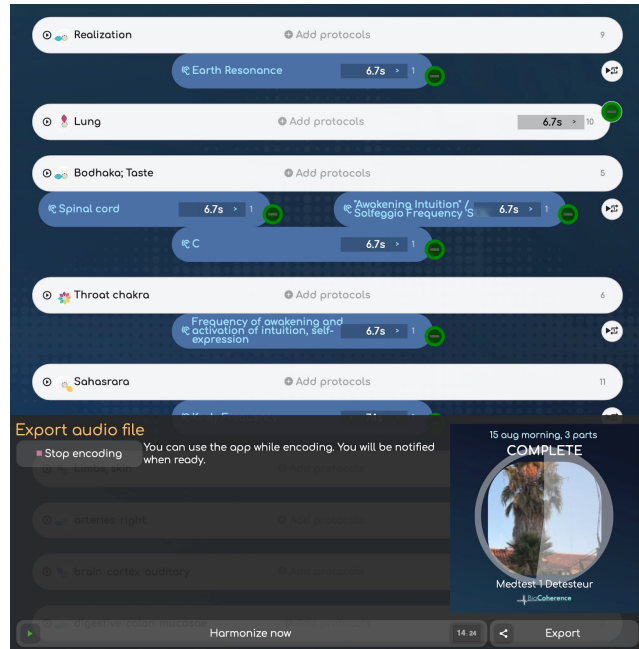
16.5. Harmonisk Ökning

Harmonic Boost-funktionen i BioCoherence är utformad för att öka effektiviteten av meditationer och frekvensbaserad harmonisering genom att integrera specifika frekvenser anpassade efter användarens behov och specifika protokoll. Denna funktion gör det möjligt för användare att stimulera och korrigera olika biomarkörer med hjälp av en kombination av förinställda och individualiserade frekvensprogram.

Färg på objekt och deras funktioner

Harmonic Boost-gränssnittet består av olika färgade element, där varje element har en specifik funktion:

- **Vita element:** Dessa representerar systemiska harmoniseringar, kopplade till en specifik biomarkör. De är förberäknade frekvensuppsättningar kopplade till specifika organ, akupunkturpunkter, belastningar (t.ex. geopatisk stress) eller andra biomarkörer. Dessa frekvenser är fasta och ändras inte baserat på individuella analysresultat.
- **Blå element:** Dessa representerar korrigerande protokoll. De är individualiserade och beräknas lokalt på användarens enhet. Dessa frekvenser väljs baserat på användarens specifika behov och är utformade för att motverka disharmonier som upptäckts i analysen.
 - **Mörkblå element:** Dessa är bioaktiva individuella frekvenser eller samlingar av frekvenser (frekvenspektrum), som kan spelas upp elektriskt eller akustiskt.
 - **Ljusblå element:** Dessa är binaurala beats, som är utformade för att göra mycket låga frekvenser hörbara akustiskt och träna hjärnan i specifika förändrade medvetandetilstånd. De fungerar genom att spela två något olika frekvenser i varje öra, vilket skapar en beatfrekvens i hjärnan som stämmer överens med den önskade terapeutiska effekten.



Åtkomstläge och funktionalitet

Förberäknade frekvenser

- Alla biomarkörharmoniseringsfrekvenser (vita element) är förberäknade och lagrade både lokalt och i molnet. Detta säkerställer smidig uppspelning utan behov av realtidsberäkning, även på enklare enheter.
- Samman samma förberäkningsprocess kommer att tillämpas på blå element (som är högt individualiserade) vid behov, direkt på användarens enhet, vilket eliminerar glitchar och förbättrar prestanda.

Realtidsberäkning för individualiserade protokoll

- När en användare lägger till ett protokoll (blå element) beräknar systemet de nödvändiga frekvenserna lokalt innan uppspelningen.
- Detta säkerställer att frekvenserna är anpassade efter användarens specifika behov samtidigt som optimal prestanda bibehålls.

Sammanhängande frekvensuppspelning

- Harmonic Boost-systemet spelar fyra frekvenser samtidigt.
- Om endast vita element är valda, spelas fyra frekvenser från biomarkörharmoniseringsuppsättningen.

- Om både vita och blå element är valda, balanserar systemet dynamiskt uppspelningsfrekvenserna mellan biomarkörharmonisering och korrigerande frekvenser.

Det faktum att frekvenserna spelas tillsammans möjliggör en riktad åtgärd av protokollen, genom att skapa en direkt bro till det valda systemet via resonanseffekten och lägga till protollfrekvenserna för att uppnå effekten av ett riktat laser som riktar sig specifikt mot systemet.

Binaural beat-integration

- När en binaural beat (ljusblå element) inkluderas, blandas den med en av biomarkörfrekvenserna.
- Till exempel, om en geopatisk stressfrekvens är 100 Hz och en binaural beat är 8 Hz, kommer systemet att spela 100 Hz i ena örat och 108 Hz i det andra, vilket skapar en 8 Hz-beat i hjärnan.

Varaktighet och timing

- Den standardvaraktighet för varje frekvenscykel är 6,73 sekunder, vilket är ett multipel av Planck-tid till det gyllene förhållandet (ϕ).
- Varje vitt eller blått program består av flera cykler, som vanligtvis varar mellan 10 och 150 sekunder (med återställningscykler på 6,73 sekunder).
- Användare kan justera varaktigheten av ett program för att göra det kortare eller längre, beroende på deras behov.
- Det kompletta programmet kan exporteras som en ljudfil, och deluppsättningar kan direkt exporteras för att adressera specifikt energi, kropp, sinne eller de element som behöver mest uppmärksamhet, till exempel.

Anpassning och export

Tillägg av protokoll

- Användare kan manuellt lägga till protokoll för att öka effektiviteten av en Harmonic Boost-session.
- Systemet ger föreslagna protokoll baserat på den valda biomarkören, men användare kan också söka efter ytterligare protokoll. Det finns mer än 2000 inkluderade protokoll och listan förbättras regelbundet med nya studier.

Exportera MP3-filer

- Användare kan exportera Harmonic Boost-sessioner som MP3-filer för offline-användning.
- De exporterade filerna inkluderar metadata som albumomslag och nyckelord, vilket gör dem lätta att organisera i musikbibliotek.

Praktiska tillämpningar

- **Personlig guideförbättring:** Användare kommer att höra Harmonic Boost-frekvenser i de personliga guide meditationerna för djupare avkoppling och läkning.
- **Målinriktad läkning:** Genom att välja specifika biomarkörer och korrigerande protokoll kan användare skapa personliga läkningssessioner.
- **Energiboostning:** Användare kan skapa och spara energiboostande frekvensuppsättningar för snabb åtkomst när det behövs.

Harmonic Boost-funktionen i BioCoherence tillhandahåller ett kraftfullt verktyg för frekvensbaserad harmonisering. Genom att kombinera förberäknade biomarkörfrekvenser med individualiserade korrigerande protokoll kan användare skapa mycket effektiva och personliga läkningssessioner. Förmågan att exportera och spela dessa sessioner offline ökar ytterligare tillgängligheten och användbarheten.

Tillägg 1.

Vanliga frågor

Hur man får hjälp i appen

För att be om hjälp eller skicka ett förslag från vilken sida som helst i appen, öppna bara menyn uppe till höger och klicka på "Feedback och idéer". Du kan klicka på "annotera en skärmdump" för att lägga till en skärmdump av sidan du för närvarande är på, och lägga till denna annoterade skärmdump till din begäran. Det är mycket lättare för oss att hjälpa dig då!

Hur får mina familjemedlemmar eller mina klienter tillgång till de skräddarsydda meditationerna?

För att få tillgång till de skräddarsydda meditationerna behöver de installera appen från biocoherence.net/install eller från App Store eller Play store. Du kan bjuda in dem genom att skapa ett konto för dem; vänligen ange deras e-postadress i kontot så att de får en inbjudan med det korrekta kontot. Du kan sedan dela deras analys med dem genom att lägga till dem som kontakt på analysen. När de loggar in i appen med den e-postadress du angav i det konto du skapade, kommer de att hitta denna analys på appens startsida eller under "Registrerade analyser".

När de har analysen kan de lyssna på den balanserande meditationen genom "Balans" sektionen i BioCoherence-appen, där ljudet kombinerar talad vägledning med frekvenser för optimala resultat.

BioCoherence Affiliate Program

Välkommen till BioCoherence Affiliate Program! Vi är glada att ha dig med oss i att dela fördelarna med vår banbrytande teknologi med din publik. Vårt program gör att du kan tjäna provisioner samtidigt som du hjälper andra att upptäcka en transformativ metod för hälsa och välbefinnande.

Komma igång

1. Logga in på ditt konto: Besök <https://biocoherence.net/s0.login/>.
2. Åtkomst till din affiliate-sida: Navigera till <https://biocoherence.net/n119/>. Detta är din personliga affiliate-hubb.

Här hittar du alla verktyg och information du behöver, inklusive hur du:

- Skapar och hanterar dina inbjudningskoder.
- Spårar dina provisioner.
- Växer ditt affiliate-nätverk.

Om Affiliate Programmet

Vårt program erbjuder prenumerationsbaserade provisioner för direktförsäljning och en mängd olika köptyper. Du kan också tjäna extra incitament när du hänvisar nya affiliates till programmet.

Prenumerationsprovisioner för Direktförsäljning

När du delar dina inbjudningskoder tjänar du provisioner på prenumerationer och andra köp som görs av användare som registrerar sig med din kod. Programmet är utformat för att belöna både dig och dina kunder, och erbjuder fördelar och incitament för nya användare som går med med din kod.

Ytterligare Köp

Tjäna provisioner på köp som rapporter, tester och hårdvara genom BioCoherence-plattformen. Dessa belöningar gör att du kan dra nytta av varje transaktion som görs av dina hänvisade användare.

Obs: För varor som omfattas av territoriell exklusivitet kommer provisioner och kundfakturer att behandlas genom den lokala exklusiva distributören. Priser kan variera beroende på distributörens policyer. Kontrollera biocoherence.net/distributors/ för detaljer.

Hantera Dina Inbjudningskoder

Från din affiliate-hanteringssida kan du skapa flera koder för att distribuera över olika kanaler som sociala medier, videor och bloggar. Detta gör att du kan spåra prestandan för varje kod och optimera dina insatser.

App-installation och första starten

- På Windows, Mac eller Linux: Ladda ner installationsfilen på biocoherence.net/install/
- På iPad, iPhone eller Android: Vänligen följ instruktionerna på biocoherence.net/install/; installationen bör vara endast ett klick bort från App Store.

Efter installationen

När installationen är klar kan det fortfarande finnas problem.

1. Kan inte hitta appen? Den heter "BioCoherence"; På Mac finns den i "Program". På Windows och Linux, i startmenyn. På iPad, iPhone och Android läggs den till din hemskärm, och du kan också hitta den med en sökning.
2. Appen startar inte? Antingen är din dator eller surfplatta för långsam, eller så finns det inkompatibiliteter.
3. Du kan inte logga in? Om du har ett konto, vänligen klicka på "glömt lösenord" på inloggningsskärm. Du kommer att få en länk för att återställa ditt lösenord. Om du inte har ett, kan du skapa ett inom appen.

1. <https://biocoherence.net/s0.login/>
2. <https://biocoherence.net/n119/>

Kan BioCoherence använda Spookys frekvensprotokoll?

Ja, BioCoherence har integrerat många av frekvensprotokollen från olika källor, inklusive Rife-baserade tabeller som används av Spooky och andra enheter. I framtiden syftar BioCoherence till att låta Spooky-enheter agera som sändare, vilket gör det möjligt att exportera ljud från BioCoherence och mata in det direkt i Spooky. Vi planerar att vara öppna för så många enheter som möjligt och att interagera med dem direkt när de är öppna för det. I vilket fall som helst tillåter ljudexporten av frekvensprogrammen att frekvenserna kan spelas på ett stort antal enheter.

Kan det kanske "ersätta" en teknik som jag för närvarande använder?

BioCoherence kan potentiellt ersätta eller komplettera andra biofeedback- och hälsanalyserverktyg beroende på dina specifika behov. Det kan ersätta de flesta enheter, särskilt de som är baserade på slumpnumrergeneratorer, men kanske inte helt ersätta enheter som har olika beprövade handlingsätt.

Hur kan jag få information om de centrala teman som en klient har när resultaten varierar mellan skanningar?

För att få information om de centrala teman som en klient har kan det vara hjälpsamt att jämföra flera skanningar. Titta efter konsekventa mönster eller återkommande problem i skanningarna för att identifiera centrala teman. Mederic nämnde att det är viktigt att leta efter trender i skanningarna för att få en mer omfattande förståelse av klientens centrala problem.

Resultaten kommer generellt att vara mycket konsekventa över skanningarna, med variationer i länkar och relativ energi eller agitation i systemen. Dessa variationer är hälsosamma och indikerar en framsteg.

Du kan faktiskt jämföra flera skanningar sida vid sida i applikationen för att se hur specifika biomarkörer utvecklas, till exempel före och efter att en specifik terapi har tillämpats.

Hur kan mina klienter få tillgång till sina rapporter utanför utövarens kontor? Hur kan de granska sina rapporter och få tillgång till meditationerna?

Kunder kan få tillgång till sina rapporter och meditationer genom appen. Så här kan praktiker aktivera kundåtkomst:

- Lägg till kunden som en ny kontakt i appen:
 - Klicka på de två pilarna bredvid din profilbild för att få tillgång till "Kontakter."
 - Skapa en ny kontakt och se till att inkludera kundens e-postadress.
- Utför en skanning under kundens profil.
- Dela rapporten:
 - Öppna den färdiga rapporten och välj alternativet "Dela med..."
 - Skicka ett inbjudningsmejl till kunden, inklusive en länk för att ladda ner appen tillsammans med inloggningsuppgifter.

När kunden loggar in kan de granska sin rapport och få tillgång till meditationerna direkt i appen. De kan också göra fjärrtester för dig (lokala tester för dem, med en sensor) och du kommer att få resultaten tillbaka i din programvara.

Hur kan mina familjemedlemmar eller mina klienter använda de anpassade frekvenser som genererats för dem?

För att dela de anpassade frekvenserna med dina familjemedlemmar eller klienter, följ dessa steg:

- När du visar deras frekvensrapport i BioCoherence-appen, exportera ljudfilen av frekvenssessionen.
- Du kan sedan dela ljudfilen med dem via meddelanden, e-post eller andra kommunikationsmetoder.

Du kan också bjuda in dina klienter eller familjemedlemmar att installera appen och dela analysen med dem. För det kan du skapa ett klientkonto med deras e-post.

Hur är BioCoherence unik?

BioCoherence kombinerar avancerade matematiska algoritmer med EKG-teknik för att ge detaljerade hälsosynsikt. Den utmärker sig genom att erbjuda en flernivåanalys av kroppens elektriska signaler och inkluderar ett energi/kropp/själ-ansats, flera grafiska visningar och länkar mellan biomarkörer. Den inkluderar också biofeedback-anpassade meditationer och frekvenser.

Hur man uppdaterar appen

Använd alltid den senaste uppdateringen, eftersom ditt problem redan kan ha lösts - eller din idé, redan implementerats!

Beroende på vilken plattform du använder, utförs uppdateringen på olika sätt:

Beta-version

- Om du använder beta-versionen med TestFlight: bör du få en avisering med varje uppdatering. Starta TestFlight och klicka på "Uppdatera".
- Om du har installerat beta-versionen för Mac, Windows eller Linux utanför TestFlight: gå till biocoherence.net/beta, ladda ner installationsprogrammet för den senaste versionen och kör installationsprogrammet. Alla dina data kommer att bevaras.

Offentlig version

- Om du har installerat den offentliga versionen för Mac, Windows eller Linux utanför TestFlight: gå till biocoherence.net/install, ladda ner installationsprogrammet för den senaste versionen och kör installationsprogrammet. Alla dina data kommer att bevaras.
- Om du använder den offentliga versionen från App Store eller Play Store: öppna App Store eller Play Store och uppdatera appen från dess sida.

Lösa Bluetooth-anslutningsproblem med BioCoherence

Om du upplever problem med Bluetooth-anslutningen i BioCoherence, följ dessa felsökningssteg för att säkerställa en smidig installation:

Allmänna riktlinjer

- Starta processen först:
 - Börja med att starta en inspelning eller test i BioCoherence-appen. Många anslutningsproblem uppstår när man försöker ansluta sensorn för tidigt.
 - Appen är utformad för att hantera anslutningsprocessen automatiskt när du initierar en inspelning eller test.
- Undvik systeminställningar:
 - Försök inte att ansluta Bluetooth-sensorn via enhetens systeminställningar. Låt appen hantera denna process för att undvika störningar.
- Se till att Bluetooth är aktivt:
 - Windows: Slå på Bluetooth via inställningspanelen eller Bluetooth-genvägen i det nedre högra aktivitetsfältet.
 - Mac: Aktivera Bluetooth från menyraden uppe till höger. Se till att Bluetooth-behörigheter är beviljade till BioCoherence i systeminställningarna.
 - iOS/Android: Aktivera Bluetooth från enhetens inställningsmeny, som vanligtvis ligger nära Wi-Fi-alternativen.
- Fukta tummarna:
 - Viktigt: Se till att dina tummar är ordentligt fuktade med vatten eller ledande gel. Detta förbättrar anslutningen och säkerställer korrekta sensoravläsningar.

Steg-för-steg Felsökning

1. Aktivera Bluetooth:
 - Om du fastnar på detta steg, kontrollera att:
 - Din enhet har ett aktivt Bluetooth-chip.
 - Bluetooth är påslaget och fungerar.

3. <https://biocoherence.net/distributors>

4. <https://biocoherence.net/install>

5. <https://biocoherence.net/install>

6. <https://biocoherence.net/beta>

7. <https://biocoherence.net/install>

2. Slå på sensorn:
 - Sensorn slås på automatiskt när den tas bort från sin hållare. Placera dina fuktiga tummar på sensorn. Den kopplar vanligtvis inom 1-2 sekunder. Om den inte gör det:
 - Klicka på *Starta om Bluetooth* i appen.
 - Ta bort dina tummar och försök igen att placera dem på sensorn.
3. Anslutningsstatus:
 - Appen ger steg-för-steg indikationer på Bluetooth-panelen:
 - Aktivera Bluetooth: Se till att Bluetooth är påslaget.
 - Slå på sensorn: Appen är redo för att sensorn ska koppla upp sig.
 - Sensor ansluten: Sensorn är framgångsrikt länkad och redo.
 - Preliminära data utbyta: Appen har mottagit initiala data, såsom batteristatus och serienummer.
 - Aktiv data: ECG-data tas emot och inspelningen eller testet börjar.
4. Hantera flera enhetsanslutningar:
 - Om sensorn tidigare har parats ihop med flera enheter, inaktivera Bluetooth på oanvända enheter för att förhindra störningar.

Ytterligare Anteckningar

- Första Gängs Auktorisering:
 - När du startar appen för första gången, ge Bluetooth-behörigheter när du blir ombedd. Om du av misstag nekar dessa behörigheter:
 - Justera dem i dina systeminställningar.
 - Alternativt, avinstallera och installera om appen för att återställa behörigheterna.
- Sensor Frånkoppling:
 - Om sensorn kopplas bort under användning, kontrollera:
 - Batterinivåer.
 - Att tummarna är korrekt placerade på sensorn.

Genom att följa dessa steg och se till att dina tummar är ordentligt fuktade kan du lösa de flesta Bluetooth-anslutningsproblem och njuta av en sömlös upplevelse med BioCoherence. Om problem kvarstår, överväg att kontakta supporten för ytterligare hjälp.

Vad är priserna för BioCoherence?

BioCoherence erbjuder maximalt med flexibilitet i priser. Du kan börja gratis och sedan välja den plan som passar dig bäst. Alla våra planer förklaras i fullständiga detaljer på biocoherence.net/price

Gratis plan

Den gratis planen tillåter dig att göra obegränsade inspelningar och koppla upp dig med en Pro, och få en anpassad meditation. För scanningen kan du öppna några allmänna informationssidor men de flesta sidor är suddiga; du kan köpa en rapport för att läsa upp den. Du kan göra inspelningar med en Apple Watch eller med vår Sensor. Du kan också få tillgång till testkatalogen och välja att betala för vilket test du vill.

För att använda den gratis planen behöver du bara [installera appen](#)⁹ och skapa ett gratis konto.

Om du vill gå längre, här är våra betalda planer:

Betalda planer, för personligt bruk

Vänligen kontrollera priset på vår webbplats. Priserna går per månad (inga åtaganden) till en full livstidslicens, alla uppdateringar inkluderade för livet. Vi har också årsplaner med rabatter.

- Me Play tillåter obegränsade uppspelningar av frekvenser och meditationer.
- Me Essential tillåter obegränsade skanningar och balanser (meditationer och frekvenser) för upp till 2 konton, och ger dig tillgång till viktiga skärmar av rapporten och gratis tester. Du kan köpa fullständiga rapporter och betalda tester efter eget val.
- Me Custom tillåter 3 alltid upplåsta skärmar av ditt val.
- Me Plus ger dig obegränsade fulla skanningsskärmar för upp till 6 personer, redigerbara resurser och prioriteringar, och anpassad balansering.

Betalda planer för professionellt bruk

- Pro Essential tillåter obegränsade skanningar (lokalt eller på distans) och balanser för ett obegränsat antal klienter, och ger dig tillgång till viktiga skärmar av rapporten och skapande av grundtester. Du kan köpa fullständiga rapporter och betalda tester efter eget val.
- Pro Custom tillåter 3 alltid upplåsta skärmar av ditt val.
- Pro Plus ger dig obegränsade fulla skanningar (lokalt eller på distans), och alla skärmar för ett obegränsat antal klienter, redigerbara resurser och prioriteringar, anpassad balansering, och skapande av fullständiga tester, inklusive monetisering.
- Med fokuserar enbart på medicinskt validerade biomarkörer i ett EKG.

För att få mycket mer detaljer om planerna, gå till biocoherence.net/price¹⁰

Vad gör BioCoherence bäst?

BioCoherence-programvaran utmärker sig genom att tillhandahålla en omfattande analys av kroppens elektriska och magnetiska aktivitet, vilket ger insikter om olika biomarkörer och det övergripande hälsotillståndet. Genom att belysa resurser, prioriteringar och kopplingar mellan organ presenterar den komplex data från olika områden på ett enkelt, grafiskt sätt för dagligt bruk av terapeuter. Den använder uteslutande avancerade matematiska operationer för fler nivåers analys, vilket extraherar meningsfull data direkt från kroppens elektriska sensor (elektrokardiogram). Baserat på dessa identifierade resurser och prioriteringar kan den sedan föreslå anpassade guidade meditationer och ombalanseringsprotokoll.

Vad är BioCoherence INTE utformat för att göra?

BioCoherence är inte avsedd att diagnostisera specifika medicinska tillstånd eller ersätta traditionell medicinsk rådgivning. Medan vissa biomarkörer kommer från officiell akademisk medicinsk forskning, är dess främsta syfte att tillhandahålla verktyg för snabb förståelse och identifiering av grundorsaker. Den stöder självhjälp för hemmabrukare och kopplar dem till avancerade terapeuter när det behövs.

Vad är det bästa sättet att säkerställa att skanningsprocessen är komplett, med tanke på att analysen bör ta minst 130 sekunder?

Analysen måste faktiskt ta minst cirka 130 sekunder för att ge korrekta resultat (den behöver minst 128 giltiga hjärtslag). Det finns progressionsfält längst ner i skanningen som visar den nödvändiga längden för varje typ av analys. Vänligen se till att skanningen pågår under hela tiden, även om den verkar vara klar när fälten är fyllda med grönt. Att säkerställa att hela skanningsperioden genomförs är avgörande för resultatens noggrannhet.

Vilken kvalitet har de genererade filerna?

Fokus ligger på att utveckla högkvalitativ ljudgenerering inom appen, inklusive en fullfjädrad realtids-synt och sequencer. Dessa verktyg finns redan tillgängliga i appen för ljud, frekvenser och inspelade guidade meditationer. De genererade parametrarna är under ständig utveckling. Musik stödjer stämning för meditationer och samtidiga gruppsessioner.

Vilka resultat har mätts eller rapporterats?

Medan BioCoherence fortfarande är i beta har den fått mycket positiv feedback från initiala tester som validerar dess effektivitet. Vi samlar in mångsidig feedback för att ytterligare validera och utöka dess användning. Kundutlåtanden och specifika fallstudier kommer att finnas tillgängliga när mer data samlas in.

BioCoherence inkluderar ett sätt att samla in anonymiserad data (med opt-in) för att vetenskapligt validera alla biomarkörer och balanseringslägen. Denna data kommer att utgöra grunden för att publicera vetenskapliga artiklar med tillgång till den råa, anonymiserade datan på begäran från ansedda institutioner.

8. <https://biocoherence.net/price>
9. <https://biocoherence.net/install>
10. <https://biocoherence.net/price>

Vad skulle vara en nybörjan användning och en avancerad användning?

Inledande användning: Me Play (automatisk skanning eller test, och automatisk anpassad biofeedback-förstärkt meditation). Avancerad användning: Pro (40 grafiska sidor, länkar, resurser och identifiering och modifiering av prioriteringar, samt Pro-katalogen för användar-terapeutkopplingar). Framtida funktioner kommer också att inkludera jämförande skanningar och simultana meditationer för flera användare.

Varför fortsätter min sensor att blinka antingen blått eller grönt efter att jag har slutfört skanningen?

Du behöver sätta tillbaka sensorn i sensorhöljet, vilket automatiskt stänger av den. Vi har designat sensorn för att vara väldigt enkel att använda, så du behöver inte ens oroa dig för att slå på och av den—den gör detta automatiskt. Du kan se att den fortsätter blinka grönt eller blått i ett par sekunder, eller kanske upp till 1 minut efter att skanningen är klar, men sedan stänger den av sig och väntar på att nästa skanning ska börja.

Varför misslyckas Bluetooth ibland med att ansluta under en skanning?

Om du upplever problem med Bluetooth-anslutning under en skanning, kan det bero på att BioCoherence-skannern har kopplats ihop med flera enheter. När detta händer kan skannern försöka ansluta till en enhet som för närvarande inte används. För att lösa detta problem, se till att Bluetooth är helt avstängt på andra enheter som tidigare har kopplats till BioCoherence-skannern. Genom att göra detta kommer skannern att ansluta smidigt till den rätta enheten, vilket gör att din skanning kan fortsätta utan avbrott.

För att undvika problem är det mycket viktigt att starta Bluetooth-anslutningsprocessen i appen först genom att påbörja en ny inspelning eller ett test, och DÄREFTER ta sensorn. Genom att sätta tummarna på sensorn kommer den att starta och ansluta automatiskt till appen som redan är i forskningsläge vid detta tillfälle.

Vilken kontotyp kan jag använda för att upptäcka parasiter?

Denna funktion är reserverad för professionella användare endast. Informationen måste tolkas av en professionell, och vi strävar efter att säkerställa att den används korrekt och ansvarsfullt. Det förblir inom gränserna för en energetisk bedömning och inte en direkt observation av en parasitnärvaro.

Bilaga 2.

Lista över relaterade studier

Du kan få tillgång till alla länkar på biocoherence.net/studieslist

Akupunktur, meridianer

H. M. Langevin and J. A. Yandow, *Anat. Rec. (New Anat.)* 269, 257 (2002). [DOI¹](#), [Crossref²](#)

Banes AJ, Tsuzaki M, Yamamoto J, et al. 1995. Mechanoreception at the cellular level: The detection, interpretation and diversity of responses to mechanical signals. *Biochem Cell Biol* 73:349–365. [Crossref³](#) [PubMed⁴](#) [Web of Science⁵](#)

Bonassar LJ, Stinn JL, Paguio CG, et al. 1996. Activation and inhibition of endogenous matrix metalloproteinases in articular cartilage: Effects on composition and biophysical properties. *Arch Biochem Biophys* 333: 359–367. [Crossref⁶](#) [PubMed⁷](#) [Web of Science⁸](#)

Murugan NJ, Cariba S, Abeygunawardena S, Rouleau N, Payne SL. Biophysical control of plasticity and patterning in regeneration and cancer. *Cell Mol Life Sci.* 2023 Dec 15;81(1):9. doi: 10.1007/s00018-023-05054-6. PMID: 38099951; PMCID: PMC10724343. [DOI⁹](#)

Brand RA. 1997. What do tissues and cells know of mechanics? *Ann Med* 29: 267–269. [Crossref¹⁰](#) [PubMed¹¹](#) [Web of Science¹²](#)

Bossy J. 1984. Morphological data concerning the acupuncture points and channel network. *Acupunct Electrother Res* 9: 79–106. [PubMed¹³](#) [Web of Science¹⁴](#)

Cheng X. 1987. Chinese acupuncture and moxibustion. Beijing: Foreign Language Press.

Chicurel ME, Chen CS, Ingber DE. 1998. Cellular control lies in the balance of forces. *Curr Opin Cell Biol* 10: 232–239. [Crossref¹⁵](#) [PubMed¹⁶](#) [Web of Science¹⁷](#)

Chiquet M. 1999. Regulation of extracellular matrix gene expression by mechanical stress. *Matrix Biol* 18: 417–426. [PubMed¹⁸](#) [Web of Science¹⁹](#)

Ciczek LSW, Szopinski J, Skrzypulec V. 1985. Investigations of morphological structures of acupuncture points and meridians. *J Trad Chin Med* 5: 289–292.

Comunetti A, Laage S, Schiessl N, Kistler A. 1995. Characterization of human skin conductance at acupuncture points. *Experientia* 51: 328–331. [Crossref²⁰](#) [PubMed²¹](#) [Web of Science²²](#)

Dung HC. 1984. Anatomical features contributing to the formation of acupuncture points. *Am J Acupunct* 12: 139–143. [Web of Science²³](#)

1. <https://doi.org/10.1002/ar.10185>
2. https://aip.scitation.org/servet/linkout?suffix=c26/c26_1&dbid=16&doi=10.1063/1.4991499&key=10.1002/ar.10185
3. <https://onlinelibrary.wiley.com/servet/linkout?suffix=null&dbid=16&doi=10.1002/ar.10185&key=10.1139/095-043>
4. <https://onlinelibrary.wiley.com/servet/linkout?suffix=null&dbid=8&doi=10.1002/ar.10185&key=8703408>
5. <https://onlinelibrary.wiley.com/servet/linkout?suffix=null&dbid=128&doi=10.1002/ar.10185&key=A1995T760300006>
6. <https://onlinelibrary.wiley.com/servet/linkout?suffix=null&dbid=16&doi=10.1002/ar.10185&key=10.1006/abbi.1996.0402>
7. <https://onlinelibrary.wiley.com/servet/linkout?suffix=null&dbid=8&doi=10.1002/ar.10185&key=8809074>
8. <https://onlinelibrary.wiley.com/servet/linkout?suffix=null&dbid=128&doi=10.1002/ar.10185&key=A1996VJ77600006>
9. <https://doi.org/10.1007/s00018-023-05054-6>
10. <https://onlinelibrary.wiley.com/servet/linkout?suffix=null&dbid=16&doi=10.1002/ar.10185&key=10.3109/0785389708999346>
11. <https://onlinelibrary.wiley.com/servet/linkout?suffix=null&dbid=8&doi=10.1002/ar.10185&key=9375981>
12. <https://onlinelibrary.wiley.com/servet/linkout?suffix=null&dbid=128&doi=10.1002/ar.10185&key=A1997XZ10400003>
13. <https://onlinelibrary.wiley.com/servet/linkout?suffix=null&dbid=8&doi=10.1002/ar.10185&key=6148847>
14. <https://onlinelibrary.wiley.com/servet/linkout?suffix=null&dbid=128&doi=10.1002/ar.10185&key=A1984TF83000001>
15. [https://onlinelibrary.wiley.com/servet/linkout?suffix=null&dbid=16&doi=10.1002/ar.10185&key=10.1016/S0955-0674\(98\)80145-2](https://onlinelibrary.wiley.com/servet/linkout?suffix=null&dbid=16&doi=10.1002/ar.10185&key=10.1016/S0955-0674(98)80145-2)
16. <https://onlinelibrary.wiley.com/servet/linkout?suffix=null&dbid=8&doi=10.1002/ar.10185&key=9561847>
17. <https://onlinelibrary.wiley.com/servet/linkout?suffix=null&dbid=128&doi=10.1002/ar.10185&key=000073043200010>
18. <https://onlinelibrary.wiley.com/servet/linkout?suffix=null&dbid=8&doi=10.1002/ar.10185&key=10601729>
19. <https://onlinelibrary.wiley.com/servet/linkout?suffix=null&dbid=128&doi=10.1002/ar.10185&key=000084085600001>
20. <https://onlinelibrary.wiley.com/servet/linkout?suffix=null&dbid=16&doi=10.1002/ar.10185&key=10.1007/BF01928888>
21. <https://onlinelibrary.wiley.com/servet/linkout?suffix=null&dbid=8&doi=10.1002/ar.10185&key=7729497>
22. <https://onlinelibrary.wiley.com/servet/linkout?suffix=null&dbid=128&doi=10.1002/ar.10185&key=A1995QU26800004>

Giancotti FG, Ruoslahti E. 1999. Integrin signaling. *Science* 285: 1028–1032. [Crossref²⁴](#) [PubMed²⁵](#) [Web of Science²⁶](#)

Gunn CC, Ditchburn FG, King MH, Renwick GJ. 1976. Acupuncture loci: A proposal for their classification according to their relationship to known neural structures. *Am J Chin Med* 4: 183–195. [Crossref²⁷](#) [PubMed²⁸](#)

Ho MW, Knight DP. 1998. The acupuncture system and the liquid crystalline collagen fibers of the connective tissues. *Am J Chin Med* 26: 251–263. [Crossref²⁹](#) [PubMed³⁰](#) [Web of Science³¹](#)

Huan ZY, Rose K. 2001. A brief history of Qi. Brookline, MA: Paradigm Publications.

Kapchuk TJ. 2000. The web that has no weaver. Understanding Chinese medicine. Chicago: Contemporary Publishing Group, Inc.

Lai WM, Mow VC, Sun DD, Atesian GA. 2000. On the electric potentials inside a charged soft hydrated biological tissue: Streaming potential versus diffusion potential. *J Biomech Eng* 122: 336–346. [Crossref³²](#) [PubMed³³](#) [Web of Science³⁴](#)

Langevin HM, Churchill DL, Cipolla MJ. 2001a. Mechanical signaling through connective tissue: A mechanism for the therapeutic effect of acupuncture. *FASEB J* 15: 2275–2282. [Wiley Online Library³⁵](#) [PubMed³⁶](#) [Web of Science³⁷](#)

Langevin HM, Churchill DL, Fox JR, Badger GJ, Garra BS, Krag MH. 2001b. Biomechanical response to acupuncture needling in humans. *J Appl Physiol* 91: 2471–2478. [Crossref³⁸](#) [PubMed³⁹](#) [Web of Science⁴⁰](#)

Langevin HM, Churchill DL, Wu J, Badger GJ, Yandow JA, Fox JR, Krag MH. 2002. Evidence of connective tissue involvement in acupuncture. *FASEB J* 16: 872–874. [Wiley Online Library⁴¹](#) [PubMed⁴²](#) [Web of Science⁴³](#)

Liu KY, Varela M, Oswald R. 1975. The correspondence between some motor points and acupuncture loci. *Am J Chin Med* 3: 347–358. [Crossref⁴⁴](#) [PubMed⁴⁵](#)

Matsumoto K, Birch S. 1988. Hara diagnosis: Reflections of the sea. Brookline: Paradigm Publications.

McCarroll GD, Rowley BA. 1979. An investigation of the existence of electrically located acupuncture points. *IEEE Trans Biomed Eng* 26: 177–182. [Crossref⁴⁶](#) [PubMed⁴⁷](#) [Web of Science⁴⁸](#)

23. <https://onlinelibrary.wiley.com/servet/linkout?suffix=null&dbid=128&doi=10.1002/ar.10185&key=A1984SS05900005>
24. <https://onlinelibrary.wiley.com/servet/linkout?suffix=null&dbid=16&doi=10.1002/ar.10185&key=10.1126/science.285.5430.1028>
25. <https://onlinelibrary.wiley.com/servet/linkout?suffix=null&dbid=8&doi=10.1002/ar.10185&key=10446041>
26. <https://onlinelibrary.wiley.com/servet/linkout?suffix=null&dbid=128&doi=10.1002/ar.10185&key=000082033100034>
27. <https://onlinelibrary.wiley.com/servet/linkout?suffix=null&dbid=16&doi=10.1002/ar.10185&key=10.1142/S0192415X76000238>
28. <https://onlinelibrary.wiley.com/servet/linkout?suffix=null&dbid=8&doi=10.1002/ar.10185&key=937240>
29. <https://onlinelibrary.wiley.com/servet/linkout?suffix=null&dbid=16&doi=10.1002/ar.10185&key=10.1142/S0192415X98000294>
30. <https://onlinelibrary.wiley.com/servet/linkout?suffix=null&dbid=8&doi=10.1002/ar.10185&key=9862013>
31. <https://onlinelibrary.wiley.com/servet/linkout?suffix=null&dbid=128&doi=10.1002/ar.10185&key=000077302300001>
32. <https://onlinelibrary.wiley.com/servet/linkout?suffix=null&dbid=16&doi=10.1002/ar.10185&key=10.1115/1.1286316>
33. <https://onlinelibrary.wiley.com/servet/linkout?suffix=null&dbid=8&doi=10.1002/ar.10185&key=11036556>
34. <https://onlinelibrary.wiley.com/servet/linkout?suffix=null&dbid=128&doi=10.1002/ar.10185&key=000167111100006>
35. <https://onlinelibrary.wiley.com/doi/10.1096/fj.01-0925fje>
36. <https://onlinelibrary.wiley.com/servet/linkout?suffix=null&dbid=8&doi=10.1002/ar.10185&key=11641255>
37. <https://onlinelibrary.wiley.com/servet/linkout?suffix=null&dbid=128&doi=10.1002/ar.10185&key=000171920400040>
38. <https://onlinelibrary.wiley.com/servet/linkout?suffix=null&dbid=16&doi=10.1002/ar.10185&key=10.1152/jappl.2001.91.6.2471>
39. <https://onlinelibrary.wiley.com/servet/linkout?suffix=null&dbid=8&doi=10.1002/ar.10185&key=11717207>
40. <https://onlinelibrary.wiley.com/servet/linkout?suffix=null&dbid=128&doi=10.1002/ar.10185&key=000172484200008>
41. <https://onlinelibrary.wiley.com/doi/10.1096/fj.01-0925fje>
42. <https://onlinelibrary.wiley.com/servet/linkout?suffix=null&dbid=8&doi=10.1002/ar.10185&key=11967233>
43. <https://onlinelibrary.wiley.com/servet/linkout?suffix=null&dbid=128&doi=10.1002/ar.10185&key=000175425900017>
44. <https://onlinelibrary.wiley.com/servet/linkout?suffix=null&dbid=16&doi=10.1002/ar.10185&key=10.1142/S0192415X75000426>
45. <https://onlinelibrary.wiley.com/servet/linkout?suffix=null&dbid=8&doi=10.1002/ar.10185&key=1202933>
46. <https://onlinelibrary.wiley.com/servet/linkout?suffix=null&dbid=16&doi=10.1002/ar.10185&key=10.1109/>

- of Science⁴⁸
- Noordegraaf A, Silage D. 1973. Electroacupuncture. *IEEE Trans Biomed Eng* 20: 364–366. [Crossref⁴⁹](#) [PubMed⁵⁰](#) [Web of Science⁵¹](#)
- NIH Consensus Statement. 1997. Acupuncture. Bethesda, MD: NIH. 15: 1–34.
- O'Connor J, Bensky D. 1981. Acupuncture, a comprehensive text (Shanghai College of Traditional Medicine) Seattle: Eastland Press.
- Oschman JL. 1993. A biophysical basis for acupuncture. Proceedings of the First Symposium of the Committee for Acupuncture Research.
- Pomeranz B. 2001. Acupuncture analgesia-basic research. In: G Stux, R Hammerschlag, editors. *Clinical acupuncture-scientific basis*. Berlin: Springer-Verlag.
- Rabischong P, Niboyet JEH, Terral C, Senelar R, Casez R. 1975. Bases experimentales de l'analgesie acupuncturale. *Nouv Presse Med* 4: 2021–2026. [PubMed⁵²](#) [Web of Science⁵³](#)
- Reishmanis M, Marino AA, Becker RO. 1975. Electrical correlates of acupuncture points. *IEEE Trans Biomed Eng* 22: 533–535. [Crossref⁵⁴](#) [PubMed⁵⁵](#) [Web of Science⁵⁶](#)
- Senelar R. 1979. Les caractéristiques morphologiques des points chinois. In: JEH Niboyet, editor. *Nouveau traité d'acupuncture*. Paris: Maisonneuve.
- Shanghai Medical University, Human Anatomy Department. 1973. A relationship between points of meridians and peripheral nerves: Acupuncture anaesthetic theory study. Shanghai: People's Republic Publishing House.
- Swartz MA, Tschumperlin DJ, Kamm RD, Drazen JM. 2001. Mechanical stress is communicated between different cell types to elicit matrix remodeling. *Proc Natl Acad Sci USA* 98: 6180–6185. [Crossref⁵⁷](#) [PubMed⁵⁸](#) [Web of Science⁵⁹](#)
- Ulett GA, Han S, Han JS. 1998. Electroacupuncture: mechanisms and clinical applications. *Biol Psych* 44: 129–138. [PubMed⁶⁰](#) [Web of Science⁶¹](#)
- Veith I. 1949. The yellow emperor's classic of internal medicine. Berkeley: University of California Press.
- Yang J. 1601. The golden needle and other odes of traditional acupuncture, 1601. Translated by R Bertschinger. Edinburgh: Churchill Livingstone.
- Quyen Manh Nguyen, Tuan Hoang Nguyen, Lam Van Tran, Tin Thanh Dang, Anh Dinh, Device to Detect Acupuncture Points in the Feet Soles for Massage Treatment, 8th International Conference on the Development of Biomedical Engineering in Vietnam, 10.1007/978-3-030-75506-5_1, (3-13), (2022). [Crossref⁶²](#)
- Yung-Sheng Yen, Han-Yi Cheng, Hung-Ta Lin, Evaluation of Stress on Acupuncture with Nano-Etched and Diamond-Like Carbon (DLC) Coating Surface Modifications, *Journal of Biomaterials and Tissue Engineering*, 10.1166/jbt.2022.2928, 12, 3, (489-493), (2022). [Crossref⁶³](#)
- Gregory P. Casey, Anatomical characterization of acupoint large intestine 4, *The Anatomical Record*, 10.1002/ar.24681, 305, 1, (144-155), (2021). [Wiley Online Library⁶⁴](#)
- Ajit B. Pai, Lori V. Shuart., David F. Drake, Integrative Medicine in Rehabilitation, *Braddom's Physical Medicine and Rehabilitation*, 10.1016/B978-0-323-62539-5.00018-7, (364-373.e3), (2021). [Crossref⁶⁵](#)
- Tongju Li, Bruce Qing Tang, Wei-Bo Zhang, Minyi Zhao, Qingchuan Hu, Andrew Ahn, In Vivo Visualization of the Pericardium Meridian with Fluorescent Dyes, Evidence-Based Complementary and Alternative Medicine, 10.1155/2021/5581227, 2021, (1-10), (2021). [Crossref⁶⁶](#)
- Chao Sun, Changchun Ji, Ying Li, Jiujie Kuang, Jiangtao Wu, A comparison study of photothermal effect between moxibustion therapy and laser irradiation on biological tissue, *International Journal of Thermal Sciences*, 10.1016/j.ijthermalsci.2021.106924, 164, (106924), (2021). [Crossref⁶⁷](#)
- Nikolay Dimitrov, Nikola Tomov, Dimitrinka Atanasova, Stiliyan Iliev, Tatyana Tomova, Dimitar Sivrev, Zoya Goranova, Visible Meridian Phenomena after TBME.1979.326392
47. <https://onlinelibrary.wiley.com/serve/linkout?suffix=null&dbid=8&doi=10.1002/ar.10185&key=521032>
48. <https://onlinelibrary.wiley.com/serve/linkout?suffix=null&dbid=128&doi=10.1002/ar.10185&key=A1979GN78800013>
49. <https://onlinelibrary.wiley.com/serve/linkout?suffix=null&dbid=16&doi=10.1002/ar.10185&key=10.1109/TBME.1973.324289>
50. <https://onlinelibrary.wiley.com/serve/linkout?suffix=null&dbid=8&doi=10.1002/ar.10185&key=4727423>
51. <https://onlinelibrary.wiley.com/serve/linkout?suffix=null&dbid=128&doi=10.1002/ar.10185&key=A1973Q497200007>
52. <https://onlinelibrary.wiley.com/serve/linkout?suffix=null&dbid=8&doi=10.1002/ar.10185&key=1178444>
53. <https://onlinelibrary.wiley.com/serve/linkout?suffix=null&dbid=128&doi=10.1002/ar.10185&key=A1975AP43900003>
54. <https://onlinelibrary.wiley.com/serve/linkout?suffix=null&dbid=16&doi=10.1002/ar.10185&key=10.1109/TBME.1975.324477>
55. <https://onlinelibrary.wiley.com/serve/linkout?suffix=null&dbid=8&doi=10.1002/ar.10185&key=1184029>
56. <https://onlinelibrary.wiley.com/serve/linkout?suffix=null&dbid=128&doi=10.1002/ar.10185&key=A1975A102000013>
57. <https://onlinelibrary.wiley.com/serve/linkout?suffix=null&dbid=16&doi=10.1002/ar.10185&key=10.1073/pnas.111133298>
58. <https://onlinelibrary.wiley.com/serve/linkout?suffix=null&dbid=8&doi=10.1002/ar.10185&key=11353845>
59. <https://onlinelibrary.wiley.com/serve/linkout?suffix=null&dbid=128&doi=10.1002/ar.10185&key=000168883700045>
60. <https://onlinelibrary.wiley.com/serve/linkout?suffix=null&dbid=8&doi=10.1002/ar.10185&key=9646895>
61. <https://onlinelibrary.wiley.com/serve/linkout?suffix=null&dbid=128&doi=10.1002/ar.10185&key=000074292400008>
62. https://doi.org/10.1007/978-3-030-75506-5_1
63. <https://doi.org/10.1166/jbt.2022.2928>
64. <https://onlinelibrary.wiley.com/doi/10.1002/ar.24681>
65. <https://doi.org/10.1016/B978-0-323-62539-5.00018-7>
66. <https://doi.org/10.1155/2021/5581227>
67. <https://doi.org/10.1016/j.ijthermalsci.2021.106924>
- Acupuncture: A Series of Case Reports, *Journal of Acupuncture and Meridian Studies*, 10.51507/j.jams.2021.14.2.50, 14, 2, (50-57), (2021). [Crossref⁶⁸](#)
- Nasim Bahadorani, Jerry W. Lee, Leslie R. Martin, Implications of Tamarkoz on stress, emotion, spirituality and heart rate, *Scientific Reports*, 10.1038/s41598-021-93470-8, 11, 1, (2021). [Crossref⁶⁹](#)
- Maojun Li, Huawen Peng, Binxiu Wei, Qiuxia Deng, Fen Qian, Xin Liu, Jian Wang, Xiaodong Zhu, Effect of acupuncture anesthesia based on nanomaterial sensor on cognitive function after one-lung ventilation thoracotomy, *Materials Express*, 10.1166/mex.2021.2027, 11, 7, (1051-1056), (2021). [Crossref⁷⁰](#)
- Jaliya Kumaratilake, Teghan Lucas, Maciej Henneberg, Possible relationship of upper limb arteries, median and brachial to the twelfth meridian of the human upper limb, *Journal of Anatomy*, 10.1111/joa.13401, 238, 6, (1492-1493), (2021). [Wiley Online Library⁷¹](#)
- Yong Ming Li, Three hand yin meridians in ancient Chinese medicine were established initially based on arterial structures, *Journal of Anatomy*, 10.1111/joa.13400, 238, 6, (1494-1496), (2021). [Wiley Online Library⁷²](#)
- Yi Zhang, Interpretation of acupoint location in traditional Chinese medicine teaching: Implications for acupuncture in research and clinical practice, *The Anatomical Record*, 10.1002/ar.24618, 304, 11, (2372-2380), (2021). [Wiley Online Library⁷³](#)
- Sanghun Lee, Prospects for the Development of Acupuncture Treatment Led by the Use of Ultrasound Imaging Devices, *Journal of Korean Medical Society of Soft Tissue*, 10.54461/JKMST.2021.5.1.8, 5, 1, (8-11), (2021). [Crossref⁷⁴](#)
- Xiao Ye, Yu-lan Ren, Yun-hui Chen, Ji Chen, Xiao-jiao Tang, Zong-ming Zhang, A “4D” systemic view on meridian essence: Substantial, functional, chronological and cultural attributes, *Journal of Integrative Medicine*, 10.1016/j.joim.2021.11.006, (2021). [Crossref⁷⁵](#)
- Berna Dincer, Demet İnangil, Gökhan İnangil, Nefes Bahçecik, Elif Yıldırım Ayaz, Ali Arslanoğlu, Miraç Vural Keskinler, Ayşe Kabuk, Gamze Özkan, The effect of acupressure on sleep quality of older people: A systematic review and meta-analysis of randomized controlled trials, *EXPLORE*, 10.1016/j.explore.2021.11.010, (2021). [Crossref⁷⁶](#)
- Marianna de Melo Salemi, Vanessa Maria da Silva Alves Gomes, Laylla Marjorye Reboças Bezerra, Thania Maion de Souza Melo, Geisa Guimarães de Alencar, Iracema Hermes Pires de Melo Montenegro, Alessandra Paula de Melo Calado, Eduardo José Nepomuceno Montenegro, Gisela Rocha de Siqueira, Effect of Dry Cupping Therapy on Pain and Functional Disability in Persistent Non-Specific Low Back Pain: A Randomized Controlled Clinical Trial, *Journal of Acupuncture and Meridian Studies*, 10.51507/j.jams.2021.14.6.219, 14, 6, (219-230), (2021). [Crossref⁷⁷](#)
- Luís Carlos Matos, Jorge Pereira Machado, Fernando Jorge Monteiro, Henry Johannes Greten, Understanding Traditional Chinese Medicine Therapeutics: An Overview of the Basics and Clinical Applications, *Healthcare*, 10.3390/healthcare9030257, 9, 3, (257), (2021). [Crossref⁷⁸](#)
- Jingwen Cui, Wanrong Song, Yipeng Jin, Huihao Xu, Kai Fan, Degui Lin, Zhihui Hao, Jiahao Lin, Research Progress on the Mechanism of the Acupuncture Regulating Neuro-Endocrine-Immune Network System, *Veterinary Sciences*, 10.3390/vetsci8080149, 8, 8, (149), (2021). [Crossref⁷⁹](#)
- İñigo Ongay de Felipe, The Universality of Science and Traditional Chinese Medicine, *Science & Education*, 10.1007/s11191-021-00249-4, (2021). [Crossref⁸⁰](#)
- Ningcen Li, Yi Guo, Yanan Gong, Yue Zhang, Wen Fan, Kaifang Yao, Zhihan Chen, Baomin Dou, Xiaowei Lin, Bo Chen, Zelin Chen, Zhifang Xu, Zhongxi Lyu, The Anti-Inflammatory Actions and Mechanisms of Acupuncture from Acupoint to Target Organs via Neuro-Immune Regulation, *Journal of Inflammation Research*, 10.2147/JIR.S341581, Volume 14, (7191-7224), (2021). [Crossref⁸¹](#)
- 戴云 冯, Bridging Medicine East and West—Pursuit on the Relation between Biomedical Consequence of Stimulating the Acupoints of the Lung Meridian and Somatosensory Reflexes, Aiming to Treat Chronic Obstruction Pulmonary Diseases, *Traditional Chinese Medicine*, 10.12677/TCM.2020.92022, 09, 02, (145-176), (2020). [Crossref⁸²](#)
- Manon te Dorsthorst, Michael van Balken, John Heesakkers, Tibial nerve stimulation in the treatment of overactive bladder syndrome, *Current Opinion in Urology*, 10.1097/MOU.0000000000000781, 30, 4, (513-518), (2020). [Crossref⁸³](#)
- Peter I-Kung Wu, Lucy Chen, Integrative Medicine, *Spine Pain Care*, 10.1007/978-3-030-27447-4, (473-489), (2020). [Crossref⁸⁴](#)
- I. Giralt Sampedro, G. Carvajal, A. Garcia-Janeras, A. Fabà, M.B. Nishishinya Aquino, A severe case of Ramsay Hunt Syndrome treated with acupuncture and related techniques, *Complementary Therapies in Clinical Practice*, 10.1016/j.ctcp.2020.101119, (101119), (2020). [Crossref⁸⁵](#)
68. <https://doi.org/10.51507/j.jams.2021.14.2.50>
69. <https://doi.org/10.1038/s41598-021-93470-8>
70. <https://doi.org/10.1166/mex.2021.2027>
71. <https://onlinelibrary.wiley.com/doi/10.1111/joa.13401>
72. <https://onlinelibrary.wiley.com/doi/10.1111/joa.13400>
73. <https://onlinelibrary.wiley.com/doi/10.1002/ar.24618>
74. <https://doi.org/10.54461/JKMST.2021.5.1.8>
75. <https://doi.org/10.1016/j.joim.2021.11.006>
76. <https://doi.org/10.1016/j.explore.2021.11.010>
77. <https://doi.org/10.51507/j.jams.2021.14.6.219>
78. <https://doi.org/10.3390/healthcare9030257>
79. <https://doi.org/10.3390/vetsci8080149>
80. <https://doi.org/10.1007/s11191-021-00249-4>
81. <https://doi.org/10.2147/JIR.S341581>
82. <https://doi.org/10.12677/TCM.2020.92022>
83. <https://doi.org/10.1097/MOU.0000000000000781>
84. <https://doi.org/10.1007/978-3-030-27447-4>

- Eric Leskowitz, A Cartography of Energy Medicine: From Subtle Anatomy to Energy Physiology, *EXPLORE*, 10.1016/j.explore.2020.09.008, (2020). [Crossref⁶⁶](#)
- Hantong Hu, Yongliang Jiang, Xiaoyu Li, Jiali Lou, Yajun Zhang, Xiaofen He, Junfan Fang, Yuanyan Wu, Xiaomei Shao, Jianqiao Fang, The microcirculatory characteristics of the heart and lung meridians, *Medicine*, 10.1097/MD.00000000000019594, 99, 14, (e19594), (2020). [Crossref⁶⁷](#)
- Sheikh Faruque Elahee Bangladesh, Hui-juan Mao, Ling Zhao, Xue-yong Shen, Meridian system and mechanism of acupuncture action: A scientific evaluation 经络系统与针刺效应机制的科学评价, *World Journal of Acupuncture - Moxibustion*, 10.1016/j.wjam.2020.05.003, (2020). [Crossref⁶⁸](#)
- Mário Gonçalves, Luís Carlos Matos, Leonel Duarte, Jorge Machado, Henry Johannes Greten, Giovanna Franconi, PROBLEMS OF SCIENTIFIC METHODOLOGY RELATED TO PLACEBO CONTROL IN QIGONG STUDIES: A SYSTEMATIC REVIEW, *Journal of Bodywork and Movement Therapies*, 10.1016/j.jbmt.2020.06.035, (2020). [Crossref⁶⁹](#)
- Hans-Udo Richarz, Uwe Schütz, Werner Klingler, Das fasziale Bindegewebe – ein Medium für die Akupunktur? The fascial connective tissue—a medium for acupuncture?, *Deutsche Zeitschrift für Akupunktur*, 10.1007/s42212-019-00228-5, (2020). [Crossref⁷⁰](#)
- Shi Yonghong, Wu Ruizhi, Zhang Yue, Bai Xuebing, Imran Tarique, Liang Chunhua, Yang Ping, Chen Qiusheng, Leucocytes in Different Organs of Vertebrates: Potential Essence Cells of the Meridian in Chinese Traditional Medicine, *Microscopy and Microanalysis*, 10.1017/S1431927620001518, (1-14), (2020). [Crossref⁷¹](#)
- Jinglan Mu, Andrea D Furlan, Wai Yee Lam, Marcos Y Hsu, Zhipeng Ning, Lixing Lao, Acupuncture for chronic nonspecific low back pain, *Cochrane Database of Systematic Reviews*, 10.1002/14651858.CD013814, (2020). [Crossref⁷²](#)
- Kimia Grace Ganjaei, Jeremiah W. Ray, Brandee Waite, Kevin J. Burnham, The Fascial System in Musculoskeletal Function and Myofascial Pain, *Current Physical Medicine and Rehabilitation Reports*, 10.1007/s40141-020-00302-3, (2020). [Crossref⁷³](#)
- Christina L Ross, Energy Medicine: Current Status and Future Perspectives, *Global Advances in Health and Medicine*, 10.1177/2164956119831221, 8, (216495611983122), (2019). [Crossref⁷⁴](#)
- Phil Trabulsy, COMPLEMENTARY AND ALTERNATIVE MEDICINE, *Cancer*, 10.1002/9781119645214, (499-530), (2019). [Wiley Online Library⁷⁵](#)
- Younyoung Chae, Yeonhee Ryu, Won-Mo Jung, An Analysis of Indications of Meridians in DongUiBoGam Using Data Mining, *Korean Journal of Acupuncture*, 10.14406/acu.2019.034, 36, 4, (292-299), (2019). [Crossref⁷⁶](#)
- Wei-bo ZHANG, Xiao-jing SONG, Ze WANG, Guang-jun WANG, Shu-yong JIA, Yu-ying TIAN, Hong-yan LI, Longitudinal Directional Movement of Alcian Blue in Gephyrochax Melanocheir Fish: Revealing Interstitial Flow and Related Structure ☆ 阿尔新蓝在黑裙鱼中的纵向定向运动:组织液流动与相关结构的揭示, *World Journal of Acupuncture - Moxibustion*, 10.1016/j.wjam.2019.05.008, (2019). [Crossref⁷⁷](#)
- Nicholas Alexander Wise, Action at a distance: laser acupuncture and the brain, *Photobiomodulation in the Brain*, 10.1016/B978-0-12-815305-5.00036-1, (489-501), (2019). [Crossref⁷⁸](#)
- Liangjun Xia, Qingyu Meng, Jin Xi, Qin Han, Jie Cheng, Jie Shen, Youbing Xia, Liyun Shi, The synergistic effect of electroacupuncture and bone mesenchymal stem cell transplantation on repairing thin endometrial injury in rats, *Stem Cell Research & Therapy*, 10.1186/s13287-019-1326-6, 10, 1, (2019). [Crossref⁷⁹](#)
- Dha-Hyun Choi, Younyoung Chae, Minimisation of variations in locating an acupuncture point using a laser-device, *Integrative Medicine Research*, 10.1016/j.imr.2019.11.005, (2019). [Crossref⁸⁰](#)
- Doohan Oh, Jong-hyun Kim, Youn-Sub Kim, Song-Yi Kim, Analysis of Tonification and Sedation Methods in the 『Yeongsochimguyeong』, *Korean Journal of Acupuncture*, 10.14406/acu.2019.021, 36, 3, (171-180), (2019). [Crossref⁸¹](#)
- Aleksandar Zivaljevic, Bin Shi, Elisa M S. Tam, Vahideh Toossi, Treatment of visceral pain associated with irritable bowel syndrome using acupuncture: Mechanism of action, *World Journal of Traditional Chinese Medicine*, 10.4103/wjtc.wjtc_24_19, 5, 4, (181), (2019). [Crossref⁸²](#)
- Suchan Chang, O. Sang Kwon, Se Kyun Bang, Do-Hee Kim, Min Won Baek, Yeonhee Ryu, Jong Han Bae, Yu Fan, Soo Min Lee, Hyung Kyu Kim, Bong Hyo Lee, Chae Ha Yang, Hee Young Kim, Peripheral Sensory Nerve Tissue but Not Connective Tissue Is Involved in the Action of Acupuncture, *Frontiers in Neuroscience*, 10.3389/fnins.2019.00110, 13, (2019). [Crossref⁸³](#)
- Junaid Wazir, Rahat Ullah, Shihong Li, Md Amir Hossain, Maladho Tanta Diallo, Farhan Ullah Khan, Awais Ullah Ihsan, Xiaohui Zhou, Efficacy of acupuncture in the treatment of chronic prostatitis-chronic pelvic pain syndrome: a review of the literature, *International Urology and Nephrology*, 10.1007/s11255-019-02267-2, (2019). [Crossref⁸⁴](#)
- Noa Schwartz, Madhavi Latha S. Chalasani, Thomas M. Li, Zhonghui Feng, William D. Shipman, Theresa T. Lu, Lymphatic Function in Autoimmune Diseases, *Frontiers in Immunology*, 10.3389/fimmu.2019.00519, 10, (2019). [Crossref⁸⁵](#)
- Sarah Ely, Panos Barlas, Transcutaneous electrical acupoint stimulation for people with chronic musculoskeletal pain: an exploratory review, *Physical Therapy Reviews*, 10.1080/10833196.2019.1648728, (1-12), (2019). [Crossref⁸⁶](#)
- Koh-Woon Kim, Sanhwa Hong, Hong Soo Kim, Taehun Kim, Jaeha Ahn, Hyun-Seo Song, Yu-Kang Kim, Ju-Young Oh, Tae-Yeon Hwang, Hwangsook Lee, Su-Il In, Hi-Joon Park, Physiological impact of nanoporous acupuncture needles: Laser Doppler perfusion imaging in healthy volunteers, *PLOS ONE*, 10.1371/journal.pone.0226304, 14, 12, (e0226304), (2019). [Crossref⁸⁷](#)
- Chang-zhen Gong, Wei Liu, Convergence of Medicines: West Meets East in Newly-Discovered Organs and Functions, *Chinese Journal of Integrative Medicine*, 10.1007/s11655-018-2570-9, 25, 5, (323-326), (2018). [Crossref⁸⁸](#)
- Jeanne Adiwinata Pawitan, Various stem cells in acupuncture meridians and points and their putative roles, *Journal of Traditional and Complementary Medicine*, 10.1016/j.jtcm.2017.08.004, (2018). [Crossref⁸⁹](#)
- Chungda Lee, How can mindfulness-led breathing of qigong/Tai Chi work on qi and the meridian network?, *Advances in Integrative Medicine*, 10.1016/j.aimed.2018.07.002, 5, 3, (122-127), (2018). [Crossref⁹⁰](#)
- Patrick Roynard, Lauren Frank, Huisheng Xie, Margaret Fowler, Acupuncture for Small Animal Neurologic Disorders, *Veterinary Clinics of North America: Small Animal Practice*, 10.1016/j.cvsm.2017.08.003, 48, 1, (201-219), (2018). [Crossref⁹¹](#)
- Meng Huang, Xuezhi Wang, Beibei Xing, Hongwei Yang, Zheyang Sa, Di Zhang, Wei Yao, Na Yin, Ying Xia, Guanghong Ding, Critical roles of TRPV2 channels, histamine H1 and adenosine A1 receptors in the initiation of acupoint signals for acupuncture analgesia, *Scientific Reports*, 10.1038/s41598-018-24654-y, 8, 1, (2018). [Crossref⁹²](#)
- Ruining Liang, Peishuang Li, Xuemei Peng, Ling Xu, Pei Fan, Jiahua Peng, Xu Zhou, Chunlin Xiao, Miao Jiang, Efficacy of acupuncture on pelvic pain in patients with endometriosis: study protocol for a randomized, single-blind, multi-center, placebo-controlled trial, *Trials*, 10.1186/s13063-018-2684-6, 19, 1, (2018). [Crossref⁹³](#)
- Wei-bo Zhang, De-xian Jia, Hong-yan Li, Yu-long Wei, Huang Yan, Peng-na Zhao, Feifei Gu, Guang-jun Wang, Yan-ping Wang, Understanding Qi Running in the Meridians as Interstitial Fluid Flowing via Interstitial Space of Low Hydraulic Resistance, *Chinese Journal of Integrative Medicine*, 10.1007/s11655-017-2791-3, 24, 4, (304-307), (2018). [Crossref⁹⁴](#)
- Conner E. Liddle, Richard E. Harris, Cellular Reorganization Plays a Vital Role in Acupuncture Analgesia, *Medical Acupuncture*, 10.1089/acu.2017.1258, 30, 1, (15-20), (2018). [Crossref⁹⁵](#)
- 戴云 冯, Relationship among the Meridians, Sinew Channels and Integrative Five Fluid Circulation System, *Traditional Chinese Medicine*, 10.12677/TCM.2018.71013, 07, 01, (74-92), (2018). [Crossref⁹⁶](#)
- David Feinstein, Energy Psychology: Efficacy, Speed, Mechanisms, *EXPLORE*, 10.1016/j.explore.2018.11.003, (2018). [Crossref⁹⁷](#)
- Hiroie MOTOYAMA, Hirohisa ISOGAI, Yoshito MUKAINO, Relaxing Effect Achieved by Acupuncture Stimulation in Different Postures for University Students Living a Sedentary Lifestyle 送る大学生を対象とした異なる姿勢への鍼刺激によるリラクゼーション効果, *Kampo Medicine*, 10.3937/kampomed.69.225, 69, 3, (225-238), (2018). [Crossref⁹⁸](#)
- Alexander Waits, You-Ren Tang, Hao-Min Cheng, Chen-Jei Tai, Li-Yin Chien, Acupressure effect on sleep quality: A systematic review and meta-analysis, *Sleep Medicine Reviews*, 10.1016/j.smrv.2016.12.004, 37, (24-34), (2018). [Crossref⁹⁹](#)
- Chenglin Liu, Qinghua Liu, Dongming Zhang, Wei Liu, Xiaohui Yan, Xinyi Zhang, Hiroyuki Oyanagi, Zhiyun Pan, Fengchun Hu, Shiqiang Wei, Insight into the biological effects of acupuncture points by X-ray absorption fine structure, *Analytical and Bioanalytical Chemistry*, 10.1007/s00216-018-1146-z, 410, 20, (4959-4965), (2018). [Crossref¹⁰⁰](#)
- Eric Leskowitz, How Tapping into “Energy” Can Trigger a Paradigm Shift in Biomedicine, *The Journal of Alternative and Complementary Medicine*, 10.1089/acm.2018.0073, 24, 6, (525-527), (2018). [Crossref¹⁰¹](#)

- Johannes Fleckenstein, Robert Schleip, Cornelia Sachs, Mark Driscoll, Susan Shockett, Thomas Findley, Werner Klingler, *Faszienforschung: Quo vadis? Fascia research: Quo vadis?*, *Deutsche Zeitschrift für Akupunktur*, 10.1007/s42212-018-0037-8, 61, 2, (69-74), (2018). [Crossref¹²¹](#)
- FA Phan, A Srilestari, H Mihardja, MBH Marbun, *Effects of acupuncture on uremic pruritus in patients undergoing hemodialysis*, *Journal of Physics: Conference Series*, 10.1088/1742-6596/1073/6/062049, 1073, (062049), (2018). [Crossref¹²²](#)
- Kwang-Sup Soh, *Sistema circulatorio de Bonghan como una extensión de los meridianos de acupuntura*, *Revista Internacional de Acupuntura*, 10.1016/j.acu.2018.02.001, 12, 1, (15-28), (2018). [Crossref¹²³](#)
- Helene M. Langevin, Peter M. Wayne, *What Is the Point? The Problem with Acupuncture Research That No One Wants to Talk About*, *The Journal of Alternative and Complementary Medicine*, 10.1089/acm.2017.0366, 24, 3, (200-207), (2018). [Crossref¹²⁴](#)
- Chun-Yi Lin, Tze-Taur Wei, Chen-Chen Wang, Wan-Chen Chen, Yu-Min Wang, Song-Yen Tsai, *Acute Physiological and Psychological Effects of Qigong Exercise in Older Practitioners*, *Evidence-Based Complementary and Alternative Medicine*, 10.1155/2018/4960978, 2018, (1-10), (2018). [Crossref¹²⁵](#)
- Kanae Umemoto, Toshiyuki Saito, Munekazu Naito, Shogo Hayashi, Tomiko Yakura, Hanno Steinke, Takashi Nakano, *Anatomical Relationship between B123 and the Posterior Ramus of the L2 Spinal Nerve*, *Acupuncture in Medicine*, 10.1136/acupmed-2015-010847, 34, 2, (95-100), (2018). [Crossref¹²⁶](#)
- Krista Lynne Paulson, Barbara L. Shay, *Sympathetic Nervous System Responses to Acupuncture and Non-Penetrating Sham Acupuncture in Experimental Forearm Pain: A Single-Blind Randomised Descriptive Study*, *Acupuncture in Medicine*, 10.1136/acupmed-2012-010223, 31, 2, (178-184), (2018). [Crossref¹²⁷](#)
- Marc Amand, Florence Nguyen-Huu, Costantino Balestra, *Acupuncture Effect on Thermal Tolerance and Electrical Pain Threshold: A Randomised Controlled Trial*, *Acupuncture in Medicine*, 10.1136/aim.2010.002485, 29, 1, (47-50), (2018). [Crossref¹²⁸](#)
- Michele Alem, Maria Salete Costa Gurgel, *Acupuncture in the Rehabilitation of Women after Breast Cancer Surgery – a Case Series*, *Acupuncture in Medicine*, 10.1136/aim.26.2.86, 26, 2, (86-93), (2018). [Crossref¹²⁹](#)
- Avijgan Majid, *Rouh/Qi before and after production; basic concept of life*, *International Journal of Complementary & Alternative Medicine*, 10.15406/ijcam.2018.11.00363, 11, 2, (2018). [Crossref¹³⁰](#)
- Tiaw-Kee Lim, Yan Ma, Frederic Berger, Gerhard Litscher, *Acupuncture and Neural Mechanism in the Management of Low Back Pain—An Update*, *Medicines*, 10.3390/medicines5030063, 5, 3, (63), (2018). [Crossref¹³¹](#)
- Anna Esparham, Anne Herbert, Emily Pierzchalski, Catherine Tran, Jennifer Dilts, Madeline Boorigie, Tammie Wingert, Mark Connelly, Jennifer Bickel, *Pediatric Headache Clinic Model: Implementation of Integrative Therapies in Practice*, *Children*, 10.3390/children5060074, 5, 6, (74), (2018). [Crossref¹³²](#)
- Elizabeth R. Magden, *Chapter 13 Positive Reinforcement Training and Health Care*, *Handbook of Primate Behavioral Management*, 10.1201/9781315120652, (201-216), (2017). [Crossref¹³³](#)
- Faria Sanjana, Hans Chaudhry, Thomas Findley, *Effect of MELT method on thoracolumbar connective tissue: The full study*, *Journal of Bodywork and Movement Therapies*, 10.1016/j.jbmt.2016.05.010, 21, 1, (179-185), (2017). [Crossref¹³⁴](#)
- Peter T. Dorsher, *Neuroembryology of the Acupuncture Principal Meridians: Part I. The Extremities*, *Medical Acupuncture*, 10.1089/acu.2016.1210, 29, 1, (10-19), (2017). [Crossref¹³⁵](#)
- Jordi Gascon-Garcia, Caridad Bagur-Calafat, Montserrat Girabent-Farrés, Ramon Balius, *Validation of the range of dry needling with the fascial winding technique in the carpal tunnel using ultrasound*, *Journal of Bodywork and Movement Therapies*, 10.1016/j.jbmt.2017.10.013, (2017). [Crossref¹³⁶](#)
- Ana Paula A. Ferreira, Luciana C. Póvoa, José F.C. Zanier, Arthur S. Ferreira, *Locating the Seventh Cervical Spinous Process: Accuracy of the Thorax-Rib Static Method and the Effects of Clinical Data on Its Performance*, *Journal of Manipulative and Physiological Therapeutics*, 10.1016/j.jmpt.2016.10.011, 40, 2, (98-105), (2017). [Crossref¹³⁷](#)
- Arya Nielsen, *Acupuncture for the Prevention of Tension-Type Headache (2016)*, *EXPLORE: The Journal of Science and Healing*, 10.1016/j.explore.2017.03.007, 13, 3, (228-231), (2017). [Crossref¹³⁸](#)
- Fan Wang, Guang-wei Cui, Le Kuai, Jian-min Xu, Ting-ting Zhang, Huai-jin Cheng, Hong-sheng Dong, Gui-rong Dong, *Role of Acupoint Area Collagen Fibers in Anti-Inflammation of Acupuncture Lifting and Thrusting Manipulation*, *Evidence-Based Complementary and Alternative Medicine*, 10.1155/2017/2813437, 2017, (1-8), (2017). [Crossref¹³⁹](#)
- Wei-Chia Chen, Hsiang-Ying Chen, Yu-Sheng Chen, Yong Tian, Lin I, *Self-excited multi-scale skin vibrations probed by optical tracking micro-motions of tracers on arms*, *Journal of Applied Physics*, 10.1063/1.4991499, 122, 2, (024701), (2017). [Crossref¹⁴⁰](#)
- Wei-Chia Chen, Hsiang-Ying Chen, Yu-Sheng Chen, Yong Tian, Lin I, *Self-excited multi-scale skin vibrations probed by optical tracking micro-motions of tracers on arms*, *Journal of Applied Physics*, 10.1063/1.4991499, 122, 2, (024701), (2017). [Crossref¹⁴¹](#)
- Fletcher Kovich, *A Curious Oversight in Acupuncture Research*, *Journal of Acupuncture and Meridian Studies*, 10.1016/j.jams.2017.10.004, 10, 6, (411-415), (2017). [Crossref¹⁴²](#)
- David F. Drake, Anne M. Hudak, William Robbins, *Integrative Medicine in Traumatic Brain Injury*, *Physical Medicine and Rehabilitation Clinics of North America*, 10.1016/j.pmr.2016.12.011, 28, 2, (363-378), (2017). [Crossref¹⁴³](#)
- Helene M. Langevin, Rosa N. Schnyer, *Reconnecting the Body in Eastern and Western Medicine*, *The Journal of Alternative and Complementary Medicine*, 10.1089/acm.2017.0028, 23, 4, (238-241), (2017). [Crossref¹⁴⁴](#)
- Salvador Quiroz-González, Sergio Torres-Castillo, Rosa Estela López-Gómez, Ismael Jiménez Estrada, *Acupuncture Points and Their Relationship with Multireceptive Fields of Neurons*, *Journal of Acupuncture and Meridian Studies*, 10.1016/j.jams.2017.01.006, 10, 2, (81-89), (2017). [Crossref¹⁴⁵](#)
- Sharon Jiyoung Jung, Haim Song, Yu Yeon Kim, Jungdae Kim, Sungchul Kim, Yoon-Kyu Song, Kwang-Sup Soh, *Distribution of Mast Cells and Locations, Depths, and Sizes of the Putative Acupoints CV 8 and KI 16*, *Evidence-Based Complementary and Alternative Medicine*, 10.1155/2017/2953278, 2017, (1-10), (2017). [Crossref¹⁴⁶](#)
- Benjamin CW. Chant, Jeanne Madison, Paul Coop, Gudrun Dieberg, *Contact Tools in Japanese Acupuncture: An Ethnography of Acupuncture Practitioners in Japan*, *Journal of Acupuncture and Meridian Studies*, 10.1016/j.jams.2017.08.006, 10, 5, (331-339), (2017). [Crossref¹⁴⁷](#)
- Hugh MacPherson, Andrew Vickers, Martin Bland, David Torgerson, Mark Corbett, Eldon Spackman, Pedro Saramago, Beth Woods, Helen Weatherly, Mark Sculpher, Andrea Manca, Stewart Richmond, Ann Hopton, Janet Eldred, Ian Watt, *Acupuncture for chronic pain and depression in primary care: a programme of research*, *Programme Grants for Applied Research*, 10.3310/pgfar05030, 5, 3, (1-316), (2017). [Crossref¹⁴⁸](#)
- Benjamin Kligler, Arya Nielsen, Corinne Kohrher, Tracy Schmid, Eve Waltermaurer, Eidania Perez, Woodson Merrell, *Acupuncture Therapy in a Group Setting for Chronic Pain*, *Pain Medicine*, 10.1093/pm/pnx134, (2017). [Crossref¹⁴⁹](#)
- Alexander Macdonald, *Acupuncture Main Channels or Meridians: Visible Surfaces*, *International Journal of Complementary & Alternative Medicine*, 10.15406/ijcam.2017.07.00233, 7, 4, (2017). [Crossref¹⁵⁰](#)
- Roshanak Ghods, Nasrin Sayfour, Mohammad Hossein Ayati, *Anatomical Features of the Interscapular Area Where Wet Cupping Therapy Is Done and Its Possible Relation to Acupuncture Meridians*, *Journal of Acupuncture and Meridian Studies*, 10.1016/j.jams.2016.06.004, 9, 6, (290-296), (2016). [Crossref¹⁵¹](#)
- Laura Quiles, Electra Peluffo, *Meridianos tendinomusculares (Jing Jin) y tejido fascial, comparativa anatómica y funcional*, *Revista Internacional de Acupuntura*, 10.1016/j.acu.2016.01.002, 10, 1, (20-24), (2016). [Crossref¹⁵²](#)
- Tian Tian, Yanhong Sun, Huang Wu, Jian Pei, Jing Zhang, Yi Zhang, Lu Wang, Bin Li, Lihua Wang, Jiye Shi, Jun Hu, Chunhai Fan, *Acupuncture promotes mTOR-independent autophagic clearance of aggregation-prone proteins in mouse brain*, *Scientific Reports*, 10.1038/srep19714, 6, 1, (2016). [Crossref¹⁵³](#)
- Laura Quiles, Electra Peluffo, *Meridianos tendinomusculares (Jing Jin) y tejido fascial, comparativa anatómica y funcional*, *Revista Internacional de Acupuntura*, 10.1016/j.acu.2016.01.002, 10, 1, (20-24), (2016). [Crossref¹⁵⁴](#)
- Eric Leskowitz, *Integrative Medicine for PTSD and TBI: Two Innovative Approaches*, *Medical Acupuncture*, 10.1089/acu.2016.1168, 28, 4, (181-183), (2016). [Crossref¹⁵⁵](#)
- Sarah le Jeune, Kimberly Henneman, Kevin May, *Acupuncture and Equine Rehabilitation*, *Veterinary Clinics of North America: Equine Practice*, 10.1016/j.cveq.2015.12.004, 32, 1, (73-85), (2016). [Crossref¹⁵⁶](#)
- Charlotte H. Y. Lau, Xinyin Wu, Vincent C. H. Chung, Xin Liu, Edwin P. Hui, Holger Cramer, Romy Lauche, Samuel Y. S. Wong, Alexander Y. L. Lau, Regina W. S. Sit, Eric T. C. Zica, Bacon F. L. Ng, Justin C. Y. Wu, *Acupuncture and Related Therapies for Symptom Management in Palliative Cancer Care*, *Medicine*, 10.1097/MD.0000000000002901, 95, 9, (e2901), (2016). [Crossref¹⁵⁷](#)
- Li Chen, Hai-Xiang Sun, You-Bing Xia, Liu-Cai Sui, Ji Zhou, Xuan Huang, Jing-Wei Zhou, Yi-Dan Shao, Tao Shen, Qin Sun, Yuan-Jiao Liang, Bing Yao, *Electroacupuncture decreases the progression of ovarian hyperstimulation syndrome in a rat model*, *Reproductive BioMedicine Online*, 10.1016/j.rbmo.2016.02.006, 32, 5, (538-544), (2016). [Crossref¹⁵⁸](#)
121. <https://doi.org/10.1089/acm.2018.0073>
122. <https://doi.org/10.1007/s42212-018-0037-8>
123. <https://doi.org/10.1088/1742-6596/1073/6/062049>
124. <https://doi.org/10.1016/j.acu.2018.02.001>
125. <https://doi.org/10.1089/acm.2017.0366>
126. <https://doi.org/10.1155/2018/4960978>
127. <https://doi.org/10.1136/acupmed-2015-010847>
128. <https://doi.org/10.1136/acupmed-2012-010223>
129. <https://doi.org/10.1136/aim.2010.002485>
130. <https://doi.org/10.1136/aim.26.2.86>
131. <https://doi.org/10.15406/ijcam.2018.11.00363>
132. <https://doi.org/10.3390/medicines5030063>
133. <https://doi.org/10.3390/children5060074>
134. <https://doi.org/10.1201/9781315120652>
135. <https://doi.org/10.1016/j.jbmt.2016.05.010>
136. <https://doi.org/10.1089/acu.2016.1210>
137. <https://doi.org/10.1016/j.jmpt.2016.10.011>
138. <https://doi.org/10.1016/j.explore.2017.03.007>
139. <https://doi.org/10.1016/j.explore.2017.03.007>
140. <https://doi.org/10.1155/2017/2813437>
141. <https://doi.org/10.1063/1.4991499>
142. <https://doi.org/10.1016/j.jams.2017.10.004>
143. <https://doi.org/10.1016/j.pmr.2016.12.011>
144. <https://doi.org/10.1089/acm.2017.0028>
145. <https://doi.org/10.1016/j.jams.2017.01.006>
146. <https://doi.org/10.1155/2017/2953278>
147. <https://doi.org/10.1016/j.jams.2017.08.006>
148. <https://doi.org/10.3310/pgfar05030>
149. <https://doi.org/10.1093/pm/pnx134>
150. <https://doi.org/10.15406/ijcam.2017.07.00233>
151. <https://doi.org/10.1016/j.jams.2016.06.004>
152. <https://doi.org/10.1016/j.acu.2016.01.002>
153. <https://doi.org/10.1038/srep19714>
154. <https://doi.org/10.1089/acu.2016.1168>
155. <https://doi.org/10.1016/j.cveq.2015.12.004>
156. <https://doi.org/10.1097/MD.0000000000002901>
157. <https://doi.org/10.1016/j.rbmo.2016.02.006>

- Suzanne B. Hanser, Suzanne B. Hanser, *Holistic Healing, Integrative Health through Music Therapy*, 10.1057/978-1-137-38477-5, (35-54), (2016). [Crossref¹⁵⁸](#)
- Laurent Misery, *Acupuncture, Pruritus*, 10.1007/978-3-319-33142-3, (437-441), (2016). [Crossref¹⁵⁹](#)
- Jing-Ke Guo, Ming-Ming Xu, Mei-Feng Zheng, Shu-Tao Liu, Jian-Wu Zhou, Li-Jing Ke, Tian-Bao Chen, Ping-Fan Rao, *Topical Application of TAT-Superoxide Dismutase in Acupoints LI 20 on Allergic Rhinitis, Evidence-Based Complementary and Alternative Medicine*, 10.1155/2016/3830273, 2016, (1-9), (2016). [Crossref¹⁶⁰](#)
- James L. Oschman, *Acupuncture, Acupressure, Shiatsu, and Related Therapies, Energy Medicine*, 10.1016/B978-0-443-06729-7.00014-4, (221-239), (2016). [Crossref¹⁶¹](#)
- Motti Ratmansky, Adi Levy, Aviv Messinger, Alla Birg, Lilach Front, Iuly Treger, *The Effects of Acupuncture on Cerebral Blood Flow in Post-Stroke Patients: A Randomized Controlled Trial, The Journal of Alternative and Complementary Medicine*, 10.1089/acm.2015.0066, 22, 1, (33-37), (2016). [Crossref¹⁶²](#)
- Marzio Vanzini, Michele Gallamini, Amblyopia: Can Laser Acupuncture be an Option?, *Journal of Acupuncture and Meridian Studies*, 10.1016/j.jams.2016.01.017, 9, 5, (267-274), (2016). [Crossref¹⁶³](#)
- Bo M. Rowan†, J. Bryan Dixon, *Complementary Medicine Practices for Muscular Injuries of the Posterior Leg, Muscular Injuries in the Posterior Leg*, 10.1007/978-1-4899-7651-2, (153-168), (2016). [Crossref¹⁶⁴](#)
- HyunSuk Jang, Joohwan Yoon, HyunJi Gil, Sharon Jiyeon Jung, Min-Suk Kim, Jin-Kyu Lee, Young-Jae Kim, Kwang-Sup Soh, *Observation of a Flowing Duct in the Abdominal Wall by Using Nanoparticles, PLOS ONE*, 10.1371/journal.pone.0150423, 11, 3, (e0150423), (2016). [Crossref¹⁶⁵](#)
- Richard Cha, *Detecting Intrinsic Movements through Needle Tips Pinned at Zusanli ST-36 Point - a New Method for Characterizing Structures for Acupuncture Treatments, International Journal of Complementary & Alternative Medicine*, 10.15406/ijcam.2016.03.00100, 3, 6, (2016). [Crossref¹⁶⁶](#)
- Raphael J. Hochstrasser, P. Christian Endler, Sabine D. Klein, *Perception of Therapeutic Qi, a Nonmechanical, Nonpsychological Factor in Acupuncture That Originates from the Therapist, Journal of Acupuncture and Meridian Studies*, 10.1016/j.jams.2014.11.009, 8, 4, (203-208), (2015). [Crossref¹⁶⁷](#)
- Carla Stecco, Warren Hammer, Andry Vleeming, Raffaele De Caro, *Fasciae of the Upper Limb, Functional Atlas of the Human Fascial System*, 10.1016/B978-0-7020-4430-4.00007-5, (217-287), (2015). [Crossref¹⁶⁸](#)
- Shu-Ming Wang, *Acupuncture as a Treatment for Substance Abuse in Pediatric Patients, Substance Abuse*, 10.1007/978-1-4939-1951-2, (349-357), (2015). [Crossref¹⁶⁹](#)
- Mei-Ling Wu, Dong-Sheng Xu, Wan-Zhu Bai, Jing-Jing Cui, Hong-Ming Shu, Wei He, Xiao-Yu Wang, Hong Shi, Yang-Shuai Su, Ling Hu, Bing Zhu, Xiang-Hong Jing, *Local cutaneous nerve terminal and mast cell responses to manual acupuncture in acupoint LI4 area of the rats, Journal of Chemical Neuroanatomy*, 10.1016/j.jchemneu.2015.06.002, 68, (14-21), (2015). [Crossref¹⁷⁰](#)
- Mark J. McDonald, *Will the Primo Vascular System Finally Solve the Mystery of Acupuncture?, Medical Acupuncture*, 10.1089/acu.2014.1075, 27, 1, (33-37), (2015). [Crossref¹⁷¹](#)
- Wei-Bo Zhang, Guang-Jun Wang, Kjell Fuxe, *Classic and Modern Meridian Studies: A Review of Low Hydraulic Resistance Channels along Meridians and Their Relevance for Therapeutic Effects in Traditional Chinese Medicine, Evidence-Based Complementary and Alternative Medicine*, 10.1155/2015/410979, 2015, (1-14), (2015). [Crossref¹⁷²](#)
- Xiaqiu Wu, Jin Peng, Guoqin Li, Wei Zhang, Guangxia Liu, Baoyan Liu, *Efficacy evaluation of summer acupoint application treatment on asthma patients: a two-year follow-up clinical study, Journal of Traditional Chinese Medicine*, 10.1016/S0254-6272(15)30004-2, 35, 1, (21-27), (2015). [Crossref¹⁷³](#)
- Won-Mo Jung, Taehyung Lee, In-Seon Lee, Sanghyun Kim, Hyunchul Jang, Song-Yi Kim, Hi-Joon Park, Younbyoung Chae, *Spatial Patterns of the Indications of Acupoints Using Data Mining in Classic Medical Text: A Possible Visualization of the Meridian System, Evidence-Based Complementary and Alternative Medicine*, 10.1155/2015/457071, 2015, (1-7), (2015). [Crossref¹⁷⁴](#)
- Kwang-Sup Soh, *Hypothesis on the Treatment of Gliomas with Acupuncture at the Primo Node Corresponding to Zusanli (ST 36) , Medical Acupuncture*, 10.1089/acu.2014.1089, 27, 3, (144-150), (2015). [Crossref¹⁷⁵](#)
- Marco Gemma, Elisa Nicelli, Luigi Gioia, Elena Moizo, Luigi Beretta, Maria Rosa Calvi, *Acupuncture accelerates recovery after general anesthesia: a prospective randomized controlled trial, Journal of Integrative Medicine*, 10.1016/S2095-4964(15)60159-5, 13, 2, (99-104), (2015). [Crossref¹⁷⁶](#)
- Michele Gallamini, Giovanni D'Angelo, Gabriele Belloni, *Biolite: A Patented Ultra-Low-Level Laser-Therapy Device for Treating Musculoskeletal Pain and Associated Impairments, Journal of Acupuncture and Meridian Studies*, 10.1016/j.jams.2015.02.001, 8, 4, (167-174), (2015). [Crossref¹⁷⁷](#)
- Poney Chiang, *What is the Point of Acupuncture?, Medical Acupuncture*, 10.1089/acu.2015.1093, 27, 2, (67-80), (2015). [Crossref¹⁷⁸](#)
- Richard F. Hobbs, *Acupuncture—Biophysics or Metaphysics?, Medical Acupuncture*, 10.1089/acu.2015.1097, 27, 2, (62-66), (2015). [Crossref¹⁷⁹](#)
- Ali Khorsand, Jiang Zhu, Hamidreza Bahrami-Taghanaki, Sara Baghani, Liangxiao Ma, Shima Rezaei, *Investigation of the electrical impedance of acupuncture points and non-acupuncture points before and after acupuncture, using a four-electrode device, Acupuncture in Medicine*, 10.1136/acupmed-2014-010697, 33, 3, (230-236), (2015). [Crossref¹⁸⁰](#)
- Fang Li, Tian He, Qian Xu, Li - Ting Lin, Hui Li, Yan Liu, Guang - Xia Shi, Cun - Zhi Liu, *What is the Acupoint? A preliminary review of Acupoints, Pain Medicine*, 10.1111/pme.12761, 16, 10, (1905-1915), (2015). [Wiley Online Library¹⁸¹](#)
- Song-Yi Kim, Sang-Woo Kim, Hi-Joon Park, *Different Responses to Acupuncture in Electroencephalogram according to Stress Level: A Randomized, Placebo-Controlled, Cross-Over Trial, Korean Journal of Acupuncture*, 10.14406/acu.2014.022, 31, 3, (136-145), (2014). [Crossref¹⁸²](#)
- Heming Zhu, *Acupoints Initiate the Healing Process, Medical Acupuncture*, 10.1089/acu.2014.1057, 26, 5, (264-270), (2014). [Crossref¹⁸³](#)
- G. Ding, Z. Wu, D. Zhang, Z. Sa, K. Cheng, *Biophysical Bases of Acupuncture, Comprehensive Biomedical Physics*, 10.1016/B978-0-444-53632-7.01018-2, (299-316), (2014). [Crossref¹⁸⁴](#)
- Yuan-yuan Lin, Yin-ping Wang, Hao-yang Lu, Xiu-cai Guo, Xia Liu, Chuan-bin Wu, Yue-hong Xu, *Plasma pharmacokinetics and lung distribution of tetrahydropalmatine after topical application of cold asthma recipe extract: Feishu (BL 13) versus Non-Feishu acupoint, Journal of Ethnopharmacology*, 10.1016/j.jep.2014.03.009, 153, 2, (454-460), (2014). [Crossref¹⁸⁵](#)
- Yiu Ming Wong, *Electrical Property of Acupoints, The Journal of Alternative and Complementary Medicine*, 10.1089/acm.2013.0169, 20, 2, (145-146), (2014). [Crossref¹⁸⁶](#)
- Nadia Elisabeth Haddad, Oxana Palesh, *Acupuncture in the Treatment of Cancer-Related Psychological Symptoms, Integrative Cancer Therapies*, 10.1177/1534735413520181, 13, 5, (371-385), (2014). [Crossref¹⁸⁷](#)
- Soo-Byeong Kim, Kyung-Yul Chung, Mi-Seon Jeon, Tae-Min Shin, Yong-Heum Lee, *Body Composition Factor Comparisons of the Intracellular Fluid (ICW), Extracellular Fluid (ECW) and Cell Membrane at Acupuncture Points and Non-Acupuncture Points by Inducing Multiple Ionic Changes, Korean Journal of Acupuncture*, 10.14406/acu.2014.005, 31, 2, (66-78), (2014). [Crossref¹⁸⁸](#)
- Martha Liliana Beltrán Molano, Laura Bibiana Pinilla Bonilla, Eduardo Humberto Beltrán Dussan, Carlos Alberto Vásquez Londoño, *Anatomo-Functional Correlation between Head Zones and Acupuncture Channels and Points: A Comparative Analysis from the Perspective of Neural Therapy, Evidence-Based Complementary and Alternative Medicine*, 10.1155/2014/836392, 2014, (1-12), (2014). [Crossref¹⁸⁹](#)
- Evan H. Kwong, Thomas W. Findley, *Fascia—Current knowledge and future directions in psychiatry: Narrative review, Journal of Rehabilitation Research and Development*, 10.1682/JRRD.2013.10.0220, 51, 6, (875-884), (2014). [Crossref¹⁹⁰](#)
- Kwokming James Cheng, *Neurobiological Mechanisms of Acupuncture for Some Common Illnesses: A Clinician's Perspective, Journal of Acupuncture and Meridian Studies*, 10.1016/j.jams.2013.07.008, 7, 3, (105-114), (2014). [Crossref¹⁹¹](#)
- Jing-Wen Yang, Qian-Qian Li, Fang Li, Qing-Nan Fu, Xiang-Hong Zeng, Cun-Zhi Liu, *The Holistic Effects of Acupuncture Treatment, Evidence-Based Complementary and Alternative Medicine*, 10.1155/2014/739708, 2014, (1-10), (2014). [Crossref¹⁹²](#)
- Shu-Yih Wu, Wei-Hsin Chen, Ching-Liang Hsieh, Yi-Wen Lin, *Abundant expression and functional participation of TRPV1 at Zusanli acupoint (ST36) in mice: mechanosensitive TRPV1 as an “acupuncture-responding channel”, BMC Complementary and Alternative Medicine*, 10.1186/1472-6882-14-96, 14, 1, (2014). [Crossref¹⁹³](#)
- Morry Silberstein, *Is acupuncture “stimulation” a misnomer? A case for using the term “blockade”, BMC Complementary and Alternative Medicine*, 10.1186/1472-6882-13-68, 13, 1, (2013). [Crossref¹⁹⁴](#)

- In-Seon Lee, Soon-Ho Lee, Song-Yi Kim, Hyejung Lee, Hi-Joon Park, Younbyoung Chae, Visualization of the Meridian System Based on Biomedical Information about Acupuncture Treatment, Evidence-Based Complementary and Alternative Medicine, 10.1155/2013/872142, 2013, (1-5), (2013). [Crossref¹⁹⁵](#)
- Helene M. Langevin, Part 1, Trigger Point Dry Needling, 10.1016/B978-0-7020-4601-8.10008-8, (29-33), (2013). [Crossref¹⁹⁶](#)
- Byung-Cheon Lee, Walter J. Akers, Xianghong Jing, M. Isabel Miguel Perez, Yeonhee Ryu, Primo Vascular System: Past, Present, and Future, Evidence-Based Complementary and Alternative Medicine, 10.1155/2013/240168, 2013, (1-2), (2013). [Crossref¹⁹⁷](#)
- Andrew Bannan, Acupuncture in physiotherapy, Tidy's Physiotherapy, 10.1016/B978-0-7020-4344-4.00018-3, (403-415), (2013). [Crossref¹⁹⁸](#)
- Im Quah-Smith, Caroline Smith, John D. Crawford, Janice Russell, Laser acupuncture for depression: A randomised double blind controlled trial using low intensity laser intervention, Journal of Affective Disorders, 10.1016/j.jad.2012.11.058, 148, 2-3, (179-187), (2013). [Crossref¹⁹⁹](#)
- C. Will Chen, Chen-Jei Tai, Cheuk-Sing Choy, Chau-Yun Hsu, Shoei-Loong Lin, Wing P. Chan, Han-Sun Chiang, Chang-An Chen, Ting-Kai Leung, Wave-Induced Flow in Meridians Demonstrated Using Photoluminescent Bioceramic Material on Acupuncture Points, Evidence-Based Complementary and Alternative Medicine, 10.1155/2013/739293, 2013, (1-11), (2013). [Crossref²⁰⁰](#)
- Raphael J. Hochstrasser, P. Christian Endler, Sabine D. Klein, Introduction of two novel devices for investigating the influence of non-mechanical components such as therapeutic qi in acupuncture, Journal of Integrative Medicine, 10.3736/jintegmed2013030, 11, 3, (168-174), (2013). [Crossref²⁰¹](#)
- W. Evan Rivers, Felise Zollman, Reliability of Surface Acupuncture Point Location, Medical Acupuncture, 10.1089/acu.2012.0929, 25, 2, (134-140), (2013). [Crossref²⁰²](#)
- Stefano Marcelli, Gross Anatomy and Acupuncture: A Comparative Approach to Reappraise the Meridian System, Medical Acupuncture, 10.1089/acu.2012.0875, 25, 1, (5-22), (2013). [Crossref²⁰³](#)
- Jaung-Geng Lin, Pei-Chi Chou, Heng-Yi Chu, An Exploration of the Needling Depth in Acupuncture: The Safe Needling Depth and the Needling Depth of Clinical Efficacy, Evidence-Based Complementary and Alternative Medicine, 10.1155/2013/740508, 2013, (1-21), (2013). [Crossref²⁰⁴](#)
- DARCY A. UMPHRED, CAROL M. DAVIS, MARY LOU GALANTINO, Complementary and alternative therapies: beyond traditional approaches to intervention in neurological diseases and movement disorders, Neurological Rehabilitation, 10.1016/B978-0-323-07586-2.00048-0, (1173-1214), (2013). [Crossref²⁰⁵](#)
- Alessandra de Almeida Fagundes, Mariana César Ribeiro Reis, Maira Salles, Maria Graças Bastos Licurci, Immediate Effects of Acupuncture for Managing Myofascial Trigger-Point Pain: A Pilot Study, Medical Acupuncture, 10.1089/acu.2012.0902, 25, 1, (55-60), (2013). [Crossref²⁰⁶](#)
- Yi Zhuang, Jing-jing Xing, Juan Li, Bai-Yun Zeng, Fan-rong Liang, History of Acupuncture Research, Neurobiology of Acupuncture, 10.1016/B978-0-12-411545-3.00001-8, (1-23), (2013). [Crossref²⁰⁷](#)
- Arya Nielsen, Ted J. Kaptchuk, Sha syndrome and Gua sha, cao gio, coining, scraping, Gua Sha, 10.1016/B978-0-7020-3108-3.00005-4, (39-44), (2013). [Crossref²⁰⁸](#)
- Arya Nielsen, Ted J. Kaptchuk, Physiology of Gua sha, Gua Sha, 10.1016/B978-0-7020-3108-3.00003-0, (21-30), (2013). [Crossref²⁰⁹](#)
- Shirley P.C. Ngai, Alice Y.M. Jones, Changes in Skin Impedance and Heart Rate Variability with Application of Acu-TENS to BL 13 (Feishu) , The Journal of Alternative and Complementary Medicine, 10.1089/acm.2012.0097, 19, 6, (558-563), (2013). [Crossref²¹⁰](#)
- Isabelle Nègre, Méthodes non médicamenteuses : compréhension actuelle des mécanismes d'action, Douleurs : Evaluation - Diagnostic - Traitement, 10.1016/j.douleur.2013.01.007, 14, 3, (111-118), (2013). [Crossref²¹¹](#)
- Guanghong Ding, Di Zhang, Meng Huang, Lina Wang, Wei Yao, Function of Collagen and Mast Cells in Acupuncture Points, Current Research in Acupuncture, 10.1007/978-1-4614-3357-6, (53-87), (2013). [Crossref²¹²](#)
- Sung - Ho Lee, Geon - Ho Jahng, Il - Hwan Choe, Chi - Bong Choi, Dae - Hyun Kim, Hwi - Yool Kim, Neural Pathway Interference by Retained Acupuncture: A Functional MRI Study of a Dog Model of Parkinson's Disease, CNS Neuroscience & Therapeutics, 10.1111/cns.12108, 19, 8, (585-595), (2013). [Wiley Online Library²¹³](#)
- Hee Young Kim, Sung Tae Koo, Jae Hyo Kim, Kyungeh An, Kyungsoon Chung, Jin Mo Chung, Electroacupuncture analgesia in rat ankle sprain pain model: neural mechanisms, Neurological Research, 10.1179/016164109X12537002793689, 32, sup1, (10-17), (2013). [Crossref²¹⁴](#)
- ChangShik Yin, ByungKwan Seo, Hi-Joon Park, Miran Cho, WooSang Jung, Ryowon Choue, ChangHwan Kim, Hun-Kuk Park, Hyejung Lee, HyeongGyun Koh, Acupuncture, a promising adjunctive therapy for essential hypertension: a double-blind, randomized, controlled trial, Neurological Research, 10.1179/016164107X172220, 29, sup1, (98-103), (2013). [Crossref²¹⁵](#)
- Gary Deng, Barrie Cassileth, Complementary or alternative medicine in cancer care—myths and realities, Nature Reviews Clinical Oncology, 10.1038/nrclinonc.2013.125, 10, 11, (656-664), (2013). [Crossref²¹⁶](#)
- James L Oshman, Fascia as a body-wide communication system, Fascia: The Tensional Network of the Human Body, 10.1016/B978-0-7020-3425-1.00049-0, (103-110), (2012). [Crossref²¹⁷](#)
- David Feinstein, Acupoint Stimulation in Treating Psychological Disorders: Evidence of Efficacy, Review of General Psychology, 10.1037/a0028602, 16, 4, (364-380), (2012). [Crossref²¹⁸](#)
- Jun J. Mao, Malini M. Khanna, Integrating Acupuncture with Western Medicine in Cancer Treatment, Acupuncture and Moxibustion as an Evidence-based Therapy for Cancer, 10.1007/978-94-007-4833-0_14, (313-328), (2012). [Crossref²¹⁹](#)
- Alex Benham, Mark I. Johnson, Characterization of Painful and Non-painful Acupuncture Needle Sensations During Bidirectional Rotation of a Single Needle Inserted 15–25 mm at Large Intestine 10, Medical Acupuncture, 10.1089/acu.2011.0861, 24, 3, (172-180), (2012). [Crossref²²⁰](#)
- Li-Ling Lin, Ya-Hui Wang, Chi-Yu Lai, Chan-Lao Chau, Guan-Chin Su, Chun-Yi Yang, Shu-Ying Lou, Szu-Kai Chen, Kuan-Hao Hsu, Yen-Ling Lai, Wei-Ming Wu, Jian-Long Huang, Chih-Hsin Liao, Hsueh-Fen Juan, Systems Biology of Meridians, Acupoints, and Chinese Herbs in Disease, Evidence-Based Complementary and Alternative Medicine, 10.1155/2012/372670, 2012, (1-13), (2012). [Crossref²²¹](#)
- Arya Nielsen, Gua sha, Fascia: The Tensional Network of the Human Body, 10.1016/B978-0-7020-3425-1.00009-X, (359-365), (2012). [Crossref²²²](#)
- Hugh MacPherson, Richard Hammerschlag, Acupuncture and the Emerging Evidence Base: Contrived Controversy and Rational Debate, Journal of Acupuncture and Meridian Studies, 10.1016/j.jams.2012.05.001, 5, 4, (141-147), (2012). [Crossref²²³](#)
- Yejin Ha, Misun Kim, Jiseon Nah, Minah Suh, Youngmi Lee, Measurements of Location-Dependent Nitric Oxide Levels on Skin Surface in relation to Acupuncture Point, Evidence-Based Complementary and Alternative Medicine, 10.1155/2012/781460, 2012, (1-7), (2012). [Crossref²²⁴](#)
- Elisabeth Hsu, "Feeling lighter": Why the patient's treatment evaluation matters to the health scientist, Integrative Medicine Research, 10.1016/j.imr.2012.10.003, 1, 1, (5-12), (2012). [Crossref²²⁵](#)
- Petra I. Bäuml, Michael Simang, Sybille Kramer, Dominik Irnich, Acupuncture Point Localization Varies Among Acupuncturists, Forschende Komplementärmedizin / Research in Complementary Medicine, 10.1159/000335825, 19, 1, (31-37), (2012). [Crossref²²⁶](#)
- Belinda Anderson, Arya Nielsen, Diane McKee, Anne Jeffres, Ben Kligler, Acupuncture and Heart Rate Variability: A Systems Level Approach to Understanding Mechanism, EXPLORE: The Journal of Science and Healing, 10.1016/j.explore.2011.12.002, 8, 2, (99-106), (2012). [Crossref²²⁷](#)
- Xiaoyu Wang, Hong Shi, Hongyan Shang, Yangshuai Su, Juanjuan Xin, Wei He, Xianghong Jing, Bing Zhu, Are Primo Vessels (PVs) on the Surface of Gastrointestinal Involved in Regulation of Gastric Motility Induced by Stimulating Acupoints ST36 or CV12?, Evidence-Based Complementary and Alternative Medicine, 10.1155/2012/787683, 2012, (1-8), (2012). [Crossref²²⁸](#)
- Dominik Irnich, Johannes Fleckenstein, Acupuncture as a fascia-oriented therapy, Fascia: The Tensional Network of the Human Body, 10.1016/B978-0-7020-3425-1.00010-6, (349-357), (2012). [Crossref²²⁹](#)
- Byung-Cheon Lee, Zhenqong Su, Baekkyoung Suh, Ki Woo Kim, Jin-Myung Cha, Jin-Kyu Lee, Byung-Joon Chang, Kwang-Sup Soh, Network of the Primo Vascular System in the Rat Hypodermis, The Primo Vascular System, 10.1007/978-1-4614-0601-3, (139-146), (2012). [Crossref²³⁰](#)
- Kyoung-Hee Bae, Zhenqong Su, Kwang-Sup Soh, Hee Min Kwon, Histological Comparison of Primo Nodes in Abdominal Membrane and Lymph Nodes of Rat, The Primo Vascular System, 10.1007/978-1-4614-0601-3, (127-131), (2012). [Crossref²³¹](#)

195. <https://doi.org/10.1155/2013/872142>
 196. <https://doi.org/10.1016/B978-0-7020-4601-8.10008-8>
 197. <https://doi.org/10.1155/2013/240168>
 198. <https://doi.org/10.1016/B978-0-7020-4344-4.00018-3>
 199. <https://doi.org/10.1016/j.jad.2012.11.058>
 200. <https://doi.org/10.1155/2013/739293>
 201. <https://doi.org/10.3736/jintegmed2013030>
 202. <https://doi.org/10.1089/acu.2012.0929>
 203. <https://doi.org/10.1089/acu.2012.0875>
 204. <https://doi.org/10.1155/2013/740508>
 205. <https://doi.org/10.1016/B978-0-323-07586-2.00048-0>
 206. <https://doi.org/10.1089/acu.2012.0902>
 207. <https://doi.org/10.1016/B978-0-12-411545-3.00001-8>
 208. <https://doi.org/10.1016/B978-0-7020-3108-3.00005-4>
 209. <https://doi.org/10.1016/B978-0-7020-3108-3.00003-0>
 210. <https://doi.org/10.1089/acm.2012.0097>
 211. <https://doi.org/10.1016/j.douleur.2013.01.007>
 212. <https://doi.org/10.1007/978-1-4614-3357-6>
 213. <https://onlinelibrary.wiley.com/doi/10.1111/cns.12108>

214. <https://doi.org/10.1179/016164109X12537002793689>
 215. <https://doi.org/10.1179/016164107X172220>
 216. <https://doi.org/10.1038/nrclinonc.2013.125>
 217. <https://doi.org/10.1016/B978-0-7020-3425-1.00049-0>
 218. <https://doi.org/10.1037/a0028602>
 219. https://doi.org/10.1007/978-94-007-4833-0_14
 220. <https://doi.org/10.1089/acu.2011.0861>
 221. <https://doi.org/10.1155/2012/372670>
 222. <https://doi.org/10.1016/B978-0-7020-3425-1.00009-X>
 223. <https://doi.org/10.1016/j.jams.2012.05.001>
 224. <https://doi.org/10.1155/2012/781460>
 225. <https://doi.org/10.1016/j.imr.2012.10.003>
 226. <https://doi.org/10.1159/000335825>
 227. <https://doi.org/10.1016/j.explore.2011.12.002>
 228. <https://doi.org/10.1155/2012/787683>
 229. <https://doi.org/10.1016/B978-0-7020-3425-1.00010-6>
 230. <https://doi.org/10.1007/978-1-4614-0601-3>
 231. <https://doi.org/10.1007/978-1-4614-0601-3>

- Yu Bai, Lin Yuan, Yong Huang, Chun-lei Wang, Jun Wang, Jin-peng Wu, Jing-xing Dai, Dong-fei Li, Chun Yang, Mei-chun Yu, Hui-ying Yang, Hui Tao, Ou Sha, David Tai Wai Yew, From the Anatomical Discovery of Meridians and Collaterals to Fasciology Theory, The Primo Vascular System, 10.1007/978-1-4614-0601-3, (305-318), (2012). [Crossref²³²](#)
- Wei Yao, Yabei Li, Guanghong Ding, Interstitial Fluid Flow: The Mechanical Environment of Cells and Foundation of Meridians, Evidence-Based Complementary and Alternative Medicine, 10.1155/2012/853516, 2012, (1-9), (2012). [Crossref²³³](#)
- Jungdae Kim, Dae-In Kang, Kwang-Sup Soh, Sungchul Kim, Analysis on Postmortem Tissues at Acupuncture Points in the Image Datasets of Visible Human Project, The Journal of Alternative and Complementary Medicine, 10.1089/acm.2010.0850, 18, 2, (120-129), (2012). [Crossref²³⁴](#)
- Marcelo L Silva, Josie RT Silva, Wiliam A Prado, The antinociceptive effect of electroacupuncture at different depths of acupoints and under the needling surface, Chinese Medicine, 10.1186/1749-8546-7-3, 7, 1, (2012). [Crossref²³⁵](#)
- Hong-Qin Yang, Shu-Sen Xie, Song-Hao Liu, Hui Li, Zhou-Yi Guo, Differences in Optical Transport Properties between Human Meridian and Non-meridian, The American Journal of Chinese Medicine, 10.1142/S0192415X07005235, 35, 05, (743-752), (2012). [Crossref²³⁶](#)
- Kaung-Ti Yung, A Birdcage Model for the Chinese Meridian System Part VI: Meridians as the Primary Regulatory System, The American Journal of Chinese Medicine, 10.1142/S0192415X05003302, 33, 05, (759-766), (2012). [Crossref²³⁷](#)
- Letter to the Editor, The American Journal of Chinese Medicine, 10.1142/S0192415X05003119, 33, 03, (513-515), (2012). [Crossref²³⁸](#)
- A. Paraskeva, A. Melemini, G. Petropoulos, I. Sifaka, A. Fassoulaki, Needling of the Extra 1 Point Decreases BIS Values and Preoperative Anxiety, The American Journal of Chinese Medicine, 10.1142/S0192415X04002363, 32, 05, (789-794), (2012). [Crossref²³⁹](#)
- Francisco Abad-Alegria, Carlos Pomarón, About the Neurobiological Foundations of the De-Qi — Stimulus-Response Relation, The American Journal of Chinese Medicine, 10.1142/S0192415X04002375, 32, 05, (807-814), (2012). [Crossref²⁴⁰](#)
- Jesse Li-Ling, Human Phenome Based on Traditional Chinese Medicine — A Solution to Congenital Syndromology, The American Journal of Chinese Medicine, 10.1142/S0192415X03001594, 31, 06, (991-1000), (2012). [Crossref²⁴¹](#)
- Lisa S. Lancaster, Robert M. Bowker, Acupuncture Points of the Horse's Distal Thoracic Limb: A Neuroanatomic Approach to the Transposition of Traditional Points, Animals, 10.3390/ani2030455, 2, 4, (455-471), (2012). [Crossref²⁴²](#)
- Houju Fu, Yuanqiao He, Ying Gao, Yicun Man, Wukun Liu, Hua Hao, Acupuncture on the Endometrial Morphology, the Serum Estradiol and Progesterone Levels, and the Expression of Endometrial Leukaemia-inhibitor Factor and Osteopontin in Rats, Evidence-Based Complementary and Alternative Medicine, 10.1155/2011/606514, 2011, (1-9), (2011). [Crossref²⁴³](#)
- Steven Finando, Donna Finando, Fascia and the mechanism of acupuncture, Journal of Bodywork and Movement Therapies, 10.1016/j.jbmt.2010.03.001, 15, 2, (168-176), (2011). [Crossref²⁴⁴](#)
- Hyung-Joo Moon, Yong-Keun Lee, The Relationship Between Dental Occlusion/Temporomandibular Joint Status and General Body Health: Part 2. Fascial Connection of TMJ with Other Parts of the Body, The Journal of Alternative and Complementary Medicine, 10.1089/acm.2010.0740, 17, 12, (1119-1124), (2011). [Crossref²⁴⁵](#)
- Yu Bai, Jun Wang, Jin-peng Wu, Jing-xing Dai, Ou Sha, David Tai Wai Yew, Lin Yuan, Qiu-ni Liang, Review of Evidence Suggesting That the Fascia Network Could Be the Anatomical Basis for Acupoints and Meridians in the Human Body, Evidence-Based Complementary and Alternative Medicine, 10.1155/2011/260510, 2011, (1-6), (2011). [Crossref²⁴⁶](#)
- James L. Oschman, Foreword and Special Contribution: The Living Matrix, Energy Medicine East and West, 10.1016/B978-0-7020-3571-5.00032-9, (x-xix), (2011). [Crossref²⁴⁷](#)
- Therapie myofaszialer Schmerzsyndrome, Myofasziale Schmerzen und Triggerpunkte, 10.1016/B978-3-437-23095-0.10004-5, (51-91), (2011). [Crossref²⁴⁸](#)
- Xiangeng Zhang, Hui Zhang, Xiaoli Liang, Qin Liu, Miqiu Wang, Gynecology and Gynecological Nursing Theories and Practices in Traditional Chinese Medicine: Review on the Ancient Literatures, Chinese Medicine, 10.4236/cm.2011.23014, 02, 03, (77-83), (2011). [Crossref²⁴⁹](#)
- Pei-Chi Chou, Heng-Yi Chu, Jaung-Geng Lin, Safe Needling Depth of Acupuncture Points, The Journal of Alternative and Complementary Medicine, 10.1089/acm.2010.0192, [https://doi.org/10.1007/978-1-4614-0601-3](#)
232. [https://doi.org/10.1155/2012/853516](#)
233. [https://doi.org/10.1089/acm.2010.0850](#)
234. [https://doi.org/10.1186/1749-8546-7-3](#)
235. [https://doi.org/10.1142/S0192415X07005235](#)
236. [https://doi.org/10.1142/S0192415X05003302](#)
237. [https://doi.org/10.1142/S0192415X05003119](#)
238. [https://doi.org/10.1142/S0192415X04002363](#)
239. [https://doi.org/10.1142/S0192415X04002375](#)
240. [https://doi.org/10.1142/S0192415X03001594](#)
241. [https://doi.org/10.3390/ani2030455](#)
242. [https://doi.org/10.1155/2011/606514](#)
243. [https://doi.org/10.1016/j.jbmt.2010.03.001](#)
244. [https://doi.org/10.1089/acm.2010.0740](#)
245. [https://doi.org/10.1155/2011/260510](#)
246. [https://doi.org/10.1016/B978-0-7020-3571-5.00032-9](#)
247. [https://doi.org/10.1016/B978-3-437-23095-0.10004-5](#)
248. [https://doi.org/10.4236/cm.2011.23014](#)
249. [https://doi.org/10.1016/j.arts.2009.12.003](#)
- acm.2010.0192, 17, 3, (199-206), (2011). [Crossref²⁵⁰](#)
- References and further reading, Energy Medicine East and West, 10.1016/B978-0-7020-3571-5.00037-8, (339-382), (2011). [Crossref²⁵¹](#)
- Dongming Zhang, Xiaohui Yan, Xinyi Zhang, Chenglin Liu, Ruishan Dang, Tiqiao Xiao, Peiping Zhu, Synchrotron radiation phase-contrast X-ray CT imaging of acupuncture points, Analytical and Bioanalytical Chemistry, 10.1007/s00216-011-4913-7, 401, 3, (803-808), (2011). [Crossref²⁵²](#)
- Stéphane J - P. Egot - Lemaire, Marvin C. Ziskin, Dielectric properties of human skin at an acupuncture point in the 50–75 GHz frequency range: A pilot study, Bioelectromagnetics, 10.1002/bem.20650, 32, 5, (360-366), (2011). [Wiley Online Library²⁵³](#)
- Chi Eung Danforn Lim, Felix Wu Shun Wong, Warren Smith, Factors influencing the bio-impedance data in tissue segments along the three arm meridians: a pilot study, TANG [HUMANITAS MEDICINE], 10.5667/tang.2011.0004, 1, 1, (7.1-7.9), (2011). [Crossref²⁵⁴](#)
- Luigi Baratto, Laura Calzà, Roberto Capra, Michele Gallamini, Luciana Giardino, Alessandro Giuliani, Luca Lorenzini, Silvano Traverso, Ultra-low-level laser therapy, Lasers in Medical Science, 10.1007/s10103-010-0837-2, 26, 1, (103-112), (2010). [Crossref²⁵⁵](#)
- Yavuz Beyazit, Murat Kekilli, Fatma Beyazit, Sticking the pieces together: A unifying hypothesis for the acupuncture meridian pathways and extracellular signalling, Medical Hypotheses, 10.1016/j.mehy.2010.01.022, 74, 6, (1088), (2010). [Crossref²⁵⁶](#)
- Hugh Gemmill, Peter Miller, Relative effectiveness and adverse effects of cervical manipulation, mobilisation and the activator instrument in patients with sub-acute non-specific neck pain: results from a stopped randomised trial, Chiropractic & Osteopathy, 10.1186/1746-1340-18-20, 18, 1, (2010). [Crossref²⁵⁷](#)
- Peter T. Dorsher, Clinical Equivalence of Laser Needle to Metal Acupuncture Needle in Treating Musculoskeletal Pain: A Pilot Study, Medical Acupuncture, 10.1089/acu.2009.0724, 22, 1, (11-17), (2010). [Crossref²⁵⁸](#)
- Marco Antonio Helio da Silva, A Neurosegmental Perspective of the Classical Back Shu Points, Medical Acupuncture, 10.1089/acu.2010.0762, 22, 4, (257-264), (2010). [Crossref²⁵⁹](#)
- Laurent Misery, Laurence Potin-Richard, Itch and Acupuncture, Pruritus, 10.1007/978-1-84882-322-8, (335-338), (2010). [Crossref²⁶⁰](#)
- Guang Ying Huang, Cui Hong Zheng, Yun Xia Wu, Wei Wang, Involvement of connexin 43 in the acupuncture effect of improving rat blastocyst implantation, Fertility and Sterility, 10.1016/j.fertnstert.2009.09.036, 93, 5, (1715-1717), (2010). [Crossref²⁶¹](#)
- Felix Wu Shun Wong, Chi Eung Danforn Lim, Warren Smith, A New Bioimpedance Research Device (BIRD) for Measuring the Electrical Impedance of Acupuncture Meridians, The Journal of Alternative and Complementary Medicine, 10.1089/acm.2009.0218, 16, 3, (257-264), (2010). [Crossref²⁶²](#)
- Jennifer A. M. Stone, Peter A. S. Johnstone, Mechanisms of Action for Acupuncture in the Oncology Setting, Current Treatment Options in Oncology, 10.1007/s11864-010-0128-y, 11, 3-4, (118-127), (2010). [Crossref²⁶³](#)
- Yu Bai, Lin Yuan, Kwang-Sup Soh, Byung-Cheon Lee, Yong Huang, Chun-lei Wang, Jun Wang, Jin-peng Wu, Jing-xing Dai, Janos Palhalmi, Ou Sha, David Tai Wai Yew, Possible Applications for Fascial Anatomy and Fasciology in Traditional Chinese Medicine, Journal of Acupuncture and Meridian Studies, 10.1016/S2005-2901(10)60023-4, 3, 2, (125-132), (2010). [Crossref²⁶⁴](#)
- Peter T. Dorsher, The Languages of Healing: Linked by a Common Thread, The Journal of Alternative and Complementary Medicine, 10.1089/acm.2009.0527, 16, 8, (907-913), (2010). [Crossref²⁶⁵](#)
- Fei Zhou, Dengkai Huang YingXia, Neuroanatomic Basis of Acupuncture Points, Acupuncture Therapy for Neurological Diseases, 10.1007/978-3-642-10857-0, (32-80), (2010). [Crossref²⁶⁶](#)
- Roeland van Wijk, Jan van der Greef, Eduard van Wijk, Human Ultraweak Photon Emission and the Yin Yang Concept of Chinese Medicine, Journal of Acupuncture and Meridian Studies, 10.1016/S2005-2901(10)60041-6, 3, 4, (221-231), (2010). [Crossref²⁶⁷](#)
- Pierre Boutouyrie, Robert Corvisier, Kim-Than Ong, Claire Vulser, Catherine Lassalle, Michel Azizi, Brigitte Laloux, Stéphane Laurent, Acute and chronic effects of acupuncture on radial artery: A randomized double blind study in migraine, Artery Research, 10.1016/j.artres.2009.12.003, 4, 1, (7-14), (2010). [Crossref²⁶⁸](#)
- Jun J. Mao, Rahul Kapur, Acupuncture in Primary Care, Primary Care: Clinics in [https://doi.org/10.1089/acm.2010.0192](#)
250. [https://doi.org/10.1016/B978-0-7020-3571-5.00037-8](#)
251. [https://doi.org/10.1007/s00216-011-4913-7](#)
252. [https://doi.org/10.1002/bem.20650](#)
253. [https://doi.org/10.5667/tang.2011.0004](#)
254. [https://doi.org/10.1007/s10103-010-0837-2](#)
255. [https://doi.org/10.1016/j.mehy.2010.01.022](#)
256. [https://doi.org/10.1186/1746-1340-18-20](#)
257. [https://doi.org/10.1089/acu.2009.0724](#)
258. [https://doi.org/10.1089/acu.2010.0762](#)
259. [https://doi.org/10.1007/978-1-84882-322-8](#)
260. [https://doi.org/10.1016/j.fertnstert.2009.09.036](#)
261. [https://doi.org/10.1089/acm.2009.0218](#)
262. [https://doi.org/10.1007/s11864-010-0128-y](#)
263. [https://doi.org/10.1016/S2005-2901\(10\)60023-4](#)
264. [https://doi.org/10.1089/acm.2009.0527](#)
265. [https://doi.org/10.1007/978-3-642-10857-0](#)
266. [https://doi.org/10.1016/S2005-2901\(10\)60041-6](#)
267. [https://doi.org/10.1016/j.artres.2009.12.003](#)
268. [https://doi.org/10.1016/j.artres.2009.12.003](#)

Office Practice, 10.1016/j.pop.2009.09.010, 37, 1, (105-117), (2010). [Crossref²⁶⁹](#)

Andrew C. Ahn, Min Park, Jessica R. Shaw, Claire A. McManus, Ted J. Kaptchuk, Helene M. Langevin, Electrical Impedance of Acupuncture Meridians: The Relevance of Subcutaneous Collagenous Bands, PLoS ONE, 10.1371/journal.pone.0011907, 5, 7, (e11907), (2010). [Crossref²⁷⁰](#)

Kang Cheng, Chang Hua Zou, Information Models of Acupuncture Analgesia and Meridian Channels, Information, 10.3390/info1020153, 1, 2, (153-168), (2010). [Crossref²⁷¹](#)

Peter T. Dorsher, Myofascial Meridians as Anatomical Evidence of Acupuncture Channels, Medical Acupuncture, 10.1089/acu.2009.0631, 21, 2, (91-97), (2009). [Crossref²⁷²](#)

Kwang-Sup Soh, Bonghan Circulatory System as an Extension of Acupuncture Meridians, Journal of Acupuncture and Meridian Studies, 10.1016/S2005-2901(09)60041-8, 2, 2, (93-106), (2009). [Crossref²⁷³](#)

Peter T. Dorsher, Myofascial Referred-Pain Data Provide Physiologic Evidence of Acupuncture Meridians, The Journal of Pain, 10.1016/j.jpain.2008.12.010, 10, 7, (723-731), (2009). [Crossref²⁷⁴](#)

Charles Shang, Prospective Tests on Biological Models of Acupuncture, Evidence-Based Complementary and Alternative Medicine, 10.1093/ecam/nem122, 6, 1, (31-39), (2009). [Crossref²⁷⁵](#)

Antonio Stecco, Veronica Macchi, Carla Stecco, Andrea Porzionato, Julie Ann Day, Vincent Delmas, Raffaele De Caro, Anatomical study of myofascial continuity in the anterior region of the upper limb, Journal of Bodywork and Movement Therapies, 10.1016/j.jbmt.2007.04.009, 13, 1, (53-62), (2009). [Crossref²⁷⁶](#)

Sang-Hyun Park, Jungdae Kim, Tae-Hoi Koo, Magneto-Acupuncture Stimuli Effects on Ultraweak Photon Emission from Hands of Healthy Persons, Journal of Acupuncture and Meridian Studies, 10.1016/S2005-2901(09)60014-5, 2, 1, (40-48), (2009). [Crossref²⁷⁷](#)

James L. Oschman, Charge transfer in the living matrix, Journal of Bodywork and Movement Therapies, 10.1016/j.jbmt.2008.06.005, 13, 3, (215-228), (2009). [Crossref²⁷⁸](#)

Hsiao-Neng Chen, Jaung-Geng Lin, Li-Chih Ying, Chen-Chai Huang, Chuan-Hsiung Lin, The Therapeutic Depth of Abdominal Acupuncture Points Approaches the Safe Depth in Overweight and in Older Children, The Journal of Alternative and Complementary Medicine, 10.1089/acm.2008.0582, 15, 9, (1033-1037), (2009). [Crossref²⁷⁹](#)

Sallie Stoltz Denner, The Science of Energy Therapies and Contemplative Practice, Holistic Nursing Practice, 10.1097/HNP.0b013e3181bf3784, 23, 6, (315-334), (2009). [Crossref²⁸⁰](#)

N. Ospina-Díaz, Introducción a la acupuntura. Fundamentos e interés para el médico de Atención Primaria, SEMERGEN - Medicina de Familia, 10.1016/S1138-3593(09)72675-9, 35, 8, (380-384), (2009). [Crossref²⁸¹](#)

Suzanne McDonough, Jongbae Park, Jing Yuan, Purepong Nithima, Daniel P. Kerr, Letters, Spine, 10.1097/BRS.0b013e31819d071c, 34, 7, (753), (2009). [Crossref²⁸²](#)

Charles Shang, Has Basic Acupuncture Research Met the Gold Standard of Science?, Medical Acupuncture, 10.1089/acu.2009.715, 21, 3, (191-200), (2009). [Crossref²⁸³](#)

Xiaohui Yan, Xinyi Zhang, Chenglin Liu, Ruishan Dang, Yuying Huang, Wei He, Guanghong Ding, Do acupuncture points exist?, Physics in Medicine and Biology, 10.1088/0031-9155/54/9/N01, 54, 9, (N143-N150), (2009). [Crossref²⁸⁴](#)

Xiaojia Yu, Guanghong Ding, Hong Huang, Jun Lin, Wei Yao, Rui Zhan, Role of Collagen Fibers in Acupuncture Analgesia Therapy on Rats, Connective Tissue Research, 10.1080/03008200802471856, 50, 2, (110-120), (2009). [Crossref²⁸⁵](#)

James J. Mao, Deborah W. Bruner, Carrie Stricker, John T. Farrar, Sharon X. Xie, Marjorie A. Bowman, Donna Pucci Xiaoyan Han, Angela DeMichele, Feasibility Trial of Electroacupuncture for Aromatase Inhibitor-Related Arthralgia in Breast Cancer Survivors, Integrative Cancer Therapies, 10.1177/1534735409332903, 8, 2, (123-129), (2009). [Crossref²⁸⁶](#)

HongQin Yang, ShuSen Xie, Hui Li, YuHua Wang, On optics of human meridians, Science in China Series G: Physics, Mechanics and Astronomy, 10.1007/s11433-009-0080-7, 52, 4, (502-507), (2009). [Crossref²⁸⁷](#)

Dietrich H.W. Groenemeyer, Lei Zhang, Sven Schirp, Jürgen Baier, Localization of Acupuncture Points BL25 and BL26 Using Computed Tomography, The Journal of Alternative and Complementary Medicine, 10.1089/acm.2007.7118-O, 15, 12, (1285-1291), (2009). [Crossref²⁸⁸](#)

Mike Benjamin, The fascia of the limbs and back – a review, Journal of Anatomy, 10.1111/j.1469-7580.2008.01011.x, 214, 1, (1-18), (2008). [Wiley Online Library²⁸⁹](#)

Jesse Li-Ling, Yiyang Wu, Congenital Syndromes Involving the Lungs: Pathogenetic Models Based on Chinese Medicine Theories, The Journal of Alternative and Complementary Medicine, 10.1089/acm.2008.0115, 14, 8, (1017-1025), (2008). [Crossref²⁹⁰](#)

Byung-Cheon Lee, Tae-Jeong Nam, Hyeon-Min Johng, Eun-Sung Park, Ku-Youn Baik, Baek-Kyung Sung, Kyung-Soon Soh, Yeo-Sung Yoon, Kwang-Sup Soh, Argyrophilic Fibers of Intravascular Threadlike Structures in Rat, Journal of Korean Institute of Herbal Acupuncture, 10.3831/KPI.2008.11.3.005, 11, 3, (5-16), (2008). [Crossref²⁹¹](#)

Di Zhang, Guanghong Ding, Xueyong Shen, Wei Yao, Zhiying Zhang, Yuqing Zhang, Jun Lin, Quanbao Gu, Role of Mast Cells in Acupuncture Effect: A Pilot Study, EXPLORE, 10.1016/j.explore.2008.02.002, 4, 3, (170-177), (2008). [Crossref²⁹²](#)

Stephen M. Sagar, Acupuncture as an Evidence-Based Option for Symptom Control in Cancer Patients, Current Treatment Options in Oncology, 10.1007/s11864-008-0063-3, 9, 2-3, (117-126), (2008). [Crossref²⁹³](#)

M. Miguel-Pérez, J.C. Ortiz-Sagrístá, A. Pérez-Bellmunt, R. Ramos-Izquierdo, A. García-Fernández, Descripción anatómica de puntos de acupuntura en la extremidad inferior, Revista Internacional de Acupuntura, 10.1016/S1887-8369(08)70031-0, 2, 2, (126-131), (2008). [Crossref²⁹⁴](#)

Marcus Bäcker, Paul Grossman, Jens Schneider, Andreas Michalsen, Nicola Knoblauch, Linda Tan, Corinna Niggemeyer, Klaus Linde, Dieter Melchart, Gustav J. Dobos, Acupuncture in Migraine, The Clinical Journal of Pain, 10.1097/AJP.0b013e318159f95e, 24, 2, (106-115), (2008). [Crossref²⁹⁵](#)

Peter T. Dorsher, Optimal Localization of Acupuncture Points: Implications for Acupuncture Practice, Education, and Research, Medical Acupuncture, 10.1089/acu.2008.0621, 20, 3, (147-150), (2008). [Crossref²⁹⁶](#)

Byung-Cheon Lee, Vyacheslav Ogay, Ki Woo Kim, Yuwon Lee, Jin-Kyu Lee, Kwang-Sup Soh, Acupuncture Muscle Channel in the Subcutaneous Layer of Rat Skin, Journal of Acupuncture and Meridian Studies, 10.1016/S2005-2901(09)60002-9, 1, 1, (13-19), (2008). [Crossref²⁹⁷](#)

Agatha P. Colbert, Jinkook Yun, Adrian Larsen, Tracy Edinger, William L. Gregory, Tran Thong, Skin Impedance Measurements for Acupuncture Research: Development of a Continuous Recording System, Evidence-Based Complementary and Alternative Medicine, 10.1093/ecam/nem060, 5, 4, (443-450), (2008). [Crossref²⁹⁸](#)

Hugh MacPherson, Richard Nahin, Charlotte Paterson, Claire M. Cassidy, George T. Lewith, Richard Hammerschlag, Developments in Acupuncture Research: Big-Picture Perspectives from the Leading Edge, The Journal of Alternative and Complementary Medicine, 10.1089/acm.2008.SAR-5, 14, 7, (883-887), (2008). [Crossref²⁹⁹](#)

Vyacheslav Ogay, Min Su Kim, Hyo Jun Seok, Cheon Joo Choi, Kwang-Sup Soh, Catecholamine-storing Cells at Acupuncture Points of Rabbits, Journal of Acupuncture and Meridian Studies, 10.1016/S2005-2901(09)60027-3, 1, 2, (83-90), (2008). [Crossref³⁰⁰](#)

J. Giebel, Mecanotransducción y transducción de señales a través del tejido conjuntivo, Revista Internacional de Acupuntura, 10.1016/S1887-8369(08)70003-6, 2, 1, (9-14), (2008). [Crossref³⁰¹](#)

Sheng-Hsiung Hsiao, Li-Jen Tsai, A Neurovascular Transmission Model for Acupuncture-induced Nitric Oxide, Journal of Acupuncture and Meridian Studies, 10.1016/S2005-2901(09)60006-6, 1, 1, (42-50), (2008). [Crossref³⁰²](#)

Vitaly Napadow, Andrew Ahn, John Longhurst, Lixing Lao, Elisabet Stener-Victorin, Richard Harris, Helene M. Langevin, The Status and Future of Acupuncture Mechanism Research, The Journal of Alternative and Complementary Medicine, 10.1089/acm.2008.SAR-3, 14, 7, (861-869), (2008). [Crossref³⁰³](#)

Hong-Yi Li, Jie-Fu Yang, Min Chen, Liang Xu, Wen-Chao Wang, Fang Wang, Jia-Bin Tong, Chuan-Yu Wang, Visualized Regional Hypodermic Migration Channels of Interstitial Fluid in Human Beings: Are These Ancient Meridians?, The Journal of Alternative and Complementary Medicine, 10.1089/acm.2007.0606, 14, 6, (621-628), (2008). [Crossref³⁰⁴](#)

Rosa N. Schnyer, Stephen Birch, Hugh MacPherson, Acupuncture practice as the foundation for clinical evaluation, Acupuncture Research, 10.1016/B978-044310029-1.50013-9, (153-179), (2008). [Crossref³⁰⁵](#)

Richard Hammerschlag, Hélène M. Langevin, Lixing Lao, George Lewith, Physiological dynamics of acupuncture: correlations and mechanisms, Acupuncture Research, 10.1016/B978-044310029-1.50014-0, (181-197), (2008). [Crossref³⁰⁶](#)

Paul Orrock, Eric Blake, Leon Chaitow, Roger Newman Turner, Naturopathic Physical

289. <https://onlinelibrary.wiley.com/doi/10.1111/j.1469-7580.2008.01011.x>

290. <https://doi.org/10.1089/acm.2008.0115>

291. <https://doi.org/10.3831/KPI.2008.11.3.005>

292. <https://doi.org/10.1016/j.explore.2008.02.002>

293. <https://doi.org/10.1007/s11864-008-0063-3>

294. [https://doi.org/10.1016/S1887-8369\(08\)70031-0](https://doi.org/10.1016/S1887-8369(08)70031-0)

295. <https://doi.org/10.1097/AJP.0b013e318159f95e>

296. <https://doi.org/10.1089/acu.2008.0621>

297. [https://doi.org/10.1016/S2005-2901\(09\)60002-9](https://doi.org/10.1016/S2005-2901(09)60002-9)

298. <https://doi.org/10.1093/ecam/nem060>

299. <https://doi.org/10.1089/acm.2008.SAR-5>

300. [https://doi.org/10.1016/S2005-2901\(09\)60027-3](https://doi.org/10.1016/S2005-2901(09)60027-3)

301. [https://doi.org/10.1016/S1887-8369\(08\)70003-6](https://doi.org/10.1016/S1887-8369(08)70003-6)

302. [https://doi.org/10.1016/S2005-2901\(09\)60006-6](https://doi.org/10.1016/S2005-2901(09)60006-6)

303. <https://doi.org/10.1089/acm.2008.SAR-3>

304. <https://doi.org/10.1089/acm.2007.0606>

305. <https://doi.org/10.1016/B978-044310029-1.50013-9>

306. <https://doi.org/10.1016/B978-044310029-1.50014-0>

269. <https://doi.org/10.1016/j.pop.2009.09.010>

270. <https://doi.org/10.1371/journal.pone.0011907>

271. <https://doi.org/10.3390/info1020153>

272. <https://doi.org/10.1089/acu.2009.0631>

273. [https://doi.org/10.1016/S2005-2901\(09\)60041-8](https://doi.org/10.1016/S2005-2901(09)60041-8)

274. <https://doi.org/10.1016/j.jpain.2008.12.010>

275. <https://doi.org/10.1093/ecam/nem122>

276. <https://doi.org/10.1016/j.jbmt.2007.04.009>

277. [https://doi.org/10.1016/S2005-2901\(09\)60014-5](https://doi.org/10.1016/S2005-2901(09)60014-5)

278. <https://doi.org/10.1016/j.jbmt.2008.06.005>

279. <https://doi.org/10.1089/acm.2008.0582>

280. <https://doi.org/10.1097/HNP.0b013e3181bf3784>

281. [https://doi.org/10.1016/S1138-3593\(09\)72675-9](https://doi.org/10.1016/S1138-3593(09)72675-9)

282. <https://doi.org/10.1097/BRS.0b013e31819d071c>

283. <https://doi.org/10.1089/acu.2009.715>

284. <https://doi.org/10.1088/0031-9155/54/9/N01>

285. <https://doi.org/10.1080/03008200802471856>

286. <https://doi.org/10.1177/1534735409332903>

287. <https://doi.org/10.1007/s11433-009-0080-7>

288. <https://doi.org/10.1089/acm.2007.7118-O>

- Medicine, Naturopathic Physical Medicine, 10.1016/B978-044310390-2.50009-2, (75-100), (2008). [Crossref³⁰⁷](#)
- Andrew C. Ahn, Agatha P. Colbert, Belinda J. Anderson, Orjan G. Martinsen, Richard Hammerschlag, Steve Cina, Peter M. Wayne, Helene M. Langevin, Electrical properties of acupuncture points and meridians: A systematic review, *Bioelectromagnetics*, 10.1002/bem.20403, 29, 4, (245-256), (2008). [Wiley Online Library³⁰⁸](#)
- Margaret Julias, Lowell T Edgar, Helen M Buettner, David I Shreiber, An in vitro assay of collagen fiber alignment by acupuncture needle rotation, *BioMedical Engineering OnLine*, 10.1186/1475-925X-7-19, 7, 1, (2008). [Crossref³⁰⁹](#)
- Kell N. Julliard, Claudia Citkovitz, Douglas McDaniel, Towards a Model for Planning Clinical Research in Oriental Medicine, *EXPLORE*, 10.1016/j.explore.2006.12.002, 3, 2, (118-128), (2007). [Crossref³¹⁰](#)
- Arya Nielsen, Nicola T.M. Knoblauch, Gustav J. Dobos, Andreas Michalsen, Ted J. Kaptchuk, The Effect of Gua Sha Treatment on the Microcirculation of Surface Tissue: A Pilot Study in Healthy Subjects, *EXPLORE*, 10.1016/j.explore.2007.06.001, 3, 5, (456-466), (2007). [Crossref³¹¹](#)
- Roy Moncayo, Ansgar Rudisch, Markus Diemling, Christian Kremser, In-vivo visualisation of the anatomical structures related to the acupuncture points Dai mai and Shen mai by MRI: A single-case pilot study, *BMC Medical Imaging*, 10.1186/1471-2342-7-4, 7, 1, (2007). [Crossref³¹²](#)
- J. Giebel, Mechanotransduktion und Signaltransduktion über das Bindegewebe – Mechanismen zur Erklärung des therapeutischen Effekts der Akupunktur?, *Deutsche Zeitschrift für Akupunktur*, 10.1078/0415-6412-00281, 50, 3, (6-10), (2007). [Crossref³¹³](#)
- Roy Moncayo, Ansgar Rudisch, Christian Kremser, Helga Moncayo, 3D-MRI rendering of the anatomical structures related to acupuncture points of the Dai mai, Yin qiao mai and Yang qiao mai meridians within the context of the WOMED concept of lateral tension: implications for musculoskeletal disease, *BMC Musculoskeletal Disorders*, 10.1186/1471-2474-8-33, 8, 1, (2007). [Crossref³¹⁴](#)
- Helene M. Langevin, Nicole A. Bouffard, David L. Churchill, Gary J. Badger, Connective Tissue Fibroblast Response to Acupuncture: Dose-Dependent Effect of Bidirectional Needle Rotation, *The Journal of Alternative and Complementary Medicine*, 10.1089/acm.2007.6351, 13, 3, (355-360), (2007). [Crossref³¹⁵](#)
- Yong-Hui Han, Joon-Mo Yang, Min-Su Kim, Kwang-Sup Soh, Detection of the acupuncture points in Skin by differential path-length spectroscopy, *World Congress on Medical Physics and Biomedical Engineering 2006*, 10.1007/978-3-540-36841-0, (3572-3575), (2007). [Crossref³¹⁶](#)
- Min-Su Kim, Vyacheslav Ogay, Yong-Hui Han, Hak-Soo Shin, Byung-Cheon Lee, Kwang-Sup Soh, Alcian Blue Staining Technique for Tracing the Governing Vessel (GV) Meridian in Rat, *World Congress on Medical Physics and Biomedical Engineering 2006*, 10.1007/978-3-540-36841-0, (3576-3579), (2007). [Crossref³¹⁷](#)
- Miguel-Pérez Maribel, Ortiz-Sagristà Joan Carles, Pérez-Bellmunt Albert, Buxeda Mónica, Cuni Laura, García-Fernández Alicia, Descripción anatómica de puntos de acupuntura en la extremidad superior, *Revista Internacional de Acupuntura*, 10.1016/S1887-8369(07)70217-X, 1, 2, (53-57), (2007). [Crossref³¹⁸](#)
- Yury P. Limansky, Serge A. Gulyar, Ivan Z. Samosyuk, Scientific basis of acupuncture, *Kontakt*, 10.32725/kont.2007.060, 9, 2, (391-402), (2007). [Crossref³¹⁹](#)
- Leon Chaitow, Fascia 2007 Congress, *Journal of Bodywork and Movement Therapies*, 10.1016/j.jbmt.2006.07.004, 10, 4, (249-250), (2006). [Crossref³²⁰](#)
- Helene M. Langevin, Connective tissue: A body-wide signaling network?, *Medical Hypotheses*, 10.1016/j.mehy.2005.12.032, 66, 6, (1074-1077), (2006). [Crossref³²¹](#)
- Albert Y. Leung, Jun Park, Gery Schulteis, Jeng-Ren Duann, Tony Yaksh, The Electrophysiology of De Qi Sensations, *The Journal of Alternative and Complementary Medicine*, 10.1089/acm.2006.12.743, 12, 8, (743-750), (2006). [Crossref³²²](#)
- Acupuncture, Obstetrics & Gynecology, 10.1097/01.AOG.0000239498.38595.41, 108, 4, (1024-1026), (2006). [Crossref³²³](#)
- Jeanne L. Shea, Applying Evidence-Based Medicine to Traditional Chinese Medicine: Debate and Strategy, *The Journal of Alternative and Complementary Medicine*, 10.1089/acm.2006.12.255, 12, 3, (255-263), (2006). [Crossref³²⁴](#)
- Grigory V. Chernyak, Daniel I. Sessler, Perioperative Acupuncture and Related Techniques, *Anesthesiology*, 10.1097/0000542-200505000-00024, 102, 5, (1031-1049), (2005). [Crossref³²⁵](#)
- Grigory Chernyak, Papiya Sengupta, Rainer Lenhardt, Edwin Liem, Anthony C. Doufas, Daniel I. Sessler, Ozan Ak?aa, The Timing of Acupuncture Stimulation Does Not Influence Anesthetic Requirement, *Anesthesia & Analgesia*, 10.1213/01.ANE.0000142114.72117.E0, 100, 2, (387-392), (2005). [Crossref³²⁶](#)
- Gabriela E. Garcia, Sheng-Xing Ma, Lili Feng, Acupuncture and Kidney Disease, *Advances in Chronic Kidney Disease*, 10.1016/j.ackd.2005.04.002, 12, 3, (282-291), (2005). [Crossref³²⁷](#)
- Andrew C Ahn, Junru Wu, Gary J Badger, Richard Hammerschlag, Helene M Langevin, Electrical impedance along connective tissue planes associated with acupuncture meridians, *BMC Complementary and Alternative Medicine*, 10.1186/1472-6882-5-10, 5, 1, (2005). [Crossref³²⁸](#)
- E.E. Konofagou, H.M. Langevin, Using ultrasound to understand acupuncture, *IEEE Engineering in Medicine and Biology Magazine*, 10.1109/MEMB.2005.1411347, 24, 2, (41-46), (2005). [Crossref³²⁹](#)
- R. Schleip, W. Klingler, F. Lehmann-Horn, Active fascial contractility: Fascia may be able to contract in a smooth muscle-like manner and thereby influence musculoskeletal dynamics, *Medical Hypotheses*, 10.1016/j.mehy.2005.03.005, 65, 2, (273-277), (2005). [Crossref³³⁰](#)
- Paulo H. Hashimoto, The perineurial vessel: A possible candidate for the structural basis of the meridian (Jing - Luo) in Chinese medicine*, *Anatomical Science International*, 10.1111/j.1447-073X.2005.00118.x, 80, 4, (177-180), (2005). [Wiley Online Library³³¹](#)
- Dina Ralt, Intercellular communication, NO and the biology of Chinese medicine, *Cell Communication and Signaling*, 10.1186/1478-811X-3-8, 3, 1, (2005). [Crossref³³²](#)
- Ai-Hui Li, Jun-Ming Zhang, Yi-Kuan Xie, Human acupuncture points mapped in rats are associated with excitable muscle/skin-nerve complexes with enriched nerve endings, *Brain Research*, 10.1016/j.brainres.2004.04.009, 1012, 1-2, (154-159), (2004). [Crossref³³³](#)
- Kaung-Ti Yung, A Birdcage Model for the Chinese Meridian System Part II: The Meridian System as a Birdcage Resonator, *The American Journal of Chinese Medicine*, 10.1142/S0192415X04002582, 32, 06, (985-997), (2004). [Crossref³³⁴](#)
- J. P. Jones, Y. K. Bae, L. Wilson, C. S. So, D. D. Kidney, Ultrasonic Imaging and Characterization of Acupuncture Points in Classical Oriental Medicine, *Acoustical Imaging*, 10.1007/978-1-4020-2402-3_66, (527-533), (2004). [Crossref³³⁵](#)
- Helene M. Langevin, Elisa E. Konofagou, Gary J. Badger, David L. Churchill, James R. Fox, Jonathan Ophir, Brian S. Garra, Tissue displacements during acupuncture using ultrasound elastography techniques, *Ultrasound in Medicine & Biology*, 10.1016/j.ultrasmedbio.2004.07.010, 30, 9, (1173-1183), (2004). [Crossref³³⁶](#)
- M. Bäcker, I.K. Gareus, N.T.M. Knoblauch, A. Michalsen, G.J. Dobos, Akupunktur in der Schmerztherapie – Hypothese zu adaptiven Prozessen, *Complementary Medicine Research*, 10.1159/000082815, 11, 6, (335-345), (2004). [Crossref³³⁷](#)
- Opher Caspi, Cari Stelhorn, Melinda Connor, Sham in CAM, Evidence-Based Integrative Medicine, 10.2165/01197065-200401040-00002, 1, 4, (233-240), (2004). [Crossref³³⁸](#)
- Bruce D. Curtis, J.J. Hurtak, Consciousness and Quantum Information Processing: Uncovering the Foundation for a Medicine of Light, *The Journal of Alternative and Complementary Medicine*, 10.1089/107555304322848931, 10, 1, (27-39), (2004). [Crossref³³⁹](#)
- E.E. Konofagou, G.J. Badger, B.S. Garra, H.M. Langevin, IEEE Symposium on Ultrasonics, 2003, 10.1109/ULTSYM.2003.1293138, (1288-1291), (2003). [Crossref³⁴⁰](#)
- Leon Chaitow, Judith DeLany, Neuromuscular Techniques in Orthopedics, *Techniques in Orthopaedics*, 10.1097/00013611-200303000-00013, 18, 1, (74-86), (2003). [Crossref³⁴¹](#)
- LiteratureWatch, Alternative and Complementary Therapies, 10.1089/10762800360520811, 9, 1, (49-50), (2003). [Crossref³⁴²](#)
- Michael McCarthy, Palpatory literacy, Chinese therapeutic bodywork (Tui Na) and the remediation of head, neck and shoulder pain, *Journal of Bodywork and Movement Therapies*, 10.1016/S1360-8592(03)00044-5, 7, 4, (262-277), (2003). [Crossref³⁴³](#)
- Leon Chaitow, What binds us together ?, *Journal of Bodywork and Movement Therapies*, 10.1016/S1360-8592(03)00020-2, 7, 2, (69-70), (2003). [Crossref³⁴⁴](#)
- Joshi, Narahari & Mbbs, Msc & Pa'ez, Ximena & Araque, MBBS. (2012). Electroacupuncture Effects on the Disintegration of Beta Amyloid Sheets: Its Application to Alzheimer's Disease. *Medical Acupuncture*. 24. 145. 10.1089/acu.2012.0873. [ResearchGate³⁴⁵](#)
- <https://doi.org/10.1213/01.ANE.0000142114.72117.E0>
- <https://doi.org/10.1016/j.ackd.2005.04.002>
- <https://doi.org/10.1186/1472-6882-5-10>
- <https://doi.org/10.1109/MEMB.2005.1411347>
- <https://doi.org/10.1016/j.mehy.2005.03.005>
- <https://online.library.wiley.com/doi/10.1111/j.1447-073X.2005.00118.x>
- <https://doi.org/10.1186/1478-811X-3-8>
- <https://doi.org/10.1016/j.brainres.2004.04.009>
- <https://doi.org/10.1142/S0192415X04002582>
- https://doi.org/10.1007/978-1-4020-2402-3_66
- <https://doi.org/10.1016/j.ultrasmedbio.2004.07.010>
- <https://doi.org/10.1159/000082815>
- <https://doi.org/10.2165/01197065-200401040-00002>
- <https://doi.org/10.1089/107555304322848931>
- <https://doi.org/10.1109/ULTSYM.2003.1293138>
- <https://doi.org/10.1097/00013611-200303000-00013>
- <https://doi.org/10.1089/10762800360520811>
- [https://doi.org/10.1016/S1360-8592\(03\)00044-5](https://doi.org/10.1016/S1360-8592(03)00044-5)
- [https://doi.org/10.1016/S1360-8592\(03\)00020-2](https://doi.org/10.1016/S1360-8592(03)00020-2)
- https://www.researchgate.net/publication/236897521_Electroacupuncture_Effects_on_the_Disintegration_of_Beta_Amyloid_Sheets_Its_Application_to_Alzheimer's_Disease

HRV, Ayurveda

- Ram Manohar, P., Sorokin, O., Chacko, J., & Nampoothiri, V. (2018). An exploratory clinical study to determine the utility of heart rate variability analysis in the assessment of dosha imbalance. *Journal of Ayurveda and integrative medicine*, 9(2), 126–130. [Crossref³⁴⁶](#)
- Travis F.T., Wallace R.K. Dosa brain-types: a neural model of individual differences. *J Ayurveda Integr Med*. 2015;6(4):280–285. [PMC³⁴⁷](#) - [PubMed³⁴⁸](#)
- Tyagi A., Cohen M. Yoga and heart rate variability: a comprehensive review of the literature. *Int J Yoga*. 2016;9(2):97–113. [PMC³⁴⁹](#) - [PubMed³⁵⁰](#)
- Masel E., Huber P., Engler T., Herbert Watzke H.H. Heart rate variability during treatment of breakthrough pain in patients with advanced cancer: a pilot study. *J Pain Res*. 2016 Dec;9:1215–1220. [PMC³⁵¹](#) - [PubMed³⁵²](#)
- Kim E.-H., Park J.-H., Lee S.M., Gwak M.-S., Kim G.-S., Kim M.-H. Preoperative depressed mood and perioperative heart rate variability in patients with hepatic cancer. *J Clin Anesth*. 2016 Dec;35:332–338. [PubMed³⁵³](#)
- Koszewicz M., Michalak S., Bilinska M., Budrewicz S., Zaborowski M., Slotwinski K. Profile of autonomic dysfunctions in patients with primary brain tumor and possible autoimmunity. *Clin Neurol Neurosurg*. 2016 Dec;151:51–54. [PubMed³⁵⁴](#)
- Rastogi, S., & Singh, R. H. (2021). Principle of Hot (Ushna) and Cold (Sheeta) and Its Clinical Application in Ayurvedic Medicine. *Advances in experimental medicine and biology*, 1343, 39–55. [Crossref³⁵⁵](#)
- Mills, P. J., Peterson, C. T., Wilson, K. L., Pung, M. A., Patel, S., Weiss, L., Kshirsagar, S. G., Tanzi, R. E., & Chopra, D. (2019). Relationships among classifications of ayurvedic medicine diagnostics for imbalances and western measures of psychological states: An exploratory study. *Journal of Ayurveda and integrative medicine*, 10 (3), 198–202. [Crossref³⁵⁶](#)
- Pandey M.M., Rastogi S., Rawat A.K. Indian traditional ayurvedic system of medicine and nutritional supplementation. *Evid Based Complement Alternat Med*. 2013;2013:376327. - [PMC³⁵⁷](#) - [PubMed³⁵⁸](#)
- Chopra A., Doiphode V.V. Ayurvedic medicine. Core concept, therapeutic principles, and current relevance. *Med Clin North Am*. 2002;86(1):75–89. vii. - [PubMed³⁵⁹](#)
- Zhou X., Ma Z., Zhang L., Zhou S., Wang J., Wang B. Heart rate variability in the prediction of survival in patients with cancer: a systematic review and meta-analysis. *J Psychosom Res*. 2016 Oct;89:20–25. - [PubMed³⁶⁰](#)
- Taffe L., Stancil K., Bond V., Pemminati S., Gorantla V.R., Kadur K. Differentiation of overweight from normal weight young adults by postprandial heart rate variability and systolic blood pressure. *J Clin Diagnostic Res*. 2016 Aug;10(8):CC01–CC06. - [PMC³⁶¹](#) - [PubMed³⁶²](#)
- Gupta J., Dube A., Singh V., Gupta R.C. Spectral analysis of heart rate variability in bronchial asthma patients. *Indian J Physiol Pharmacol*. 2012;56(4):330–336. - [PubMed³⁶³](#)
- Sorokin O.V., Subotyalov M.A. Material of the all-Russian scientific and practical conference with international presence, October 26–27, 2011 Kemerovo, Russia. 2011. Comparative medical research of VedaPulse hardware and software kit // Health maintaining activities in educational system: theory and practice; pp. 225–230.
- Kelkar P., Karamchandani S., Jinda S. Proceedings of conference on advance applications in physiological variability, BARC. 2010. Identifying tridosha for disease characterisation in morphology of an IPG pulse waveform.
- Singh Harupjit. Thapar University; Patiala: 2016. Relationship between three ayurvedic doshas and heart rate variability frequency bands: a pilot study.
- Deshpande H., Shivakumar, Kavita M.B., Tripathy T.B., Chaturvedi A. Healthcare and disease management in Ayurveda. *Altern Ther Health Med*. 2001;7(2):44–50. - [PubMed³⁶⁴](#)
- Anthony J.V., Joanne M.G. Understanding interobserver agreement: the kappa statistic. *Fam Med*. 2005 May;37(5):360–363. - [PubMed³⁶⁵](#)
- Telles S., Pathak S., Kumar A., Mishra P., Balkrishna A. Ayurvedic doshas as predictors of sleep quality. *Med Sci Monit*. 2015;21:1421–1427. - [PMC³⁶⁶](#) - [PubMed³⁶⁷](#)
- Bell C., Heidel R.E., Sunega J., Drisko J. Ancient wisdom. Can ayurvedic prakriti provide invaluable insights into integrative medicine? *Ayurveda J Health*. 2017;27:27–34.
- Cohen S., Kamarck T., Mermelstein R. A global measure of perceived stress. *J Health Soc Behav*. 1983;24(4):385–396. - [PubMed³⁶⁸](#)
- Travis F.T., Wallace R.K. Dosa brain-types: a neural model of individual differences. *J Ayurveda Integr Med*. 2015;6(4):280–285. - [PMC³⁶⁹](#) - [PubMed³⁷⁰](#)
- Dey S, Pahwa P. Prakriti and its associations with metabolism, chronic diseases, and genotypes: possibilities of new born screening and a lifetime of personalized prevention. *J Ayurveda Integr Med*. 2014;5(1):15–24. - [PMC³⁷¹](#) - [PubMed³⁷²](#)
- Purva M.C., Meena M.S. A review on role of prakriti in aging. *Ayu*. 2011;32(1):20–24. - [PMC³⁷³](#) - [PubMed³⁷⁴](#)
- Pham, T., Lau, Z. J., Chen, S. H. A., & Makowski, D. (2021). Heart Rate Variability in Psychology: A Review of HRV Indices and an Analysis Tutorial. *Sensors (Basel, Switzerland)*, 21 (12), 3998. [Crossref³⁷⁵](#)
- Lombardi F., Malliani A., Pagani M., Cerutti S. Heart Rate Variability and Its Sympatho-Vagal Modulation. *Cardiovasc. Res*. 1996;32:208–216. doi: 10.1016/0008-6363(96)00116-2. - [DOI³⁷⁶](#) - [PubMed³⁷⁷](#)
- McCraty R., Shaffer F. Heart Rate Variability: New Perspectives on Physiological Mechanisms, Assessment of Self-regulatory Capacity, and Health Risk. *Glob. Adv. Heal. Med*. 2015;4:46–61. doi: 10.7453/gahmj.2014.073. - [DOI³⁷⁸](#) - [PMC³⁷⁹](#) - [PubMed³⁸⁰](#)
- Thayer J.F., Yamamoto S.S., Brosschot J.F. The relationship of autonomic imbalance, heart rate variability and cardiovascular disease risk factors. *Int. J. Cardiol*. 2010;141:122–131. doi: 10.1016/j.ijcard.2009.09.543. - [DOI³⁸¹](#) - [PubMed³⁸²](#)
- Tiwari, R., Kumar, R., Malik, S., Raj, T., & Kumar, P. (2021). Analysis of Heart Rate Variability and Implication of Different Factors on Heart Rate Variability. *Current cardiology reviews*, 17 (5), e160721189770. [Crossref³⁸³](#)
- Roy, S., Goswami, D. P., & Sengupta, A. (2020). Geometry of the Poincaré plot can segregate the two arms of autonomic nervous system - A hypothesis. *Medical hypotheses*, 138, 109574. [Crossref³⁸⁴](#)
- Gullett, N., Zajkowska, Z., Walsh, A., Harper, R., & Mondelli, V. (2023). Heart rate variability (HRV) as a way to understand associations between the autonomic nervous system (ANS) and affective states: A critical review of the literature. *International journal of psychophysiology : official journal of the International Organization of Psychophysiology*, 192, 35–42. [Crossref³⁸⁵](#)
- Zou L., Sasaki J.E., Wei G.X., Huang T., Yeung A.S., Neto O.B., Chen K.W., Hui S.S. Effects of Mind-Body Exercises (Tai Chi/Yoga) on Heart Rate Variability Parameters and Perceived Stress: A Systematic Review with Meta-Analysis of Randomized Controlled Trials. *J. Clin. Med*. 2018;7:404. doi: 10.3390/jcm7110404. - [DOI³⁸⁶](#) - [PMC³⁸⁷](#) - [PubMed³⁸⁸](#)
- Danylova T.V., Shmarhuv V.M., Vertel A.V., Matyushko B.K., Bondarenko A.F., Kychyruk T., Petersen J. Effects of the eastern mind-body practices on mental health during the COVID-19 pandemic: When east meets west. *Wiad. Lek*. 2021;74:2850–2855. doi: 10.36740/WLEK202111130. - [DOI³⁸⁹](#) - [PubMed³⁹⁰](#)
- Feneberg A.C., Nater U.M. An Ecological Momentary Music Intervention for the Reduction of Acute Stress in Daily Life: A Mixed Methods Feasibility Study. *Front. Psychol*. 2022;13:927705. doi: 10.3389/fpsyg.2022.927705. - [DOI³⁹¹](#) - [PMC³⁹²](#) - [PubMed³⁹³](#)
- Breit S., Kupferberg A., Rogler G., Hasler G. Vagus Nerve as Modulator of the Brain-Gut Axis in Psychiatric and Inflammatory Disorders. *Front. Psychiatry*. 2018;9:44. doi: 10.3389/fpsyg.2018.00044. - [DOI³⁹⁴](#) - [PMC³⁹⁵](#) - [PubMed³⁹⁶](#)
- Laborde S., Mosley E., Thayer J.F. Heart rate variability and cardiac vagal tone in psychophysiological research—recommendations for experiment planning, data analysis, and data reporting. *Front. Psychol*. 2017;8:213. doi: 10.3389/fpsyg.2017.00213. - [DOI³⁹⁷](#) - [PMC³⁹⁸](#) - [PubMed³⁹⁹](#)
368. <https://pubmed.ncbi.nlm.nih.gov/6668417/>
369. <http://www.ncbi.nlm.nih.gov/pmc/articles/pmc4719489/>
370. <https://pubmed.ncbi.nlm.nih.gov/26834428/>
371. <http://www.ncbi.nlm.nih.gov/pmc/articles/pmc4012357/>
372. <https://pubmed.ncbi.nlm.nih.gov/24812471/>
373. <https://www.ncbi.nlm.nih.gov/pmc/articles/pmc3215411/>
374. <https://pubmed.ncbi.nlm.nih.gov/22131753/>
375. <https://doi.org/10.3390/s21123998>
376. [https://doi.org/10.1016/0008-6363\(96\)00116-2](https://doi.org/10.1016/0008-6363(96)00116-2)
377. <https://pubmed.ncbi.nlm.nih.gov/8796106/>
378. <https://doi.org/10.7453/gahmj.2014.073>
379. <http://www.ncbi.nlm.nih.gov/pmc/articles/pmc4311559/>
380. <https://pubmed.ncbi.nlm.nih.gov/25694852/>
381. <https://doi.org/10.1016/j.ijcard.2009.09.543>
382. <https://pubmed.ncbi.nlm.nih.gov/19910061/>
383. <https://doi.org/10.2174/1573403X1699201231203854>
384. <https://doi.org/10.1016/j.mehy.2020.109574>
385. <https://doi.org/10.1016/j.psychso.2023.08.001>
386. <https://doi.org/10.3390/jcm7110404>
387. <http://www.ncbi.nlm.nih.gov/pmc/articles/pmc6262541/>
388. <https://pubmed.ncbi.nlm.nih.gov/30384420/>
389. <https://doi.org/10.36740/wlek202111130>
390. <https://pubmed.ncbi.nlm.nih.gov/35023505/>
391. <https://doi.org/10.3389/fpsyg.2022.927705>
392. <http://www.ncbi.nlm.nih.gov/pmc/articles/pmc9558284/>
393. <https://pubmed.ncbi.nlm.nih.gov/36248548/>
394. <https://doi.org/10.3389/fpsyg.2018.00044>
395. <http://www.ncbi.nlm.nih.gov/pmc/articles/pmc5859128/>
396. <https://pubmed.ncbi.nlm.nih.gov/29593576/>
397. <https://doi.org/10.3389/fpsyg.2017.00213>
398. <http://www.ncbi.nlm.nih.gov/pmc/articles/pmc5316555/>
399. <https://pubmed.ncbi.nlm.nih.gov/28265249/>

Chesky K.S., Michel D.E. The Music Vibration Table (MVT): Developing a Technology and Conceptual Model for Pain Relief. *Music Ther. Perspect.* 1991;9:32–38. doi: 10.1093/mtp/9.1.32. - DOI⁴⁰⁰

Campbell E., Burger B., Ala-Ruona E. A Single-Case, Mixed Methods Study Exploring the Role of Music Listening in Vibroacoustic Treatment. *Voices World Forum Music Ther.* 2019;19:27. doi: 10.15845/voices.v19i2.2556. - DOI⁴⁰¹

Braun Janzen T., Al Shirawi M.I., Rotzinger S., Kennedy S.H., Bartel L. A Pilot Study Investigating the Effect of Music-Based Intervention on Depression and Anhedonia. *Front. Psychol.* 2019;10:1038. doi: 10.3389/fpsyg.2019.01038. - DOI⁴⁰² - PMC⁴⁰³ - PubMed⁴⁰⁴

Karkkainen M., Mitsui J. The Effects of Sound Based Vibration Treatment on the Human Mind and Body the Physioacoustic Method. *J. Int. Soc. Life Inf. Sci.* 2006;24:155–164. doi: 10.18936/islis.24.1_155. - DOI⁴⁰⁵

Jirakittayakorn N., Wongsawat Y. Brain Responses to 40-Hz Binaural Beat and Effects on Emotion and Memory. *Int. J. Psychophysiol.* 2017;120:96–107. doi: 10.1016/j.ijpsycho.2017.07.010. - DOI⁴⁰⁶ - PubMed⁴⁰⁷

Fooks C., Niebuhr O. Assessing Vibroacoustic Sound Massage Through The Biosignal of Human Speech: Evidence of Improved Wellbeing; Proceedings of the IEEE International Conference on Acoustics, Speech and Signal Processing (ICASSP); Seoul, Republic of Korea. 14–19 April 2024; pp. 11401–11405.

Gitler, A., Vanacker, L., De Couck, M., De Leeuw, I., & Gidron, Y. (2022). Neuromodulation Applied to Diseases: The Case of HRV Biofeedback. *Journal of clinical medicine*, 11 (19), 5927. [Crossref⁴⁰⁸](#)

Zhu, J., Ji, L., & Liu, C. (2019). Heart rate variability monitoring for emotion and disorders of emotion. *Physiological measurement*, 40 (6), 064004. [Crossref⁴⁰⁹](#)

Nunan, D., Sandercock, G. R., & Brodie, D. A. (2010). A quantitative systematic review of normal values for short-term heart rate variability in healthy adults. *Pacing and clinical electrophysiology : PACE*, 33 (11), 1407–1417. [Crossref⁴¹⁰](#)

Qu, X., Wu, Y., Liu, J., & Cui, L. (2020). HRV-Spark: Computing Heart Rate Variability Measures Using Apache Spark. *Proceedings. IEEE International Conference on Bioinformatics and Biomedicine*, 2020, 10.1109/bibm49941.2020.9313361. [Crossref⁴¹¹](#)

Rahul, L. R., Sarkar, R., Sengupta, A., Chandra, B. S., & Jana, S. (2023). Novel AI-based HRV analysis (NAIHA) in healthcare automation and related applications. *Journal of electrocardiology*, 79, 112–121. [Crossref⁴¹²](#)

Taoum, A., Bisiaux, A., Tilquin, F., Le Guillou, Y., & Carrault, G. (2022). Validity of Ultra-Short-Term HRV Analysis Using PPG-A Preliminary Study. *Sensors (Basel, Switzerland)*, 22 (20), 7995. [Crossref⁴¹³](#)

Ortega, E., Bryan, C. Y. X., & Christine, N. S. C. (2024). The Pulse of Singapore: Short-Term HRV Norms. *Applied psychophysiology and biofeedback*, 49 (1), 55–61. [Crossref⁴¹⁴](#)

Vondrasek, J. D., Riemann, B. L., Grosicki, G. J., & Flatt, A. A. (2023). Validity and Efficacy of the Elite HRV Smartphone Application during Slow-Paced Breathing. *Sensors (Basel, Switzerland)*, 23 (23), 9496. [Crossref⁴¹⁵](#)

Malik M., Bigger J.T., Camm A.J., Kleiger R.E., Malliani A., Moss A.J., Schwartz P.J. Heart rate variability: Standards of measurement, physiological interpretation, and clinical use. *Eur. Heart J.* 1996;17:354–381. doi: 10.1093/oxfordjournals.eurheartj.a014868. - DOI⁴¹⁶ - PubMed⁴¹⁷

Shaffer F., McCraty R., Zerr C.L. A healthy heart is not a metronome: An integrative review of the heart's anatomy and heart rate variability. *Front. Psychol.* 2014;5:1040. doi: 10.3389/fpsyg.2014.01040. - DOI⁴¹⁸ - PMC⁴¹⁹ - PubMed⁴²⁰

Grosicki G.J., Culver M.N., McMillan N.K., Cross B.L., Montoye A.H.K., Riemann B.L., Flatt A.A. Self-recorded heart rate variability profiles are associated with health and lifestyle markers in young adults. *Clin. Auton. Res.* 2022;32:507–518. doi: 10.1007/s10286-022-00884-z. - DOI⁴²¹ - PubMed⁴²²

Natarajan A., Pantelopoulou A., Emir-Farinas H., Natarajan P. Heart rate variability with photoplethysmography in 8 million individuals: A cross-sectional study. *Lancet Digit. Health.* 2020;2:e650–e657. doi: 10.1016/S2589-7500(20)30246-6. - DOI⁴²³ - PubMed⁴²⁴

Talbert, L. D., Kaelberer, Z., Gleave, E., Driggs, A., Driggs, A. S., Steffen, P. R. &

Baldwin, S. A., & Larson, M. J. (2023). A systematic review of heart rate variability (HRV) biofeedback treatment following traumatic brain injury (TBI). *Brain injury*, 37 (7), 635–642. [Crossref⁴²⁵](#)

Jeyhani, V., Mahdiani, S., Peltokangas, M., & Vehkaoja, A. (2015). Comparison of HRV parameters derived from photoplethysmography and electrocardiography signals. *Annual International Conference of the IEEE Engineering in Medicine and Biology Society. IEEE Engineering in Medicine and Biology Society. Annual International Conference, 2015*, 5952–5955. [Crossref⁴²⁶](#)

Brennan, M., Palaniswami, M., & Kamen, P. (2002). Poincaré plot interpretation using a physiological model of HRV based on a network of oscillators. *American journal of physiology. Heart and circulatory physiology*, 283 (5), H1873–H1886. [Crossref⁴²⁷](#)

Ken Umetani MD A B C, Donald H Singer MD, FACC A B, Rollin McCraty MS C, Mike Atkinson C, Twenty-Four Hour Time Domain Heart Rate Variability and Heart Rate: Relations to Age and Gender Over Nine Decades. [DOI⁴²⁸](#), [ScienceDirect⁴²⁹](#)

Sinn/kropp

Borghesi, F., Cremascoli, R., Chirico, A., Bianchi, L., Di Moia, A., Priano, L., Piedimonte, A., Mauro, A., & Cipresso, P. (2024). Mind and body connection in expert meditators: a computational study based on central and peripheral nervous system. *BMC complementary medicine and therapies*, 24 (1), 117. [Crossref⁴³⁰](#)

Brandmeyer T, Delorme A, Wabbeh H. The neuroscience of meditation: classification, phenomenology, correlates, and mechanisms. *Prog Brain Res.* 2019;1(244):1–29. - PubMed⁴³¹

Travis F, Shear J. Focused attention, open monitoring and automatic self-transcending: categories to organize meditations from Vedic, Buddhist Chinese Traditions. *Conscious Cogn.* 2010;19(4):1110–1118. doi: 10.1016/j.concog.2010.01.007. - DOI⁴³² - PubMed⁴³³

Lieberman N, Trope Y. The psychology of transcending the here and now. *Science.* 2008;322(5905):1201–5. doi: 10.1126/science.1161958. - DOI⁴³⁴ - PMC⁴³⁵ - PubMed⁴³⁶

Ahani A, Wabbeh H, Nezamfar H, Miller M, Erdogmus D, Oken B. Quantitative change of EEG and respiration signals during mindfulness meditation. *J Neuroeng Rehabil.* 2014;11(1):1. doi: 10.1186/1743-0003-11-87. - DOI⁴³⁷ - PMC⁴³⁸ - PubMed⁴³⁹

Ahani A, Wabbeh H, Miller M, Nezamfar H, Erdogmus D, Oken B. Change in physiological signals during mindfulness meditation. *Int IEEE EMBS Conf Neural Eng.* 2013;1378–81. - [PubMed⁴⁴⁰](#) - [PubMed⁴⁴¹](#)

Stapleton P, Dispenza J, McGill S, Sabot D, Peach M, Raynor D. Large effects of brief meditation intervention on EEG spectra in meditation novices. *IBRO Rep.* 2020;1(9):290–301. doi: 10.1016/j.ibror.2020.10.006. - DOI⁴⁴² - PMC⁴⁴³ - PubMed⁴⁴⁴

Travis F, Haaga DAF, Hagelin J, Tanner M, Nidich S, Gaylord-King C, et al. Effects of Transcendental Meditation practice on brain functioning and stress reactivity in college students. *Int J Psychophysiol.* 2009;71(2):170–176. doi: 10.1016/j.ijpsycho.2008.09.007. - DOI⁴⁴⁵ - PubMed⁴⁴⁶

Phongsuphap S, Pongsupap Y, Chandanamattap P, Lursinsap C. Changes in heart rate variability during concentration meditation. *Int J Cardiol.* 2008;130(3):481–484. doi: 10.1016/j.ijcard.2007.06.103. - DOI⁴⁴⁷ - PubMed⁴⁴⁸

Nesvold A, Fagerland MW, Davanger S, Ellingsen Ø, Solberg EE, Hølen A, et al. Increased heart rate variability during nondirective meditation. *Eur J Prev Cardiol.* 2012;19(4):773–80. doi: 10.1177/1741826711414625. - DOI⁴⁴⁹ - PubMed⁴⁵⁰

Léonard A, Clément S, Kuo CD, Manto M. Changes in heart rate variability during heartfulness meditation: a power spectral analysis including the residual spectrum. *Front Cardiovasc Med.* 2019;14(6):62. doi: 10.3389/fcvm.2019.00062. - DOI⁴⁵¹ - PMC⁴⁵² - PubMed⁴⁵³

Pasquini HA, Tanaka GK, Basile LFH, Velasques B, Lozano MD, Ribeiro P. Electrophysiological correlates of long-term Soto Zen meditation. *Biomed Res Int.* 2015;2015:598496. doi: 10.1155/2015/598496. - DOI⁴⁵⁴ - PMC⁴⁵⁵ - PubMed⁴⁵⁶

Cipresso P, Serino S, Borghesi F, Tartarisco G, Riva G, Poggia G, et al. Continuous

<https://doi.org/10.1080/02699052.2023.2208880>

<https://doi.org/10.1109/EMBC.2015.7319747>

<https://doi.org/10.1152/ajpheart.00405.2000>

[https://doi.org/10.1016/S0735-1097\(97\)00554-8](https://doi.org/10.1016/S0735-1097(97)00554-8)

<https://www.sciencedirect.com/science/article/pii/S0735109797005548>

<https://doi.org/10.1186/s12906-024-04413-5>

<https://pubmed.ncbi.nlm.nih.gov/30732832/>

<https://doi.org/10.1016/j.concog.2010.01.007>

<https://pubmed.ncbi.nlm.nih.gov/20167507/>

<https://doi.org/10.1126/science.1161958>

<http://www.ncbi.nlm.nih.gov/pmc/articles/pmc2643344/>

<https://pubmed.ncbi.nlm.nih.gov/19023074/>

<https://doi.org/10.1186/1743-0003-11-87>

<https://www.ncbi.nlm.nih.gov/pmc/articles/pmc4060143/>

<https://pubmed.ncbi.nlm.nih.gov/24939519/>

<http://www.ncbi.nlm.nih.gov/pmc/articles/pmc3988787/>

<https://pubmed.ncbi.nlm.nih.gov/24748422/>

<https://doi.org/10.1016/j.ibror.2020.10.006>

<http://www.ncbi.nlm.nih.gov/pmc/articles/pmc7649620/>

<https://pubmed.ncbi.nlm.nih.gov/18854202/>

<https://doi.org/10.1016/j.ijcard.2007.06.103>

<https://pubmed.ncbi.nlm.nih.gov/17764770/>

<https://doi.org/10.1177/1741826711414625>

<https://pubmed.ncbi.nlm.nih.gov/21693507/>

<https://doi.org/10.3389/fcvm.2019.00062>

<http://www.ncbi.nlm.nih.gov/pmc/articles/pmc6527777/>

<https://pubmed.ncbi.nlm.nih.gov/31139634/>

<https://doi.org/10.1155/2015/598496>

<http://www.ncbi.nlm.nih.gov/pmc/articles/pmc4302970/>

<https://pubmed.ncbi.nlm.nih.gov/25632397/>

- measurement of stress levels in naturalistic settings using heart rate variability: an experience-sampling study driving a machine learning approach. *Acta IMEKO*. 2021;10(4):239. doi: 10.21014/acta_imeko.v10i4.1183. - DOI⁴⁵⁷
- Berntson GG, Thomas Bigger J, Eckberg DL, Grossman P, Kaufmann PG, Malik M, et al. Heart rate variability: origins, methods, and interpretive caveats. *Psychophysiology*. 1997;34(6):623–648. doi: 10.1111/j.1469-8986.1997.tb02140.x. - DOI⁴⁵⁸ - PubMed⁴⁵⁹
- Acharya UR, Joseph KP, Kannathal N, Lim CM, Suri JS. Heart rate variability: a review. *Med Biol Eng Comput*. 2006;44(12):1031–1051. doi: 10.1007/s11517-006-0119-0. - DOI⁴⁶⁰ - PubMed⁴⁶¹
- Fell J, Axmacher N, Haupt S. From alpha to gamma: Electrophysiological correlates of meditation-related states of consciousness. *Med Hypotheses*. 2010;75(2):218–224. doi: 10.1016/j.mehy.2010.02.025. - DOI⁴⁶² - PubMed⁴⁶³
- Rodriguez-Larios J, Faber P, Achermann P, Tei S, Alaerts K. From thoughtless awareness to effortful cognition: alpha - theta cross-frequency dynamics in experienced meditators during meditation, rest and arithmetic. *Sci Rep*. 2020;10(1):1–11. doi: 10.1038/s41598-020-62392-2. - DOI⁴⁶⁴ - PMC⁴⁶⁵ - PubMed⁴⁶⁶
- Cahn BR, Delorme A, Polich J. Occipital gamma activation during Vipassana meditation. *Cogn Process*. 2010;11(1):39–56. doi: 10.1007/s10339-009-0352-1. - DOI⁴⁶⁷ - PMC⁴⁶⁸ - PubMed⁴⁶⁹
- Borghesi F, Chirico A, Pedroli E, Cipriani GE, Canessa N, Amanzio M, et al. Exploring Biomarkers of mental flexibility in healthy aging: a computational psychometric study. *Sensors (Basel)* 2023;23(15):6983. doi: 10.3390/s23156983. - DOI⁴⁷⁰ - PMC⁴⁷¹ - PubMed⁴⁷²
- Fang, S., & Zhang, W. (2024). Heart-Brain Axis: A Narrative Review of the Interaction between Depression and Arrhythmia. *Biomedicines*, 12 (8), 1719. [Crossref⁴⁷³](#)
- Gullett N., Zajkowska Z., Walsh A., Harper R., Mondelli V. Heart rate variability (HRV) as a way to understand associations between the autonomic nervous system (ANS) and affective states: A critical review of the literature. *Int. J. Psychophysiol*. 2023;192:35–42. doi: 10.1016/j.ijpsycho.2023.08.001. - DOI⁴⁷⁴ - PubMed⁴⁷⁵
- Bassett D. A literature review of heart rate variability in depressive and bipolar disorders. *Aust. New Zealand J. Psychiatry*. 2015;50:511–519. doi: 10.1177/0004867415622689. - DOI⁴⁷⁶ - PubMed⁴⁷⁷
- Zhu J., Ji L., Liu C. Heart rate variability monitoring for emotion and disorders of emotion. *Physiol. Meas.* 2019;40:064004. doi: 10.1088/1361-6579/ab1887. - DOI⁴⁷⁸ - PubMed⁴⁷⁹
- Chalmers J.A., Quintana D.S., Abbott M.J., Kemp A.H. Anxiety Disorders are Associated with Reduced Heart Rate Variability: A Meta-Analysis. *Front. Psychiatry*. 2014;5:80. doi: 10.3389/fpsy.2014.00080. - DOI⁴⁸⁰ - PMC⁴⁸¹ - PubMed⁴⁸²
- Chang H.A., Chang C.C., Chen C.L., Kuo T.B., Lu R.B., Huang S.Y. Major depression is associated with cardiac autonomic dysregulation. *Acta Neuropsychiatr*. 2012;24:318–327. doi: 10.1111/j.1601-5215.2011.00647.x. - DOI⁴⁸³ - PubMed⁴⁸⁴
- Burke J.H., Goldberger J.J., Ehler F.A., Kruse J.T., Parker M.A., Kadish A.H. Gender differences in heart rate before and after autonomic blockade: Evidence against an intrinsic gender effect. *Am. J. Med.* 1996;100:537–543. doi: 10.1016/S0002-9343(96)00018-6. - DOI⁴⁸⁵ - PubMed⁴⁸⁶
- Kittnar O. Sex Related Differences in Electrocardiography. *Physiol. Res*. 2023;72:S127–S135. doi: 10.33549/physiolres.934952. - DOI⁴⁸⁷ - PMC⁴⁸⁸ - PubMed⁴⁸⁹
- Kotov R., Gamez W., Schmidt F., Watson D. Linking “big” personality traits to anxiety, depressive, and substance use disorders: A meta-analysis. *Psychol. Bull*. 2010;136:768–821. doi: 10.1037/a0020327. - DOI⁴⁹⁰ - PubMed⁴⁹¹
- Godin P.J., Buchman T.G. Uncoupling of biological oscillators: A complementary hypothesis concerning the pathogenesis of multiple organ dysfunction syndrome. *Crit. Care Med*. 1996;24:1107–1116. doi: 10.1097/00003246-199607000-00008. - DOI⁴⁹² - PubMed⁴⁹³
457. https://doi.org/10.21014/acta_imeko.v10i4.1183
458. <https://doi.org/10.1111/j.1469-8986.1997.tb02140.x>
459. <https://pubmed.ncbi.nlm.nih.gov/9401419/>
460. <https://doi.org/10.1007/s11517-006-0119-0>
461. <https://pubmed.ncbi.nlm.nih.gov/17111118/>
462. <https://doi.org/10.1016/j.mehy.2010.02.025>
463. <https://pubmed.ncbi.nlm.nih.gov/20227193/>
464. <https://doi.org/10.1038/s41598-020-62392-2>
465. <http://www.ncbi.nlm.nih.gov/pmc/articles/pmc7096392/>
466. <https://pubmed.ncbi.nlm.nih.gov/32214173/>
467. <https://doi.org/10.1007/s10339-009-0352-1>
468. <https://www.ncbi.nlm.nih.gov/pmc/articles/pmc2812711/>
469. <https://pubmed.ncbi.nlm.nih.gov/20013298/>
470. <https://doi.org/10.3390/s23156983>
471. <http://www.ncbi.nlm.nih.gov/pmc/articles/pmc10422551/>
472. <https://pubmed.ncbi.nlm.nih.gov/37571766/>
473. <https://doi.org/10.3390/biomedicines12081719>
474. <https://doi.org/10.1016/j.ijpsycho.2023.08.001>
475. <https://pubmed.ncbi.nlm.nih.gov/37543289/>
476. <https://doi.org/10.1177/0004867415622689>
477. <https://pubmed.ncbi.nlm.nih.gov/26698824/>
478. <https://doi.org/10.1088/1361-6579/ab1887>
479. <https://pubmed.ncbi.nlm.nih.gov/30974428/>
480. <https://doi.org/10.3389/fpsy.2014.00080>
481. <http://www.ncbi.nlm.nih.gov/pmc/articles/pmc4092363/>
482. <https://pubmed.ncbi.nlm.nih.gov/25071612/>
483. <https://doi.org/10.1111/j.1601-5215.2011.00647.x>
484. <https://pubmed.ncbi.nlm.nih.gov/25287173/>
485. [https://doi.org/10.1016/s0002-9343\(96\)00018-6](https://doi.org/10.1016/s0002-9343(96)00018-6)
486. <https://pubmed.ncbi.nlm.nih.gov/8644766/>
487. <https://doi.org/10.33549/physiolres.934952>
488. <http://www.ncbi.nlm.nih.gov/pmc/articles/pmc10660582/>
489. <https://pubmed.ncbi.nlm.nih.gov/37565417/>
490. <https://doi.org/10.1037/a0020327>
491. <https://pubmed.ncbi.nlm.nih.gov/20804236/>
492. <https://doi.org/10.1097/00003246-199607000-00008>
493. <https://pubmed.ncbi.nlm.nih.gov/8674321/>
- Wang, L., Hao, J., & Zhou, T. H. (2023). ECG Multi-Emotion Recognition Based on Heart Rate Variability Signal Features Mining. *Sensors (Basel, Switzerland)*, 23 (20), 8636. [Crossref⁴⁹⁴](#)
- Cai Y., Li X., Li J. Emotion Recognition Using Different Sensors, Emotion Models, Methods and Datasets: A Comprehensive Review. *Sensors*. 2023;23:2455. doi: 10.3390/s23052455. - DOI⁴⁹⁵ - PMC⁴⁹⁶ - PubMed⁴⁹⁷
- Xiefeng, C., Wang, Y., Dai, S., Zhao, P., & Liu, Q. (2019). Heart sound signals can be used for emotion recognition. *Scientific reports*, 9 (1), 6486. [Crossref⁴⁹⁸](#)
- Hasnul, M. A., Ab Aziz, N. A., & Abd Aziz, A. (2023). Augmenting ECG Data with Multiple Filters for a Better Emotion Recognition System. *Arabian journal for science and engineering*, 1–22. Advance online publication. [Crossref⁴⁹⁹](#)
- Hasnul, M. A., Aziz, N. A. A., Alelyani, S., Mohana, M., & Aziz, A. A. (2021). Electrocardiogram-Based Emotion Recognition Systems and Their Applications in Healthcare-A Review. *Sensors (Basel, Switzerland)*, 21 (15), 5015. [Crossref⁵⁰⁰](#)
- Li, Y., Tan, R., Lin, T., Liu, Q., Wang, C. D., & Chen, M. (2024). ER-GET: Emotion Recognition Based on Global ECG Trajectory. *IEEE journal of biomedical and health informatics*, 28 (9), 5201–5213. [Crossref⁵⁰¹](#)
- Woods, R. A., & Hill, P. B. (2022). Myers Brigg. In *StatPearls*. StatPearls Publishing. [PubMed⁵⁰²](#)
- Wallick, M. M., & Cambre, K. M. (1999). Personality types in academic medicine. *The Journal of the Louisiana State Medical Society : official organ of the Louisiana State Medical Society*, 151 (7), 378–383. [PubMed⁵⁰³](#)
- Tobacyk, J. J., Livingston, M. M., & Robbins, J. E. (2008). Relationships between Myers-Briggs type indicator measure of psychological type and neo measure of big five personality factors in Polish University students: a preliminary cross-cultural comparison. *Psychological reports*, 103 (2), 588–590. [Crossref⁵⁰⁴](#)
- Eicke, F. J., Blake, G., & Replogle, W. (1993). A comparative view of the Myers-Briggs type indicator. *Family medicine*, 25 (3), 186–190. [PubMed⁵⁰⁵](#)
- Ranganathan VK, Siemionow V, Liu JZ, Sahgal V, Yue GH. From mental power to muscle power—gaining strength by using the mind. *Neuropsychologia*. 2004;42(7):944-56. doi: 10.1016/j.neuropsychologia.2003.11.018. PMID: 14998709. [PubMed⁵⁰⁶](#)
- ## Electromagnetism
- Blank, Martin; Goodman, Reba . (2011). DNA is a fractal antenna in electromagnetic fields. *International Journal of Radiation Biology*, 87(4), 409–415. [Crossref⁵⁰⁷](#)
- Cantero, M.d.R., Villa Etchegoyen, C., Perez, P.L. et al. Bundles of Brain Microtubules Generate Electrical Oscillations. *Sci Rep* 8, 11899 (2018). [Crossref⁵⁰⁸](#)
- Gutierrez, B.C., Cantiello, H.F. & Cantero, M. The electrical properties of isolated microtubules. *Sci Rep* 13, 10165 (2023). [Crossref⁵⁰⁹](#)
- Meijer, Dirk. (2018). Processes of Science and Art Modeled as a Holoflux of Information Using Toroidal Geometry. *Open Journal of Philosophy*. 8, 365-400. [10.4236/ojpp.2018.84026](#)⁵¹⁰.
- Kuman, Maria. (2018). Our Weak Nonlinear Electromagnetic Field (Nemf) that Rules Everything in the Body is Emotionally Sensitive. *Journal of Complementary Medicine & Alternative Healthcare*. 8, 10.19080/JCMAH.2018.08.555731⁵¹¹.
- Leonova-Gariaeva, & Gariaev, Peter & Friedman, Mark & Leonova-Gariaeva, Ekaterina. (2011). Principles of Linguistic-Wave Genetics. *DNA Decipher Journal*. 1. [ResearchGate](#)⁵¹²
- GuangJun Zhang and Michael Levin (2025) Bioelectricity is a universal multifaceted signaling cue in living organisms. [10.1091/mbc.E23-08-0312](#)⁵¹³
- Angelo Esposito, Rafael Krichevsky, and Alberto Nicolis (2019) Gravitational Mass Carried by Sound Waves [Crossref](#)⁵¹⁴
494. <https://doi.org/10.3390/s2308636>
495. <https://doi.org/10.3390/s23052455>
496. <http://www.ncbi.nlm.nih.gov/pmc/articles/pmc10007272/>
497. <https://pubmed.ncbi.nlm.nih.gov/36904659/>
498. <https://doi.org/10.1038/s41598-019-42826-2>
499. <https://doi.org/10.1007/s13369-022-07585-9>
500. <https://doi.org/10.3390/s21155015>
501. <https://doi.org/10.1109/JBHI.2024.3403188>
502. <https://pubmed.ncbi.nlm.nih.gov/32119483/>
503. <https://pubmed.ncbi.nlm.nih.gov/10474985/>
504. <https://doi.org/10.2466/pr0.103.2.588-590>
505. <https://pubmed.ncbi.nlm.nih.gov/8458560/>
506. <https://pubmed.ncbi.nlm.nih.gov/14998709/>
507. <https://doi.org/10.3109/09553002.2011.538130>
508. <https://doi.org/10.1038/s41598-018-30453-2>
509. <https://doi.org/10.1038/s41598-023-36801-1>
510. <https://www.researchgate.net/publication/326972894>
511. <https://www.researchgate.net/publication/330217977>
512. <https://www.researchgate.net/publication/228926241>
513. <https://www.molbiolcell.org/doi/full/10.1091/mbc.E23-08-0312>
514. <https://doi.org/10.1103/PhysRevLett.122.084501>

Tillägg 3.

Bibliografi

1. "Prology: uppfyll ditt livsprojekt - Bok 1: sjukdom, läkning, transmutation: resursvägen" av Christine Degoy
En innovativ guide som återutforskar hälsa och välbefinnande genom en systemisk ansats, vilket möjliggör att du omdefinierar din existens och får tillgång till en djupare förståelse av ditt livsprojekt. Denna bok ger dig verktygen du behöver för att odla inre kommunikation, förändra din uppfattning om verkligheten och fullt ut förkroppsliga din *raison d'être*.
2. "Prology: återupptäck livets mening - Bok 2: Livsprojektet i kroppen: förstå, läs upp, transmutera" av Christine Degoy
Dyk ner i prologisk organekodning för att upptäcka hur varje del av din kropp speglar djupare dimensioner av din existens. Denna bok utforskar kopplingarna mellan dina livserefarenheter och din fysiska hälsa och erbjuder nycklar till att förstå, läsa upp och transmutera energiblockeringar. Genom att fokusera på inre resurser och dolda potentialer bjuder denna bok in dig att omfatta ditt livsprojekt genom en holistisk vision, vilket möjliggör att du harmoniserar din kropp och själ för ett fullt ut levtt liv.

Energi och elektrisk medicin

3. "Kroppen Elektrisk: Elektromagnetism och Livets Grundvalar" av Robert Becker och Gary Selden
Denna banbrytande bok utforskar den mänskliga kroppens elektromagnetiska fält och dess djupgående konsekvenser för läkning, energiflöde och hälsa. Beckers forskning om bioelektricitet ger viktiga insikter för att förstå vetenskapen bakom kroppens energisystem.
4. "Gnistan i Maskinen: Hur Akupunktorens Vetenskap Förklarar Västerländsk Medicins Mystik" av Dr. Daniel Keown
Dr. Keowns arbete överbrygger klyftan mellan västerländsk medicinsk vetenskap och den antika praktiken av akupunktur, och erbjuder en omfattande förklaring av hur energi flödar genom kroppen och hur den kan utnyttjas för läkning.
5. "Energimedecin: Den Vetenskapliga Grunden" av James L. Oschman
Denna bok erbjuder en grundlig utforskning av vetenskapen bakom energimedecin, och presenterar bevis för hur elektromagnetiska fält, meridianer och andra energisystem påverkar hälsan. Oschman drar från fysik och biologi för att förklara kroppens energisystem på ett sätt som kompletterar både konventionella och alternativa läkande metoder.
6. "Vibrationsmedicin: Den #1 Handboken för Subtila Energi Terapier" av Richard Gerber
Gerbers klassiska text är en viktig resurs för att förstå området subtil energi medicin. Den ger en detaljerad översikt över energifält, chakran och hur vibrations terapier fungerar för att hela kroppen och sinnet.
7. "Korsströmmar: Farorna med Elektrosmutts, Löftet med Elektromedicin" av Robert O. Becker
Beckers uppföljare till *Kroppen Elektrisk*, denna bok undersöker hälsoimplikationerna av modern elektrisk teknik, samtidigt som den också utforskar hur elektromagnetisk terapi kan hjälpa till vid läkning.
8. "Trojans Biologi: Frigöra Kraften av Medvetande, Materia och Mirakel" av Bruce H. Lipton
Denna bok fördjupar sig i skärningspunkten mellan biologi och tro, och visar hur sinnet påverkar kroppen på cellulär nivå. Lipton förklarar hur energifält och medvetande påverkar biologiska processer.
9. "Fältet: Sökandet efter Universums Hemliga Kraft" av Lynne McTaggart
McTaggart utforskar banbrytande vetenskap om nollpunktsfältet, ett universellt energifält som kopplar samman all materia. Denna bok erbjuder insikter om livets energiska natur och hur vi kan utnyttja denna energi för läkning.
10. "Läkning är Spänning: Handboken" av Jerry Tennant
Dr. Tennant förklarar hur spänning i kroppen, särskilt på cellulär nivå, är avgörande för hälsan. Han ger en omfattande bild av hur upprätthållande av korrekt elektrisk potential är grundläggande för läkning och välbefinnande.

Modern Spiritualitet

11. "My Big TOE (Theory of Everything)" av Thomas Campbell
En omfattande trilogi som utforskar verklighetens natur, medvetandet och kopplingen mellan det fysiska och metafysiska. Campbell, en fysiker och medvetandeforskare, blandar vetenskap och spiritualitet för att presentera en modell av existens som stödjer meditation, förändrade medvetandetilstånd och förståelsen av energi i universum.
12. "The Mind Illuminated: A Complete Meditation Guide Integrating Buddhist Wisdom and Brain Science for Greater Mindfulness" av John Yates (Culadasa)
Culadasas guide är en grundlig, steg-för-steg-förklaring av meditationspraxis som är förankrad i både gamla buddhistiska läror och nutida neurovetenskap. Den överbrygger klyftan mellan traditionella meditationstekniker och moderna vetenskapliga förståelser av hjärnan.
13. "Altered Traits: Science Reveals How Meditation Changes Your Mind, Brain, and Body" av Daniel Goleman och Richard J. Davidson
Denna bok dyker ner i den vetenskapliga forskningen kring meditation och utforskar dess djupa effekter på hjärnan och kroppen. Goleman och Davidson drar från årtionden av forskning för att förklara hur meditation leder till bestående psykologiska och fysiologiska förändringar.
14. "Waking Up: A Guide to Spirituality Without Religion" av Sam Harris
Sam Harris, en neurovetenskapsman och filosof, presenterar en rationell syn på spiritualitet och meditation, förankrad i både vetenskap och personlig erfarenhet. Hans bok fokuserar särskilt på hur meditation kan leda till djupa förändringar i perception och förståelse av medvetandet, utan behov av religiösa ramverk.
15. "The Power of Now: A Guide to Spiritual Enlightenment" av Eckhart Tolle
Tolles mycket lästa bok betonar vikten av medvetenhet och att vara närvarande i stunden. Hans läror erbjuder praktiska insikter om hur man kan leva mer fullt och medvetet, vilket stämmer överens med de energiska och mentala aspekterna av välbefinnande som diskuteras i *Sing the Body Electric*.
16. "Real Magic: Ancient Wisdom, Modern Science, and a Guide to the Secret Power of the Universe" av Dean Radin
Radin, en ledande forskare inom parapsykologi, utforskar den vetenskapliga evidensen för fenomen som telepati, precognition och psykokinesi, och drar kopplingar mellan medvetande, energi och den bredare strukturen av verklighet. Denna bok ger en grund för att förstå andra verkligheter bortom det fysiska.
17. "The Physics of Consciousness: The Quantum Mind and the Meaning of Life" av Evan Harris Walker
Denna bok dyker ner i kvantfysik och dess relation till medvetandet. Walker utforskar observatörens roll i kvantmekanik och presenterar en teori som hävdar att medvetandet är grundläggande för universum och bidrar till en bredare förståelse av energi och existens.
18. "The Secret Doctrine" av H.P. Blavatsky
Denna grundläggande text inom teosofi utforskar universums natur, medvetandet och den andliga evolutionen.
19. "The Perennial Philosophy" av Aldous Huxley
Huxley undersöker de gemensamma trådarna av spiritualitet över olika religioner och betonar universella sanningar.
20. "Human Destiny" av Pierre Lecomte du Noüy
Denna bok utforskar skärningspunkten mellan vetenskap, filosofi och religion och argumenterar för att mänsklig evolution styrs av ett gudomligt syfte. Den diskuterar mänsklighetens andliga potential och de moraliska ansvar som följer med mänskligt medvetande.

21. "The Road to Reason" av Pierre Lecomte du Noüy
I detta filosofiska verk diskuterar Lecomte du Noüy vikten av förnuft och vetenskapligt tänkande för att förstå universum. Han fördjupar sig också i hur vetenskaplig framsteg bör integreras med moralisk och andlig utveckling.
34. "Gävor som skiljer sig: Förståelse av personlighetstyp" av Isabel Briggs Myers med Peter B. Myers
Denna bok förklarar MBTI-systemet för personlighetstyper, som baseras på Jungs psykologiska typer. Den ger insikter i hur olika personlighetstyper interagerar och hur de påverkar personlig och professionell liv.

Digital signal processing

22. "Förståelse för digital signalbehandling" av Richard G. Lyons
Denna bok ger en klar och tillgänglig introduktion till digital signalbehandling (DSP), vilket gör komplexa koncept förståeliga även för nybörjare. Den täcker ämnen som filtrering, Fourieranalys och samplingsteori på ett praktiskt och lättförståeligt sätt, vilket är idealiskt för dem som är intresserade av grunderna i signalbehandling för ljudanalys.
23. "Forskare och ingenjörers guide till digital signalbehandling" av Steven W. Smith
En populär, lättläst bok som introducerar DSP-koncept med praktiska exempel och tillämpningar. Det är en gratis online-resurs som förklarar hur signalbehandling fungerar med steg-för-steg-guider och exempel från verkligheten, vilket gör den mycket tillgänglig för nybörjare, särskilt de som är intresserade av ljud- och musiksiganalansly.
24. "Digital ljudsignalbehandling" av Udo Zölzer
Denna bok introducerar principerna och tillämpningarna av digital ljudsignalbehandling, med fokus på områden som digitala filter, ljud effekter och tids-frekvensanalys. Även om materialet är tekniskt, presenteras det på ett sätt som är lättillgängligt för läsare med grundläggande kunskaper om DSP.
25. "En introduktion till ljudinnehållsanalys: Tillämpningar inom signalbehandling och musikinformatik" av Alexander Lerch
Denna text är särskilt användbar för dem som är intresserade av ljud- och musiksiganalbehandling. Den introducerar tekniker för att analysera ljudinnehåll som musikstruktur, rytm och harmoni med hjälp av algoritmer för signalbehandling. Boken är praktisk och tillgänglig för studenter och yrkesverksamma.
26. "Design av ljudeffektpluggar i C: Med teori om digital ljudsignalbehandling" av Will Pirkle
För dem som vill dyka ner i tillämpningssidan av ljudsignalbehandling är denna bok en användarvänlig introduktion till kodning och design av ljud effekter med hjälp av C-programmering. Den är idealisk för nybörjare som vill förstå hur DSP kan tillämpas för att skapa realtidsljud effekter.

Jung och det omedvetna

27. "Minnen, drömmar, reflektioner" av Carl G. Jung
En semi-autobiografisk bok som täcker Jungs liv och nyckelidéer, inklusive hans utveckling av koncept som det kollektiva omedvetna, arketypiska bilder och skuggan. Den ger personliga insikter i hans psykologiska teorier.
28. "Arketypen och det kollektiva omedvetna" av Carl G. Jung
Denna bok är en central text inom jungiansk psykologi, där han skisserar sina teorier om det omedvetna sinnet, särskilt det kollektiva omedvetna och dess arketypiska bilder. Det är grundläggande läsning för att förstå Jungs idéer om personlighet och psyke.
29. "Psykologiska typer" av Carl G. Jung
I detta verk introducerar Jung sin teori om psykologiska typer, som senare påverkade utvecklingen av Myers-Briggs Type Indicator (MBTI). Han diskuterar dikotomin mellan introversion och extroversion samt andra psykologiska funktioner som formar personlighet.
30. "Mannen och hans symboler" av Carl G. Jung
Skriven som en tillgänglig introduktion till jungiansk tanke, fördjupar sig denna bok i användningen av symboler i drömmar och konst som representationer av omedvetna processer. Den är utformad för en bredare publik och erbjuder insikter i den mänskliga psyken.
31. "Det oupptäckta jaget" av Carl G. Jung
Jung utforskar konflikten mellan individens behov av personlig utveckling och trycket från det moderna samhället. Den betonar vikten av självmedvetenhet i att navigera det omedvetna och skuggaspekterna av personlighet.
32. "Åga din egen skugga: Förstå den mörka sidan av psyket" av Robert A. Johnson
En praktisk guide för att förstå Jungs koncept om skuggan, denna bok förklarar hur man känner igen och integrerar det skugglika jaget för psykologisk balans och personlig tillväxt.
33. "Jungs karta över själen: En introduktion" av Murray Stein
Denna bok erbjuder en introduktion till Jungs teorier om personlighet, inklusive hans idéer om skuggan, det omedvetna och individuation. Det är en bra resurs för dem som är nya inom jungiansk psykologi.

Läkning med ljud

35. "Läkande kraft av ljud: Återhämtning från livshotande sjukdomar med ljud, röst och musik" av Mitchell L. Gaynor
Denna bok fördjupar sig i användningen av ljudterapi för läkning, med fokus på hur vibrationer och frekvenser kan användas för att stödja återhämtning från sjukdom. Gaynor, en onkolog, kombinerar medicinska insikter med ljudhelande metoder.
36. "Stämning av den mänskliga biofältet: Läkning med vibrational ljudterapi" av Eileen Day McKusick
McKusick utforskar biofältets anatomi och diskuterar hur ljud, frekvens och vibration påverkar det mänskliga energifältet. Boken innehåller information om hur stämgaflar och andra ljudverktyg kan främja läkning.
37. "Läkande ljud: Kraften av harmonik" av Jonathan Goldman
Denna bok förklarar konceptet att använda ljud och harmonik för att läka kroppen och sinnet. Den innehåller praktiska tekniker för ljudhealing, såsom vokal toning och arbete med övertoner.
38. "Ljudmedicin: Hur man använder den antika vetenskapen om ljud för att läka kroppen och sinnet" av Kulreet Chaudhary
Denna bok kombinerar antik ayurvedisk medicin med moderna ljudterapi metoder. Chaudhary förklarar hur ljudfrekvenser och vibrationer kan användas för läkning och välbefinnande, från mantran till moderna ljudteknologier.

Medvetande, Energi och Verklighet

39. "Vattnets Fjärde Fas: Bortom Fast, Vätska och Ånga" av Gerald Pollack
Pollack presenterar banbrytande forskning om vattnets egenskaper och dess konsekvenser för biologi och energimedicin.
40. "LSD och Universums Medvetande" av Christopher Bache
Bache utforskar skärningspunkten mellan psykedelia, medvetande och verklighetens natur genom personliga erfarenheter och vetenskapliga insikter.
41. "Medvetande Bortom Livet: Vetenskapen om Nära-Döden Upplevelsen" av Pim van Lommel
Van Lommel ger en omfattande granskning av nära-döden-upplevelser, deras konsekvenser för medvetande och kontinuiteten av jaget bortom den fysiska existensen.
42. "Mannen som inte trodde på Mirakler" av Didier Van Cauwelaert
Denna roman väver samman teman av medvetande och kvantfysik, och utforskar verklighetens natur och tro genom en fängslande berättelse.
43. "Frisk med Avsikt: Impulser för Självläkning" av Folker Meissner
Meissner undersöker de vetenskapliga principerna bakom energimedicin och erbjuder insikter i dess terapeutiska potential och mekanismer.
44. "Kopplad: Framväxten av Globalt Medvetande" av Roger Nelson
Nelson undersöker sammanlänkningen av mänskligt medvetande och dess konsekvenser för förståelsen av kollektiva upplevelser och globalt medvetande.
45. "Morphogeniskt vatten - Hälsa - Information och medvetandefält" av Marc Henry
Henry diskuterar vattnets betydelse i biologiska system och dess roll som ett medium för energiöverföring och medvetande.
46. "Liv Efter Liv" av Raymond Moody
Moody's banbrytande arbete introducerar konceptet av nära-döden-upplevelser och presenterar ett antal fallstudier som belyser gemensamma inslag som rapporterats av dem som har haft sådana upplevelser.
47. "Omfamnad av Ljus" av Betty J. Eadie
Denna memoar återberättar Eadies nära-döden-upplevelse, och delar med sig av hennes insikter och de djupa andliga uppenbarelser hon mötte under sin resa.
48. "Bevis på Himlen: En Neurokirurgs Resa in i Livet Efter Döden" av Eben Alexander
Alexander, en neurokirurg, delar med sig av sin egen nära-döden-upplevelse och erbjuder en övertygande redogörelse som utmanar konventionella vetenskapliga synsätt om medvetande och livet efter döden.
49. "Döende för att Vara Jag: Min Resa från Cancer, till Nära Döden, till Sann Läkning" av Anita Moorjani
Moorjani delar med sig av sin transformativa nära-döden-upplevelse under sin kamp mot cancer och de kraftfulla lärdomar om självtagande och läkande hon lärde sig.

50. "Resor ut ur Kroppen" av Robert A. Monroe
Denna klassiska bok dokumenterar Monroes personliga erfarenheter med utanför-kroppen-resor och utforskar möjligheterna för mänskligt medvetande bortom den fysiska kroppen. Den anses allmänt vara en av de grundläggande texterna inom medvetandestudier.
51. "Långt bortom Resor" av Robert A. Monroe
Denna uppföljare till "Resor ut ur Kroppen" dyker djupare in i Monroes resor bortom den fysiska planen, där han utforskar olika dimensioner av existens och utvecklar sin förståelse av medvetande.
52. "Ultimat Resa" av Robert A. Monroe
I denna sista bok i trilogin delar Monroe insikter från sina erfarenheter i förändrade medvetandetilstånd, med fokus på teman som livet efter döden, verklighetens natur och mänskligt syfte.
53. "Kosmisk Medvetande" av Richard M. Bucke
Bucke beskriver sin egen erfarenhet av kosmisk medvetande och utforskar dess konsekvenser för andlig evolution.
54. "En Yaqui Vägen till Kunskap" av Carlos Castaneda
Denna bok dyker ner i shamaniska praktiker och verklighetens natur genom Castanedas lärlingskap med en Yaqui-shaman.
63. "Kärnenergetik" av John C. Pierrakos
Denna bok beskriver Pierrakos' tillvägagångssätt till Kärnenergetik, en kropp-centerad terapeutisk metod. Han fördjupar sig i hur avblockering av energi i kroppen kan leda till emotionell och psykologisk läkning, och integrerar spiritualitet med psykoterapi.
64. "Självtvansformeringens Väg arbete" av Eva Pierrakos
Författad av John Pierrakos' fru, Eva Pierrakos, är denna bok avgörande för att förstå de andliga och energetiska grunderna för Kärnenergetik. Den presenterar en samling lärur från Pathwork-guiden, som starkt påverkade Pierrakos' eget terapeutiska arbete.
65. "Min Röst Kommer Att Gå Med Dig: Lärande Berättelser av Milton H. Erickson" av Milton H. Erickson, redigerad av Sidney Rosen
Denna bok är en samling av Ericksons terapeutiska berättelser och lärande berättelser. Den framhäver hans indirekta tekniker och användning av metaforer för att underlätta djup psykologisk förändring, och erbjuder insikter i hur Erickson subtilt vägledde sina patienter mot läkning.
66. "Ovanlig Terapi: De Psykiatriska Teknikerna av Milton H. Erickson, M.D." av Jay Haley
Haley erbjuder en detaljerad inblick i Ericksons innovativa tekniker inom kort terapi. Denna bok framhäver Ericksons icke-traditionella och ofta överraskande metoder, inklusive hans förmåga att vägleda patienter mot snabba terapeutiska genombrott på bara några sessioner.

Bioetik och Medicin

55. "Bioetik: Principer, Frågor och Fall" av Lewis Vaughn
Vaughn presenterar centrala etiska principer och frågor inom medicinsk praxis, och erbjuder fallstudier för tillämpningar i verkliga livet.

Medvetandestudier

56. "Medvetande och Universum: Kvantfysik, Utveckling, Hjärna & Sinne" av Sir Roger Penrose och Stuart Hameroff
Denna samling av essäer utforskar de kvantmässiga ursprungena till medvetande, och kombinerar insikter från fysik, neurovetenskap och filosofi för att undersöka hur kvantprocesser i hjärnan kan förklara medveten upplevelse.
57. "Medvetande Förklarar" av Daniel Dennett
Dennett presenterar en omfattande teori om medvetande, argumenterar emot traditionella synsätt och erbjuder insikter om hur sinnet fungerar.
58. "Vaken: En Guide till Spiritualitet Utan Religion" av Sam Harris
Harris diskuterar medvetande, meditation och naturen av spiritualitet, och förespråkar en sekulär ansats för att förstå sinnet.

Kvantfysik och Metafysik

59. "Kvantet och Lotusen: En Resa till Gränserna Där Vetenskap och Buddhism Mötas" av Matthieu Ricard och Trinh Xuan Thuan
Denna bok utforskar paralleller mellan kvantfysik och buddhistisk filosofi, och diskuterar insikter från båda fälten.
60. "Det Holografiska Universum" av Michael Talbot
Talbot presenterar idén att universum fungerar som ett hologram, och sammanfogar insikter från kvantfysik med metafysiska implikationer.

Psykologi och Psykoterapi

61. "Mans Sökan efter Meningen" av Viktor E. Frankl
Frankl utforskar den psykologiska resan att hitta syfte även i de mest svåra omständigheterna, och integrerar existentiell filosofi och psykologi.
62. "Kroppen Kommer Ihåg: Hjärnan, Sinnet och Kroppen i Läkingsprocessen av Trauma" av Bessel van der Kolk
Denna bok diskuterar traumaets påverkan på kroppen och sinnet, och belyser innovativa tillvägagångssätt för läkning.

Systemteori och Systemtänkande

67. "Allmän Systemteori: Grunder, Utveckling, Tillämpningar" av Ludwig von Bertalanffy
En klassiker inom systemtänkande, Bertalanffys arbete introducerar grunderna i Allmän Systemteori, som blev en grundläggande pelare för tvärvetenskaplig forskning inom vetenskaperna. Hans idéer har haft stort inflytande inom allt från biologi till samhällsvetenskaper.
68. "Steg mot en Ekologi av Sinnet" av Gregory Bateson
En nyckelfigur i Palo Alto-gruppen, Batesons samling av essäer täcker ämnen som kommunikation, psykologi och ekologi. Hans arbete lade grunden för systemtänkande inom mänsklig kommunikation och interaktioner.
69. "Sinnet och Naturen: En Nödvändig Enhet" av Gregory Bateson
Ännu en viktig text från Bateson, som utforskar hur sinnet och miljön är sammanlänkade. Hans idéer är grundläggande för att förstå systemteori i termer av mänsklig interaktion, lärande och ekologi.
70. "Den Sociala Konstruktionen av Verkligheten: En Avhandling i Kunskapens Sociologi" av Peter L. Berger och Thomas Luckmann
Denna bok kopplar till systemtänkande genom sin utforskning av hur sociala system och verkligheter konstrueras och upprätthålls.
71. "Livets Systemsyn: En Enande Vision" av Fritjof Capra och Pier Luigi Luisi
Capra, en nyckelfigur inom systemtänkande, presenterar en samtida och integrerad förståelse av levande system. Denna bok kopplar systemteori till biologi, ekologi och medvetande.
72. "Förändring: Principer för Problembildning och Problemlösning" av Paul Watzlawick, John Weakland och Richard Fisch
Ännu ett viktigt verk från Palo Alto-gruppen, det utforskar hur förändring sker i mänskliga system, särskilt familjer och organisationer, genom en systemisk lens.
73. "Kunskapens Träd: De Biologiska Rötterna till Mänsklig Förståelse" av Humberto R. Maturana och Francisco J. Varela
Denna bok förenar biologi, kognition och systemtänkande, med fokus på autopoiesis (självskapande system), ett centralt begrepp för att förstå levande system.
74. "Kybernetik, eller Kontroll och Kommunikation i Djur och Maskin" av Norbert Wiener
Denna grundläggande text inom kybernetik utforskar hur kommunikations- och kontrollprocesser fungerar i både maskiner och levande varelser.
75. "Den Feme Disciplinen: Konsten & Praktiken av Den Lärande Organisationen" av Peter M. Senge
Senges arbete tillämpar systemtänkande på organisatorisk utveckling. Det anses allmänt som en nyckeltext inom både affärer och utbildning, med fokus på hur komplexa organisationer kan struktureras för lärande och anpassningsförmåga.